

EDWARD PASSENDORFER

Zlepieniec koperszadzki, jego geneza i wiek

RESUMÉ: Wstęp — Opis odkrywek — Stratygrafia i geneza serii koperszadzkiej — Zagadnienie czerwonej barwy serii koperszadzkiej — Podsumowanie i wnioski — Literatura cytowana

WSTĘP

Nie ma serii skalnej w Tatrach, a zapewne niewiele jest takich serii ogóle, której interpretacja przechodziłaby takie metamorfozy jak zlepieniec koperszadzki.

Pierwszą wzmiankę o tym zespole skalnym spotykamy u V. Uhliga (1897), który opisał w grani idącej od Jagnięcego ku Przełęczy Pod Kopą, a niewielkiej przełęczce poniżej progu zbudowanego z piaskowców kwarcyticznych werfenu, serię skalną zbudowaną z grubych otoczków granitowych w dole a utworów piaszczysto-mulastych wyżej, przechodzących dość raptownie w piaskowce kwarcytyczne. Zlepieniec — zdaniem Uhliga — reprezentują utwór abrazyjny morza, które wtargnęło w Tatry. Zlepieniec i piaskowce kwarcytyczne zaliczył Uhlig do permu, czerwone łupki przykrywające piaskowce stanowiłyby przejście do triasu.

Serią tą zajął się później M. Limanowski (1903), który do literatury wprowadził pojęcie zlepienia koperszadzkiego. M. Limanowski, który rozstrzygał zagadnienia geologiczne zawsze na tle ich powiązań paleogeograficznych, zakwestionował koncepcję Uhliga, widząc w zlepieniu produkt zsuwu materiału, który na jakimś zboczu górskim ulegał wietrzeniu. Czerwona barwa osadu miała być dowodem laterytowych procesów zachodzących w klimacie gorącym i wilgotnym. Zlepieniec — zdaniem Limanowskiego — przechodzi stopniowo w piaskowce kwarcytyczne werfenu. M. Limanowski podkreślił jednak różnice petrograficzne obu serii, widząc w piaskowcach kwarcyticznych werfenu utwór pochodzenia wulkanicznego.

Cz. Kuźniar (1913) zainteresował się zlepieniem z punktu widzenia możliwości jego laterytowego pochodzenia. Analiza nie wykazała w zle-

pieńcu obecności hydrargilitu, charakterystycznego składnika laterytu. Składnik ten jednak, jak zaznaczyła M. Hamerska (1923) mógł później ulec wymyciu. Jego brak nie dowodzi jeszcze, że na obszarze tym nie zachodziło wietrzenie laterytowe.

Sprawę zlepieńca koperszadzkiego poruszyła z racji opracowania utworów triasowych na Skrajnej Turni M. Turnau-Morawska (1947). Nie mając jednak możliwości zbadania tej serii w grani Jagnięcego, rozważyć musiała analogie i różnice serii skalnej leżącej pod werfenem Skrajnej Turni i werfenem Koperszadów jedynie na podstawie danych z literatury.

Zlepieniec koperszadzki jak i leżące na nim piaskowce wyżej wymienieni autorzy wiązali razem jako permotrias.

Najobszarniej zagadnieniem zlepieńca koperszadzkiego zajął się St. Sokołowski (1948), który przede wszystkim wykazał, że zlepieńce występują nie tylko w miejscu znanym Uhligowi, ale także w kilku innych punktach w postaci mniej lub więcej wydłużonych pasów czy soczewek ściętych przez piaskowce zlepieńcowate werfenu. Zlepieniec koperszadzki wypełnia jakby zagłębienia czy kieszenie w granicie i — zdaniem St. Sokołowskiego — mogłoby odpowiadać werrukanu Zachodnich Karpat. Kwestii tej nie uważał jednak za rozstrzygniętą. Zwraca on uwagę na znaczne różnice w wykształceniu obu tych utworów. Zlepieniec koperszadzki umieszcza ze znakiem zapytania w permie a leżące wyżej piaskowce kwarcytyczne w werfenie. Pomiędzy zlepieńcem koperszadzkiem a werfenem istnieje — zdaniem St. Sokołowskiego — nagła zmiana sedimentacji, jeśli nie przerwa. Odnośnie do genezy zlepieńca przypuszcza St. Sokołowski, że materiał nie odbył długiego transportu ani selekcji, oraz podkreśla w spoiwie łączącym bloki obecność ostrokrawędzistego gruzu. Z faktu występowania w piaskowcach kwarcytycznych werfenu dużych otoczków wnosi, że musiała je przynieść woda i zaznacza, że poglądy na genezę przynajmniej części tej serii będą musiały być poddane rewizji. W sprawie charakteru kontaktu werfenu z serią koperszadzka nie wypowiada się.

Zagadnieniem zlepieńca koperszadzkiego i nadległej serii zajął się w roku 1948 i 1949. W wyniku tych badań opublikowałem w roku 1950 krótką rozprawę, w której podtrzymując przypuszczenie St. Sokołowskiego przedstawiłem moje poglądy na tę sprawę, jak również na zagadnienie pochodzenia piaskowców werfeńskich. Zlepieniec koperszadzki jest, jak to starałem się wykazać, niewątpliwie odpowiednikiem czasowym werrukana a jego różnice w stosunku do werrukana Niżnich Tat wyklikają z faktu, że stanowi on zaledwie dolny fragment tej serii, który ocalał przed erozją werfeńską. Z charakteru otoczków wnosiłem o transportie wodnym osadu, choć bardzo niedalekim. W zlepieńcu koperszadzkiem wyróżniłem część dolną, zlepieńcowatą i górną, gliniastą i całość na

wałem serią koperszadzka. Z faktu, że w wyżej leżącym kompleksie piaskowców werfeńskich brak elementów pochodzących z trzonu krystalicznego Tatr, wnosiłem, że w czasie permu cały teren był pokryty przez utwory typu werrukana, które dały materiał na powstanie werfenu. Analizując kontakt obu serii a mianowicie — powierzchnię dolną piaskowców werfeńskich na ich zetknięciu z serią koperszadzka, stwierdziłem, że powierzchnia ta, wybitnie nierówna, wykazująca obecność żeber bruzd, stanowi odlew górnej powierzchni serii koperszadzkiej, która ulegała rozmywaniu. Charakter tej powierzchni i brak jakichkolwiek prążków czy poślizgów na dolnej powierzchni piaskowców werfeńskich upoważnił mnie do postawienia tezy, że kontakt werfenu z serią koperszadzka jest natury sedymentacyjnej i że wobec tego werfen leży na miejscu. Na zasadzie analizy otoczków jak i interpretacji opublikowanych analiz wypowiedziałem pogląd, że utwory werfenu są w całości osadem rzeczynym a nie eolicznym, jak to przypuszczali badacze uprzednio, a ponadto, że materiału na powstanie tych utworów dostarczyły głównie utwory werrukana, które uległy zupełnemu zniszczeniu z wyjątkiem ocalałych strzępów tych osadów na grani Jagnięcego.

Pośrednim potwierdzeniem tych poglądów było znalezienie ostatnio przez M. Turnau-Morawską (1955) w utworach werfeńskich fragmentów łufów i skał wylewnych podobnego typu, jakie spotykamy w werrukanie Karpat Słowackich.

Jak zatem z tego przedstawienia wynika, wszyscy badacze bez wyjątku, od Uhliga począwszy, uważali zlepieniec koperszadzki za utwór osadowy. Różnice poglądów wyrażały się w różnym określeniu wieku oraz w różnym ujęciu genezy tej serii, od utworów morskich poprzez zsuw zwietrzelinowy, aż do osadów typu fanglomeratu.

Z tezą najzupełniej odmienną tak co do wieku jak i genezy opisywanej serii wystąpił ostatnio A. Michalik (1956). W pracy tej autor zakwestionował dotychczasowe obserwacje i wnioski z nich wynikające i postawił tezę, że zlepieniec koperszadzki jest brekcją tektoniczną w związku z nasunięciem werfenu na trzon krystaliczny w czasie fałdowań alpejskich Tatr. W tym ujęciu oczywiście i związana z werfenem cała seria wierzchowa nie leżałaby na miejscu, ale zostałaby nasunięta na trzon krystaliczny. Podstawą tej radykalnej zmiany poglądów były obserwacje struktury niektórych skał serii koperszadzkiej z pominięciem obserwacji kontaktu serii koperszadzkiej i werfenu oraz bez podania profilów, które rzucają bardzo wyraźne światło na charakter wspomnianej serii. Autor w szlifach mikroskopowych stwierdził, że tak otoczeki jak i spoiwo noszą cechy silnie strzaskanego granitu, w którym zachodził szereg procesów hydrotermalnych. Jednym z nich była hematytizacja całej serii wywołana nasunięciem, co pociągnęło za sobą wędrówkę z głębi związków

żelaza. Czerwona barwa nie jest więc wynikiem wietrzenia granitu w warunkach wietrzenia lądowego, ale została wywołana przenikaniem roztworów z głębi. Autor nie stwierdza różnicy między spoiwem a blokami, które nie zostały złożone na skutek transportu wodnego, lecz powstały na miejscu w wyniku kulistego wietrzenia granitu. Moje twierdzenie, że welfen leży na miejscu, czego dowodzi charakter dolnej powierzchni piaszczowców werfeńskich wykazującej żebra i bruzdy, których nie ma absolutnie na dolnych powierzchniach piaszczowców leżących wyżej ponad kontaktem z serią koperszadzka, autor odrzuca, twierdząc, że powierzchnia ta powstała na skutek wietrzenia a nie na skutek osadzenia jej na nierównej powierzchni serii koperszadzkiej. Na podstawie swych obserwacji autor twierdzi, że zlepienie koperszadzki jest wynikiem tektonicznego kruszenia skał podłoża krystalicznego i z tej przyczyny musi być uznany za brekcję. Leżąca w stropie zlepieńca glina powstała w wyniku zupełnego zmielenia granitu. W tym ujęciu nie ma w Tatrach skał wieku permiańskiego, będących odpowiednikiem werrukana, a bezpośrednio na krystaliku leżą piaszczowce i zlepieńce kwarcytyczne werfenu. Nasunięcie to — zdaniem A. Michalika — nie musi wynosić kilkadziesiąt czy kilkanaście kilometrów, autor nie określa jednak bliżej amplitudy mówiąc, że wystarczy niewielkie przesunięcie by tego rodzaju struktury mogły powstać. Nie wiadomo, czy autor ma na myśli rząd kilku kilometrów czy tylko setek metrów.

Tak wygląda w obecnej sytuacji istota zagadnienia, które ma kluczowe znaczenie nie tylko dla geologii Tatr, ale i dla Karpat Centralnych, gdyż wiąże się tak z tektoniką jak i paleogeografią tego terenu. Jakkolwiek jest i było dla mnie rzeczą zupełnie jasną, że teza A. Michalika utrzymać się nie da, bo stoi w sprzeczności z obserwowanymi faktami, nie mniej zdając sobie sprawę z wagi zagadnienia oraz odpowiedzialności za publikowane słowo, postanowiłem poddać kontroli moje obserwacje oraz uzupełnić badania prowadzone w 1949 roku. Wyjazd w teren mnie i moim współpracownikom umożliwiło uzyskanie, dzięki życzliwemu poparciu Min. Szkolnictwa Wyższego, potrzebnych dewiz na pobyt na terenie Tatr Słowackich. W wycieczkach brali udział Prof. M. Turnau-Morawska oraz pracownicy naukowcy Zakładu Geologii Dynamicznej U. W. mgr Zb. Kotański, mgr W. Jaroszewski i mgr Zb. Wójcik. Szczególnie dużą pomoc okazał mi Zb. Kotański, co w wysokim stopniu ułatwiło mi wykonanie zadania. W teren wyprawiałem się pięciokrotnie, w tym dwukrotnie z Prof. M. Morawską, która na moją prośbę podjęła się petrograficznego opracowania problemu. Łącznie poświęciłem w terenie temu zagadnieniu 10 wycieczek całonocnych, co dało mi bardzo dużo materiału pozwalającego na stworzenie możliwie obiektywnego obrazu. Zebrane w czasie wypraw materiały potwierdziły w całej rozciągłości moje po-

glądy, pozwoliły ponadto na znacznie głębsze ujęcie zagadnienia i dostarczyły nowych, bardzo ciekawych danych, których w roku 1949 uzyskać nie mogłem wskutek przerwania badań z powodu wypadku.

Fotografie wykonali Zb. Kotański i St. Zwoliński, któremu jestem bardzo zobowiązany za udział w wyprawie.

Zarządowi Tatrzańskiego Parku Narodowego w Tatrzańskiej Łomicy dziękuję serdecznie za zezwolenie prowadzenia badań w obrębie Parku.

OPIS ODKRYWEK

Jak już wspomniałem, seria koperszadzka (jak stale będę nazywać ten zespół skalny ze względu na to, że zlepieniec stanowi tylko dolną jego część i to nie wszędzie istniejącą) występuje w kilku oderwanych płacach, jak to wykazał i na mapce uwidoczniał St. Sokołowski (1948). W sumie takich odkrywek nie wiążących się ze sobą jest pięć (fig. 1). Wszyst-

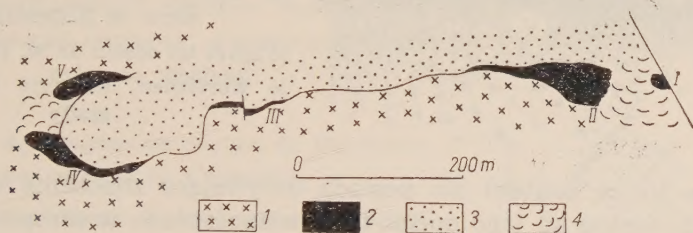


Fig. 1 — Mapka rozmieszczenia serii koperszadzkiej
(w oparciu o mapkę St. Sokołowskiego 1948)

1 granit; 2 seria koperszadzka; 3 piaskowce werfenu; 4 usypisko. I-V numery odkrywek
Carte de la répartition des affleurements de la série de Koperszady
(d'après St. Sokołowski)

1 granite, 2 série de Koperszady, 3 les grès du Werfénien, 4 éboulis. I-V les
affleurements décrits dans le texte polonais

kie te odkrywki zbadano w całości i szczegółowo, pobrano z nich próbki, wykonano szczegółowe rysunki i profile oraz fotografie. Miejscami tylko z powodu zbyt trudnego terenu i dużej ekspozycji musiałem się cofnąć.

Pierwszą z tych odkrywek (w dalszym opisie nazywać ją będę nr I) widzimy w żlebie spadającym z pod Przełęczy Pod Kopą tuż przy ścieżce prowadzącej na przełęcz. Odśłania się tam górna część serii koperszadzkiej rozwinięta w postaci czerwono-brunatnej gliny zawierającej w sobie liczne okruchy szarego i czerwonego granitu, ułamki skaleni, kwarcu oraz liczne duże blaszki miki. Czasem trafiają się ogładzone a czasem kanciate otoczaki wielkości gołębiego jaja. Materiał w glinie jest ułożony zupełnie bezładnie. Żadnej selekcji ani co do wielkości, ani rodzaju okru-

chów nie widać. Gлина jest silnie spękana w związku z faktem, że wzdłuż żlebu przebiega uskoki, który zaznacza się na powierzchni uskokowej gładką powłoką zielonych minerałów. Gлина czerwona przykryta jest przez strzaskane piaskowce kwarcytyczne werfenu; kontaktu normalnego wskutek zaburzenia związanego z uskokiem nie widać.

Posuwając się od tej odkrywki ku południowemu-zachodowi, u podnóża piaskowców werfeńskich w odległości około 100 m od odkrywki natrafiamy na odkrywkę II, bodaj że najciekawszą, bo odsłania się w niej cała seria, a ponadto wspaniale widoczny jest kontakt z werfenem. Z



Fig. 2

Kontakt werfenu z serią koperszadzką

(według rysunku W. Jaroszewskiego w werfen; sk seria koperszadzka)

Le contact du Werfénien avec la série de Koperszady

(d'après un dessin de W. Jaroszewski w Werfénien, sk série de Koperszady)

względu na to, że kontakt ten posiada decydujące znaczenie dla całego zagadnienia, zaczęę od jego opisu. Otóż bezpośrednio w stropie serii koperszadzkiej leżą zlepieńcowate piaskowce kwarcytyczne z otoczkami kwarcu, łupków krystalicznych, krzemieni itp. Dolna powierzchnia piaskowca werfeńskiego w kontakcie z czerwoną gliną jest niezwykle charakterystyczna (fig. 2 i pl. XXVI, fig. 1, 2). Wykazuje ona mianowicie obecność wydatnych żeber rozdzielonych przez znacznie od nich szersze bruzdy. Wysokość żeber wynosi kilka do kilkunastu cm. Bruzdy różnej szerokości mierzą od 20 do 40 cm. Kierunek żeber i bruzd zgodny jest z nachyleniem serii werfeńskiej tzn. żebra i bruzdy miałyby przy płaskim ułożeniu piaskowców werfeńskich kierunek południkowy. Żebra te i bruzdy zanurzają się w głąb, jak to można ustalić, odgrzebując dłutem i młotkiem pewną część leżącej niżej gliny czerwonej. Powierzchnia ta żadną miarą nie powstała przez wietrzenie odsłoniętej powierzchni, ale jest powierzchnią pierwotną i jako taka wnika w głąb na granicy werfenu i serii koperszadzkiej. Powierzchnię tę można śledzić na przestrzeni kilkudziesięciu metrów wszędzie tam, gdzie odsłania się kontakt werfenu z serią koperszadzką. Jest ona zatem — jak to pisałem w 1950 roku — odlewem górnej powierzchni serii koperszadzkiej, która ulegała rozmywaniu przez wody płynące. Kierunek płynięcia był południkowy, a sądząc z obecności pewnych otoczków w werfenie można przypuścić, że rzeki płynęły z po-

udnia. W momencie gdy Tatry w werfienie zaczęły się gwałtownie obniżać, cały niesiony przez rzeki materiał uległ depozycji dając zlepieniec kwarcytoczne. Zarzut A. Michalika, że wody płynące powinnyby w pierwszym rzędzie usunąć materiał miękki i dotrzeć do podłoża, bardzo łatwo odeprzeć, bo istotnie w większości przypadków tak się stało — tam, gdzie osady werfenu zostały złożone bezpośrednio na granicie. Seria koperszadzka ocalała jedynie tam, gdzie istniały większe zagłębienia, w miej-

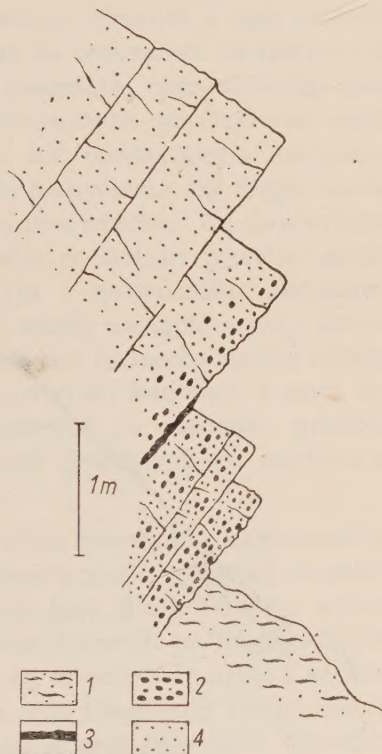
Fig. 3

Profil granicznych warstw werfenu w kontakcie z serią koperszadzką

1 seria koperszadzka; 2 zlepieniec kwarcytoczne werfenu; 3 łupiek czerwony; 4 piaskowce kwarcytoczne werfenu

Une coupe des couches du contact du Werfénien avec la série de Koperszady

1 série de Koperszady, 2 conglomérats — quartzites du Werfénien, 3 schiste rouge, 4 grès-quartzite du Werfénien



scach wyższych uległa zupełnemu usunięciu. To co się zachowało jest tylko niewielkim strzępem jakiegś być może grubszej pokrywy. Że takie tłumaczenie jest słuszne, dowodzi jeszcze jeden fakt widoczny w odkrywce II. Kilkadziesiąt cm powyżej kontaktu werfenu z serią koperszadzką pojawia się kilkucentymetrowa warstewka czerwonego łupku ilastego z miką (fig. 3). W analogicznej zupełnie sytuacji zjawia się ta warstewka w odkrywce poniżej progu z werfenem (kota 1930), którą opisałem w pracy z roku 1950. Pojawienie się tej warstewki na znacznej przestrzeni kilkuset metrów jest wyrazem pewnej stagnacji procesów erozyjnych i zupełnie spokojnej sedimentacji, bądź to z powodów klimatycznych, bądź chwilowego obniżenia terenu. Bezpośrednio na owej warstewce leży po-

nownie gruboklastyczny osad z otoczkami powstały w wyniku powtór-
nego odżycia procesów erozyjnych i zmiany warunków sedymentacy-
jnych. I — co jest rzeczą niezwykle znamioną — widać, że odmłodzenie
erozji spowodowało częściowe rozmywanie warstewki, która miejscami
znika, a leżąca na niej warstwa piaskowca zlepieńcowatego wykazuje na
dolnej powierzchni w kontakcie z warstwą łupku czerwonego pewną

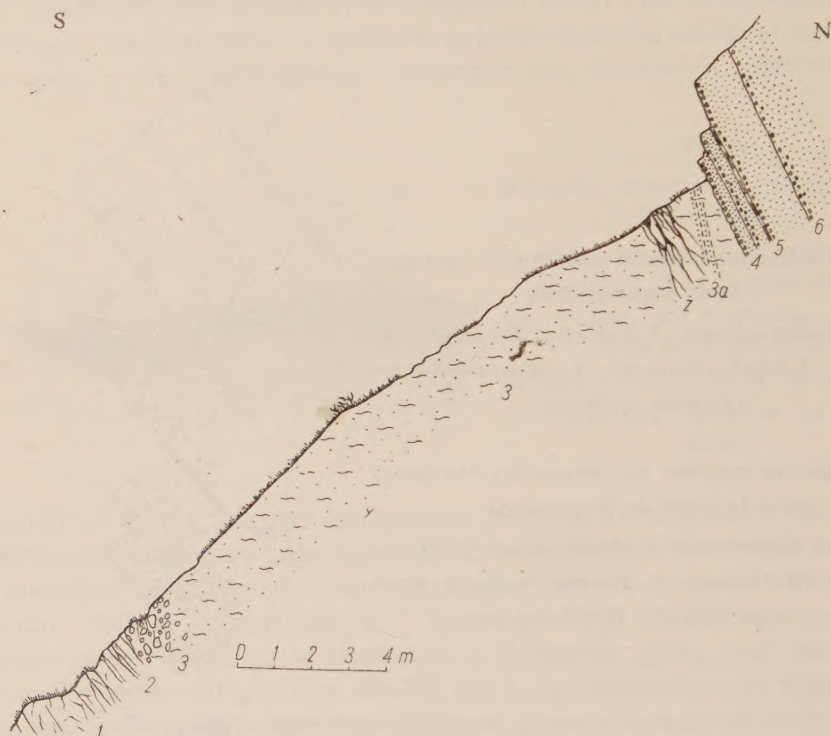


Fig. 4

Profil serii koperszadzkiej w odkrywce II
(zestawił Zb. Kotański)

1 granit szary; 2 granit z warstewkami czerwonymi; 3 glina czerwona z otoczkami
w dolnej części; x miejsce odpowiadające w profilu położonym bardziej ku zach-
odowi występowaniu skał wulkanicznych; ż żyłki kwarcowo-skaleńiowe; 3a war-
stewki mułowców i zlepieńców; 4 zlepienie kwarcytyczne werfenu; 5 łupek czerwony
6 piaskowce kwarcytyczne werfenu

Coupe de la série de Koperszady dans l'affleurement II
(dressée par Zb. Kotański)

1 granite gris, 2 granite intercalé par des bandes du granite rouge, 3 l'argile rouge
avec des galets dans la partie basale, x correspond dans la coupe située plus ver-
l'Ouest à l'affleurement des roches volcaniques, ż filons quartzo-feldspathique
3a les minces couches de schistes et conglomérats, 4 conglomérats-quartzites d
Werfénien, 5 schistes rouges, 6 grès-quartzites du Werfénien

ierówności typu obserwowanego na granicy werfenu i serii koperszadzkiej, chociaż znacznie słabiej zaakcentowane. Jest to znów odlew górnej, ozmywanej przez erozję powierzchni czerwonego łupku. Wszystkie natomiast powierzchnie dolne piaskowców werfeńskich leżące wyżej są zupełnie równe i żadnych tego rodzaju zjawisk nie wykazują, z wyjątkiem szczelin, które powstały na skutek uskoków. Ten kontakt obu powierzchni jest uderzający i — jak zobaczymy — powtarza się w innych odkrywach, tak iż nie sposób tłumaczyć go inaczej niż to podałem. Tłumaczenie takich powierzchni wietrzeniem jest niemożliwe również z tego powodu, że chodzi tu przecież o skałę bardzo odporną na wietrzenie chemiczne, jaką jest piaskowiec kwarcytoczny o daleko posuniętej rekryształizacji spoiwa. Powierzchnia dolna piaskowców zlepieńcowatych werfenu jest zatem normalną powierzchnią sedymentacyjną, a nie powierzchnią nasunięcia tektonicznego. Jest rzeczą absolutnie nie do pomyślenia, by mogło nastąpić jakiejkolwiek przesunięcie wzdłuż takiej powierzchni. Na powierzchni tej nie ma śladu jakichkolwiek prążków, które musiałyby powstać, gdyby werfen przesunął się po trzonie granitowym i spowodował skruszenie zmielenie jego stropowej części. Odkłucie mogło nastąpić wyżej, ale nigdy na kontakcie z serią koperszadzką, gdyż jest to mechanicznie niemożliwe. Istnieją pewne poślizgi w werfieniu powyżej kontaktu z serią koperszadzką, ale można je zawsze łatwo rozeznaczyć po obecności prążków wygładzonych powierzchni. Potwierdzeniem autochtonizmu werfenu są jeszcze inne niż podane fakty.

Poniżej werfenu leży seria (fig. 4), którą nazwałem koperszadzką. W górze jest to glina czerwono-brunatna identyczna z tą, którą opisałem w odkrywce I. Glina wykazuje obecność pewnego złupkowacenia wywołanego naciskiem, ale zupełnie brak tu jakichkolwiek poślizgów. Wśród bezładnie rozrzuconych okruchów rzucają się w oczy kanciaste i zaokrąglone ułamki granitu szarego i czerwonego oraz fragmenty jakby jakichś skał wylewnych. Licznie występuje mika w dużych blaszkach bezładnie rozrzucona, nie wykazująca żadnej orientacji. Blaszkki leżą we wszystkich niemal kierunkach, co nie byłoby możliwe, gdyby po niej przesunął się werfen. Ponadto gdyby glina powstała z roztarcia granitu, to mika musiałaby ulec całemu zmieleniu. W odległości około 1 m od kontaktu z werfenem widać parokrotnie powtarzające się warstewki czerwonego mułowca i zlepieńca złożonego z zaokrąglonych okruchów skaleni i granitu (3a na fig. 5). Powstanie tych warstewek jest wyrazem pewnej selekcji i wodnego transportu materiałów. Warstewki te ku pd.-zachodowi wyklinowują się. Stoją one bardzo stromo i wygląda tak, jakby istniała kątowa niezgodność z wyżej leżącym werfenem. Jako rzecz znamionną warto podkreślić, że warstewki te nie są zaburzone (poza oczywiście ich nachyleniem), co musiałoby niechybnie nastąpić, gdyby werfen został na-

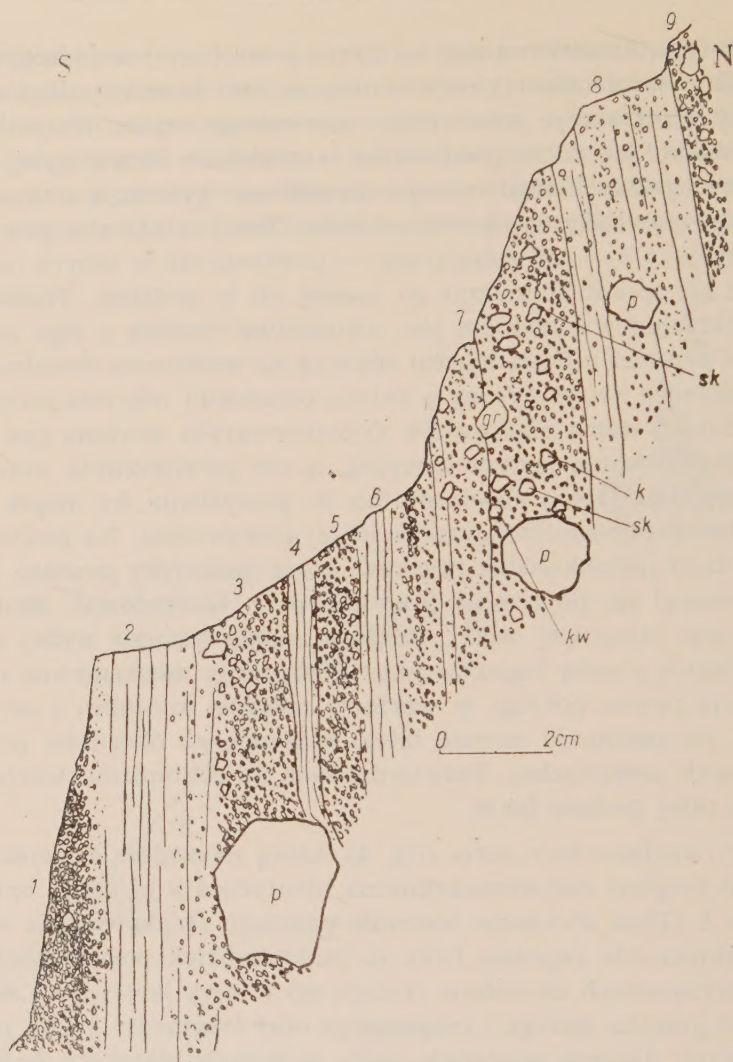


Fig. 5

Profil serii mułowcowo-żwirkowatej ze stropu serii koperszadzkiej w odkrywcę I (zestawił Zb. Kotański)

1 brekcja względnie zlepienieć złożony z okruchów granitu i minerałów pochodzących z granitu; 2 mułowiec czerwony; 3 glina czerwona; 4 mułowiec czerwony; 5 glina czerwona; 6 mułowiec czerwony; 7 glina czerwona z dużą ilością okruchów minerałów pochodzących z granitu; 8 glina czerwona z małą ilością okruchów; 9 glina czerwona z dużą ilością okruchów; p okruchy pegmatytów; kw okruchy kwarcu; sk okruchy skaleni; gr okruchy granitu

Coupe de la série de schistes et conglomérats du toit de la série de Koperszady dans l'affleurement II (dressée par Zb. Kotański)

1 brèche ou conglomérat composé de débris de granite et des minéraux provenant de granite, 2 schiste rouge, 3 argile rouge, 4 schiste rouge, 5 argile rouge, 6 schiste rouge, 7 argile rouge avec une grande quantité de minéraux provenant de granite, 8 argile rouge avec des débris de granite, 9 argile rouge avec une grande quantité de débris, p débris de pegmatite, kw débris de quartz, sk débris de feldspath, gr débris de granite

nięty na serię koperszadzka. Nieco dalej ku pd.-zachodowi, około 2 m poniżej kontaktu werfenu z serią koperszadzka w glinie czerwonej pojawiają się liczne żyłki grubości kilku mm do 1 cm (pl. XXVII, fig. 1, 2 i pl. XXVIII, fig. 1) złożone z kwarcu, skalenia i muskowitu. Żyłki te przecinają glinę w różnych kierunkach, miejscami cienieją lub nabrzmiewają, zasem się rozgałęziają. Żyłki przecięte są przez pęknięcia i uskoki, które tną i werfen. Są więc od uskoków starsze. Widać również, że przechodzą przez nie płaszczyzny złupkowacenia. Żyłki są więc również starsze od złupkowacenia wywołanego ruchami alpejskimi, które pofałdowały Tatry. Żyłki zapadają dość stromo ku północy i — co jest rzeczą znaną — nie wykazują śladu najmniejszych zaburzeń. Gdyby leżący wyżej werfen, kontaktujący z serią koperszadzka tak nierówną powierzchnią w odległości zaledwie dwóch metrów od żyłek, przesunął się po nich, to musiałby spowodować nie tylko ich pofałdowanie, ale zupełne zmielenie. Gdyby glina czerwona powstała przez zmielenie i starcie granitu, to nie można sobie wyobrazić jakim sposobem mogłyby się w niej zachować nietknięte żyłki. Dowodzi to ponad wszelką wątpliwość, że werfen leży normalnie i nie został nasunięty. Obecność żyłek kwarcowo-skaleniowych dowodzi ponadto obecności w Tatrach zjawisk magmowych starszych od werfenu a młodszych od gliny czerwonej. Do zagadnienia tego powrócę później.

Poniżej kompleksu z żyłkami kwarcowo-skaleniowymi utrzymuje się charakter osadu, jednak żyłek nie widać. Na pewnej przestrzeni oddolnienie zakryte jest trawą i rumoszem i wreszcie niżej odsłania się po prostu czerwona glina, w której po raz pierwszy występują bloki i otoczaki granitowe. Mają one wielkość do 15 cm. Są to głównie bloki granitu jasnoszarego odcinające się bardzo ostro od czerwono-brunatnego tła. Są one przeważnie zaokrąglone, niektóre jednak zachowały wyraźne kanty (pl. XXVIII, fig. 2). Jeden z nich ma wybitnie zaostrzoną krawędź. Bloki wykazują wyraźne ułożenie zgodnie z ich dłuższą osią i leżą zgodnie z upadem całej serii. Odcinają się one ostro od otaczającej skały, którą jest opisana wyżej glina i mowy nie ma, by można je wyprowadzić z kuszistego wietrzenia granitu. Są to absolutnie dwie różne skały. Bloki musiały zostać przeniesione i złożone wśród gliniastej masy. Wśród bloków przeważa szary granit, trafiają się nieraz, choć rzadziej, również i bloki granitu czerwonego. Glina czerwona leży bardzo ostrą granicą na granicy szarym zawierającym cienkie pasma granitu czerwonego, zapadające ku północy, ale zdaje się łagodniej niż glina czerwona. Granica pomiędzy granitem a czerwoną gliną jest — jak wspomniałem — ostra, czerwona glina stanowi zupełnie odrębny utwór. Nieco dalej ku pd.-zachodowi pod czerwoną gliną leży silnie strzaskany granit czerwony przejęty szczelinami i pęknięciami o kierunku zdaje się odmiennym od kierunku spękań

tnących werfen (kierunek spękań około 120°). Granit wykazuje tendencję do kulistego wietrzenia.

Cała seria koperszadzka jest tu i ówdzie przecięta pęknięciami i uskokami tnącymi również werfen. Niektóre z nich przecinają także i otoczaki, które są od nich oczywiście starsze i nie mogły być wywołane

Fig. 6

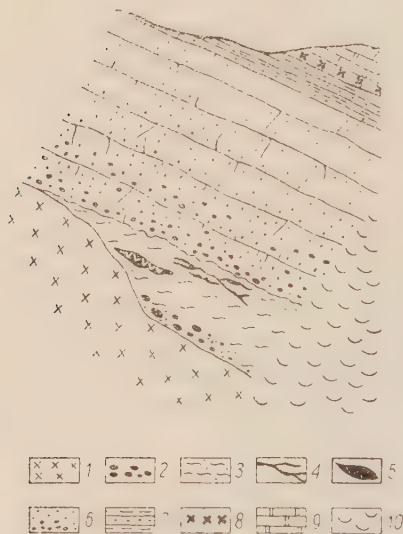
Profil serii koperszadzkiej w odkrywce II
(werfen według Zb. Kotańskiego)

1 granit; 2 glina czerwona z otoczkami; 3 glina czerwona; 4 żyłki kwarcowo-skalieniowe; 5 tufy wulkaniczne i skała ryolitowa; 6 piaskowiec kwarcytoczny dolnego seisu, zlepniocowaty w dole; 7 na przemian leżące piaskowce czerwone i łupki, sejs górny; 8 dolomity komórkowe, kampil dolny; 9 warstwy myoforiowe, kampil górny; 10 usypisko

Coupe de la série de Koperszady dans l'affleurement II

(Werfénien d'après Zb. Kotański)

1 granite, 2 argile rouge avec des galets, 3 argile rouge sans de galets, 4 filons quartzo-feldspathiques, 5 tufs et tuffites volcaniques et rhyolites, 6 grès-quartzites du Werfénien inférieur conglomératique à sa base, 7 grès rouges alternant avec des schistes, 8 dolomies caverneux (campil inférieur), 9 couches à Myophoria (campil supérieur), 10 éboulis



spękaniem granitu, powodującym — według Michalika (1956) — kuliste wietrzenie. Nie przesądzając kwestii powstania otoczków, musimy przyjąć, że zostały one w jakiś sposób przetransportowane i ułożone w gliniastej masie.

W części pd.-zachodniej odkrywki II ponad kompleksem z otoczkami, a wśród glin czerwonych pojawia się skała o barwie zielonawej, wykazująca na tle zbitej masy spoiwa obecność okruchów kwarcu i skaleni. Skała ta, według określenia M. Turnau-Morawskiej, jest brekcją tufowo-wulkaniczną. Razem z nią występuje skała o barwie zielonej, w której na tle zbitego tła występują widoczne makroskopowo kryształy i ziarna kwarcu, skaleni i miki. Skała ta, zgodnie z określeniem M. Turnau-Morawskiej, reprezentuje skałę wylewną typu ryolitowego, względnie tuf wulkaniczny. Na podkreślenie zasługuje fakt, że skały te nie wykazują żadnych deformacji dynamometamorficznych. Skalenie są całe i nie uległy pokruszeniu. Przeczy to również zdecydowanie tezie o tektonicznym charakterze kontaktu werfenu.

Cała miąższość serii koperszadzkiej w badanym profilu mierzy ponad 20 m. Dokładnej miąższości podać nie sposób, gdyż nie znamy na pewno dokładnego upadu całej serii.

Gdy posuwamy się ku pd.-zachodowi widać wyraźnie (fig. 6), że miąższość całej serii szybko maleje. Granit występujący w spągu podnosi się, przy czym znika najpierw część dolna serii z otoczkami i wreszcie werfen wchodzi w kontakt z granitem, a seria koperszadzka ulega wywinowaniu. Co prawda bezpośredniego kontaktu werfenu z granitem stwierdzić nie mogłem, gdyż teren jest silnie zarośnięty, ale odległość między granitem a werfenem jest tak niewielka, że nie ma miejsca na serię koperszadzką, która zresztą ujawniałaby się czerwoną barwą. Rozstrzygając więc sposób występowania serii koperszadzkiej w opisanej odkrywce widzimy, że wypełnia ona jakieś zagłębienie i ulega ścięciu przez werfen w miejscach, gdzie leżała morfologicznie wyżej.

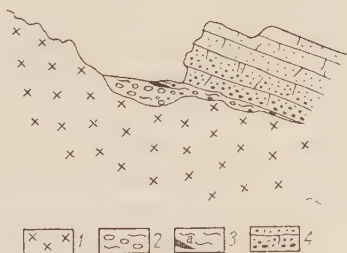
Dalej ku pd.-zachodowi seria koperszadzka ginie i zaznacza się czerwoną barwą dopiero wysoko wśród skałek w miejscu dość trudno dostępnym. Jest to odkrywka III. Miąższość całej serii, dokąd mogłem dotrzeć, wynosi około 1 m. Odsłania się tu tylko górna część serii tj. glina czer-

Fig. 7

Profil serii koperszadzkiej w odkrywce IV
1 granit; 2 zlepieniec koperszadzki; 3 glina czerwona, a ławica arkozy; 4 piaskowiec kwarcytowy werfenu zlepięncowaty w dole

Coupe de la série de Koperszady dans l'affleurement IV

1 granite, 2 conglomérat de Koperszady, 3 argile rouge, a une couche d'arkose; 4 grès-quartzite du Werfénien conglomératique à sa base



ona. W pobliżu kontaktu z werfenem widać warstewkę czerwonego łupku zapadającego pod werfen. W odkrywce tej odsłania się ponadto bardzo pięknie kontakt werfenu z serią koperszadzką. Powierzchnia kontaktu posiada także same żebra i bruzdy, jakie opisałem z odkrywki II. Są one może nieco gorzej wyrażone niż w odkrywce II, ale również niezwykle charakterystyczne. Nie jest to więc zjawisko lokalne, oderwane, ale występuje na przestrzeni setek metrów i nie może być przypadkiem, skoro spotykamy je wszędzie tam, gdzie odsłania się kontakt werfenu z serią koperszadzką.

Idąc wreszcie dalej ku pd.-zachodowi natrafimy na piękne odsłonięcie serii koperszadzkiej na szlaku idącym od Przełęczy Pod Kopą na Janięcy i stąd znane najdawniej. Jest to klasyczne odsłonięcie opisane przez Uhliga (1897) i Limanowskiego (1903). Występuje tam (odkrywka

IV) u stóp niewielkiego progu zbudowanego z piaskowców zlepieńcowanych werfenu (kóta 1930) niewielka przełączka zajęta niemal że w całości przez zlepieniec serii koperszadzkiej; czerwona glina występuje jedynie w pobliżu progu (fig. 7). Profil wygląda tu następująco: na szarym a miejscami czerwonym granicie leży odcinający się zupełnie wyraźny, gruby, bo około 5 m liczący zespół konglomeratowy, w którym występują bloki o bardzo zmiennej wielkości — od kurzego jaja i mniejszej po bloki przewyższające rozmiarami głowę ludzką. Bloki mają bardzo różny kształt. Niektóre są doskonale zaokrąglone, inne mają wyraźne krawędzie, a niektóre z nich są wyraźnie kanciaste. Zdarzają się bloki niemało okrągłe i zupełnie płaskie. Bloki tkwią wśród spoiwa, które składa się z ostrokanciastych okruchów skaleni, kwarcu i granitu tkwiących w czerwonej ilastej masie przepojonej tlenkami żelaza. Spoiwo wykazuje miejscami zupełnie wyraźne warstwowanie, wyrażające się uszeregowaniem poszczególnych składników i ich selekcją wedle wielkości. Są partie, w których przeważa materiał drobniejszy, jak i takie, w których występują okruchy grubsze. Są również partie, w których nagromadziło się bloków i otoczków więcej, niż w rozdzielających je warstwach. Miejscami skała ma charakter żwirowaty. Wtedy poszczególne dobrze zaokrąglone elementy układają się w wyraźne warstwy. Występujące w nich otoczki podkreślają jeszcze bardziej torrencjalny charakter osadu. Jest rzeczą bardzo znamioną, że bloki o kształtach bardziej przypłaszczonych układają się przeważnie równolegle do dłuższych osi i że widać jakby ułożenie bloków warstwami czy pasami. Oczywiście niezależnie od warstwowania, które można bardzo łatwo poznać po ułożeniu składników, zaznacza się złupkowacenie wywołane naciskiem w czasie ruchów fałdowych. Nie widać natomiast żadnych poślizgów związanych ze złupkowaniem. Cała seria jest w kilku miejscach przecięta uskokami, które tną miejscami również i bloki, co jest dowodem, że są one starsze od uskoków. Nie zwykle znamieny jest skład petrograficzny bloków. Bardzo często spotykamy granit szary drobno i grubokrystaliczny. Często bardzo elementem jest granit czerwony, podobny do tego, jaki w wielu miejscach spotykamy w spągu całej serii koperszadzkiej. Granit czerwony powstaje najwidoczniej z granitu szarego, na skutek zmian późniejszych, bo mają otoczki szare, częściowo zaczerwienione pochodzące zatem z partii, gdzie zaczerwienienie nie dotknęło jeszcze całej skały¹. Występują również dość licznie otoczki i bloki grubo i drobnokrystalicznych pegmatytów oraz bloki i otoczki aplitów. Jednym słowem spotykamy dość znaczną różnorodność skał charakterystycznych dla zewnętrznej strefy trzonu gra-

¹ Odróżnić należy zmiany, jakim podlegały otoczki już po złożeniu ich w osadzie, a które wyrażają się powstaniem czerwonej otoczki równoległej do powierzchni otoczaka.

itowego. Znamienne jest ułożenie tych elementów. Występują one bowiem najzupełniej bezładnie, jeśli chodzi o skład petrograficzny. Obok granitu czerwonego tuż obok albo na nim leży otoczek granitu szarego. Wydobyłem np. widoczny na pl. XXIX, fig. 1 dość duży płaski otoczek granitu czerwonego doskonale zaokrąglonego a tuż obok w takiej samej pozycji blok granitu szarego. W wielu miejscach najzupełniej bezładnie leżą zupełnie okrągłe lub nieco kanciaste bloki pegmatytów. Tu i ówdzie potykamy bezładnie rozrzucone bloki i otoczaki aplitu². A. Michalik (1956) postawił tezę, że opisywane tu bloki i otoczaki nie są wcale otoczakami, ani nie zostały przyniesione na miejsce swego występowania, lecz powstały przez wietrzenie kuliste granitu. Równocześnie jednak przyjął on, że wskutek nasunięcia werfenu granit uległ zupełnej kataklazie, tzn. do zupełnego zmielenia. Zachodzi wobec tego pytanie, jak taki zmieszany granit może dawać bloki niejednokrotnie zupełnie zdrowe i zwarte, tak że je trudno rozbić. Najważniejszą jednak rzeczą, dla mnie zupełnie niezrozumiałą przy przyjęciu powstania bloków przez kuliste wietrzenie, jest sprawa, w jaki sposób z czerwonej masy, która stanowi przecież załadnicze tło skały, przez kuliste wietrzenie mogą wypadać bloki granitu szarego, różnego rodzaju pegmatytów, aplitu itd. Podkreślam, że nie tworzą one żył, ale leżą zupełnie luźno. Zwraçałem specjalną uwagę na teksturę otoczaków czerwonego granitu, które mogłyby najbardziej pozorować powstanie przez kuliste wietrzenie. Otóż tekstura takiego otoczaka różni się niesłychanie ostro od masy otaczającej, która składa się z druzgotu granitowego względnie masy ilastej żelazistej zawierającej również strokanciaste okruchy. Żadną miarą nie można wyprowadzić otoczaka z masy otaczającej. A co sądzić o otoczakach dobrze zaokrąglonych, które leżą w żwirze, składającym się z zaokrąglonych fragmentów skalnych? Wszystko to mówi w sposób jak najbardziej wyraźny, że bloki nie powstały wskutek kulistego wietrzenia, ale zostały przyniesione i złożone w jakiejś gliniastej masie przepełnionej druzgotem granitowym. Można dyskusować nad sposobem powstania owych bloków, czy ich kształt jest wyrazem ogładzenia przez wodę, czy też powstał przez wietrzenie. Można

² A. Michalik (1956) opisuje i załącza w swej pracy fotografie żyły aplitowej, przecinającej zlepieniec koperszadzki. Nigdzie w serii koperszadzkiej żyły aplitowej nie widziałem. Stwierdziłem jedynie obecność niewątpliwych otoczaków aplitowych, oświadczając, że aplit jest starszy od zlepienia. W serii koperszadzkiej stwierdziłszy natomiast obecność skał wulkanicznych. Obecność żył aplitowych w serii koperszadzkiej wydaje mi się nieprawdopodobna. Albo wspomniana przez A. Michalika skała nie jest aplitem, albo pochodzi nie z serii koperszadzkiej, ale z niżej leżącego granitu.

Autor (str. 10) wspomina również o występowaniu w zlepieniu koperszadzskim żył pegmatytowych, powołując się na fotografię 5 tabl. III i fot. 6 tabl. IV. Na fotografiach tych nie widać jednak żadnych żył i nie ma o nich także żadnej wzmianki w opisie fotografii. Zachodzi tu więc jakieś nieporozumienie.

również dyskutować o sposobie ich transportu. Nie sposób jednak negować zlepieńcowatego charakteru utworu. W oparciu o powyższe fakty podtrzymuję w całej rozciągłości nazwę zlepieńca koperszadzkiego dla dolnej części serii koperszadzkiej.

Niektóre z otoczków i bloków wykazują istotnie skorupowe pękanie. Dzieje się to jednak już w warunkach współczesnych i w ten sposób łuszczą się gotowe bloki czy otoczaki, które tkwią w masie czerwonego spoiwa (pl. XXXII, fig. 1). Zaznacza się to zarówno wśród szarych, jak i czerwonych granitów. Nie ma to jednak nic wspólnego z powstaniem bloków na skutek kulistego wietrzenia.

W odległości około 4 m ponad granicą zlepieńców z granitem występuje 25-cio centymetrowa ławica litej skały (pl. XXXIII, fig. 1) składającej się z okruchów, czasem zaokrąglonych, granitu, skaleni i kwarcu, zlepionych krzemionką. (Jeden okaz zawiera duży otoczek aplitu). Jest to zatem arkoza. Na pierwszy rzut oka skała przypomina strzaskany granit. Skała ta łączy się ściśle z niżej leżącą serią o charakterze zlepieńcowatym, którą opisałem wyżej. Przejście odbywa się w ten sposób, że tuż w pobliżu ławicy jest to zlepienie składający się z dużych, kilkucentymetrowych okruchów i otoczków tkwiących w drobnej masie druzgotnie scementowanej krzemionką. Niżej spotykamy już skałę o spoiwie ilastym, żelazistym, przedstawiającą normalny typ zlepieńca koperszadzkiego. Opisana wyżej ławica posiada bieg w ogólnych zarysach zgodny z biegiem werfenu i jeszcze silniej podkreśla osadowy charakter serii koperszadzkiej. Występuje ona wśród utworów przepojonych tlenkami żelaza i powstać musiała w pewnym określonym momencie, gdy w osadzie znalazła się większa ilość krzemionki. Może należałoby jej powstanie wiązać z akcją wulkaniczną i powstaniem tufów, których rozkład mógłby dostarczyć krzemionki niezbędnej dla scementowania arkozy.

Zlepienie koperszadzki tworzy niemal całą przełączkę. Jedyne niewielką część w pobliżu progu zbudowanego z piaskowca werfeńskiego zajmuje glina czerwona stanowiąca górną część serii koperszadzkiej. Seria koperszadzka wypełnia na przełączce wyraźnie bardzo ostro odgraniczoną kieszeń. Tam, gdzie kończy się płaska powierzchnia przełączki, a zaczynają się skałki Jagńięcego, widać już tylko szary granit. Ponad zlepieniem koperszadzkim i ponad ławicą wspomnianej arkozy leży czerwona glina, zawierająca jeszcze w spodzie mnóstwo ostrokanciastych okruchów pochodzących z wietrzenia granitu. Ta górna część serii koperszadzkiej ciągnie się od przełączki w dół u podnóża ścian zbudowanych z piaskowców werfeńskich dość daleko, znacząc swoją obecność czerwoną barwą. Na tej przestrzeni zaznacza się wyraźnie kontakt werfenu i serii koperszadzkiej, który opisałem w pracy poprzedniej. Widać tu również wyraźnie, że dolna powierzchnia piaskowców werfeńskich pokryta jest

zebraми i bruzdami, które nie powstały przez wietrzenie, gdyż zanurzają się w głąb. Można to bardzo łatwo udowodnić, usuwając glinę czerwoną wzdłuż kontaktu. Kilkanaście cm wyżej od kontaktu obu serii pojawia się w piaskowcu werfeńskim warstewka czerwonego łupku z miką, taka sama, jaką opisałem w odkrywce II. Występująca w tej odkrywce poniżej werfenu glina czerwona jest wyraźnie sprasowana, nie wykazuje jednak żadnych poślizgów świadcząc, że werfen leży na miejscu. Gdy obserwujemy przebieg czerwonej gliny ku pn.-wschodowi tj. ku Przełęczy Pod Kopą widzimy, że glina traci szybko na miąższości na skutek tego, że w tym kierunku podnosi się granit. Miąższość gliny czerwonej szybko maleje i wreszcie glina kończy się wśród niedostępnych skałek świadcząc, że seria koperszadzka w tejże odkrywce podobnie jak w odkrywce II wypełnia jakieś zagłębienie i nie tworzy zwartej pokrywy na dłuższej przestrzeni.

Granit leżący poniżej serii koperszadzkiej wykazuje na szczelinach powłoki hematytowe. Jak głęboko sięgają one w głąb, nie miałem możliwości stwierdzić. St. Sokołowski (1948) rysuje je jedynie w sąsiedztwie serii koperszadzkiej.

Seria koperszadzka pojawia się ponadto jeszcze po zachodniej stronie przełęczy kilkadziesiąt metrów poniżej jej poziomu (odkrywka V). W dole na granicie leży tu kompleks zlepieńca koperszadzkiego o typie podobnym, co po wschodniej stronie przełęczki, a na nim czerwona glina identyczna z opisaną wyżej. Kontakt z werfenem niewidoczny. Odkrywka jest interesująca, gdyż bardzo jasno zaznacza się tu charakter otoczek, odcinających się nadzwyczaj ostro od spoiwa.

Jak widać z opisu, wszystkie te odkrywki stanowią strzępy jakiegś znacznie potężniejszej serii, która ocalała tylko w zagłębieniach. Tam, gdzie zagłębienie było większe, zachowała się seria zlepieńcowata, gdyż zlepieniec wypełnia najwidoczniej miejsca najniżej położone. Tam zaś, gdzie podłoże wznosi się, ocalała jedynie górna część serii koperszadzkiej tj. czerwona glina. W miejscach, które wznosiły się jeszcze wyżej seria koperszadzka uległa zupełnemu ścięciu podczas denudacji przedwerfeńskiej.

STRATYGRAFIA I GENEZA SERII KOPERSZADZKIEJ

Przedstawione powyżej fakty dają zupełnie jasny i niedwuznaczny obraz. Zacznę od sprawy najważniejszej, która decyduje o całości problemu, a mianowicie od stosunku werfenu do serii koperszadzkiej. W odkrywkach II, III i IV tj. tych, gdzie odsłania się kontakt obu serii, widać wyraźnie, że dolna powierzchnia ławicy werfenu leżącej bezpośrednio na serii koperszadzkiej jest wybitnie nierówna i pokryta zebraми i bruzda-

mi charakteru erozyjnego. Sprawie tej poświęciłem specjalną uwagę i nie ograniczyłem się tylko do obserwacji samej odsłoniętej powierzchni, ale odsłoniłem ją głębiej tak, że charakter kontaktu nie może ulegać najmniejszej wątpliwości. Dolna powierzchnia ławicy werfenu jest po prostu odlewem górnej powierzchni rozmywanej w tym miejscu serii koperszadzkiej. W żadnej z odkrywek nie stwierdziłem nawet śladów przesunięć obu serii w stosunku do siebie, żadnych prążków, nawet najmniejszych poślizgów. Nie wyobrażam sobie przy tak zazębionej ze sobą powierzchni mechanicznej możliwości jakiegokolwiek ruchu obu serii w stosunku do siebie. Opisany wyżej charakter kontaktu, który da się stwierdzić na przestrzeni setek metrów, jest wystarczającym dowodem, że kontakt werfenu z serią koperszadzką ma charakter sedymentacyjny a nie tektoniczny. Potwierdza tę tezę fakt, że leżąca niżej seria koperszadzka nie wykazuje żadnych zaburzeń, nie widać w niej poza złupkowaceniami żadnych poślizgów. Skala nie wykazuje żadnego ułożenia mechanicznych składników. Mam okaz, w którym ziarno kwarcu stoi dłuższą ośią w poprzek płaszczyzny łupkowatości, co byłoby absolutną niemożliwością, gdyby wzdłuż tej płaszczyzny nastąpiło przesunięcie.

W odkrywce II — jak wspomniałem — występują na przemian leżące warstewki mułowca i zlepieńca zupełnie nietknięte. Nie mogłyby się one ostać przy nasunięciu werfenu. Idei nasunięcia przeczy również obecność niezaburzonych żyłek kwarcowo-skaleniovych w odkrywce II. Ich wiek przedwerfeński nie może ulegać wątpliwości. Z koncepcją nasunięcia nie godzi się ponadto sposób występowania utworów koperszadzkich. Nie tworzą one — jak widzieliśmy — jakiejś zwartej jednolitej pokrywy, która podściela na całej rozciągłości werfen, ale wypełniają zagłębienia w granicie. Gdyby seria koperszadzka była facją tektoniczną granitu i powstała w wyniku nasunięcia werfenu na granit, to powinna by ona równomiernie podścielać werfen na całej jego długości. Tymczasem widać najwyraźniej, że werfen ścina jakiś utwór starszy od siebie, który ocalał przed zniszczeniem w czasie erozji przedwerfeńskiej i z rozmieszczeniem werfenu nie ma nic wspólnego. Seria koperszadzka nie może być także i z tych powodów traktowana jako wynik nasunięcia werfenu, gdyż przeczy temu jej sposób występowania.

Biorąc więc pod uwagę wszystkie cztery wyżej wymienione momenty, a więc nierówną dolną powierzchnię piaskowców werfeńskich, brak jakichkolwiek zaburzeń tektonicznych w przylegającej do werfenu czerwonej glinie, obecność nietkniętych żyłek kwarcowo-skaleniovych w tejże glinie oraz sposób występowania serii koperszadzkiej, uważam, że mam wystarczające powody by w całej rozciągłości podtrzymać tezę wypowiedzianą przeze mnie w roku 1950, że *werfen w grani Jagnięcego leży na miejscu i nie został tektonicznie nasunięty*. W konsekwencji oczywiście

i związane z werfenem wyższe ogniwa, a więc i cała seria wierchowa jest związana sedymentacyjnie z trzonem granitowym Tatr i jej obszar sedymentacyjny w stosunku do granitu nie został przesunięty.

Stwierdzenie tego faktu ma doniosłe konsekwencje dla dalszych rozważań. Pozbawia to bowiem wszelkich podstaw koncepcję o tektonicznym charakterze serii koperszadzkiej wywołanej nasunięciem werfenu, bo takiego nasunięcia nie ma. Nie twierdzę jednak i nigdy nie twierdziłem, że tak jest wszędzie, tzn. że kontakt werfenu z trzonem granitowym ma wszędzie charakter sedymentacyjny. Jest rzeczą wysoce prawdopodobną, że mogło nastąpić odklucie obu tak różnych serii zwłaszcza w miejscach wyższych, powyżej serii zlepieńcowatej. I wtedy w kontakt z granitem mogłyby wejść jakieś ogniwa werfenu, może wyższe, a leżący na granicie spąg werfenu pozostałby w tyle i uległ zniszczeniu. Nie zmienia to jednak zasadniczej tezy o autochtonizmie werfenu w stosunku do granitu, gdyż nasunięcie to nie mogło z natury rzeczy mieć zbyt wielkiej amplitudy.

Nie wypowiadam się w sprawie słuszności ostatnio wypowiedzianej przez A. Michalika (1955) tezy o istnieniu jeszcze niższej jednostki od serii Kominów Tylkowych. Na obszarze Jagńięcego klastyczne utwory werfenu dolnego (seis) przechodzą w osady łupkowo-dolomitowe werfenu górnego (kampil — Kotański 1956) i należą do serii Kominów Tylkowych.

Na str. 29 zamieszcza A. Michalik rysunek ilustrujący „przekrój przez brekcję koperszadzką na terenie Koszystej”. Na rysunku tym widać jedynie kontakt, zapewne tektoniczny, granitu z piaskowcami kwarcytowymi werfenu. Przekrój ten nie przypomina w niczym profilu serii koperszadzkiej w grani Jagńięcego Wierchu.

Kontakt werfenu z trzonem granitowym odsłania się między innymi miejscami i wzdłuż ścieżki idącej od Liliowego na Swinicę na Skrajnej Turni. Był on przedmiotem badań M. Turnau-Morawskiej (1955). A. Michalik (1956) podkreśla podobieństwo serii skalnej na Skrajnej Turni z serią koperszadzką, wyrażające się zgnejsowaniem obu serii oraz silnym strzaskaniem granitu a przede wszystkim kwarcu, co wskazuje na wybitne zaawansowanie tektoniczne całej serii. Z własnych obserwacji dorzuciłbym do charakterystyki tej interesującej odkrywki następujące szczegóły. Granit w pobliżu werfenu wykazuje istotnie silnie strzaskanie i sprasowanie przypominając zupełnie granit, który znajduje się w spągu serii koperszadzkiej. Tuż w pobliżu werfenu granit rozpada się na ostrokrawędzisty, drobny gruz złożony z ziarn skaleni, kwarcu i miki o barwie szaro-zielonej. Nie przypomina to zupełnie utworów serii koperszadzkiej, która w górnej swej partii posiada charakter gliniasty, a niżej zawiera bloki i otoczaki w masie druzgotu skalnego. Mam wrażenie, że re-

prezentowane jest tu podłoże serii koperszadzkiej. Seria koperszadzka, jeśli istniała, została doszczętnie zmyta. Próbowałem zbadać kontakt werfenu i granitu. Bezpośrednio na granicie leżące utwory werfenu różnią się od takichże utworów na grani Jagnięcego. Na Jagnięcym w kontakcie z serią koperszadzką występują grube, zlepieńcowate piaskowce, na Skrajnej Turni natomiast bezpośrednio na granicie leży czerwony piaskowiec, wyżej dopiero zawierający partie zlepieńcowate, o mniejszych jednak znacznie rozmiarach otoczków i mniejszej grubości serii zlepieńcowatej. Próbowałem odsłonić bezpośredni kontakt obu serii. Dolna powierzchnia werfenu wykazuje nieco podobne formy jak w grani Jagnięcego. Brak tu również śladów przesunięć, strzaskań i poślizgów. Kontakt robi wrażenie normalnego, ale odsłonięcie jest niezbyt wyraźne i widoczne tylko na nieznacznej przestrzeni. Na uwagę zasługuje fakt, że w odległości około 20 cm od powierzchni kontaktu występuje warstewka czerwonego łupku z miką zupełnie podobnego do łupku z serii koperszadzkiej. O warstewce tej wspomina St. Sokołowski (1948) i M. Turnau-Morawska (1955). Wskazywałoby to może na analogię położenia obu serii — na Skrajnej Turni i w grani Jagnięcego. Odsłonięcie jest jednak niezbyt dobre — tak, że definitywne wnioski wyciągnąć trudno.

Z przedstawionych wyżej wywodów wynika, że *w grani Jagnięcego werfen leży na miejscu, wobec czego automatycznie odpada tłumaczenie serii koperszadzkiej jako brekcji tektonicznej, związanej z tym nasunięciem.*

Jakaż może być jej geneza? Z podanych wyżej opisów wynika, że można w niej wydzielić dwa kompleksy. Jeden, dolny — zlepieńcowaty i górny — gliniasty, dość ściśle związane ze sobą. Seria gliniasta składa się z zasadniczej masy ilasto-mulastej barwy brunatnej, bogatej w mikę, w której tkwią bezładnie rozrzucone okruchy i otoczaki granitu szarego, czerwonego, kwarcu, skalenia, przypuszczalnie z domieszką materiału wulkanicznego. Miejscami, ale bardzo rzadko, zaznacza się warstwowanie wyrażone w odkrywcę II naprzemianległością czerwonych warstewek mulastych i warstewek żwirowatych. Na ogół jest to jednak utwór, który nie wykazuje żadnej selekcji materiału. Cechy te wskazują, że mamy do czynienia z sedymenem, ale jakiegoś specjalnego rodzaju. Wygląda to tak, jakby osadzała się jakaś błotnista masa, która niosła w sobie okruchy pochodzące z wietrzenia granitu, które wskutek tego nie ulegały żadnemu obtoczeniu. Chwilami, jak to widać w górnej części serii, zaznaczała się działalność krótkotrwała wody płynącej, która dokonywała pewnej selekcji materiału, osadzając warstewki mułu i żwirku. Swoim zewnętrznym wyglądem glina przypomina zupełnie glinę morenową, oczywiście mówię tylko o podobieństwie struktur obu osadów, które niezależnie od różnic genetycznych podkreśla podobieństwo powstania samego osadu.

Materiału na powstanie gliny dostarczył wietrzejący granit oraz częściowo produkty erupcji wulkanicznej (ob. praca prof. M. Turnau-Morawskiej w tymże zeszycie).

Obecność tufów i skał wulkanicznych wskazuje na działalność magmową młodszą od powstania gliny czerwonej a starszą od werfenu. Występowanie tych skał w serii koperszadzkiej przesądza definitywnie jej charakter osadowy oraz rozstrzyga kwestię wieku, o czym niżej. W serii tej występują niejednokrotnie zielone plamy mniejsze lub większe, czasem wydłużone w postaci pasów. Mam wrażenie, że są to zmiany wywołane późniejszymi procesami redukcyjnymi, częściowo może nawet współczesnymi.

Ku dołowi seria koperszadzka przechodzi w zespół zlepieńcowaty — ten, który nadał nazwę całej serii zlepieńca koperszadzkiego. Jaka jest jego geneza? Jak wynika z wyżej przedstawionych faktów, bloki i otoczaki zlepieńca koperszadzkiego nie powstały z wietrzenia masy granitowej, ale zostały przyniesione. Tkwią one w spoiwie, które w przeważnej części składa się z czerwonej gliny przepojonej tlenkami żelaza, zawierającej ostrokrawędziste okruchy granitowe. Rzadziej widzimy obtoczony materiał żwirkowaty. Niejednokrotnie zaznacza się wyraźne warstwowanie. Całość cech wskazuje, że mamy do czynienia z sedymencem, który powstał w wyniku spęływania gęstej, błotnistej masy, w której tkwiły bloki różnego typu skał krystalicznych. Obtoczony kształt niektórych bloków, posiadających charakter prawdziwych otoczków, wskazuje na transport wodny zapewne krótkotrwały i niedaleki. Bloki występują w najniższej części serii koperszadzkiej, wypełniając zagłębienia w terenie. Znamienny, podkreślony już wyżej przy opisie odkrywki IV, jest skład petrograficzny bloków. Gdyby wszystkie bloki składały się wyłącznie z granitu czerwonego, to można by zastanawiać się, czy nie powstały na skutek wietrzenia kulistego z granitu. Przeczy temu jednak stanowczo odrębność struktur bloków i otaczającej skały, która reprezentowana jest przez masę gliniastą przepelnioną druzgotem granitowym. Jeśli ponadto obok granitu czerwonego leży granit szary, to oczywiście przypuszczenie takie tym bardziej odpada. Wprawdzie granit czerwony nie różni się swą budową od granitu szarego i powstał z niego przez procesy późniejsze. Ale jeśli znajdują się obok siebie otoczaki obu typów granitu, to dowodzi, że pochodzą one z dwu różnych miejsc — jednego, gdzie nastąpiło zaczerwienienie granitu i drugiego, gdzie ten proces nie nastąpił. Jeśli więc dziś leżą takie otoczaki obok siebie, to musiały zostać przeniesione z różnych miejsc i złożone w obecnym swym położeniu. Odnosi się to tym bardziej do bloków pegmatytu czy aplitu. Nie chcę bynajmniej stwierdzić, że wszystkie bloki zawdzięczają swój kształt obtoczeniu. Były to może również bloki, które powstały przy wietrzeniu powierzchniowym.

Niektóre z nich mogły nawet powstać przez kuliste wietrzenie, ale stać się to musiało przed powstaniem serii koperszadzkiej, gdyż najpierw musiały powstać bloki, a później dopiero zostały przetransportowane i złożone. Ostrokrawędzisty charakter okruchów występujących w spoiwie wskazuje na jakieś procesy, które przed powstaniem serii koperszadzkiej spowodowały potrzaskanie skały. Musiało to mieć miejsce przed jej osadzeniem, czego dowodzi fakt, że w utworach serii koperszadzkiej nie widzimy śladu zaburzeń czy przesunięć, które mogłyby tłumaczyć strzaskanie granitu i powstanie spoiwa o wspomnianym charakterze. Osadzenie serii koperszadzkiej odbywać się musiało w bardzo zmiennych warunkach, jak o tym świadczy bardzo zróżnicowany profil odsłonięty w odkrywcze IV. Czasem sedymentacji ulegały wielkie bloki, czasem drobny materiał okruchowy, czasem zaś obtoczony, posiadający cechy żwirów. Wyraża się w tym niewątpliwie różny udział wód płynących, które płynęły czasem dość bystro, powodując powstanie prawdziwych otoczaków. Można by poszukiwać analogii sedymentacyjnych we współczesnych fan-glomeratach, które tworzą się w szybko zmieniających warunkach transportu i sedymentacji. Pewne podobieństwo widziałbym w genezie zlepieńca koperszadzkiego i zlepieńca myślachowickiego, jak to zauważył M. Limanowski (in J. Czarnocki 1922, str. 9). W każdym razie — moim zdaniem — nie można wątpić o charakterze osadowym całej serii. Można dyskutować o mniejszym lub większym udziale wód płynących czy o sposobie powstania otoczaków i bloków, jednak charakter osadowy całej serii nie może podlegać dyskusji. Strukturę zlepieńca koperszadzkiego ilustrują plansze XXIX, fig 1; pl. XXX, fig. 1 i 2; pl. XXXI, fig. 1 i 2; pl. XXXII i XXXIII. Fotografie Michalika (1956), zamieszczone na tabl. 2, które mają ilustrować „kuliste wietrzenie“ granitu, są zupełnie nieprzekonywujące. Widać na nich spękanie niektórych bloków, które jednak wzdłuż spękań nie uległy zaokrągleniu. Wnosząc z różnej barwy bloków, miałbym poważne wątpliwości, czy reprezentują one tę samą skałę, czy też są to fragmenty różniące się składem petrograficznym, co właśnie ma miejsce w zlepieńcu koperszadzkim.

Wiek serii koperszadzkiej. Wydaje mi się, że wiek ten wynika jasno z sytuacji geologicznej całego utworu. Seria koperszadzka wypełnia — jak widzieliśmy — jakieś zagłębienia w granicie i jest przykryta w naturalnym kontakcie sedymentacyjnym przez piaskowce zlepieńcowate, które wiążą się ze środkowym triasem, zaczynając nowy cykl sedymentacyjny. Piaskowce należą do werfenu, a seria koperszadzka jest starsza od werfenu i oddzielona od niego przerwą sedymentacyjną i erozją, młodsza zaś od granitu. Nie wydaje mi się, by można tej serii przypisać inny wiek aniżeli permski, jak to przypuszczał St. Sokołowski (1948). Perm

ył w całych Karpatach i Europie Zachodniej — poza epizodem cech-
ztyńskim — okresem wietrzenia i niszczenia hercyńskich masywów. Na
bszarze Karpat miejscami powstawały głębokie depresje, w których, jak
p. nad Hronem, gromadziła się potężna 1000 metrowej grubości zwie-
zelina, powstała z niszczenia hercyńskich trzonów krystalicznych, którą
eologowie słowaccy i czescy identyfikują z verrukanem. Być może, że
atry jako obszar intrageantyklinalny miały pokrywę cieńszą, niemniej
rzecz — istnieć musiał okres, w którym po orogenezie hercyńskiej przy-
zło wietrzenie subaeralne. Musiało ono zostawić jakieś ślady. W tym
zasie granit, który uprzednio w czasie jakiejś fazy orogenezy waryscy-
kiej uległ strzaskaniu, był poddany wietrzeniu w pewnych specjalnych
warunkach klimatycznych. W wyniku tych procesów musiały powstać
jakieś osady. Seria koperszadzka jest właśnie takim ocalałym od erozji
rzępiem tych osadów. Zarzut A. Michalika (1956), że seria koperszadzka
dbiega od verrukana z obszaru Centralnych Karpat, nie jest istotny.
eria koperszadzka, jak to już podkreśliłem w roku 1950, reprezentuje
edynie najniższą, w najgrubszym miejscu nieco powyżej 20 m liczącą
erię, gdy verrukano z nad Hronu mierzy ponad 1000 m. Według opisu
J. Koutka (1931) na obszarze Starych Hor verrukano, osiągające tam
niąszość 350 do 400 m, rozwinięte jest w swych spągowych partiach,
żących bezpośrednio na krystalniku, w postaci zlepieńców podstawo-
wych, zawierających otoczaki i bloki skał krystalicznych, pochodzących
podłoża, względnie granitów kwaśnych bogatych w potas. Wielkość blo-
ów osiąga czasem rozmiary głowy ludzkiej. Spoiwo ilasto-żelaziste ma
arwę czerwoną. Zlepieniece te przykryte są przez arkozy szaro-zielone
b szare, zawierające nieregularne ławice zlepieńców i brekcji. Okruchy
rekcji należą przeważnie do granitów kwaśnych ze skaleniem potaso-
ym, ortognejsów zserycytyzowanych i kwarcu. Wyżej leżą piaskowce
rzykryte przez łupki zielonawe, różowe i piaskowce czerwone. W wyż-
zych poziomach pojawiają się piaskowce i łupki. Porównując charakter
etrograficzny serii koperszadzkiej widzimy, że ma ona swój odpowied-
ik w najniższej części verrukana ze Starych Hor tzn. w kompleksie zle-
ieńców, które wykazują uderzające podobieństwo do dolnej części serii
operszadzkiej. W wyższych poziomach serii koperszadzkiej, jak już za-
naczyłem, zaczynają się pojawiać wkładki mułowcowe i zwirowate, co
wiadczy o wzmożonym udziale wody. Warstewki te wskazywałyby na
mianę charakteru petrograficznego serii koperszadzkiej i nawiązywałyby
o wyższych ogniw verrukana ze Starych Hor.

W typowym rozwoju spotykamy verrukano w dolinie Hronu w stre-
e Lubietowej, gdzie verrukano osiąga miąższość 1000 m. Werrukano
aczyna się tam arkozami, czasem konglomeratami, leżącymi transgre-
ywnie na krystalniku. Wyżej występują porfiry, konglomeraty i brek-

cje z materiałem porfirowym i tufitami. Istnieje więc również znaczne podobieństwo między werrukanem z nad Hronu a serią koperszadzka, w której, jak to stwierdziła M. Turnau-Morawska (ob. następną rozprawę), występują skały piroklastyczne i wylewne. Obecność tych skał dla określenia wieku serii koperszadzkiej posiada decydujące znaczenie. Biorąc więc pod uwagę wymienione wyżej momenty stwierdzam, że *seria koperszadzka na skutek swego zupełnie wyraźnego położenia pod względem a na granicie, ma wyznaczone miejsce w permie, a ponadto posiada szeregi cech, które ją upodabniają do typowego werrukana z obszaru Karpat Centralnych i Alp.*

Nazwa werrukano pochodzi, jak wiadomo, z obszaru Monte Pisano pod Pizą i została nazwana od ruin zamku La Verruca. Później w głębszych częściach tego łańcucha górskiego znaleziono szczątki roślin wieku permskiego. Występują one w pofałdowanych ciemnych łupkach, przykrytych przez płasko leżące pstre łupki kwarcyty, zlepieńce, na których stoją właśnie ruiny La Verruca. Biorąc więc pod uwagę fakt występowania w dolnych częściach w serii z Monte Pisano szczątków roślin permskich, uznano, że cały kompleks należy do permu. Podobne pstre zlepieńce, piaskowce i arkozy znaleziono w Alpach i przeniesiono nazwę werrukano na te utwory. Okazało się jednak później, że na obszarze Monte Pisano występują dwa różne kompleksy, dolny składający się z łupków pofałdowanych ze szczątkami roślin permskich i górny — płasko leżący, który stał się podstawą wydzielenia typowego werrukana. W kompleksie górnym zostały znalezione tropy gadów, małż i a ostatnio rozgwiazdy. A. Fucini występujące w tym kompleksie małże określił jako formy weldu, co później potwierdził Arthaber. Badania późniejsze (Fr. Huene 1941) oparte na analizie tropów gadów dowiodły, że typowe zlepieńce i piaskowce werrukana z Monte Pisano należą do kajpru. Zachodzi więc paradoksalna sytuacja, że ten sam werrukano, stworzony dla rzekomo permskich utworów z Monte Pisano, w rzeczywistości odpowiada kajprowi, podczas gdy podobne do tych utworów osady w Alpach są niewątpliwie, sądząc z ich położenia, wieku permskiego. Nazwa więc werrukana zmieniła zupełnie swą treść. Byłoby więc może rzeczą najwłaściwszą zastrzeżenie stosowania nazwy werrukano do permskich utworów Alp, jak to proponuje Hügi (1941). Nazwa werrukano jednak tak się przyjęła na określenie permskich utworów Alp i innych terenów, że nie wydaje się celowe skreślenie jej ze słownictwa geologicznego. Przy stosowaniu tej nazwy trzeba jednak pamiętać, że nie ona powiada ona zupełnie swej pierwotnej treści.

Porównując serię koperszadzka z werrukanem stwierdzam, że chodzi tu nie tyle o analogię facjalną lecz czasową, gdyż werrukano ma bardzo różny wygląd zależnie od warunków, w których się tworzyło. Chodzi mi jedynie o stwierdzenie faktu, że w permie na terenie Tatr panowały warunki podobne do tych, jakie panowały na obszarze Karpat Centralnych i że seria koperszadzka ma wiek permski podobnie jak analogiczne utwory z nad Hronu.

Stwierdzam więc, że *najstarsza skała osadowa Tatr należy do permu i przypomina dolne ogniwa werrukana Karpat Słowackich.*

Osadzenie serii koperszadzkiej na terenie Tatr poprzedził okres jałogość wietrzenia, które zaznaczyło się w granicach zagłębieniami i kieszeniami. Jako rzecz interesującą warto podkreślić, że podobne zjawisko, może jednak znacznie wyraźniej zaakcentowane, znamy z obszaru masywu Aaru (Hügi 1941). Leży tam bezpośrednio na krystaliniku (amfibolit) utwór osadowy, w którym występują kanciaste ułamki kwarcu, bezładnie rozrzucone w osadzie o barwach zielonych i czerwonych. Powierzchnia amfibolitu wykazuje kieszenie głębokości mniej więcej 45 cm, w które wnikają utwory permskie. Wśród osadów permских występują naprzemianległe skały eruptywne i osadowe tak, że trudno niejednokrotnie rozstrzygnąć o jaką skałę chodzi, gdyż pierwotny charakter został zatarty przez procesy dynamometamorficzne. Widzimy więc, że na tym obszarze perm występuje w kieszeniach krystaliniku powstałych na skutek wietrzenia w okresie poprzedzającym osadzenie permu.

W werfenie Tatr, jak wykazały liczne analizy, niewątpliwych elementów pochodzących z krystaliniku tatrzańskiego brak. Wszystkie rzekomo z trzonu krystalicznego tatrzańskiego pochodzące składniki są niepewne. Brak ten w pracy z roku 1950 wyjaśniałem przypuszczeniem, że trzon krystaliczny Tatr był w permie pokryty utworami verrukana, którego zniszczenie dostarczyło głównie składników na powstanie piaskowców werfeńskich. Przemawia za tym, moim zdaniem, i skład petrograficzny samych piaskowców, które odznaczają się dobrą selekcją i przeważającym udziałem kwarcu przy podrzędnej na ogół zawartości skalenia. A. Michalik (1956) kwestionuje to przypuszczenie, uważając, że brak elementów z trzonu krystalicznego w piaskowcach werfeńskich może być wytłumaczony przyjęciem, że werfen nie tworzył się na trzonie krystalicznym, ale bardziej na południe. Jest to mało przekonujące wobec faktu, że A. Michalik przyjmuje nasunięcie werfenu nie na kilkadziesiąt kilometrów, ale znacznie mniej. Czy wobec tego odległość basenu sedymentacyjnego od trzonu krystalicznego Tatr o kilka kilometrów może wytłumaczyć brak elementów z trzonu krystalicznego Tatr w werfenie? Wydaje mi się, że najbardziej logiczne jest przypuszczenie, że trzon krystaliczny Tatr miał w permie pokrywę verrukana, choćby jej grubość była nawet nieznaczna i że z niej właśnie powstały głównie piaskowce werfeńskie. Ostatnio M. Turnau-Morawska (1955) znalazła w werfenie tatrzańskim okruchy skał wylewnych i piroklastycznych. Potwierdzałoby to tezę, że na powstanie piaskowców werfeńskich złożyły się produkty pochodzące ze zniszczenia verrukana. Przemawia za tym również występowanie w odkrywce II ławicy skały piroklastycznej i ryolitowej. W inwentarzu zlepieńcowym werfenu znajdują się, prócz elementów, które pochodzą ze zniszczenia verrukana, jeszcze jakieś składniki obce, takie jak otoczaki krzemieni, znalezione przeze mnie swego czasu w odkrywce IV. Pochodzą one

być może z karbonu obszarów leżących daleko na południe od Tatr. Z pewnością i niektóre inne otoczaki mogą pochodzić z obszarów pozatatrzańskich leżących daleko na południe. Znaczna jednak część materiału werfeńskiego pochodzi z rozmycia werrukana, które w wyższych swych częściach zbliżało się zapewne swym składem petrograficznym do werrukana na Karpat Słowackich, gdzie istotny w nim udział biorą arkozy, łupki i piaskowce. Jak zwracałem już w swej poprzedniej pracy uwagę, inwentarz otczakowy werfenu wykazuje obecność obok elementów bardzo twardych, które mogły przywędrować z daleka, także okruchy piaskowca i drobnoziarnistych zlepieńców, które nie zniosłyby długiego transportu i muszą pochodzić z jakiegoś niezbyt odległego obszaru, a więc z pokrywy trzonu. Podkreślałem również w mojej poprzedniej pracy, że charakter petrograficzny werfenu, a mianowicie wysoki stopień wyselekcjonowania materiału i przewaga kwarcu przy znikomej ilości skażenia, przemawia również za powstaniem piaskowców werfeńskich z jakiejś innej skały osadowej a nie bezpośrednio z granitu. Można by mojej tezie zakładającej, że brak otczaków granitowych w werfencie dowodzi obecności na granicy jakiejś pokrywy osadowej, postawić zarzut, że przy szybkim nurcie materiał granitowy nie ulegał sedymentacji, ale był wynoszony daleko i osadzał się w jakichś odległych od Tatr basenach. Oczywiście, że materiał osadzany w pewnym miejscu nie pochodzi bezpośrednio z podłoża, ale jest zabierany z jakiegoś odleglejszego terenu. Niemniej brak otczaków granitowych wskazuje na to, że na całej przestrzeni między obszarem sedymentacji a źródłami rzek, które niosły materiał na powstanie werfenu, granit nie odsłaniał się.

Proces sedymentacji werfenu wyobrażam sobie w sposób następujący. Po dłuższym okresie erozji, w czasie którego seria koperszadzka ulegała rozmywaniu, materiał z niej pochodzący był wynoszony daleko poza obręb Tatr. Miejscami seria koperszadzka została usunięta w zupełności tak, że odsłonił się granit. Pokrywa werrukana ocalała przed trzeciorzędzie i czwartorzędzie, kiedy to zostało odsłonięte jądro granitowe. Pod koniec werfenu następuje gwałtowny ruch osiadający Tatr. Wyraża się to bardzo szybką zmianą facji od grubych zlepieńców w dole, ku facji łupkowej wyżej w profilu o miąższości zaledwie kilkudziesięciu metrów. W tym momencie zatem cały niesiony przez rzeki materiał uległ sedymentacji. Ponieważ w osadzie nie ma otczaków granitowych a znajdują się okruchy i otoczaki skał takich jak piaskowce czy tufity, które ulegają łatwo zniszczeniu, wnoszę, że na całej przestrzeni kilkudziesięciu kilometrów granit nie odsłaniał się albo zupełnie, albo tak nieznacznie, że nie dawał otczaków. Wydaje mi się wobec tego, że najlogiczniejszym jest

przypuszczenie, że Tatry przed werfenem posiadały pokrywę werrukana i że piaskowce werfenu powstały głównie ze zniszczenia pokrywy werrukanowej.

Pośrednim potwierdzeniem słuszności tej tezy, że Tatry posiadały pokrywę werrukana, jest fakt sylikacji piaskowców werfeńskich, na co wracałem już uwagę w poprzedniej pracy. Zagadnieniem sylikacji piaskowców werfeńskich zajmował się Cz. Kuźniar (1913) widząc źródło krzemionki w piaskowcach Pisanej. Wydaje się to mało prawdopodobne ze względu na brak śladów wędrówki krzemionki poprzez utwory kajpru środkowego triasu. Wydaje mi się prawdopodobniejsze, że źródłem krzemionki mogły być osady arkozowe werrukana. Stwierdzona ostatnio obecność w serii koperszadzkiej łatwo wietrzących tufów popiera przypuszczenie, że źródłem krzemionki, która cementowała piaskowce werfeńskie Tatr, mogły być utwory permskie serii koperszadzkiej, które pokrywały trzon granitowy Tatr.

ZAGADNIENIE CZERWONEJ BARWY SERII KOPERSZADZKIEJ

Zasadnicza masa serii koperszadzkiej — jej spoiwo posiada barwę intensywnie czerwoną, pozwalającą na pierwszy rzut oka odróżnić tę serię od innych skał. Barwa ta jest podkreślana przez wszystkich badaczy, i ostatnio A. Michalik (1956) poświęcił jej więcej uwagi, podchodząc do tego zagadnienia z zupełnie odmiennego punktu widzenia, niż to czynili badacze dotychczasowi. A. Michalik wiąże czerwoną barwę serii koperszadzkiej z nasunięciem werfenu, uważając nawet zaczerwienienie granitu jako dowód nasunięcia. Czerwona barwa miałaby być wywołana wnikaniem z głębi z trzonu granitowego hematytu, który pod nasunięciem werfenu gromadził się w strefie skruszonej granitu. Wobec faktu, że nasunięcie werfenu nie istnieje, że seria koperszadzka należy do permu wypełnia kieszonki w granicie powstałe na skutek wietrzenia, jest rzeczą oczywistą, że zagadnienie to trzeba rozpatrywać na zupełnie innej płaszczyźnie. Jak już wykazałem, czerwona barwa na grani Jagnięcego istnieje tylko tam, gdzie występuje seria koperszadzka. Poniżej tej serii granit tu i ówdzie wykazuje zaczerwienienie, ale ma ono zupełnie odmienny charakter. A. Michalik dowodzi, że infiltracja hematytu pochodzi z głębi, z trzonu granitowego. Niezrozumiałe jest wobec tego, dlaczego nie przenikał on w szczeliny w werfenie. Na szczelinach tych widziałem hematyt, lecz hematytu nie zauważyłem.

A. Michalik w swej pracy zajmuje się szczegółowo zaczerwienieniem granitu występującym w różnych miejscach Tatr. Zjawiska te — moim zdaniem — nie mają nic wspólnego z serią koperszadzką. Nie mam zamiaru zajmowania się zagadnieniem procesów wietrzenia, jakie miały

niejsze w czasie permu na obszarze Tatr. Jest to zupełnie osobne zagadnienie, zapewne niełatwe, którym powinni zająć się petrografowie i mineralogowie. Wydaje mi się, że kwestia ta jest zupełnie otwarta i zasługuje na szczegółowe badanie. Omówię tylko niektóre uwagi A. Michalika odnośnie do procesów, które zachodziły w serii koperszadzkiej. Stwierdza on, że utwory te nie wykazują cech procesów wietrzenia, a tylko obecność procesów hydrotermalnych. Dowodem, że nie były to procesy wietrzeniowe, miałby być fakt, że barwik czerwony (hematyt) wnika szczelinami, gdy samo ziarno skalenia nie uległo jeszcze zwietrzeniu. Wydaje mi się, że sprawa nie jest tak prosta. Fakt, że pod serią koperszadzką leżą miejscami czerwone granity, z których powstały czerwone otoczaki dowodzi, że przed powstaniem serii koperszadzkiej, może pod koniec karbону, zachodziły jakieś procesy, które spowodowały zaczerwienienie granitu. Później, zapewne na skutek jakichś procesów wietrzeniowych, których charakter należałoby zbadać, powstało czerwone spoiwo serii koperszadzkiej. Może stoi ono w związku, jak przypuszcza M. Morawska z wulkanizmem owego czasu. Z chwilą złożenia osadu w tej masie odbywała się oczywiście dalsza wędrówka związków żelaza, które wnikały w szczeliny strzaskanych ziarn kwarcu i skalenia. Dowodem tego jest fakt, że otoczaki aplitowe i granitowe wykazują wyraźną otoczkę pochodzącą od infiltracji związków żelaza, przenikających z otoczenia.

A. Michalik (1951) opisuje szereg profilów, w których na kontakcie nasuniętej serii nastąpiło zaczerwienienie granitu. Nie będę ich tu omawiać, gdyż nie mają one związku z profilem Jagnięcego Wierchu. Zatrzymam się tylko na jednym przykładzie, gdyż potwierdza on — zdaniem moim — moją koncepcję. Chodzi mi o kontakt werfenu z trzonem granitowym na Ornaku, opisany bardzo szczegółowo przez A. Michalika. Na kontakcie obu serii uległ skruszeniu zarówno granit jak i leżący na nim piaskowiec werfeński, przy czym na styku w niektórych przypadkach granit i piaskowiec zostały tak spojone, że skała jest częściowo granitem, częściowo piaskowcem. Ziarna kwarcu w piaskowcu werfeńskim są na styku starte, a same piaskowce wykazują silne pokruszenie tak, że stają się rozsypliwe i zarówno w nich jak i w wyżej leżących zlepieńcach widać drobne skliważowanie zgodne z płaszczyzną styku i warstwowaniem. Wszystkie wymienione cechy wskazują niewątpliwie na jakieś lokalne nasunięcie, ale właśnie tych wszystkich cech brak na kontakcie werfenu z serią koperszadzką, co — moim zdaniem — jeszcze silniej, gdyby tego było potrzeba, potwierdza słuszność tezy, że werfen na grani Jagnięcego leży na miejscu.

W związku z zaczerwienieniem granitów pod nasuniętymi seriami nasuwają się pytania, czy tworzenie się hematytu musi być koniecznie wywołane infiltracją z głębi, czy nie można by tłumaczyć jego powstania

za skutek pewnych procesów zachodzących wzdłuż płaszczyzn nasunięcia, przy czym związki żelaza może pochodzące z biotyty mogłyby w tych warunkach dać początek hematytowi. Nieraz na powierzchniach granitów widać cienkie powłoczki hematytowe, które prawdopodobnie powstały na tej drodze i nic na pewno nie mają wspólnego z infiltracją z głębi.

PODSUMOWANIE I WNIOSKI

W świetle wyżej przedstawionych wywodów stratygrafia omawianej serii przedstawia się w sposób następujący:

- | | | |
|---|--------|------------------------------|
| <ul style="list-style-type: none"> . Łupki pstre . Piaskowce kwarcytyczne białe i czerwone . Piaskowce kwarcytyczne z otoczkami . Zlepiénce kwarcytczne | } | werfen dolny
(seis) |
| Przerwa — erozja — niezgodność? | | |
| <ul style="list-style-type: none"> . Gлина czerwona z okruchami granitu i żył- kami kwarcowo-skalieniowymi oraz tufami i skałami wulkanicznymi . Zlepieniec granitowy | } | seria koperszadzka
(perm) |
| niezgodność? | | |
| <ul style="list-style-type: none"> . Granit szary i czerwony | karbon | |

Paleogeografia tego okresu wyglądałaby w sposób następujący. W górnym karbonie, być może nie w jednej fazie, przychodzi do intruzji granitu, który następnie ulega zgnejszowaniu i strzaskaniu. W tym czasie, być może, zachodzą jakieś procesy hematytyzacji, jak tego dowodzą czerwone granity leżące pod serią koperszadzką. Z początkiem permu granitowy ulega procesowi wietrzenia, w czasie którego powstają agłębienia, które ulegają zapełnieniu przez utwór gliniasty o barwach intensywnie czerwonych. W miejscach głębszych gromadzą się zlepiénce, wyżej gliny, a pod koniec zaczynają powstawać mułowce i osady zwirowate. W czasie tworzenia się tej serii jak i później zaznacza się działalność wulkaniczna, w której wyniku powstają pokrywy law i tufy. Teren jest silnie zróżnicowany. Powstają głębokie depresje jak nad Hrotem, które wypełniają się osadem grubości do 1000 m. Tatry miały zapewne również pokrywę werrukana, w wyższych ogniach zbudowaną z utworów arkozowo-piaszczysto-łupkowych z interkalacjami law i tufów. Pod koniec permu następują ponownie silne ruchy. Rozpoczyna się akcja rzek, które atakują miejsca wyższe, a więc w pierwszym rzędzie granitowy tatrzański, niszcząc utwory werrukana. Produkty niszczenia osad-

dzają się w peryferycznych basenach. Z początkiem triasu Tatry bardzo szybko się zanurzają, w związku z czym cały materiał niesiony przez rzeki ulega sedymentacji. Zrazu są to grube żwiry, potem piaski a wreszcie muły czerwone pochodzące z najsubtelniejszych elementów werrukanów. Utwory te przechodzą stopniowo w osady środkowego triasu rozpoczynając nowy i zwarty cykl sedymentacyjny.

Przedstawione wyżej fakty prowadzą do następujących wniosków:

1. Werfen na grani Jagnięcego leży normalnie i nie został tektonicznie nasunięty. Kontakt ma charakter sedymentacyjny. Pomiędzy werfenem a niżej leżącą serią koperszadzka istnieje przerwa sedymentacyjna wywołana erozją.

2. Niżej leżąca seria koperszadzka jest sedymentem, który powstaje w permie z produktów niszczenia trzonu granitowego Tatr, a częściowo z materiałów piroklastycznych i skał wulkanicznych. Odpowiada on częściowo werrukanu Centralnych Karpat.

3. W czasie permu miała miejsce na terenie Tatr działalność wulkaniczna podobnie jak na obszarze Karpat Centralnych.

*Z Zakładu Geologii Dynamicznej
Uniwersytetu Warszawskiego
w listopadzie 1956*

LITERATURA CYTOWANA

- CZARNOCKI J. 1922. Stratygrafia nowoodkrytych i mało znanych utworów paleozoicznych Gór Świętokrzyskich (Sur la stratigraphie de sédiments paléozoiques nouvellement découverts et peu connus des montagnes de Święty Krzyż). — Pos. Nauk. P. I. G. (C.-R. Serv. Géol. Pol.), nr 3, Warszawa.
- HAMERSKA M. 1923. Old-red podolski. Szkic petrograficzny. — Kosmos, t. 48.
- HUENE FR. 1940. Das Alter des Verrucano auf Grund zahlreicher Reptilfährten. — Ecl. Geol. Helv. 33/2.
- HÜGI T. 1941. Zur Petrographie des östlichen Aarmassivs (Bifertengletscher, Limernboden, Vättis) und des Kristallins von Tamins. — Schweiz. Min. Petr. Mitt., Bd. XXI.
- KOTAŃSKI Z. J. 1956. O triasie wierchowym w Tatrach (The High-Tatric Triassic in Tatra Mts.) — Przegląd Geol., z. 7, Warszawa.
- KOUTEK J. 1931. La fenêtre de Stare Hory. Guide des excursions dans les Carpathes Occidentales. Knihovna Státn. Geol. Úst. Česk. Slov. Rep. Sv. 13 A. Praha.
- KUŹNIAR CZ. 1913. Skały osadowe tatrzańskie. — Rozpr. Ak. Um. Kraków.
- LIMANOWSKI M. 1903. Perm i trias lądowy w Tatrach. — Pam. Tow. Tatr., 24, Kraków.

- UCHALIK A. 1951. Brzeźna strefa trzonu krystalicznego Tatr na terenie Kosistej (Okrainnaja zona kristalličeskogo massiva Tatr v rajone Kosistoj). — Biul. I. G. (Bull. Inst. Géol. Pol.) 61. Warszawa.
- 1955. Tektonika serii wierchowej na obszarze Liliowego i Małej Koszystej (Tectonique de la série hauttatrique dans la région de Liliowe et de la Mała Koszysty). — Ibidem, 96. Warszawa. (Z badań geologicznych wykonanych w Tatrach i na Podhalu — From geological researches in the Tatra and in Podhale)
- 1956. W sprawie genezy „zlepieńca Koperszadzkiego“ w Tatrach (Sur la genèse du „conglomérat de Koperszady“ dans la Tatra). — Ibidem, 109. Warszawa.
- PASSENDORFER E. 1950. Materiały do geologii Tatr. — I. O zlepieńcu koperszadzskim. — II. O wapieniu murańskim (Matériaux pour la connaissance de la géologie des Tatras. — I. Sur le conglomérat de Koperszady. — II. Sur le calcaire de Murań). — Roczn. P. T. Geol. (Ann. Soc. Géol. Pol.), t. XIX. Kraków.
- SOKOŁOWSKI ST. 1948. Tatry Bielskie. Geologia zboczy południowych (1950. Les Tatry Bielskie. La géologie de leurs versants méridionaux). — Prace P. I. G. (Trav. Serv. Géol. Pol.), vol. IV. Warszawa.
- URNAU-MORAWSKA M. 1947. Permotrias lądowy Tatr i jego stosunek do trzonu krystalicznego (Permian and Triassic continental facies of Tatra and their relation to the crystalline mass). — Ann. Univ. M. Curie-Skłodowska, Sectio B, vol. II. Lublin.
- 1955. Uwagi o sedimentacji werfenu tatrzańskiego (Remarks concerning sedimentation of the Werfen Beds in Tatra. Summary). Roczn. P. T. Geol. (Ann. Soc. Géol. Pol.), t. XXIII. Kraków.
- HLIG V. 1897. Die Geologie des Tatragebirges. — Denkschr. Akad. Wiss. Wien. Math.-Naturw. Cl. Bd. 64. Wien.

ПАССЕНДОРФЕР

КОПЕРШАДСКИЙ КОНГЛОМЕРАТ, ЕГО ГЕНЕЗИС И ВОЗРАСТ

(Резюме)

В ребре Ягненцега Верха (Высокие Татры), немного выше перевала „Под Копой“, выступает серия пород построенная внизу из гранитного конгломерата, а выше из красных глин. Эти породы покрыты варцитовыми песчаниками нижнего триаса. Упомянутый конгломерат был назван Лимановским (Limanowski 1903) копершадским конгломератом и вместе с выше залегающими песчаниками причислен пермотриасу. Ст. Соколовски (Sokołowski 1948) разделил этот комплекс на нижнюю часть — конгломератовую, соответствующую верфену Словацких Карпат и верхнюю часть — песчаниковую, принадлежащую к верфену. Этот взгляд был шире представлен автором статье (Passendorfer 1950), в которой он занялся генезисом обоих комплексов, а также стремился доказать, что верфен залегает в нор-

мальных условиях на копершадском конгломерате и что он образовался, главным образом, за счёт уничтожения пермского покрова кристаллического массива Татр. Против этих выводов в последнее время выступил А. Михалик (Michalik 1956) утверждая, что копершадский конгломерат представляет собой тектоническую брекчию образовавшуюся вследствие надвига верфена, а глыбы в конгломерате образовались в результате сферического выветривания гранита. Этим утверждениям Михалика противоречат очевидные факты. Исследование нижней поверхности верфенских песчаников, залегающих непосредственно на копершадской глине, показывает, что эта нормальная седиментационная поверхность без следов каких-нибудь скольжений. В пользу этого говорит тоже характер красной глины не обнаруживающей никаких тектонических деформаций. Кроме того в глине выступают кварцево-полевошпатовые жилки и прослойки туффитов и лав, не деформированные тектонически, что противоречит возможности каких-нибудь передвижений. Способ выступания копершадской серии показывает, что она выполняет углубления в граните, которые по всей вероятности образовались в пермском периоде на поверхности гранитного массива Татр. Характер блоков и гальки доказывает, что они не могли образоваться вследствие сферического выветривания, так как они состоят из разнообразных пород, а именно из красного и серого гранита, пегматита и аплита. Не является возможным, чтобы эта галька могла образоваться из окружающей породы, состоящей из глинистой массы выполненной обломками горных пород. Не подлежит малейшему сомнению, что копершадская серия представляет седимент, который образовался в пермском периоде из продуктов разрушения гранита, а также туффитов, которые существовали тоже среди красных глин.

Стратиграфия выше описанной серии представляется следующим образом:

7. Пестроцветные сланцы] нижний верфен
6. Кварцитовые белые и красные песчаники	
5. Кварцитовые песчаники с галькой	
4. Кварцитовые конгломераты	
Перерыв — эрозия	
3. Красная глина с обломками гранита, пегматитовыми жилками и туффитами] копершадская серия — пермь
2. Гранитный конгломерат	
1. Серый и красный гранит	карбон

E. PASSENDORFER

LE CONGLOMÉRAT DE KOPERSZADY (TATRA ORIENTALE) SA FORMATION ET SON ÂGE

(Résumé)

SOMMAIRE: L'auteur démontre que le conglomérat granitique de Koperszady et l'argile rouge qui reposent sur le cristallin de Jagnięcy Wierch dans la Tatra Orientale contrairement à l'opinion émise récemment par Michalik (1956) ne sont pas une brèche tectonique mais un sédiment qui a été formé pendant le Permien. Les tufs épyroclastiques qui ont été trouvés dernièrement dans cette série déterminent sans nul doute son caractère sédimentaire et en même temps son âge. Le Werfénien repose en place et est séparé du Permien par une lacune d'érosion. Les matériaux pour sa formation proviennent de la destruction de la couverture permienne qui recouvrait autrefois tout le cristallin.

Le nom de conglomérat de Koperszady (Koperszady—vallée au pied de Bielskie Tatry dans la Tatra Orientale) a été donné par M. Limanowski à une roche conglomératique composée de galets de granite reposant sur le cristallin dans la crête de Jagnięcy Wierch. Cette roche et les grès-quartzites qui les surmontent ont été attribués par la plupart des géologues au permo-trias. Ce n'est que St. Sokołowski (1948) qui en s'appuyant sur les analogies du caractère pétrographique de la couverture du cristallin dans les Carpathes Centrales a divisé cette série en deux termes, dont l'inférieur, conglomératique, pourrait correspondre au Permien, le supérieur au Werfénien.

En 1950 (E. Passendorfer) j'ai publié une courte note dans laquelle, en soutenant l'idée principale de St. Sokołowski, j'ai exposé mes opinions sur la genèse de la série conglomératique et son rapport au Werfénien. En particulier, j'ai présenté des preuves que le Werfénien repose en place et que les grès werfénieniens se sont formés au dépens du Verrucano qui recouvrait autrefois tout le cristallin de la Tatra. Récemment A. Michalik (1956) rejette ces idées et regarde le conglomérat de Koperszady comme une brèche tectonique formée par le charriage sur le cristallin. Les blocs du conglomérat n'ont pas été déposés par le transport quelconque mais doivent leur formation à l'altération sphéroïdale de granite en place. En conséquent il n'y aurait pas dans la Tatra de roches d'âge permien et le terme le plus inférieur serait le Werfénien.

Les recherches que j'ai exécutées l'année passée ont confirmé mes opinions dans toute l'étendue et outre cela ont permis d'approfondir et d'élargir notre connaissance de la géologie de cette région.

L'étude détaillée du contact du Werfénien avec la série de Koperszady a montré que la surface inférieure des grès quartzites werfénieniens porte des traces de sillons et de côtes (pl. XXVI, fig. 1 i 2) formées comme

un moulage de la surface supérieure de la série de Koperszady qui a été érodée avant le Werfénien. La série de Koperszady se divise en deux termes. Le supérieur c'est l'argile rouge, par place très sableuse contenant de débris, parfois des galets de granite gris et rouge, de quartz, de feldspath et des grandes paillettes de mica. Ces débris sont parsemés dans l'argile sans aucune orientation ni stratification. Dans la roche on ne voit pas aucune trace de glissement ni de lamination. Dans l'immédiat voisinage du contact avec le Werfénien apparaissent des schistes argileux intercalés par des minces couches des conglomérats. Ces couches sont absolument intactes et ne montrent pas aucune trace de déformations tectoniques. Un peu au dessous on voit de minces filons composés de quartz, de feldspath et de mica blanc (pl. XXVII, fig. 1 i 2; pl. XXVIII, fig. 1) qui ne montrent pas non plus de déformations. Si le Werfénien était charrié sur le cristallin et la série de Koperszady formait une sorte de mylonite, il serait absolument impossible que les schistes argileux très nettement stratifiés et les filons quartzo-feldspathiques aient conservé leur structure intacte. Cela démontre que le Werfénien n'est pas charrié et repose en contact normal sur une série qui a tous les traits d'un sédiment. Il faut souligner que dans cette série un peu vers l'Ouest a été trouvée une couche d'une roche verte ayant tous les traits d'une roche volcanique, c'est à dire d'un tuf ou tuffite rhyolitique ou même d'un rhyolite. Cela souligne encore plus fort le caractère sédimentaire de la série de Koperszady et détermine en même temps son âge.

Le terme inférieur de la série de Koperszady c'est le conglomérat composé de blocs et galets de granite gris et rouge, d'aplite et de pegmatite atteignant la grandeur d'une tête d'homme. Les blocs sont noyés dans un ciment argilo-ferrugineux rempli de petits débris provenant d'altération de granite. Quelques-uns de ces blocs sont parfaitement roulés, les autres plus ou moins anguleux. La répartition des galets montre très clairement (pl. XXVIII, fig. 2 — pl. XXXIII) une sorte de stratification qui se traduit par l'arrangement parallèle des blocs. Par place la roche a caractère d'un gravier avec des galets parfaitement roulés. La différenciation pétrographique du conglomérat composé des galets de granite, d'aplite et de pegmatite qui se trouvent l'un à côté de l'autre exclut absolument la possibilité d'une interprétation que ces blocs aient été formés par l'altération sphéroïdale. Au contraire, ils portent tous les traits d'un transport indubitable, mais peut-être non lointain, vu la forme angulaire d'une partie des blocs. La stratification parfois très nette et l'arrondissement des galets témoigne d'une action de l'eau courante.

Comme la série de Koperszady repose sur le cristallin classifié comme Carbonifère en comblant des pôches et des dépressions et est recouverte par des grès liés avec des marnes et dolomies du Trias Moyen —

appartenant donc au Werfénien — il est clair qu'on doit à la série de Koperszady attribuer l'âge permien.

La série de Koperszady rappelle très vivement les dépôts reposant dans les Carpathes Centrales directement sur le cristallin et rapportés par les géologues slovaques au Permien. Ils débutent par des conglomérats composés, pareillement comme dans la Tatra, des grands blocs et galets de granite qui sont surmontés par des grès et des arkoses. Dans la vallée du Hron apparaissent dans cette série des tufs, tuffites et des porphyres, semblables à ceux de la série de Koperszady.

En me basant sur les faits décrits je constate que le Werfénien repose sur la crête de Jagnięcy Wierch en contact normal sur une série argileuse en haut et conglomératique en bas qu'on doit rapporter au Permien. Entre ces deux séries il y a une lacune d'érosion. La stratigraphie de la dite série se présente comme suit:

schistes rouges] Werfénien inférieur
grès-quartzites rouges	
grès-quartzites avec des galets	
conglomérats quartzeux avec des galets	
lacune — érosion — discordance?	
argile rouge schisteuse avec des petits débris de granite gris et rouge et avec des tufs volcaniques et rhyolites] Permien
conglomérats grossiers de granite	
discordance	
granite	Carbonifère

OBJAŚNIENIA DO PLANSZ XXVI—XXXIII

DESCRIPTION DES PLANCHES XXVI—XXXIII

Pl. XXVI

Fig. 1 i 2

Kontakt werfenu (w górze) z serią koperszadzką. Odkrywka II. Na fotografii widaw nierówną, pokrytą żebrami dolną powierzchnię zlepieńców kwarcyticznych werfenu. Długość trzonka młotka 50 cm

Fot. Zb. Kotański

Le contact du Werfénien en haut avec la série de Koperszady. Affleurement II. On voit sur la photographie la surface inférieure des grès-quartzites werfénien recouverte par des sillons et côtes

Pl. XXVII

Fig. 1 i 2

Żyłki kwarcowo-skalieniowe przecinające glinę czerwoną. Odkrywka II. Na fotografii górnej widoczne są otoczaki granitowe. Żyłki przebiegają niezgodnie w stosunku do płaszczyzn łupkowatości widocznych na fotografii i nie uległy żadnym zaburzeniom. Rozmiary altimetru $6,0 \times 7,2$ cm

Fot. Zb. Kotański

Des filons quartzo-feldspathiques traversant l'argile rouge. Ces filons sont discordants par rapport aux surfaces de schistosité et ne montrent aucune trace de déformation (affleurement II)

Pl. XXVIII

Fig. 1

Żyłki kwarcowo-skalieniowe. Odkrywka II
Filons quartzo-feldspathiques (affleurement II)

Fot. Zb. Kotański

Fig. 2

Struktura zlepieńca w odkrywce II. Dolna część profilu. W czerwonej glinie tkwią słabo obtoczone, miejscami kanciaste bloki (górna część fotografii) odcinające się ostro od otaczającej skały. Z prawej strony widoczna jest płaszczyzna uskokowa przecinająca otoczaki

Fot. Zb. Kotański

La structure du conglomérat dans l'affleurement II. La partie basale de la coupe. Dans l'argile rouge on voit des galets peu arrondis parfois anguleux (la partie supérieure de la photographie). Les galets se détachent très nettement de l'argile. A droite on voit une petite faille qui traverse les galets

Pl. XXIX

Fig. 1

Struktura zlepieńca koperszadzkiego (odkrywka IV). W środku fotografii duży, płaski otoczek granitu czerwonego; na prawo od niego otoczek granitu szarego. Otoczki tkwią w masie gliniastej przepełnionej okruchami granitowymi

Fot. St. Zwoliński

La structure typique du conglomérat de Koperszady (affleurement IV). Au milieu on voit un grand galet aplati d'un granite rouge. A droite de celui-ci — un galet de granite gris. Les galets sont noyés dans un ciment argileux rempli de débris de granite

Fig. 2

Typowa struktura zlepieńca koperszadzkiego. Odkrywka IV. Widać różnej wielkości i różnego kształtu bloki i otoczki tkwiące w masie druzgotu spojonego gliną czerwoną

Fot. Zb. Kotański

La structure typique du conglomérat de Koperszady (affleurement IV). On voit des galets de différente grandeur et forme, noyés dans une masse bréchoïde cimentée par l'argile rouge

Pl. XXX

Fig. 1

Struktura zlepieńca koperszadzkiego. Odkrywka IV. Otoczki tkwiące w masie gliniasto-brekcjowatej wykazują wyraźne ułożenie

Fot. Zb. Kotański

Structure du conglomérat de Koperszady (affl. IV). Des galets noyés dans une masse argilo-bréchoïde montrent une orientation distincte

Fig. 2

Zlepieńiec koperszadzki. Odkrywka IV. Widać jest wyraźnie pewne ułożenie składników

Fot. Zb. Kotański

Structure du conglomérat de Koperszady (affl. IV). On voit une disposition parallèle des galets

Pl. XXXI

Fig. 1 i 2

Zlepieńiec koperszadzki. Odkrywka IV. Na fotografiach zaznacza się wyraźne warstwowanie tak otoczków jak i „spoiwa“

Fot. Zb. Kotański

Structure du conglomérat de Koperszady (affl. IV). On voit sur la photographie une stratification très nette des galets et du ciment

Pl. XXXII

Fig. 1 i 2

Typowy obraz struktury zlepieńca koperszadzkiego. Odkrywka IV. Na fig. 1 widoczne skorupowe pękanie bloków

Fot. St. Zwolińska

Structure typique du conglomérat de Koperszady (affl. IV). Sur la photographie on voit une exfoliation concentrique d'un bloc de granite

Pl. XXXIII

Fig. 1

Odkrywka IV. Ławica arkozy leżąca na zlepieńcu, a pod serią gliniastą (obszar porośnięty trawą)

Fot. St. Zwolińska

Une couche d'arkose reposant sur le conglomérat et sous la série argileuse (terrain recouvert par l'herbe). Affleurement IV

Fig. 2

Bardzo charakterystyczna struktura zlepieńca koperszadzkiego. Odkrywka IV. Widoczne beładnie rozrzucone bloki zaokrąglone i kanciaste wśród wyraźnie warstwowanej masy gliniasto-brekcjowatej

Fot. St. Zwolińska

Une structure très caractéristique du conglomérat de Koperszady (affl. IV). On voit des blocs arrondis et anguleux disposés sans aucune orientation dans une masse argilo-bréchoïde montrant une stratification



Fig. 1



Fig. 2



Fig. 1



Fig. 2



Fig. 1



Fig. 2



Fig. 1



Fig. 2

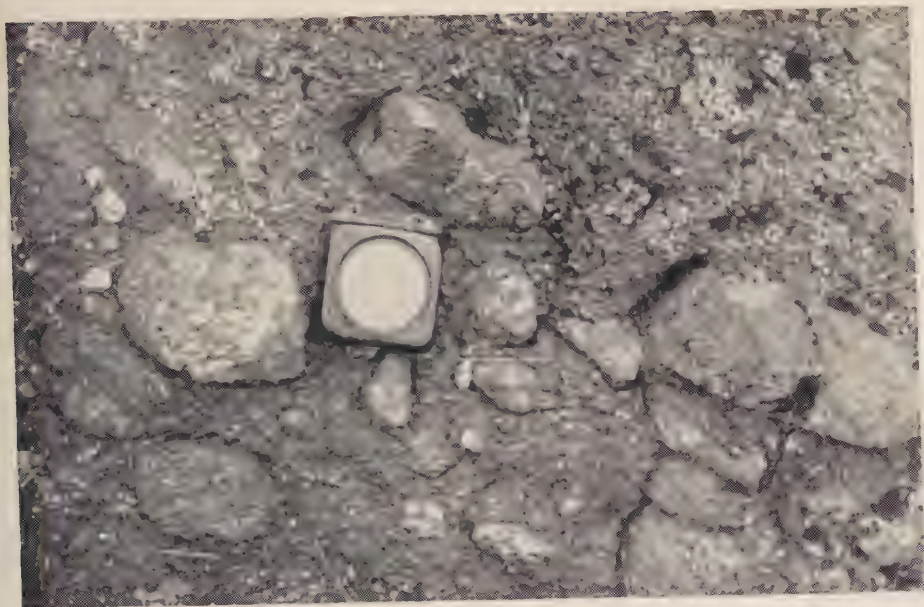


Fig. 1



Fig. 2



Fig. 1



Fig. 2



Fig. 1



Fig. 2



Fig. 1



Fig. 2

MARIA TURNAU-MORAWSKA

Petrografia i geneza zlepieńca koperszadzkiego

WSTĘP: Wstęp — Seria koperszadzka w świetle analiz mikroskopowych: odkrywka I; odkrywka II: mułowce, żyłki kwarcowo-skalieniowo-barytowe, charakter petrograficzny otoczek, skały wulkaniczne, granit czerwony z dolnej części odkrywki II; odkrywka IV: zlepieńiec, arkoza sponad zlepieńca, „czerwona glina“ — Wnioski co do genezy serii koperszadzkiej — Stosunek werfenu do serii koperszadzkiej — Literatura cytowana

WSTĘP

Analizę mikroskopową niektórych skał z serii koperszadzkiej rozpoczęłam jeszcze w roku 1954. Materiał do badań dostarczył mi E. Passendorfer, a niektóre okazy St. Sokołowski. Jednakże aż do sezonu letniego 1956 nie zapoznałam się z tą serią w terenie, ani też nie miałam do dyspozycji wszystkich typów litologicznych zlepieńca koperszadzkiego i leżących na nim utworów piaszczysto-gliniastych. Dlatego też nie umiałam się wypowiedzieć na temat genezy osadów.

Dwie wycieczki z E. Passendorferem i jego współpracownikami na teren odsłoneń serii koperszadzkiej oraz szczegółowa analiza mikroskopowa materiału zebranego z całego profilu serii wyjaśniły mi zasadnicze zagadnienia związane z charakterem petrograficznym i genezą utworów, budzących od tylu lat zainteresowanie zarówno geologów jak i petrografów.

Poglądy moje na genezę serii koperszadzkiej są w głównych zarysach podobne do poglądów E. Passendorfera. Wnikając w mikroskopową budowę utworów wprowadziłam jednak pewne uzupełnienia odnośnie do charakterystyki skał, wśród których stwierdziłam obecność ryolitów i tufów ryolitowych.

SERIA KOPERSZADZKA W ŚWIETLE ANALIZ MIKROSKOPOWYCH

Opis typów litologicznych serii koperszadzkiej podam w kolejności opisów odkrywek przedstawionych w części geologicznej.

Odkrywka I

Analizowany okaz jest skałą o charakterze scementowanej „gliny”¹ dość kruchą. Na tle zbitej masy barwy wiśniowej, upstrzonej srebrnymi blaszkami miki, widoczne są okruchy skał i minerałów, przeważnie ostrokrawędziste i nie większe od 0,5 cm; nieliczne tylko okruchy mają wielkość ponad 1 cm średnicy i te bywają częściowo obtoczone. Wśród okruchów rozpoznać można ziarna różowych skaleni, białych kwarców, różowych i szarych granitów oraz blaszki biotyту i muskowitu. Ani w ułożeniu okruchów, ani w teksturze masy droбноziarnistej nie zaznacza się łupkowatość ani warstewkowanie.

W obrazie mikroskopowym rzuca się w oczy dobry stan zachowania składników mineralnych, poza plagioklazami, które są częściowo lub całkowicie zastąpione przez agregaty bezbarwnego minerału blaszkowatego o wysokiej dwójłomności. Skalenie potasowe, do których należy mikroklin i pertyt, są bardzo świeże; również zupełnie świeży jest oliwkowo-brunatny biotyt. Rzadko i nieznacznie dotknięty jest on procesem chlorytyzacji, który to proces nie jest najczęściej procesem wietrzeniowym, lecz związanym z procesami pomagmowymi. Ta świeżość biotyту zwraca uwagę wobec scementowania okruchów masą ilasto-żelazistą barwy czerwono-brunatnej, przeświecającą i agregatowo-polaryzującą; świeży biotyt ostro odgranicza się od tej masy nie będącej zatem produktem jego wietrzenia. Obok skaleni i biotyту widoczne są wśród okruchów ziarna kwarcu, bądź pojedyncze, bądź też o strukturze mozaikowej, blaszki muskowitu, okruchy granitów, pegmatytów, kwarców żyłowych oraz rzadko okruchy podobne do tufów lub ciasta skalnego, zbudowane z agregatów kwarcu, chlorytu, serycytu, z pustymi miejscami o zarysach wykruszonych prakryształów, lub okruchy szkliska. Wszystkie te okruchy są ostrokrawędziste, a ziarna pojedynczych minerałów mają kształty zaokrąglone jak u zresorbowanych ziarn skał wylewnych. Niektóre okruchy granitów i kwarców poprzecinane są żyłkami wypełnionymi bezbarwnym minerałem podobnym do serycytu oraz zbitymi tlenkami czy wodorotlenkami żelaza. Tekstura skały jest zupełnie bezładna zarówno w ułożeniu większych okruchów, jak i najdrobniejszych blaszek.

Z punktu widzenia genezy można tę skałę uważać za nieznacznie przerobioną transportem wodnym zwietrzelinę granitową, przypuszczalnie z niewielką domieszką materiału tufowego. .

¹ Nazwa „glina” dla tej skały nie odpowiada ściśle przyjętej klasyfikacji skał osadowych. Glina jest skałą ilasto-piaszczystą nie scementowaną, nazwa „glinowiec” nie została jeszcze ogólnie przyjęta. Poza tym, ze względu na obfitość materiału psamitowo-aleurytowego, skała zbliża się miejscami do piaskowca o spoiwie ilastym. Przy opisach makroskopowych tej skały i podobnych używam jednak nazwy „glina czerwona” tak samo, jak E. Passendorfer.

Odkrywka II

Analizowany okaz został pobrany z części przeciętej żyłkami kwarcowo-skaleniowymi z barytem i zawiera kilkumilimetrowej grubości żyłkę kwarcowo-barytową. Jest to skała krucha, wyraźnie złupkowacona, barwy ciemnowiśniowej z nieregularnie rozrzuconymi plamkami szarobielonymi. Pod lupą można stwierdzić, że nie ma w tych plamkach odmiennej tekstury ani składu mineralnego różniącego się od pozostałej części skały, a zostały tu tylko wylugowane tlenki żelaza. Makroskopowo wyróżnić można kilkumilimetrowej średnicy ziarna różowych skaleni oraz bezbarwnych i różowych szklistych kwarców. Widoczne są też blaszki muskowitu i biotytu. Wszystkie te okruchy mimo złupkowacenia skały rozrzucone są w niej bezładnie.

Został wykonany szlif z okazu wraz z kawałkiem żyłki (pl. XXXIV, fig. 1). W mikroskopie widać, że żyłka składa się z pozazębianych ziarn kwarcu, łuseczkowatego muskowitu oraz ze zbitych skupień barytu. Kwarc ma miejscami charakter zrekrytalizowanego chalcedonu, o zaznaczonej jeszcze włóknisto-sferolitycznej budowie. Żyłka ma grubość 1-2 mm i przebiega wzdłuż nieregularnej węzowej linii, w sposób nieostry odcinając się od skały, którą przecina.

Skała ma charakter niejednorodny, miejscami bardziej zbliżając się do gliny czy brekcji wietrzeniowej, miejscami — do tufu czy tufitu. Do elementów scementowanych czerwono-brunatną masą ilasto-żelazistą należą okruchy skał i ziarn pojedynczych minerałów. Wśród okruchów skał wyróżnić można następujące: kwarcze mozaikowe, często o charakterze skał żyłowych, granity często bogate w myrmekit, granofiry, pegmatyty mikroklinowe z muskowitem, tufy względnie okruchy ciasta skalnego ryolitów z łyszcznikami ułożonymi fluidalnie oraz czerwone skały o charakterze gałek ilastych czy tufów. Niektóre okruchy granitów i kwarców o mozaikowej budowie są poprzecinane żyłkami z minerałem blaszkowatym silnie dwójłomnym, któremu towarzyszą niekiedy tlenki żelaza. Te żyłki nie przecinają spoiwa. Wśród pojedynczych ziarn mineralnych przeważa skałen potasowy, ortoklaz, mikroklin i pertyt, świeży brunatny biotyt i obfity muskowit; rzadsze są plagioklasy wypełnione najczęściej całkowicie drobnołuseczkowatym silnie dwójłomnym minerałem. Ziarno jest ostrokrawędziste, często zresorbowane, źle wysortowane. W teksturze skały równoległe ułożenie składników zaznacza się niewyraźnie, niekiedy widoczne jest u łyszczyków. Charakter osadowy skały zaznacza się w tym, że ziarna kwarcu występują tu w większym procentie niż w granicie czy granodiorycie. Nastąpiła tu zatem pewna selekcja wskutek wietrzenia i niedalekiego transportu.

Mułowce

W górnej części serii koperszadzkiej w odkrywce nr 2 tuż pod wermefenem pojawiają się na przemian leżące warstewki mułowców ilastych i zlepieńców (patrz fig. 5 w artykule E. Passendorfera). Obraz w płycie cienkiej takiego mułowca wygląda następująco: skała jest zbudowana z pelitycznych części granitu, wzbogaconych w kwarc, scementowanych nieprzezroczystą ilasto-żelazistą masą czerwono-brunatną. Obok ostro krawędzistych ziarn kwarcu występują tu zwietrzałe plagioklasy, rzadziej ortoklaz i mikroklin, okruchy granitów i kwarców żyłowych do 1 mm średnicy oraz bardzo liczne łyszczyki należące do muskowitu i bardzo świeżego biotyту. Łyszczyki swym ułożeniem nadają skałe mikroteksturę równoległą. Być może jest także i w tej skałe nieznaczna domieszka materiału piroklastycznego, o czym świadczy obecność okruchów przypominających odszklone szkliwo, te okruchy są jednak rzadkie. Materiał pochodził głównie z rozdrobnionego granitu i został przypuszczalnie osadzony w mało ruchliwym środowisku wodnym.

Żyłki kwarcowo-skaleniuowo-barytowe

Wykonano także szlify mikroskopowe z grubszych żyłek przecinających skałę z odkrywki II. W szlifie wykonanym ze środkowej części żyłki widać, że przeważającym składnikiem jest kwarc w ziarnach pozazębianych, przechodzących miejscami w mikrokryształiczne agregaty. Podrzednie występuje ortoklaz i mikropertyt (pl. XXXIV, fig. 2) z wrostkami kwarcu. Skąpy bezbarwny łyszczyk tworzy łuseczkowate gniazda. Żyłka jest spękana i poprzecinana żyłkami drobnoziarnistego kwarcu i barytu.

W szlifie mikroskopowym, wykonanym z rozszerzonego zakończenia żyłki, widoczne są jedynie kwarc i baryt; ten ostatni tworzy miejscami skupienia sferolityczne. Jest to baryt wcześniejszej generacji niż ten, który przecina żyłki poprzecznie, o czym świadczy lepsze wykształcenie kryształów i zazębianie się z ziarnami kwarcu opisanego barytu w żyłce rozszerzonej. Kwarc przechodzi w tej żyłce miejscami w formy skupień podobne do chalcedonu.

Z powyższych obserwacji mikroskopowych wynika, że żyłka powstała w hydrotermalnym stadium procesów pomagmowych i w temperaturze stosunkowo niskiej tak, że w niektórych chłodniejszych częściach wytrącała się krzemionka w postaci koloidalnej.

Charakter petrograficzny otoczków

Otoczaki i kanciaste okruchy, występujące w dolnej części odkrywki z żyłkami, mają zwykle średnicę 2-4 cm. Już obserwacja makroskopowa tych okruchów stwierdza, że należą one do kwarców żyłowych, peg-

biotytów i aplitów. Wykonano szlif mikroskopowy z półobtoczonego okruchu aplitu. Interesujący jest obraz tej skały w mikroskopie (pl. XXXV, fig. 1). Widać w nim postrzępione relikty plagioklazów wypełnionych serycytem, tkwiące wśród ziarn mikroklinu, mikropertytu i kwarcu. Okruchy te pochodzą zapewne ze strefy granitów zautometamorfizowanych, według terminologii A. Michalika (1951).

Skały wulkaniczne

Najbardziej odbiegająca swym wyglądem makroskopowym od „gliny czerwonej“ (według terminologii E. Passendorfera) jest skała barwy szaro-zielonej, znacznie bardziej zwięzła od dotychczas opisanych, o charakterze kwaśnej skały wylewnej lub tufu. Na tle zbitej drobnokrystalicznej masy widoczne są makroskopowo ziarna różowych lub żółtawych skaleni, często o zarysach automorficznych do 3 mm średnicy, bezbarwne szkliste lub różowe ziarna kwarcu, kanciaste lub zaokrąglone, bezładnie rozrzucone blaszki biotytu i muskowitu oraz gniazda żółtawo-brunatnej substancji, niekiedy o zarysach owalnych. Skała zawiera też ziarna o charakterze okruchowym należące do kwarcu, skaleni i granitów. Ziarna te dochodzą do 0,5 cm średnicy.

Wykonano szereg szlifów mikroskopowych z tej skały i z różnych okazyw o podobnym wyglądzie (pl. XXXV, fig. 2; pl. XXXVI, fig. 1 i 2; pl. XXXVII, fig. 1). Z obrazów mikroskopowych wynika, że skład i struktura utworu jest zmienna. W niektórych częściach jest to tuf ryolitowy bogaty w okruchy granitu oraz law ryolitowych, zawierający także pojedyncze składniki ryolitu. W innych częściach jest to raczej ryolit z włożonymi okruchami kwarców mozaikowych i granitów. Składnikami ryolitu są następujące minerały: ortoklaz, niekiedy sanidyn (o bardzo małym kącie osi optycznych), kwarc, biotyt i serycyt obficie rozproszony w cieście skalnym, mikrokryształicznym, zwykle bogatym w szkliwo, często nawet prawie zupełnie szklistym. Wielkość prakryształów wynosi zwykle do 1 mm średnicy. Skaleń potasowy występuje zwykle w nieregularnych, zresorbowanych ziarnach, rzadziej w słupkach automorficznych, niekiedy pojawiają się zbliżniaczenia karlsbadzkie. Ziarna są na ogół świeże, nie zawierają często dziurki jakby po wykruszonym szkliwie, niekiedy rosną w drobne grzbiety w substancji izotropowej zielono-brunatnej. Ziarna kwarcu najczęściej są zresorbowane, czasem hypautomorficzne. Biotyt jest brunatny, bardzo świeży, podobny do biotytu granitów. Czasem trudno jest rozróżnić, które blaszki biotytu powstały z rozpylenia granitu, a które są związane genetycznie z lawą ryolitową. Niekiedy ułożenie blaszek biotytu nadaje teksturze ciasta skalnego charakter fluidalny.

Podobnie wykształcone minerały występują w okruchach law spotykanych w częściach tufowych skały, tylko prakryształy są tutaj mniej

sze niż w ryolitach. Ciasto skalne jest tu niekiedy izotropowe. Niektóre okruchy ław zawierają gniazda wypełnione kwarcem i chlorytem, o charakterze utworów mineralizujących pęcherzyki pogazowe.

Do okruchów obcych, nie związanych genetycznie z ławą, należą okruchy granitów, kwarcze mozaikowe, czerwone gałki ilaste, muskowi, względnie serycyt oraz części skaleni, kwarcu i biotyту. Nie ulega wątpliwości, że tkwiące w opisanych skałach wulkanicznych okruchy granitów nie są podobne do skał ze spągu serii koperszadzkiej, ani też na ogół do okruchów zawartych w serii poprzednio opisanych skał czerwonych. Są to granity zbudowane prawie wyłącznie ze skalenia potasowego, głównie mikroklinu i mikropertytu. Plagioklasy są rzadkie, niezblizniaczone i należą prawdopodobnie do albitu. Przypuszczalnie te okruchy zostały wyrwane ze ścian głębszej części kanału wulkanicznego.

Opisane skały wulkaniczne nie wykazują żadnych cech świadczących o ich przeróbce procesami sedymentacyjnymi. Dlatego wykazują znaczną zwięzłość, a ich tekstura jest na ogół bezładna. Niekiedy zaznaczająca się pod mikroskopem tekstura fluidalna.

Ławica skały szaro-zielonej przechodzi bez ostrej granicy w sąsiednie, dujące z nią utwory również zwięzłe i również wykazujące porfirową strukturę, lecz posiadające barwę wiśniowo-czerwoną. Tu i owdzie pojawiają się na skałach czerwonych plamki i żyłki szaro-zielone. Pod mikroskopem widać, że skład i struktura części czerwonej są takie same jak w plamkach, zaznacza się jednak stopniowe zanikanie wodorotlenków żelaza.

Okaz pobrany z bezpośredniego sąsiedztwa skały szaro-zielonej jest w głównej swej masie prawie afanitowy, zwięzły, z rzadko widocznymi blaszkami miki białej i jeszcze rzadszymi ziarnami kwarcu o zarysach nieregularnych. Ponadto tu i owdzie rozrzucone są brunatno-żółte okrągłogławe gniazda należące, być może, do skaleni lub wypełnień pęcherzy pogazowych. Pod mikroskopem okazuje się, że skała ma również cechy utworu wulkanicznego, lecz ciasto skalne jest impregnowane czerwoną substancją, a poza tym zbliża się ona do tufitu. Świadczy o tym domieszka zserycytyzowanych plagioklazów, większa ilość kwarców mozaikowych oraz lekko zaznaczająca się tekstura równoległa, typu osadowego.

Nie jest jednak regułą, aby skały o czerwonym zabarwieniu zbliżały się bardziej do tufitów niż skały szaro-zielone. Okaz pobrany z części leżącej poniżej ławicy szaro-zielonej, bardzo zwięzły, afanitowy, z rzadko dającymi się obserwować ziarnami różowych skaleni, wykazuje pod mikroskopem charakter bardziej czystej skały wylewnej niż wszystkie dotąd opisane typy. Skład mineralny i struktura skały lepiej zaznaczają się tam, gdzie masa czerwona ilasto-żelazista została częściowo wylugowana. Automorficzne lub częściowo zresorbowane ziarna skalenia

potasowego i kwarcu wyróżniają się tu dobrze na tle ciasta skalnego, miejscami zupełnie izotropowego. Prakryształy dochodzą do 1 mm średnicy, zwykle są mniejsze. Do większych okruchów należą zespoły kwarcowo-skaleniowe i kwarce mozaikowe, wtopione w ciasto skalne. Są one jednak nieliczne. Wśród prakryształów skaleni potasowych zdarza się obok ortoklazu także i sanidyn. Blaszki biotyту są bardzo świeże i układają się niekiedy fluidalnie. Mikrofotografia wykonana została bez analizatora z części szlif, w której substancja czerwona podkreśla strukturę ciasta skalnego.

Skała występująca w sąsiedztwie opisanych utworów wulkanicznych, a która swym wyglądem na pierwszy rzut oka zupełnie przypomina granit, jest według moich studiów brekcją tufowo-lawową. Jest to skała barwy niejednostajnie szaro-zielonej ukazująca plamki różowe pochodzące od skaleni i okruchów granitowych wielkości 3-5 mm. Pod lupą wyróżnić można dokładniej kanciaste szkliste ziarna kwarcu, białe i różowe skałenie, liczne błyszczące blaszki biotyту i muskowitu. Wszystkie te minerały są ściśle spojone masą afanitową szaro-zieloną, niekiedy o wyglądzie szklawa. Żadna zorientowana tekstura nie zaznacza się. W mikroskopie, na tle drobnokrystalicznej masy o charakterze ciasta skalnego law kwaśnych lub też pelitowego tufu bogatego w strzępki miki białej widoczne są ziarna skaleni i kwarcu, okruchy granitów, law ryolitowych, tufów oraz biotyt świeży, barwy oliwkowo-brunatnej. Kwarce i skałenie mają bądź to charakter prakryształów, bądź też okruchów. Okruchy granitów bogate w mikropertyt nie są podobne do granitów ze spągu ani do otoczek tej serii. Niektóre okruchy są przecięte żyłkami z minerałem podobnym do serycytu i wodorotlenkami żelaza; żyłki te nie wiążą się z tłem skały. Tu i owdzie widoczne są gniazda i żyłki węglanów, należących przypuszczalnie do sydereytu. Niekiedy tworzy on pseudomorfozy po skaleniach i kwarcu. Obecność sydereytu jest przypuszczalnie związana z pomagmowymi procesami hydrotermalnymi, współczesnymi, być może, zjawiskom tworzenia się żyłek kwarcowo-skaleniowych i kwarcowo-barytowych.

Granit czerwony z dolnej części odkrywki II

Analizowany okaz jest skałą o dość wyraźniej teksturze równoległej, zaznaczonej ułożeniem blaszek biotyту, który ma wygląd świeży. Ogólny odcień czerwonawy pochodzi od zabarwionych na kolor ceglasty skaleni a niekiedy także i kwarców; ta barwa rozrzucona jest plamisto, pozostawiając tu i owdzie białą barwę skaleni i przezroczystość kwarców. W mikroskopie można skałę sklasyfikować jako granodioryt według współczesnej klasyfikacji petrograficznej, gdyż plagioklaz występuje tu w znacz-

nej przewodzie nad skaleniem potasowym należącym głównie do mikroklinu. Biotyt jest barwy oliwkowo-brunatnej, świeży, nieznacznie tylko schlorytizowany. Plagioklasy są gęsto przetkane blaszkami i skupieniami blaszek bezbarwnych lub zielonkawych silnie dwójłomnych, które na podstawie cech strukturalno-optycznych określić można jako serycyt. Niekiedy zaznaczają się jeszcze w tych zmienionych plagioklazach prążki albitowe, które nie są nigdy zdeformowane. Bardzo drobne i rzadkie są wrostki epidotu w biotycie, natomiast stosunkowo liczne są wrostki apatytu w różnych minerałach.

Niektóre części skały poprzecinane są żyłkami zawierającymi tlenki lub wodorotlenki żelaza, oraz blaszkowate minerały bezbarwne o dużej dwójłomności, podobne do serycytu. Żyłki te przebiegają w różnych kierunkach zarówno poprzez ziarna kwarcu jak i skał. Niekiedy te same minerały, co występują w żyłkach, tworzą obwódki dokoła składników granitu. W skałach żyłki te przebiegają zgodnie z łupliwością tworząc niekiedy schodkowate smugi (pl. XXXVII, fig. 2), kwarcy są przecięte w sposób nieprawidłowy. Szerokość ich nie przekracza ułamków milimetra. Żyłki są różnego typu. Niektóre zawierają przy ścianach skupienia łuszczyków o blaszkach ustawionych prostopadle do ścian, rdzeń wypełniony jest substancją czerwoną o ziemistej strukturze. Nie ryzykowałabym tu nazwy hematyt, gdyż nigdy ta substancja nie wykazuje wyraźnego krystalicznego charakteru. W innych żyłkach masa czerwona układa się przy ścianach a minerał łuszczykowaty w rdzeniu, w innych jeszcze obie substancje układają się obok siebie, połowiąc żyłkę na część łuszczykową i część żelazistą. Są wreszcie żyłki wypełnione tylko substancją bezbarwną, inne — tylko substancją czerwoną.

Zanalizowałam także szereg szlifów wykonanych z okazów dostarczonych mi przez S. Sokołowskiego. Sądząc z podobieństwa wyglądu makroskopowego skał, a zwłaszcza z podobieństwa obrazów mikroskopowych, przypuszczam, że okazy te również jak i poprzednio opisany pochodziły z ławicy granitowej podścielającej zlepieniec koperszadzki. Skały te mają charakter gnejsowaty i czerwone zabarwienie składników jasnych, podczas gdy biotyt jest świeży. W mikroskopie mogłam wszystkie analizowane skały sklasyfikować jako granodioryty, jednak dość duża zawartość mikroklinu świadczy, że mogą one już należeć do serii zautometamorfizowanej. Plagioklaz jest składnikiem zawsze przeważającym i jest podobnie zmieniony jak w okazie poprzednio opisanym. W żadnym ze szlifów mikroskopowych nie stwierdziłam opisanej przez A. Michalika (1956) chlorytizacji plagioklazów. Prążki albitowe są niekiedy widoczne, lecz nigdy nie zdeformowane. Mimo zgnejszowania skała nie wykazuje cech dynametamorfozy. Równoległe ułożenie blaszek biotytu jest przypuszczalnie związane z krystalizacją w brzeżnej strefie batolitu.

Z wyjątkiem plagioklazów inne składniki granodiorytu są zachowane w stanie prawie niezmienionym, czasem biotyt jest nieznacznie schlorytyzowany. Wynika stąd, że przeobrażenia plagioklazów nie są charakteru wietrzeniowego, lecz są związane z procesami magmowymi lub metamorficznymi. Przypuszczalnie zaszły one jeszcze przed zjawiskami autometamorfizmu, gdyż w okruchach aplitów widać resorbację już zsekcjonowanych plagioklazów (pl. XXXV, fig. 1).

W jednym ze szlifów mikroskopowych należących do analizowanych granodiorytów stwierdziłam obecność drobnych żyłek wypełnionych pirytem. Przypuszczam, że te żyłki powstały później niż łyszczykowo-żelaziste, gdyż podobną żyłkę spotkałam w arkozie leżącej nad zlepiencem koperszadzkiem.

Odkrywka IV

Zlepieniec

Zanalizowałam mikroskopowo spoiwo zlepieńca występującego na przełęczce w grani prowadzącej ku Jagnięcemu Szczytowi, opisanego przez Uhliga, Limanowskiego, Kuźniara, a później przez Sokołowskiego, Passendorfera i Michalika. Makroskopowo ma ono zazwyczaj barwę wiśniowo-czerwoną i charakter arkozy, nieznacznie sprasowanej, lecz wykazującej bezładne ułożenie składników.

Pod mikroskopem widać, że jest to druzgot granitowy scementowany masą czerwono-brunatną, barwy ceglastej w świetle odbitym, słabo przeświecającą lub prawie zupełnie nieprzezroczystą (pl. XXXVIII, fig. 1). Materiał okruchowy granitu jest ostrokrawędzisty, źle wysortowany, bez wyraźnej orientacji w ułożeniu składników. Masa czerwono-brunatna składa się przypuszczalnie z wodorotlenków żelaza mniej lub więcej zanieczyszczonych minerałami ilastymi czy też serycytem. Przy skrzyżowanych nikolach masa ta zachowuje się izotropowo lub też polaryzuje agregatowo, miejscami wykazując niewyraźnie włóknisty charakter. Nie ulega wątpliwości, że spoiwo żelaziste nie pochodzi z rozkładu minerałów ciemnych z granitu w najbliższym sąsiedztwie, gdyż zarówno biotyt jak i magnezyt nie wykazują śladów wietrzenia. Głównymi składnikami druzgotu są plagioklasy, na ogół bardzo zmienione, wykazujące przy tym dwojaki charakter przeobrażeń. Niektóre są podobne do plagioklazów granitu ze Spagiu, zmienione częściowo lub prawie całkowicie w agregat serycytu. Schlorytu opisanego przez A. Michalika (1956) również i tutaj nie stwierdziłam. Niekiedy widoczne są jeszcze dość wyraźnie prążki albitowe, które nigdy nie są zdeformowane. Dużo jest plagioklazów, które zamiast gniazd serycytu zawierają wewnątrz gniazda substancji czerwono-brunatnej lub też dziurki obrzeżone tą substancją. Do innych składników

druzgotu należą: kwarc, mikroklin, mikropertyt, biotyt, muskowit, magnezyt. Ziarna kwarcu i skaleni dość często poprzecinane są żyłkami zawierającymi wodorotlenki żelaza i minerały blaszkowate podobne do serpentynu. Żyłki te nie wiążą się ze spoiwem druzgotu. Wynika stąd niewątpliwie, że żyłki powstały przed utworzeniem się serii koperszadzkiej.

W niektórych częściach opisanego druzgotu cementującą masą nie jest agregat żelazisto-ilasty, lecz autogeniczny kwarc, tworzący czasami obwódki dookoła ziarn okruchowych. Zdarzają się też gniazda zielonego silnie dwójłomnego minerału o charakterze wermikulitu. Te ostatnie utworzyły należą jednak do rzadkości.

O charakterze strukturalno-petrograficznym otoczków tkwiących w druzgocie granitowym była mowa w części geologicznej tej pracy. Na podstawie analiz mikroskopowych niektórych otoczków stwierdziłam, że nie ma zasadniczej różnicy w składzie mineralnym granitów czerwonych i szarych. Pierwsze zawierają w niektórych swych częściach żyłki podobne jak w granitach ze spągu; w granitach szarych takich żyłek brak. Granity szare pochodzą więc z tych części masywu, które w jakiś sposób uniknęły impregnacji żelazistych, wędrujących przypuszczalnie z głębi. O przyczynach i przebiegu zjawiska powiem później.

Między składem mineralnym niektórych otoczków a składem mineralnym „spoiwa“ względnie druzgotu, w którym tkwią otoczki, nie ma kiedy różnica bywa minimalna, a także struktura otoczki różni się nieznacznie od sąsiedniego spoiwa. Różnica ta może czasem polegać tylko na obecności w druzgocie masy czerwono-brunatnej, jakby powciskanej między okruchy. Nie stwierdzam tych stosunków jako z reguły zachodzących, bo jaskrawe różnice między spoiwem a wieloma otoczkami już makroskopowo rzucają się w oczy. Niektóre jednak części zlepieńca tworzyły się prawie bez transportu i bez selekcji materiału.

Nie mogę pominąć faktu, że obrazy mikroskopowe opisanych tutaj skał nie są podobne do obrazu przedstawionego na tablicy V pracy A. Michalika (op. cit.; obraz bez analizatora, a nie przy nikolach równoległych jak omyłkowo podano). Obraz powyższy jest podobny do obrazów mikroskopowych granitów ze spągu serii koperszadzkiej. Autor pisze, że płytka cienka została wykonana ze spągowej części skały z okruchu najbardziej typowego dla zlepieńca koperszadzkiego, nie podaje jednak ani dokładnego makroskopowego opisu skały, ani miejsca pobrania próbki. Ze struktury spągowej części zlepieńca wynika, że obraz mikroskopowy nie jest obrazem zlepieńca, lecz obrazem albo okruchu zlepieńca, albo spoiwa tegoż zlepieńca. Jest jednak najbardziej prawdopodobne, że płytka cienka została wykonana ze skały, którą jeszcze należy nazwać granitem. W odniesieniu do opisu obrazu mikroskopowego tablicy V nasuwa się wiele uwag ze względu na niejasność i nieściśłość w terminologii mikroskopowej fizjo-

grafii skały. Autor pisze o chlorycie, którego „barwa interferencyjna przechodzi od bezbarwnej do słabo zielonkawej“ (autor ma zapewne na myśli barwy wynikające z pleochroizmu, a nie barwy interferencyjne), nie posiadając jednak innych cech optycznych rzekomego chlorytu, który według moich obserwacji nie jest chlorytem lecz serycytem. Pomijając inne nieścisłości stwierdzam, że ani z mikrofotografii, ani z opisu nie wynika, że struktura tej skały odpowiada kataklazytowi“, jak pisze autor. W następnym zdaniu próbuje autor uzasadnić to twierdzenie pisząc: „Jest to bowiem granit lekko pokruszony, a przede wszystkim poddany hydrotermalnym procesom chlorytyzacji i hematytyzacji“, ale jest rzeczą oczywistą, że nie jest to właściwa definicja kataklazytu. Również obraz mikroskopowy z tablicy VI (nie wiadomo, z jakiego okazji wykonano płytkę cienką) nie odpowiada strukturze kataklazytu. Obecność w skale żyłki kwarcowej hydrotermalnego pochodzenia nic w tej dziedzinie nie rozstrzyga.

Arkoza sponad zlepieńca

Makroskopowo skała ta wygląda jak granit z różowym skaleniem, bogaty w kwarc i muskowit. W mikroskopie okazuje się jednak, że jest to arkoza o spoiwie zbudowanym z wtórnego kwarcu (pl. XXXVIII, fig. 2; pl. XXXIX, fig. 1 i 2). Stosunki mineralne są tu bardzo podobne jak w granodiorycie ze spągu, występują tu jednak dwojakiego rodzaju plagioklasy. Większość podobna jest do opisanych w granodiorycie. Zdarzają się obok nich ziarna z gniazdami brunatnych wodorotlenków żelaza, bądź miejscami prawie nieprzezroczyste, bądź też dziurkowate z dziurkami obrzeżonymi wodorotlenkami żelaza. Kwarc występuje tu zarówno jako normalny kwarc granitu, jak i jako autogeniczny minerał osadowy. Tworzy on niekiedy jednorodne obwódki regeneracyjne dookoła ziarn klastycznych, najczęściej jednak występuje w postaci drobnoziarnistych agregatów otaczających kwarc i skalenie. Tworzy też gniazda między okruchami mineralnymi, a niekiedy żyłki przecinające kwarc i skalenie. Do innych minerałów okruchowych tej skały należą mikroclin, mikropertyt, a także oliwkowo-brunatny biotyt, obfity muskowit oraz magnetyt. Miejscami widać w szlifie mikroskopowym drobnoziarniste skupienia detrytusku kwarcowo-skaleniuowo-łyszczykowego, scementowanego masą czerwono-brunatną. Ziarna skalenia i kwarcu poprzecinane są niekiedy żyłkami żelazisto-łyszczykowymi, nie wiążącymi się ze spoiwem. Żyłki te są bardzo nikle i ubogie w tlenki żelaza, które — być może — były ługowane przy procesie sylikacji. Dlatego skała nie ma zabarwienia czerwonego jak inne części serii koperszadzkiej.

Obok żyłek wypełnionych masą czerwoną i bezbarwną o charakterze łyszczyku, występują w tej skale cieniutkie żyłki wypełnione drob-

nokrystalicznym pirytem, przecinające zarówno okruchy jak i spoiwo. Te żyłki wytworzyły się — być może — w związku z permskimi zjawiskami wulkanicznymi lub może jeszcze później.

„Czerwona glina“

Zanalizowałam w mikroskopie okaz z dawniejszych zbiorów E. Passendorfera, pobrany z serii leżącej ponad zlepieńcami, ponad ławicą arkozy i ciągnącej się od przełączki do podnóża ściany zbudowanej z piaskowców werfenu. Jest to brekcja o spoiwie mułowcowo-żelazistym, o teksturze równoległej, zawierająca okruchy granitów, skaleni, kwarcu, niekiedy do kilku centymetrów średnicy. Na podstawie obrazu mikroskopowego można stwierdzić, że jest to skała osadowa, okruczowa, której okruchy podległy niedługiemu transportowi. W skład jej wchodzi: kwarc, mikroklin, mikropertyt, rzadziej plagioklaz, świeży oliwkowo-brunatny biotyt, muskowit, magnetyt oraz masa ilasto-żelazista przetkana drobnym detrytusem kwarcowo-skaleniowo-łyszczkowym. Okruchy są ostrokrawędziste, różnych wielkości i układają się bezładnie. Zdarzają się okruchy zbudowane z drobnoziarnistych agregatów kwarcu i chlorytu, należące być może do szkliwa wulkanicznego, czego nie można jednak stwierdzić. Ze wszystkich zanalizowanych przeze mnie glin czerwonych skała ta opisana jest najbardziej normalną skałą osadową, a charakter tufitowy nie zaznacza się tu wyraźnie.

Zanalizowałam ponadto okaz pobrany przeze mnie sponad „gliny czerwonej“ — łupek leżący tuż pod werfenem. Makroskopowo jest to skała szaro-zielona, plamista, przechodząca w czerwoną, o teksturze łupkowej. W masie ilasto-mułkowej, zarówno szarej jak i czerwonej są rozrzucone bezładnie ostrokrawędziste okruchy kwarcu i skaleni, których wielkość nie przekracza 2 mm średnicy. W mikroskopie obraz jest podobny jak w skale poprzedniej, jest ona jednak bardziej drobnoziarnista, a równoległa tekstura miejscami wyraźnie się zaznacza ułożeniem brunatnych blaszek biotyту. W spoiwie przeważają bezbarwne łyszczyki i podrzędny chloryt. Masa czerwona została tu po większej części wyługowana. Niektóre okruchy, zbudowane z agregatów słabo reagujących na światło spolaryzowane, mogą ewentualnie należeć do szkliwa, jednak ich natura jest niepewna.

Obrazy mikroskopowe opisanych tu skał są bardzo podobne do „obrazu mikroskopowego stropowej części brekcji koperszadzkiej“ przedstawionego na tablicy VII pracy A. Michalika (1956). Autor nie podaje dokładnego miejsca pobrania próbki, ani też opisu makroskopowego skał, z których szlify zostały wykonane. Píše jedynie na str. 14, że w stropowej

części „zlepieńca koperszadzkiego“ występują skały tak silnie pokruszone, że swą strukturą nie przypominają skał pierwotnych. Obrazy mikroskopowe tych skał zostały sfotografowane bez analizatora (a nie przy nikolach równoległych, jak omyłkowo podano w objaśnieniu mikrofotografii), dlatego nie widać na nich szczegółów podanych w opisie. W każdym razie nie widać tu przejścia między resztkami okruchów skalenia a tłem skały, które miałyby — według autora — powstać z roztarcia okruchów; granice między okruchami a tłem są ostre. Autor stara się uzupełnić obrazy mikroskopowe opisem, opisy są jednak tak niejasne i zawierają tyle nieścisłości, że trudno coś z nich wywnioskować. Główna masa skały ma się, zdaniem autora, składać „prawdopodobnie z kaolinu zabarwionego chlorytem“ (str. 14, w. 17 od góry). Jeśli z tego niejasnego i nieścisłego określenia wywnioskuję, że jest to jakaś masa zielonkawa w świetle zwykłym, a słabo reagująca na światło spolaryzowane przy skrzyżowanych nikolach, to zaskoczy mnie dalszy opis, że jednak ta masa ma wysokie barwy interferencyjne. Autor tłumaczy te barwy „dużą ilością drobnych łuseczek serycytu“, nie wiadomo jednak, na jakiej podstawie stwierdził obecność kaolinu i chlorytu. Barwa zielonkawa w świetle zwykłym nie świadczy jednoznacznie o obecności chlorytu. — Dalsze zdanie w opisie obrazów mikroskopowych jest zupełnie niezrozumiałe: „duże partie masy skalnej wykazują rozmaitą orientację optyczną, co dowodzi, że masa ta ma budowę krystaliczną“ (str. 14, w. 17 i 18 od dołu). Nieścisłości takich jest więcej, a żaden z fragmentów opisu obrazów mikroskopowych nie przedstawia argumentów kataklastycznego pochodzenia skały.

WNIOSKI CO DO GENEZY SERII KOPERSZADZKIEJ

Wyniki analiz petrograficznych skał serii koperszadzkiej potwierdzają ogólne wnioski przedstawione w części geologicznej tej pracy. Pewne fakty zaobserwowane w mikroskopie pozwalają na uzupełnienie tych wniosków.

Stwierdziłam bez wątpliwości, że żadna ze skał analizowanych nie wykazuje w obrazach mikroskopowych charakteru kataklazytu czy utworu o podobnej genezie. Ani w granitach spągu serii koperszadzkiej, ani w spoiwie zlepieńca, ani w serii wyższej z ryolitami i tufami względnie tufitami nie widać struktur ani tekstur kataklastycznych, deformacji prążków bliźniaczych u skaleni, prążkowania translacyjnego u kwarcu, granulacji ani struktur oczkowych. Granit ze spągu serii nie tylko nigdy nie zbliża się charakterem do brekcji tektonicznych, z którymi zapoznałam się np. w grupie Mięguszowieckich Szczytów, ale nawet nie wykazuje podobieństwa do silniej dynamicznie zdeformowanych typów poznanych przeze mnie (1947) w różnych częściach trzonu krystalicznego. Tekstura równoległa tego granitu jest związana z jego krystalizacją w brzeżnej czę-

ści masywu i zaznaczona ułożeniem blaszek biotyту. W obrębie serii koperszadzkiej tekstura równoległa często się zaznacza, lecz jest związana z procesami wulkanicznymi lub sedymentacyjnymi, albo tu i owdzie, po samym werfenem — z nieznacznym sprasowaniem wywołanym ciśnieniem nadkładu. Jest jednak rzeczą charakterystyczną dla tej serii, że blaszki łyszczyków są najczęściej ułożone beładnie, co nigdy nie zachodzi w teksturach kataklastycznych.

Nie ulega wątpliwości, że seria piaszczysto-łupkowa odsłonięta w odkrywce II ma w głównej swej masie charakter tufów ryolitowych i tufitów z nieznacznymi wtrąceniami ryolitów. Rozgraniczenie osadów porfiroklastycznych od produktów sedymentacji wodnej jest tutaj trudne do przeprowadzenia. Jak wspomina E. Passendorfer w części geologicznej tej część serii koperszadzkiej ma podobny charakter do utworów permskich Masywu Aaru (Hügi 1941). Autor ten pisze (str. 52-54), że większość skał wykazuje tu zazębienie się i przewarstwianie utworów wulkanicznych z utworami osadowymi, niektóre z nich mają charakter przejściowy (Konvergenztypen). Skały te zostały później sprasowane i przybrały niekiedy taki charakter, że trudno skałę tę nazwać i zdecydować, czy jest to porfirokwarcowy, tuf czy też utwór osadowy, nie związany z wulkanizmem. Autor stwierdza, że materiału detrytycznego dla osadów dostarczały wyłącznie porfiry kwarcowe i tufy. W przypadku serii koperszadzkiej dołączał się w zmiennej ilości także materiał pochodzący z rozkruszenia granitu. W osadach odkrywki I przypuszczalnie ten materiał przeważał. W odkrywce IV osad tworzył się wyłącznie lub prawie wyłącznie z porokruszonego granitu i zawartych w nim żył pegmatytowych i aplitowych. Hügi jest skłonny do używania nazwy „utwory permskie“ dla opisanej serii, raczej niż „Verrucano“, które to pojęcie nie zostało dostatecznie ściśle zdefiniowane.

Utwory permskie masywu Aaru zostały pod względem petrograficznym opracowane również przez P. Pflugshaupta (1927). Opisuje on występujące tutaj dużej miąższości serie tufowe, zawierające okruchy ryolitów, granitów, łupków ilastych i tufów ryolitowych.

O utworach podobnych do wyższej części serii koperszadzkiej pisze A. Streckeisen (1928), przedstawiając wyniki prac geologiczno-petrograficznych, dotyczących masywu Fuela w Graubünden. Czerwonym i zielonym łupkowatym utworom permskim towarzyszą tutaj porfiry kwarcowe. Rozróżnienie makroskopowe osadów klastycznych od skał wulkanicznego pochodzenia jest niemożliwe, a rozgraniczenie nawet na podstawie obserwacji mikroskopowych dość trudne.

Th. Hügi (1941) przypuszcza, że przy kształtowaniu się permu masywu Aaru zachodziła cykliczna zmienność zjawisk wulkanicznych, erozji i sedymentacji. Podobne zjawiska mogły zachodzić w Tatrach. Wiele fak-

ów wskazuje na to, że procesy wulkaniczne poprzedziły procesy sedymentacji. Nie ulega wątpliwości, że tworzenie się żyłek wypełnionych tlenkami czy wodorotlenkami żelaza i minerałami o składzie łyszczyku (czy też może wodorotlenków glinu) zachodziło wcześniej, aniżeli kształtowanie się serii koperszadzkiej. Okruchy składników granitu z żyłkami spotykane są zarówno w spoiwie zlepieńca, jak i w wielu wyższych elementach litologicznych tej serii. Związki żelaza, glinu, przypuszczalnie także potasu oraz krzemionka, wędrowały z głębi trzonu mineralizując spękania utworzone w fazie wstępnej wulkanizmu. Zjawiska te zachodziły raczej w niskich temperaturach, o czym świadczy drobnołuseczkowaty lub nawet ziemisty charakter skupień mineralnych, wytraconych przypuszczalnie z roztworów koloidalnych.

Jest bardzo prawdopodobne, że tworzenie się spękań i żyłek było związane ze zjawiskami „pneumatoklasy” i „tufizacji” — procesów szczegółowo opisanych przez H. Cloosa (1941) w studium nad genezą wulkanów Szwabii. Proces tufizacji polegał według niego na tym, że gazy wulkaniczne unoszące z głębi pył rozproszony w fazie gazowej (Gastuff-emulsion = aerozol tufowy) przeciskały się poprzez najdrobniejsze spękania skały, torując sobie drogę do powierzchni i impregnując skałę bardzo gęstą siecią żyłek. W przypadku maarów Szwabii skałą podległą tufizacji były wapienie jurajskie, w przypadku serii koperszadzkiej mogły to być granity. Wznoszący się pod ciśnieniem wewnętrznym aerozol tufowy („Aktivtuff” według Cloosa) wypełniał spękania w granicie, wciskał się także między ziarna, tworząc dokoła nich obwódki żelaziste, a także wżerał się w „spróchniałe” w wyniku zjawisk serycytyzacji plagioklasy, tworząc w nich gniazda substancji czerwono-brunatnej. Zacerwieniony granit ze spagu serii koperszadzkiej tworzył się przypuszczalnie w sąsiedztwie kanału wulkanicznego, przez który wydostał się materiał piroklastyczny i lava.

Zjawiska opisane mogły być przyczyną nierówności terenu, których następstwem był ruch wód płynących, tworzenie się zlepieńca i przeróbka produktów wulkanizmu. Jest bardzo prawdopodobne, że czynnikiem rozluźniającym granit było nie wietrzenie i nie działanie erodujące wód, lecz „pneumatoklaza” (termin, jak podaje Cloos, wprowadzony przez P. Eskolę). Czynnikiem transportującym, powodującym tu i owdzie selekcję i obróbkę materiału, mogła być woda płynąca, może jakiś strumień tylko okresowo bogaty w wodę dzięki ulewom związanym ze zjawiskami wulkanicznymi. Moglibyśmy nieomal wrócić do koncepcji obrazu tak pięknie naszkicowanego przez M. Limanowskiego (1903), ale na tym obrazie musiałby się jeszcze pojawić wulkan.

Nie ulega dla mnie wątpliwości, że barwa czerwona, zarówno granitów jak i całej serii koperszadzkiej jest związana z wulkanizmem. Pewne

przemieszczania się związków żelaza mogły zachodzić i później, nie wi-
dzę jednak potrzeby przypuszczenia, że barwa jest związana z procesami
wietrzeniowymi. Składniki mineralne zarówno granitów, utworów wulka-
nicznych jak i osadów są świeże, z wyjątkiem plagioklazów. Te ostatnie
mogły ulegać serycytyzacji w jakimś wcześniejszym stadium wulkaniz-
mu lub też znacznie wcześniej. Nigdzie nie zauważyłam zwietrzałych ani
wietrzejących biotytów czy magnetytu. Związki żelaza musiały przyw-
drować z głębi.

Czerwona barwa jest charakterystyczna dla większości utworów
permских. Przypisuje się ją, prawdopodobnie słusznie, warunkom kli-
matycznym tego okresu. Jak jednak podkreśla K. C. Dunham (1952) w od-
niesieniu do utworów permских i triasowych Wielkiej Brytanii, same
warunki klimatyczne nie wystarczą do wytworzenia czerwonej barwy
osadów. Jeśli natomiast jest jakieś źródło związków żelaza impregnują-
cych osad, warunki ciepłego i okresowo suchego klimatu zapobiegają re-
dukcji czy wypłukaniu związków żelaza trójwartościowego, nadającego
barwę osadom. W przypadku serii koperszadzkiej związki żelaza były
przynoszone z głębi przez gazy wulkaniczne, bogate w chlorek żelaza
reagujący z parą wodną i dający w wyniku tej reakcji hematyt. Tenże
zapewne później ulegał uwodnieniu dając różne wodorotlenki żelaza.

STOSUNEK WERFENU DO SERII KOPERSZADZKIEJ

W mojej pracy dotyczącej sedymentacji werfenu (1955) przedstawi-
łam trudności w umiejscowieniu źródła okruchów skał wylewnych spo-
tykanych w zlepieńcach i piaskowcach tych osadów. Opierając się na cha-
akterze petrograficznym permu i utworów starszych Karpat Central-
nych, opisanych przez geologów czeskich, wyraziłam przypuszczenie, że
materiał mógł pochodzić z południa. Studia mikroskopowe utworów wul-
kanicznych serii koperszadzkiej wykazały, że tufy i ryolity spotykane
w okruchach zlepieńców werfenu tatrzańskiego są nadzwyczaj podobne
do utworów serii koperszadzkiej. W świetle badań mikroskopowych tej
serii stało się zrozumiałe, dlaczego piaskowce werfenu tatrzańskiego są
stosunkowo ubogie w skalenie. Wiadomo, że w trzonie krystalicznym Tatr
przeważają granodioryty z wybitną przewagą plagioklazu (Turnau-Mo-
rawska 1947). Mineral ten jest najczęściej zserycytizowany, a w grani-
tach spągu serii koperszadzkiej jak też i w składnikach okruchowych tej
serii mamy już prawie tylko pseudomorfozy serycytu po plagioklazach.
Przy procesach sedymentacji werfenu te pseudomorfozy rozsypują się na
łuseczki serycytu i przechodzą głównie do osadów ilasto-mułkowych. Dla-
tego też w osadach piaszczystych werfenu mogły się tylko lokalnie tworzyć
arkozy, gdy erodowane były granity bogate w skałen potasowy.

Nie ulega wątpliwości, że osady werfenu tatrzańskiego zawierają w swym składzie dużo elementów serii koperszadzkiej. Fakt ten dostarcza eden więcej spośród przytoczonych przez E. Passendorfera argumentów wiadczących przeciwko nasunięciu werfenu na serię koperszadzką.

*Zakładu Petrografii Skał Osadowych
Uniwersytetu Warszawskiego
w listopadzie 1956*

LITERATURA CYTOWANA

- LOOS H. 1941. Bau und Tätigkeit von Tuffschloten. Untersuchungen an den schwäbischen Vulkan. — Geol. Rundschau, Bd. 32.
- DUNHAM K. C. 1952. Red coloration in desert formations of Permian and Triassic age in Britain. — C.-R. XIX-me Sess. Congrès Géol. Int. Sec. VII. Déserts actuels et anciens. Alger.
- ÜGI TH. 1941. Zur Petrographie des östlichen Aarmassivs (Bifertengletscher, Limmernboden, Vättis) und des Kristallins von Tamins. — Schweiz. Min. Petr. Mitt., Bd. XXI.
- IMANOWSKI M. 1903. Perm i trias lądowy w Tatrach. — Pam. Pol. Tow. Tatr., 24. Kraków.
- ICHALIK A. 1951. Brzeźna strefa trzonu krystalicznego Tatr na terenie Kosistej (Okrainnaja zona kristalličeskogo massiva Tatr v rajone Kosistoj). — Biul. I. G. (Bull. Inst. Géol. Pol.) 61. Warszawa.
- 1956. W sprawie genezy „zlepieńca Koperszadzkiego“ w Tatrach (Sur la genèse du „conglomérat de Koperszady“ dans la Tatra). — Ibidem, 109. Warszawa.
- FLUGSHAUP P. 1927. Beiträge zur Petrographie des östlichen Aarmassivs. Petrographisch-geologische Untersuchungen im Gebiete des Bristenstockes. — Schweiz. Min. Petr. Mitt., Bd. VII.
- TRECKEISEN A. 1923. Geologie und Petrographie der Fuelagruppe, Graubünden. — Ibidem, Bd. VIII.
- URNAU-MORAWSKA M. 1947. Z mikrogeologii trzonu krystalicznego Tatr (Microgeological researches in the central part of the crystalline Tatra). — Kosmos. Seria A. Rozprawy.
- 1955. Uwagi o sedymentacji werfenu tatrzańskiego (Remarks concerning sedimentation of the Werfen Beds in Tatra). — Roczn. P. T. Geol. (Ann. Soc. Géol. Pol.), t. XXIII. Kraków.

М. ТУРНАУ-МОРАВСКА

ПЕТРОГРАФИЯ И ГЕНЕЗИС КОПЕРШАДСКОГО КОНГЛОМЕРАТА (Резюме)

Петрографическими анализами так наз. „копершадской серии“ пермского возраста, залегающей на границе в юго-восточном секторе Высоких Татр, у подошвы верфенских отложений, установлено, что эта серия, построенная в своей нижней части из грубообломочных образований, переходит в комплекс пород частично вулканического, частично же осадочного происхождения. Это преимущественно риолитовые туффы с прослойками риолитов, которые в большей или меньшей степени были преобразованы в породы осадочного типа. Автор на основании микроскопических анализов констатировал, что ни гранит из подошвы серии, ни одна из горных пород копершадской серии не проявляет характера катаклазита. Автор таким образом не соглашается с наблюдениями и мнением А. Михалика (Michalik 1956), который считает копершадский конгломерат катаклазитом и усматривает в этом факте подтверждение своего мнения относительно надвига верфена на гранитный массив. Автор, в связи со своими прежними исследованиями верфена Татр (Turnau-Morawska 1953), содержащего обломки риолитов и туффов, констатирует сходство этих обломков с некоторыми породами копершадской серии. Этот факт противоречит утверждению А. Михалика о отсутствии в верфенских элементах происходящих из копершадской серии.

Красную окраску копершадской серии автор связывает с вулканическими явлениями. Она мотивирует это мнение фактом, что красные граниты, залегающие в подошве серии, прорезаны сетью жилонных выполненных окислами железа и минералом со свойствами бесцветной слюды. Характер концентраций этих минералов указывает на довольно низкую температуру их осаждения из раствора. Образование трещин, а также их минерализация могли быть связаны со вступительной фазой вулканизма, после которой последовали извержения риолитовых лав и туффов. Климатические условия пермского периода предохраняли от редукции соединения трехвалентного железа, появляющиеся на поверхности в связи с извержениями.

В некоторых обнажениях копершадской серии отложения, обладающие характером туффов или же туффитов, прорезаны полевошпатово-кварцевыми жилками иногда с баритом. Встречаются также жилки пирита и сидерита. Эти образования связаны с гидротермальными процессами, которые последовали после окончания пермской вулканической деятельности.

I. TURNAU-MORAWSKA

SUR LA PÉTROGRAPHIE ET LA FORMATION DU CONGLOMÉRAT DE KOPERSZADY

(Résumé)

SOMMAIRE: Se basant sur les analyses microscopiques de différents types lithologiques de la série de Koperszady l'auteur constate, que cette série est composée de roches en partie sédimentaires, en partie volcaniques avec prépondérance des tufs rhyolitiques. Nul des types décrits ne présente aucune analogie avec des cataclasites, lesquelles selon A. Michalik seraient les éléments principaux de la série de Koperszady, formée d'après cet auteur par charriage du Werfénien sur le massif granitique. L'auteur du travail ici présenté accentue l'analogie des éléments des conglomérats werfénien avec les roches de la série de Koperszady.

La série des roches permienes de Koperszady en Tatra Orientale, reposant sur le massif cristallin granitique, fut soumise à une étude microscopique détaillée. L'auteur a démontré que la dite série, composée dans sa partie inférieure de conglomérats, passe vers le haut en un ensemble de roches sédimentaires et volcaniques, parfois difficiles à délimiter. Les roches volcaniques appartiennent ici aux rhyolites et tufs rhyolitiques qui furent partiellement plus ou moins changées par les procès sédimentaires. Les études microscopiques mènent à une conclusion importante, que ni le granite du soubassement de la série, ni aucune des roches permienes étudiées, ne démontre aucune trace de texture cataclastique. Ces observations contredisent aux thèses de A. Michalik (1956), classifiant les roches de la série de Koperszady comme cataclasites, formées en résultat du charriage des sédiments du Werfénien sur le massif cristallin. Cet auteur suppose, que la série de Koperszady ne présente aucune formation permienne, mais un granite à texture cataclastique. D'après les études du présent auteur l'existence des roches permienes, formés par des procès volcaniques et sédimentaires, ne laisse ici aucun doute. La formation en place des sédiments de Werfénien sur la série de Koperszady, constatée par les observations géologiques de E. Passendorfer, fut encore confirmée par les observations pétrographiques. Basant sur les résultats de ses études des sédiments werfénien de Tatra (1955), l'auteur arrive à la conclusion, que les fragments des roches volcaniques des conglomérats werfénien proviennent décidément de la série du soubassement. Ces observations contestent l'opinion de A. Michalik qu'il n'y a aucune relation sédimentaire entre le Werfénien et la série de Koperszady.

La couleur rouge de la série en question est dûe — d'après l'auteur — aux phénomènes du volcanisme. Cette opinion est basée sur l'observation microscopique, que les granites rouges du soubassement sont traversés par de filons minuscules remplis d'oxydes de fer et d'un minéral

micacé. Les mêmes filons recoupent les fragments des granites dans les roches sédimentaires du Permien, donc la minéralisation des filons précédait la formation des sédiments. D'après le caractère microcristallin des minéraux des filons, l'auteur suppose une basse température de la minéralisation. La formation des fissures et leur remplissage fût peut-être en relation avec la phase préliminaire des phénomènes volcaniques suivie par l'éruption des rhyolites et des tufs rhyolitiques. Les conditions climatiques du Permien prévenaient la réduction des oxydes de fer transportés à la surface par les gases volcaniques.

Dans quelques affleurements de la série de Koperszady les roches de la partie supérieure sont transversées par des filons quartzo-feldspathiques, parfois avec de la barite. On rencontre aussi des filons remplis par de la pyrite ou de la sidérite. Ces filons sont probablement formés en relation avec l'action des eaux juvéniles, qui avait lieu après l'éruption des roches volcaniques au Permien.

*Laboratoire de Pétrographie
des roches sédimentaires
Université de Varsovie
Novembre 1956*

OBJAŚNIENIA DO PLANSZ XXXIV—XXXIX

DESCRIPTION DES PLANCHES XXXIV—XXXIX

Pl. XXXIV

Fig. 1

kała z odkrywki II serii koperszadzkiej z części przeciętej żyłkami kwarcowo-skaleniowymi. W polu widzenia obraz mikroskopowy „czerwonej gliny” oraz fragment żyłki zbudowanej tutaj głównie z kwarcu

× 34

Nikole ×

roche de l'affleurement de la série de Koperszady, plaque mince de la partie traversée par des filons quartzo-feldspathiques. Aspect microscopique de „l'argile rouge” et fragment du filon composé en majeure partie de quartz

× 34

nicols ×

Fig. 2

żyłka skaleniowo-kwarcowa z odkrywki II. W polu widzenia kwarc i mikropertyt, przecięte żyłkami barytu

× 34

Nikole ×

filon quartzo-feldspathique de l'affleurement II. Quartz et microperthite coupés par des filons de barite

× 34

nicols ×

Pl. XXXV

Fig. 1

otczak aplitu w odkrywce II. W polu widzenia postrzępione zserycytizowane plagioklasy, kwarc i mikroklin

× 60

Nikole ×

talet d'aplite de l'affleurement II. L'image microscopique présente des plagioclases séricitisées, le quartz et la microcline

× 60

nicols ×

Fig. 2

serii wulkanicznej w odkrywce II. Tuf ryolitowy. Kryształy kwarcu i skalenia na tle masy bogatej w szkliwo i tlenki żelaza oraz minerały blaszkowate

× 34

Bez analizatora

image microscopique d'un tuf rhyolitique de la série volcanique. Quartz et feldspaths dans une pâte riche en verre, minéraux ferrugineux et micacés

× 34

sans analyseur

Pl. XXXVI

Fig. 1

Z serii wulkanicznej w odkrywce II. Skała zielona o charakterze tufu z wtrąceniami rhyolitu. W polu widzenia prakryształy kwarcu i skaleni w cieście skalnym bogatym w łyszczyki

× 30
Nikole ×
× 30
nicols ×

Image microscopique d'un tuf avec intercalation d'une rhyolite. Phénocristaux de quartz et de feldspath dans une pâte riche en biotite et muscovite

Fig. 2

Z tej samej serii i podobnego makroskopowo okazu. W obrazie mikroskopowym wiadac, że skała ma charakter tufu bogatego w okruchy kwarców mozaikowych. Widoczne w polu widzenia okruch dziurkowaty należy do skalenia potasowego

× 30
Nikole ×

Plaque mince d'une roche à même caractère pétrographique. L'aspect microscopique présente un tuf riche en fragments de quartz à structure de mosaïque et de feldspath potassique

× 30
nicols ×

Pl. XXXVII

Fig. 1

Z serii wulkanicznej z odkrywki II. Skała makroskopowo szaro-zielona. Pod mikroskopem ma charakter tufu zawierającego, obok pojedynczych ziarn kwarcu i skaleni, okruch granitu

× 30
Nikole ×

Roche de la série volcanique de l'affleurement II. Dans l'aspect macroscopique c'est une roche gris-verdâtre. Au microscope elle présente le caractère d'un tuf contenant outre les grains de quartz et de feldspath, un fragment de granite

× 30
nicols ×

Fig. 2

Granodioryt ze spągu serii koperszadzkiej. Żyłki wypełnione czerwono-brunatnymi tlenkami żelaza oraz minerałem drobnolusieczkowatym, bezbarwnym, wysoko dwójłonnym. U plagioklazów zaznaczają się ślady niezdeformowanych prążków bliźniaczych

× 30
Nikole ×

Granodiorite du soubassement de la série de Koperszady. Filons remplis d'oxydes de fer à couleur brun-rougeâtre et d'un minéral micacé incolore, à biréfringence haute

On voit que les plagioclases ont leurs mâcles non déformées

× 30
nicols ×

Pl. XXXVIII

Fig. 1

Spoiwo“ zlepieńca koperszadzkiego. Okruchy składników granitu scementowane
 czerwono-brunatną masą nieprzezroczystą lub słabo przeświecającą. Przelączka
 w grani Jagnięcego

× 34

Bez analizatora

e „ciment“ du conglomérat de Koperszady. Fragments de granite dans une pâte
 brun-rougeâtre opaque ou faiblement translucide

× 34

sans analisateur

Fig. 2

Arkoza z nad zlepieńca koperszadzkiego. Przelączka w grani Jagnięcego. Widoczne
 w polu widzenia okruchy składników granitu scementowane autogenicznym kwarcem

× 34

Nikole ×

Arkose reposant sur le conglomérat. L'image microscopique présente des fragments
 de granite cimentés par le quartz authigène

× 34

nicols ×

Pl. XXXIX

Fig. 1

Arkoza z nad zlepieńca koperszadzkiego. Przelączka w grani Jagnięcego

× 34

Nikole ×

Arkose reposant sur le conglomérat

× 34

nicols ×

Fig. 2

Arkoza z nad zlepieńca koperszadzkiego. Przelączka w grani Jagnięcego

× 34

Nikole ×

Arkose reposant sur le conglomérat

× 34

nicols ×

Wszystkie fotografie wykonał J. Burchart

Toutes les photographies furent exécutées par J. Burchart

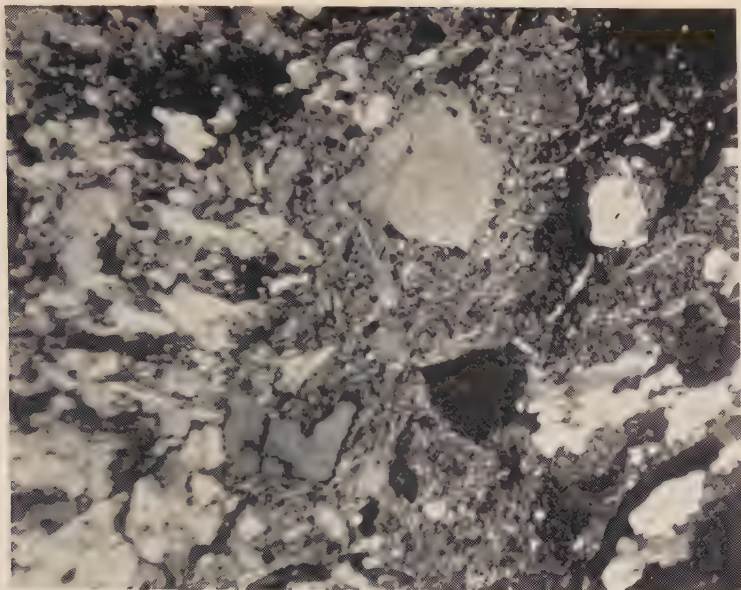


Fig. 1



Fig. 2

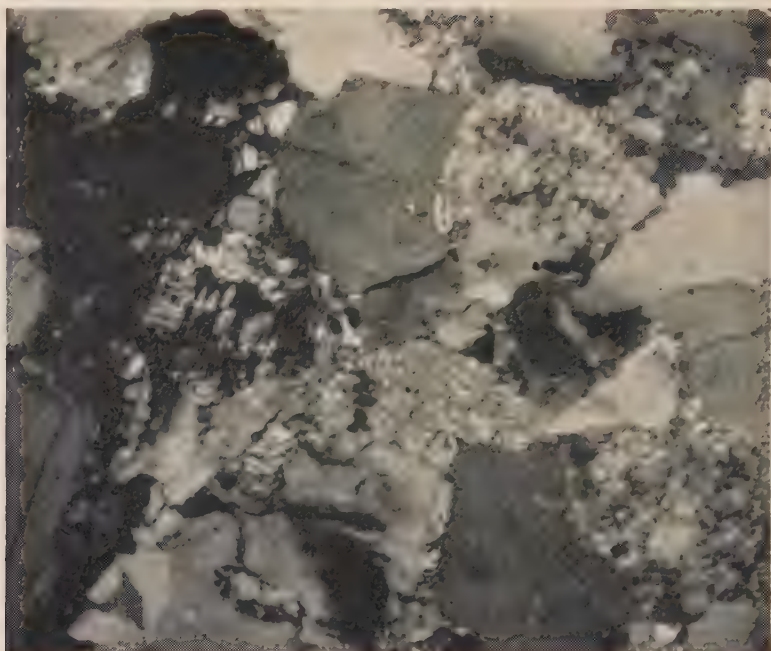


Fig. 1

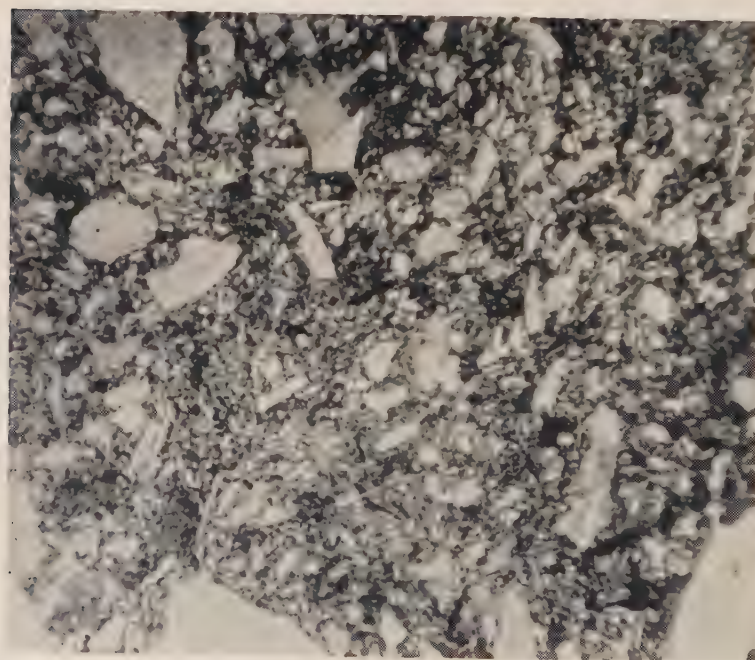


Fig. 2

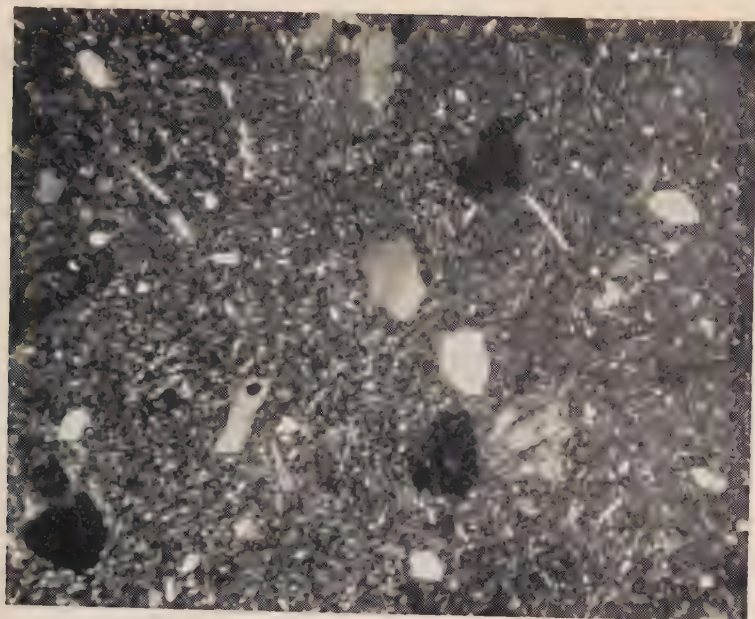


Fig. 1

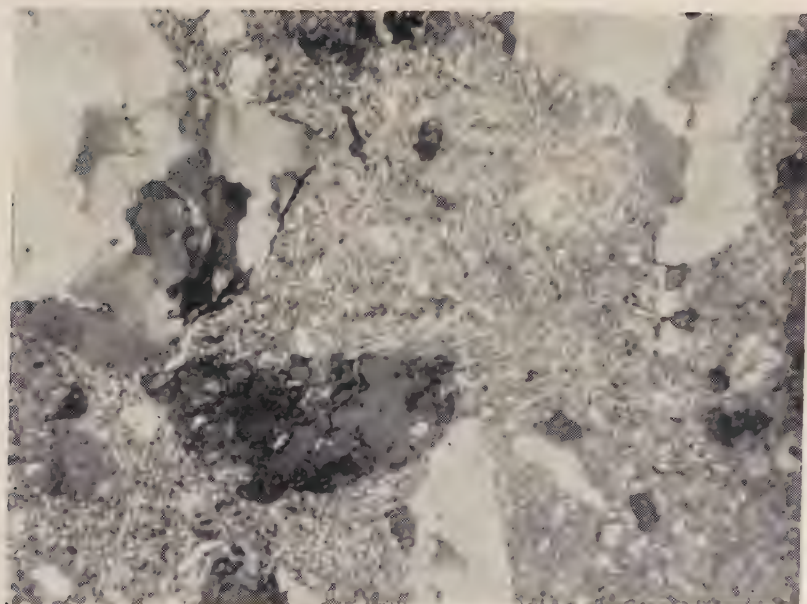


Fig. 2

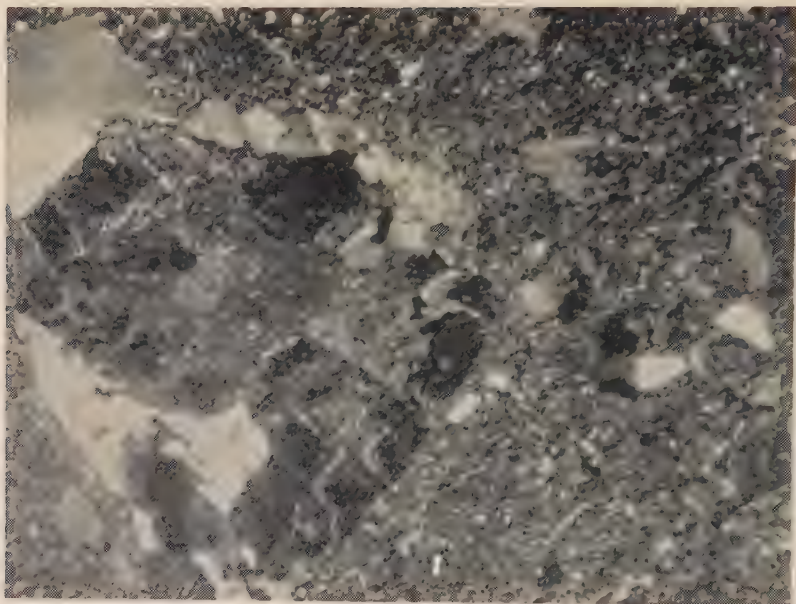


Fig. 1

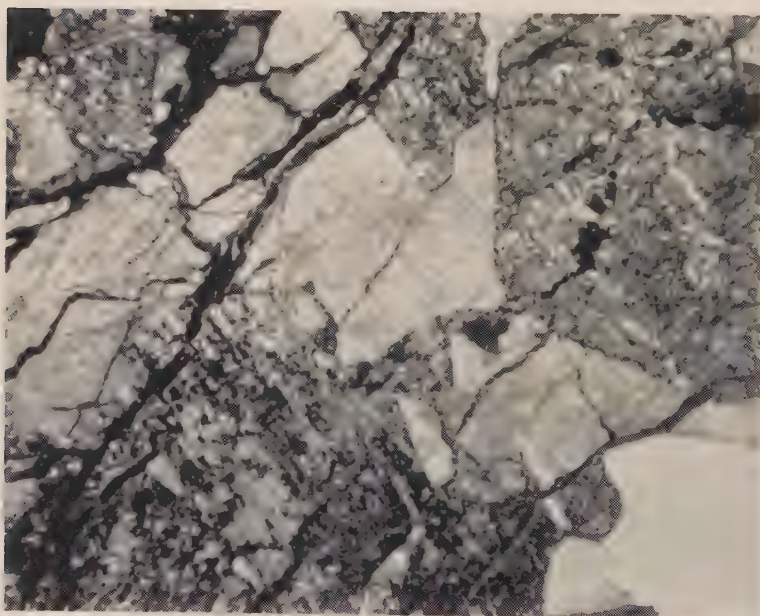


Fig. 2

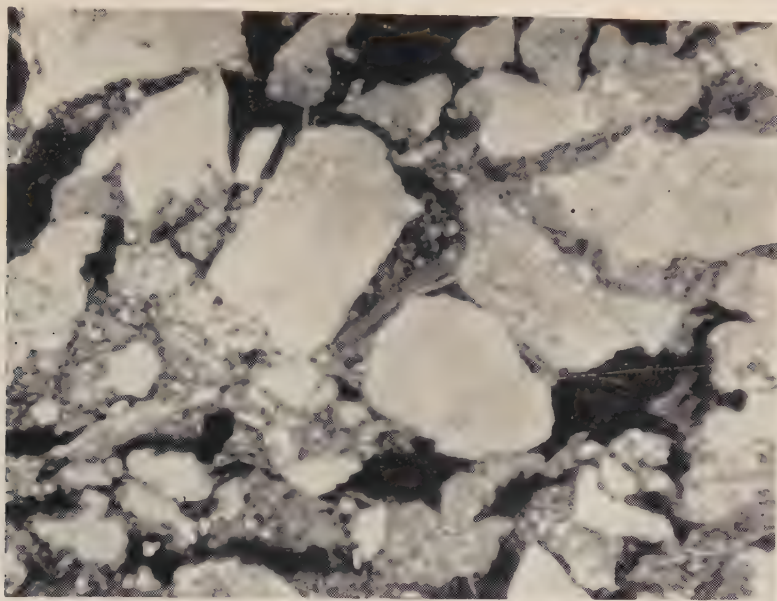


Fig. 1



Fig. 2

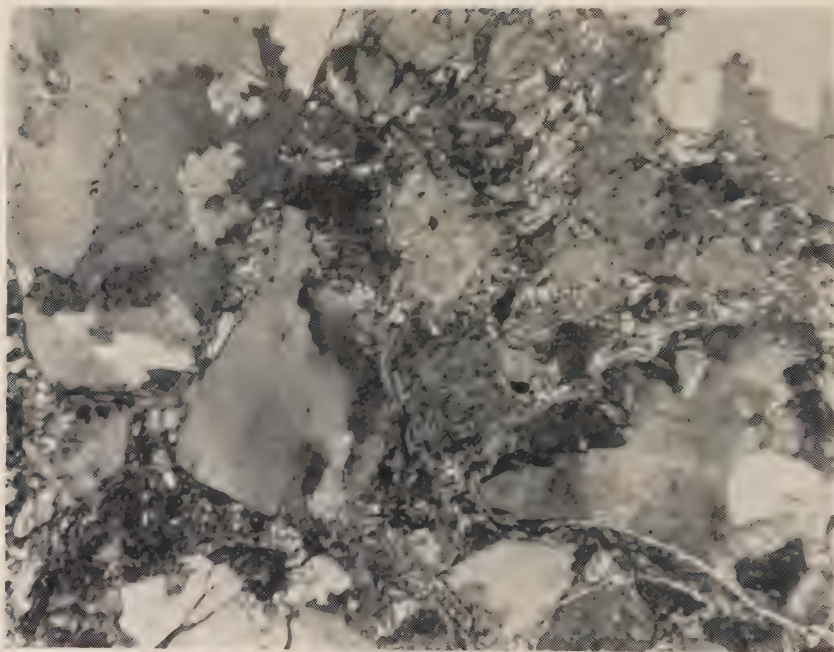


Fig. 1

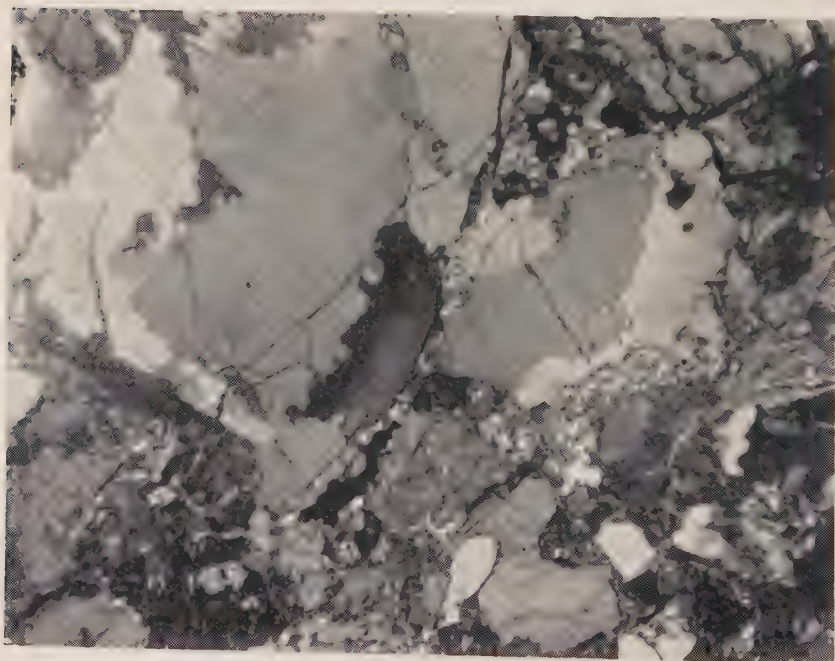


Fig. 2

ADAM TOKARSKI

Tufity w przekrojach Karpat Jasielskich

RESZC: Wstęp — Tufity w przekroju i profilu struktury Bóbrki: przekrój; profil —
ówiązanie znalezisk — Ślady cyklu magmowego w serii fliszowej — Literatura
cytowana

WSTĘP

W r. 1954 wspólnie z J. Tokarskim opisaliśmy i opracowaliśmy występowanie tufitów w warstwach krośnieńskich górnych leżącej synkliny łukielskiej, podścielającej nasuwający się czołowy element antyklinalny podjednostki dukielsko-michowskiej w południowej części Karpat Jasielskich (1954, tabl. I przekrój A). Ostatnio M. Kamieński i K. Ciszewska (1956) zasygnalizowali i zanalizowali obecność tufitów wykrytych przez K. Ciszewską w piaskowcach i łupkach istebniańskich oraz w dolnej części eoceńskich łupków pstrych w północnym obrzeżeniu Karpat Jasielskich w antyklinie Podzamcza-Liwocza-Brzanki (tabl. I przekrój F). Autorowie ci użyczyli mi uprzejmie swoich materiałów w trakcie przygotowania ich do druku. Ponadto doc. K. Ciszewska za uprzejmą zgodą dyrektora Instytutu Geologicznego prof. dr. E. Rühlego sporządziła i oddała mi do dyspozycji przekrój fałdu Brzanki zamieszczony na tablicy I (przekrój F). Oba autorom, a w pierwszym rzędzie doc. dr. K. Ciszewskiej składam serdeczne podziękowanie.

W r. 1954 profilując z J. Kruczkim głęboki odwiert poszukiwawczy K 21, przebijający strukturę Bóbrki w tychże Karpatach, znalazłem wspólnie z wymienionym geologiem podwójną warstewkę tufitową w eoceńskich pierwszych łupkach pstrych (fig. 1 i tabl. I przekrój B). Nasza diagnoza co do tufitowego charakteru tej skały została następnie kontrolowana mikroskopowo i chemicznie przez J. Tokarskiego. Potem ten materiał tufitowy został szczegółowo opracowany petrograficznie przez Wł. Parachoniaka. Oba wymienieni petrografowie przeprowadzili ze mną szereg dyskusji na temat omawianych w tej pracy tufitów, za co im szczerze dziękuję. Tufity z odwiertu K 21, na skutek występującej ku południowi ciągłości struktur i przekrojów (tabl. I przekroje A, B, C), znajdują się w skartowanym przeze mnie terenie we wspólnym, nieprzer-

wanym profilu serii fliszowej z wkładką tufitów wśród warstw krośnieńskich górnych synkliny dukielskiej, opisanych poprzednio (A. Tokarski i J. Tokarski 1954). Z drugiej zaś strony, nawiązując te warstewki ku północy, można je umieścić we wspólnym profilu stratygraficznym z tufitami łupków istebniańskich wykrytymi przez K. Ciszewską w elemencie Podzamcza-Liwocza-Brzanki. Można to zrobić mianowicie przez konstrukcję przekrojów i ciągłość struktur, w oparciu o prace terenowe K. Ciszewskiej (1956), J. Obtulowicza (1932a), R. Osiki (1947), H. Świdzińskiego (1939) i moją (1947, tabl. I, przekroje C, E, F).

W ten sposób tufity napotkane w odwiercie K 21, o pozycji dobrze określonej litostratygraficznie i paleontologicznie, stanowią ważne ogniwo pośrednie w chronologii pomiędzy dwoma tamtymi, skrajnymi poziomami. Poza tym występują tu one w przewodnim elemencie budowy Karpat Jasielskich — w strukturze Bóbrki i wiążą się w nim z eoceńskimi pierwszymi łupkami pstryimi. Dlatego poprzez typową litostratygrafię struktury Bóbrki historia karpackich piroklastyków może być przenoszona także i na inne obszary Depresji Centralnej.

TUFITY W PRZEKROJU I PROFILU STRUKTURY BÓBRKI

Przekrój struktury Bóbrki

Trzon struktury Bóbrki, wysad antyklinalny podniesionej części Karpat Jasielskich (Obtulowicz 1932b, A. Tokarski 1947) przewodni jest jako specjalna strefa intersekcyjna oraz przede wszystkim jako wyraźny element „oporowy“ w tektonicznej dynamice regionu. Przekroje B i C przedstawione na tablicy I tną tę strukturę na odcinku kulminacyjnym jej osi podłużnej. Zostały one przeze mnie szczegółowo skartowane na powierzchni i sprofilowane w głąb aż do 2500 m osiągniętych w odwiercie K 21 na przekroju B, w którym wykryto po raz pierwszy w tej części Karpat pod warstwami istebniańskimi warstwy godulskie i dolno-kredową serię „DK“ aż do warstw cieszyńskich w spagu.

Struktura ta w swoim obrazie powierzchniowym i przypowierzchniowym składa się ze skrzyniowego fałdu Bóbrki z odsłoniętym sztywnym jądrem utworzonym z piaskowców istebniańskich w środku, oraz z towarzyszących temu fałdowi od północy i południa dwu synklin wypełnionych warstwami krośnieńskimi. Przy tym zewnętrzny brzeg północnej z tych synklin nasunięty jest ku północy na swoje przedpole jako podcięta łuska, o jądrze utworzonym z łupków menilitowych, a także — być może — z pstrych warstw eoceńskich.

Przy ogólnej stromości wszystkich form struktury, w których upadły rzadko spadają poniżej 60°, zaznacza się w niej charakterystyczna asy-

metria — odwrotna w stosunku do normalnej karpackiej. Mamy tu mianowicie przechylenie całości ku południowi. Przez to synklina południowa jest głęboka, ze stromo ustawionym jądrem wypełnionym przez łupkowe warstwy krośnieńskie górne. Synklina zaś północna, zondulowana w swoim przebiegu podłużnym i podnosząca się osiowo od zachodniego przekroju C do wschodniego przekroju B, jest stosunkowo płytka. Przy tym jej skrzydło południowe jest nie tak strome w przekroju B i nie tak obalone w przekroju C, jak to ma miejsce w szeregu innych karpackich form tektonicznych, utworzonych przez zdecydowany nacisk idący od południa.

Charakterystyczny dla tej odwrotnej asymetrii struktury Bóbrki jest również stopień samodzielnego zaangażowania tektonicznego obu „miękkich“ stref skrzydłowych środkowej antykliny, utworzonych z eoceńskich łupków pstrych z piaskowcami ciężkowickimi. W skrzydle północnym wyciśnięcie tej serii, normalne przy nacisku idącym z południa, jest na tyle umiarkowane, że zdołały zachować się w nim w łupkach pstrych wkłady piaskowców ciężkowickich — w przekroju C — jeden, a w przekroju B — dwa. W skrzydle południowym natomiast widzimy niewielkie, ale charakterystyczne zaakcentowanie znaczenia samodzielnej tektoniki. Pas wychodni łupków menilitowych ma tu zdwojoną szerokość, wskazując na możliwość wtórnego sfałdowania, stwierdzonego zresztą wierceniami o 4 km stąd wzdłuż biegu fałdu ku wschodowi (Kruczek 1957). Poza tym pierwsze łupki pstre tego skrzydła zapadające średnio pod kątem 60° ku południowi, jakkolwiek mają w przekroju powierzchniowym i w profilu wiercenia K 21 swoją normalną grubość 175 m, są jednak w rdzeniach powyciskane i zlustrowane (fig. 1).

Wreszcie także i południowa synklina struktury ma odwrotną asymetrię z wyciśnięciem jej skrzydła północnego, co wskazuje na nacisk idący z północy.

Dolną częścią swojej eoceńskiej serii pstrej południowe skrzydło antykliny Bóbrki dostosowuje się w zupełności do sztywnej tektoniki jej jądrowej części. Są tu przede wszystkim u góry wszystkie trzy wkłady piaskowców ciężkowickich licząc od najwyższego: pierwszy, drugi i trzeci o grubości 20-50 m, rozdzielone drugimi i trzecimi łupkami pstrymi, których grubość wynosi 30-40 m. Stosunki te widoczne są na wychodniach odsłoniętych wzdłuż przekroju. W wierceniu K 21, prowadzonym dla rozpoznania kompleksów dolno-kredowych (fig. 1), rzadkie rdzienie na odcinku serii eoceńskiej nie trafiło wyraźnie w ogniwa stratygraficzne tego zespołu warstw, a przeciwnie — miejscami uzyskiwano rdzeń z podrzędnej wkładki łupkowej kompleksu piaskowcowego lub z wkładki piaskowcowej kompleksu łupkowego. Wyznaczenie granic po-

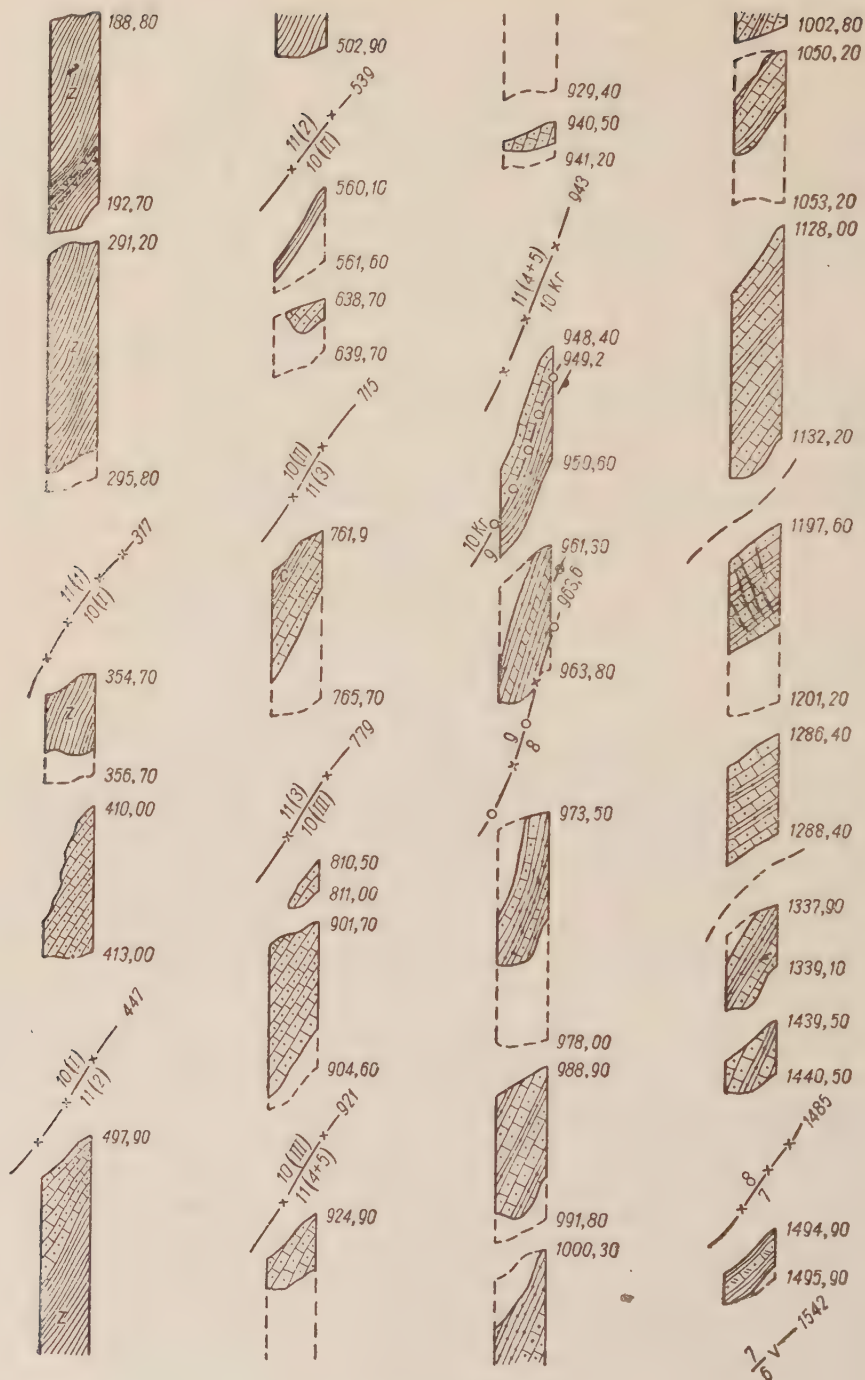


Fig. 1

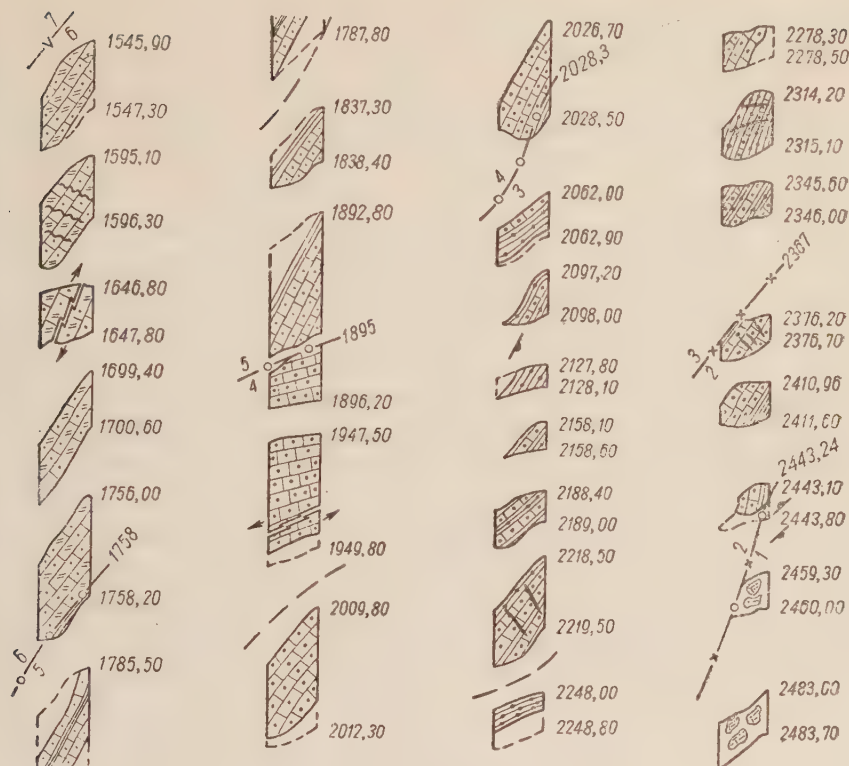


Fig. 1

Profil rdzeniowy wiercenia K 21

1-5 kreda dolna: 1 łupki cieszyńskie górne, 2 DK₅ — piaskowiec grodziski, 3 DK₄ — warstwy wierzowskie, 4 DK₃ — warstwy lgockie dolne, 5 DK₁ — warstwy lgockie górne (łupkowe), 6-9 kreda górna: 6 warstwy godulskie dolne i środkowe, 7 warstwy godulskie górne (łupkowe), 8 piaskowce istebniańskie, 9 łupki istebniańskie; 10-11 trzeciorzęd: 10 Kr piaskowiec „kryjący“ 10 (III, II, I) — piaskowiec ciężkowicki, 11 (4 + 5, 3, 2, 1) — pstrse łupki eocenu (z zielone, c czerwone) z wkładkami łowców; 12 tufity; 13 żyłki kalcytowe; 14 szczeliny; 15 „progi“ Lahee; 16 hieroglify; 17-19 granice między jednostkami litostratygraficznymi: 17 wg rdzeni, 18 wg karotażu, 19 wg kawernometru; 20 linie interpretacyjne

szczególnych zasadniczych partii piaskowcowych i łupkowych otrzymaliśmy tu natomiast z profilowania elektrycznego (fig. 2), normalnie już używanego dla celów elektrostratygraficznych przez geologów Przemysłu Naftowego, zwłaszcza w omawianej części profilu fliszowego. Według odpowiednich wspólnych maksimów potencjału własnego (porowatości) i oporów, poniżej najwyższego odcinka wykresu rozpoczętego na głębokości 217 m, w którym dwie gładkie linie odpowiadają pierwszym pstryim łupkom — wyodrębniają się tu poszczególne piaskowce ciężkowickie: pierwszy na odcinku 317-447 m, drugi pomiędzy głębokościami 539-715 m, a trzeci w interwale 779-921 m.

Zgodne z tymi danymi są materiały mikrofaunistyczne opracowane przez H. Jurkiewicza w oparciu o zespoły otwornicowe ustalone jako typowe dla poszczególnych poziomów przez mikropaleontologów Przemysłu Naftowego (Czernikowski 1950, Jurkiewicz 1955). Ponad pierwszym piaskowcem ciężkowickim, od samej góry profilu, pojawiła się mikrofauna z *Ammodiscus umbonatus* (pl. XL, fig. 1), a od głębokości 148 m — mikrofauna z *Cyclammina amplexans* i *Spiroplectammina grzybowskii* (pl. XL, fig. 2), obie typowe dla pierwszych łupków pstrych, pierwsza dla wyższej, druga dla niższej ich partii. Natomiast w interwale odpowiadającym trzecim pstryim łupkom 715-779 m znalazł H. Jurkiewicz w urobku,

Fig. 1

Core profile of deep boring K 21

1-5 Lower Cretaceous: 1 upper Cieszyn shales, 2 DK₅ — Grodzisko sandstone, 3 DK₄ Wierzowice beds, 4 DK₃ — lower Lgota beds, 5 DK₁ — upper Lgota beds; 6-9 Upper Cretaceous: 6 lower and middle Godula beds, 7 upper Godula beds (shaly), 8 Istebna sandstones, 9 Istebna shales; 10-11 Tertiary: 10 Kr „top” sandstone, 10 (III, II, I) — Ciężkowice sandstone, 11 (4 + 5, 3, 2, 1) — Eocene variegated shales (z green, c red) with mudstone intercalations; 12 tuffites; 13 calcite veins, 14 fissures, 15 slide surfaces, 16 hieroglyphs; 17-19 boundary between lithostratigraphic units: 17 determined by cores, 18 determined by el. logging, 19 determined by cavernometer; 20 interpretation lines

Fig. 2

Elektrostratygrafia wiercenia K 21

1 łupki cieszyńskie górne, 2 warstwy DK₅, 3 warstwy DK₄, 4 warstwy DK₃, 5 warstwy DK₁, 6 warstwy godulskie dolne i środkowe (piaskowcowe), 7 warstwy godulskie górne (łupkowe), 8 piaskowiec istebniański, 9 łupki istebniańskie, 10 (kr, III, II, I) — piaskowiec ciężkowicki, 11 (4 + 5, 3, 2, 1) — łupki pstrye eocenu

Electrostratigraphy of deep boring K 21

1 upper Cieszyn shales, 2 DK₅ beds, 3 DK₄ beds, 4 DK₃ beds, 5 DK₁ beds, 6 lower and middle Godula beds (sandstones), 7 upper Godula beds (shaly), 8 Istebna sandstone, 9 Istebna shales, 10 (kr, III, II, I) — Ciężkowice sandstone, 11 (4 + 5, 3, 2, 1) — Eocene variegated shales

w głębokości 725 m pierwsze wystąpienie mikrofauny z *Trochamminoides coronatus* i *Glomospira charoides* (pl. XLI, fig. 1), charakteryzującej w sposób typowy trzecie pstryki.

Upady, widoczne w rdzeniach wydobytych na odcinku przewiercania trzech wkładów piaskowców ciężkowickich i rozdzielających je łupków pstrych, wynoszą 60°.

U spodu warstw eoceńskich mamy odsłonięty na powierzchni typowy dla antykliny Bóbrki „przekładaniec“ utworzony z kolejnych kilku do kilkudziesięciometrowych kompleksów: łupków pstrych przeważnie czerwonych czwartych z piątymi, piaskowca „kryjącego“ i czarnych piaszczystych łupków istebniańskich, leżących już na dwustumetrowej serii piaskowców istebniańskich. W wierceniu również i ten „przekładaniec“ wydzielony został jedynie na podstawie elektrostratygrafii, zresztą w sposób klasyczny. Od spągowej granicy trzeciego piaskowca ciężkowickiego tzn. od głębokości 921 m, a nad wyraźnie zaznaczonym swoją stropową granicą w głębokości 943 m piaskowcem „kryjącym“ wystąpiły gładką linią potencjału własnego (porowatości) i oporów czwarte i piąte łupki pstry, bez zaznaczenia wkładki piaskowcowej, którą sygnalizuje rdzeń wyniesiony z głębokości 940,50-941,20 m. Spąg piaskowca „kryjącego“ według rdzenia może być przyjęty w głębokości 949,2 m, nad kompleksem piaskowców istebniańskich, który został wyznaczony przez dolną granicę rdzenia łupkowego i przez górną granicę wychyleń obu linii karotażu elektrycznego w głębokości 963,60 m. Bezpośrednio pod piaskowcem „kryjącym“, a nad piaskowcami istebniańskimi znajdują się łupki, jak na to wskazują niskie wartości obu wykresów. Łamany przebieg linii wykresów mówi przy tym o obecności cienkich wkładek piaskowcowych, a taka jest właśnie charakterystyka elektrostratygraficzna łupków istebniańskich, odpowiadająca ich litologii. Zostały one zresztą wydobyte na tym odcinku w dwóch rdzeniach uzyskanych z głębokości 948,40-950,60 m oraz 961,30-963,80 m. Upady we wszystkich rdzeniach uzyskanych z „przekładania“ wynoszą 70° i 80°.

We wgłębnej części antykliny Bóbrki przewiercono w otworze K 21 do głębokości 1485 m (200 m grubości) piaskowce istebniańskie (grubo- i średnioziarniste z miką i z plamami kaolinu w spoiwie) z wkładkami czarnych łupków piaszczystych, z których jedna została uchwycona w najwyższym rdzeniu wziętym z tej serii, z interwału 973,50-978,00. Upady, w górze wynoszące 70°, stopniowo ku dołowi maleją do 35°, aby u samego spągu serii wzrosnąć znowu do 70°. Granicę spągową piaskowców istebniańskich wyznacza nagłe zmniejszenie się oporów wykresu karotażowego w głębokości 1485 m. Niżej do głębokości 1542 m wiercenie szło, zgodnie z niskimi oporami widocznymi na wykresie profilowania elektrycznego, w serii łupkowej, dając z niej rdzeń łupków zielonych

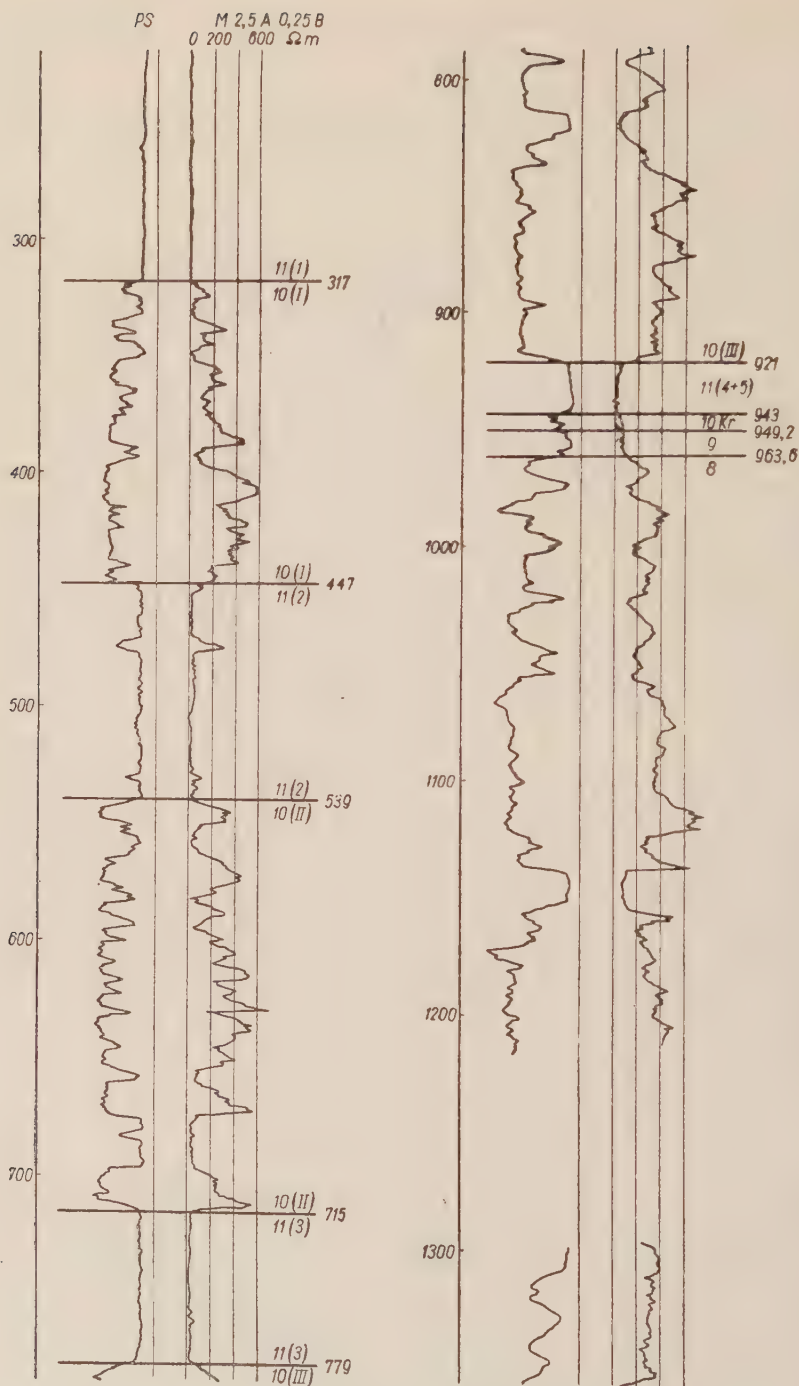


Fig. 2

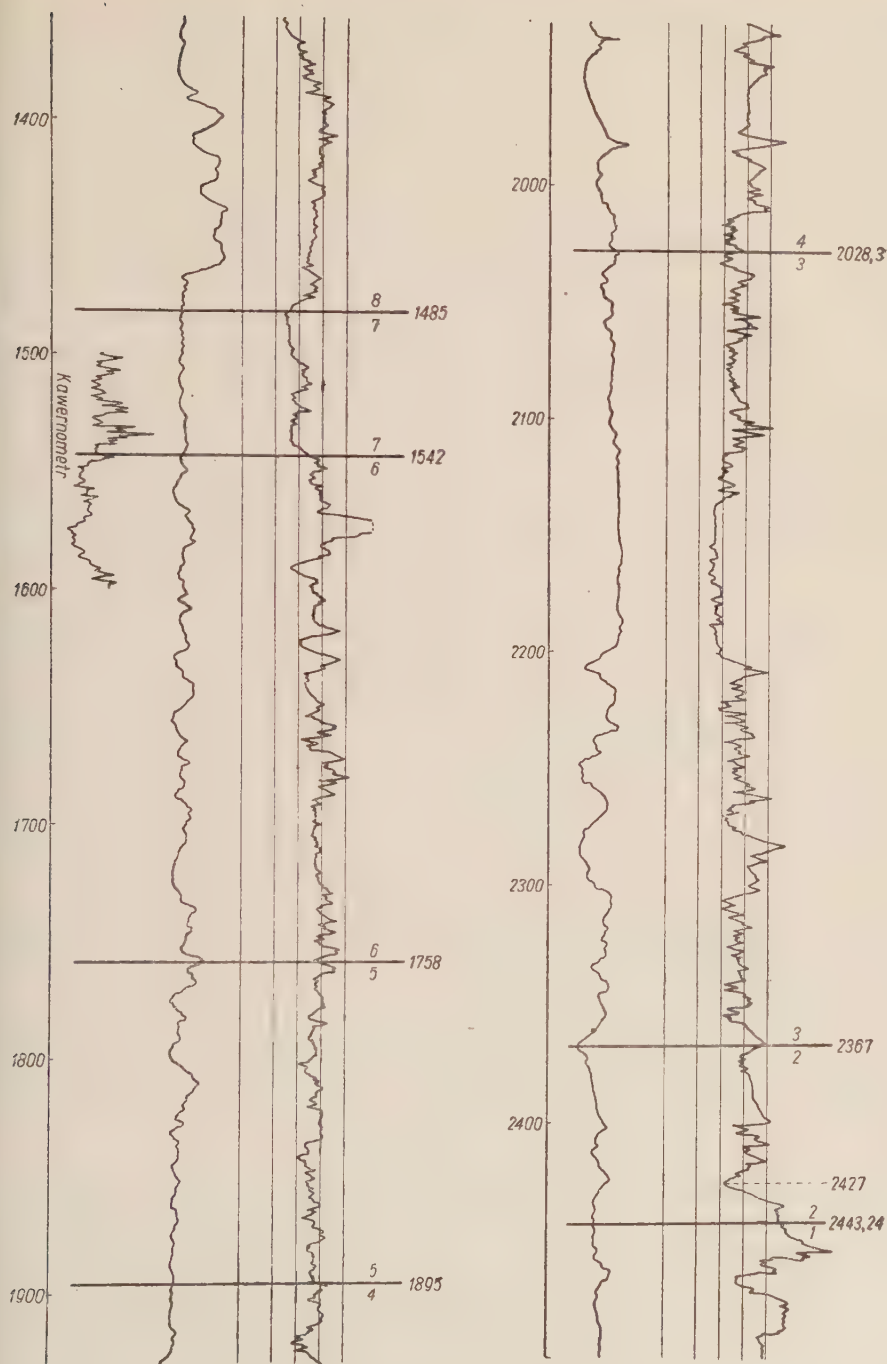


Fig. 2

z upadem 45° wzięty z głębokości 1494,90-1495,90 m oraz łupki czerwone (od 1500 m) i zielone w urobku. Uważa się je za warstwy godulskie górne według typowej litologii, o rzeczywistej grubości 30 m. Niżej przebito o głębokości 1542 do 1758 m warstwy godulskie środkowe i dolne złożone ze zbitych, glaukonitycznych piaskowców, przeważnie drobnoziarnistych o upadzie 50° , z żyłami kalcytu. Ich górną granicę wyznacza wzrost oporów na wykresie profilowania elektrycznego, a ich dolna granica, nie wyróżniająca się niczym specjalnym w elektrostratygrafii, znajduje się na głębokości 1758 m. Została ona napotkana w „pełnym“ rdzeniu wydobytym z głębokości 1756,00-1758,20 m, w którego najniższej części pojawiły się czarne łupki bezwapienne. Poniżej znajdują się typowe utwory górnej części warstw lgockich oznaczone przez geologów Przemysłu Naftowego symbolem DK_1 (St. Wdowiarz, 1953). Są to drobnoziarniste, zbite piaskowce krzemionkowe ze smugami czarnego ilitu i z wkładkami czarnych łupków bezwapiennych. Mają one upad 60° . Kompleks ten został przebit w wierceniu K 21 w grubości rzeczywistej 120 m. Dolną granicę warstw DK_1 , niewidoczną w wykresie karotażowym, zdaje się tu tworzyć powierzchnia nieciągłości. Mianowicie w dość „pełnym“ trzymetrowym rdzeniu wziętym z głębokości 1892,80-1896,20 m, w dwu wyższych jego metrach wydobyto typowe piaskowce krzemionkowe, smugowane oraz czarne łupki bezwapienne warstw DK_1 z upadem 60° . Natomiast w trzecim, najniższym metrze znalazła się skała typowa dla dolnych warstw lgockich Depresji Centralnej — DK_3 , tzn. piaskowiec jasnożółty gruboziarnisty, kruchy, z upadem 15° . Ponieważ zaś również niżej w rdzeniach są podobne skały, górną granicę warstw DK_3 kładę pomiędzy środkowym i najniższym metrem omówionego interwału. Granicę tę mimo braku oznak silniejszych napięć tektonicznych oprócz gwałtownego zmniejszania się upadu przy zmianie typów litologicznych, widzę w formie niezgodności tektonicznej. Polegałaby ona na zgarnięciu warstw DK_1 i DK_2 jako podstawy stromszego fałdu ponad stropem łagodnie zapadających warstw DK_3 . Brak byłoby przy tym w profilu omawianego odwierceniach łupkowych warstw DK_2 , które właśnie dzięki swojej podatnej teksturze mogły tu tworzyć strefę początkowego zluźnienia i następnie mogły zostać wtórnie nagromadzone w środkowej części fałdu.

Warstwy kruchych piaskowców DK_3 zostały przebite do głębokości 2028,20 m (miażdżość rzeczywista 75 m), z upadami rosnącymi ku dołowi od 15° aż do 60° . Ich dolną granicę uchwycono na głęb. 2028,30 m w „pełnym“ rdzeniu z głęb. 2026,70-2028,50 m. Pod typowym piaskowcem DK_3 znajdują się tam bezwapienne czarne łupki z charakterystycznymi pojedynczymi otoczkami kwarcu o średnicy kilku mm i z wkładkami piaskowców gruboziarnistych. Można je uważać za odpowiednik warstw wierzowskich czyli DK_4 geologów naftowych. Poza tym, z dolną granicą

warstw DK_3 związane jest nagłe zmniejszenie oporów na wykresie karotazowym już w głębokości 2012 m. Upady w warstwach DK_4 w górze, pod głębokością 2230 m wynoszą od 40° do 60° przy hieroglifach występujących na dolnej powierzchni warstwy napotkanej w rdzeniu wziętym z głębokości 2097,20-2098,00 m. Potem do głębokości 2300 m upady mają do 20° , aby wreszcie dalej w dół znowu wzrosnąć do 60° i potem do 90° . Dolną granicę tego kompleksu pozwalającą na określenie jego rzeczywistej miąższości na 175 m prowadzi na podstawie wyników karotazu, gdzie w głębokości 2367 m powiększają się opory skał dość słabo porowatych. W rdzeniach bowiem zaraz poniżej tej głębokości znajdują się zlewne piaskowce gruboziarniste, które mogą być uważane za piaskowce grodzickie (kompleks DK_5). Upady w nich wynoszą 60° i 80° . Wreszcie na wykresie karotazowym od głębokości 2436 m w dół zaczynają się pojawiać, przy niezmiennych wartościach potencjału własnego (porowatości), niezwykle wielkie opory, wskazujące na przewiercanie zupełnie nowego typu skalnego. W rzeczywistości mógł on wystąpić w profilu wiercenia dopiero od głębokości 2443,24 m w dół, gdyż jeszcze w interwale 2431,10-2443,80 m wydobyto czternastocentymetrowy rdzeń piaskowca o teksturze odpowiadającej kompleksowi DK_5 . Niżej zaś, w dwu rdzeniach, łatwych w tym odwiercie wziętych z głębokości 2459,30-2460,00 m oraz 2483,00-2483,70 m bez możliwości zmierzenia upadu, znalazły się luźno występujące skały nowego typu — czarne łupki i mułowce piaszczyste i wapienne. Są to zapewne łupki cieszyńskie górne, zgodnie z diagnozą P. Karnowskiego i E. Konarskiego, którzy pierwsi profilowali najniższy odcinek tego odwiertu.

Pomiar stratametryczny wykonany pod kierownictwem T. Rokosza w odwiercie K 21 dał w głębokości 1900 m południowy kierunek upadu warstw DK_3 , zgodny z przypowierzchniową budową południowego skrzydła fałdu Bóbrki. Prawdopodobnie w całym przewierconym profilu warwy zapadają ku południowi dając ku dołowi pełny ciąg stratygraficzny od eoceńskich pierwszych pstrych łupków, aż do warstw cieszyńskich górnych, z wypadnięciem jedynie warstw DK_2 na przerwie strukturalnej.

Profil struktury Bóbrki

W obrębie pstrych utworów eoceńskich południowego skrzydła fałdu Bóbrki przebitego odwiertem K 21, położenie stratygraficzne tufitów daje się określić dość dokładnie.

Znaleźliśmy je z J. Kruczkim w pełnym rdzeniu długim na 3,9 m, wydobytym z głębokości 188,80-192,70 m, składającym się ze zlustrowanych łupków zielonych o upadach zmieniających się od 50° do 80° (fig. 1). W trzecim od góry metrze tego rdzenia, na 47-50 cm i na 98-100 cm poniżej jego górnej granicy, tufity wyróżniły się jako wkładki ciemnosza-

rej skały ilastej usianej blaszkami biotyту, o powierzchniach łupliwości zgodnych z upadami łupków zielonych w podłożu i nadkładzie tych warstewek.

Miejsca występowania tych wkładek w profilu odwiertu 191,27-191,30 m oraz 191,78-191,80 m znajdują się w obrębie pierwszych pstrych łupków, o około 125,50 m ponad stropem pierwszego piaskowca ciężkowickiego wyznaczonym przez rdzeniowanie elektryczne (fig. 2). W konstrukcji przekroju daje to wysokość około 60 m nad spągami 170-metrowego kompleksu pierwszych pstrych łupków. W urobku uzyskanym przy przewiercaniu pierwszych pstrych łupków H. Jurkiewicz wyróżnił tu górny odcinek profilowy 0-148 m z fauną zespołu *Ammodiscus umbonatus* charakteryzującą w całej Depresji Centralnej górną część pierwszych łupków pstrych. Natomiast w niższym odcinku profilowym 148-311 m znalazł on mikrofaunę z *Cyclamina amplexans* i *Spiroplectammina gryzbowskii* typową dla dolnej części pierwszych pstrych łupków omawianych obszarów. Granica pomiędzy obu tymi zespołami stratygraficznymi wypada w rzeczywistym profilu serii na 70 m nad jej spągami i tutaj znajdują się w stropowej partii niższego oddziału z *Cyclamina amplexans*, a więc w położeniu dającym się w obrębie pierwszych łupków pstrych zidentyfikować na dużych obszarach Środkowych Karpat (Czerwikowski 1950, Jurkiewicz 1957).

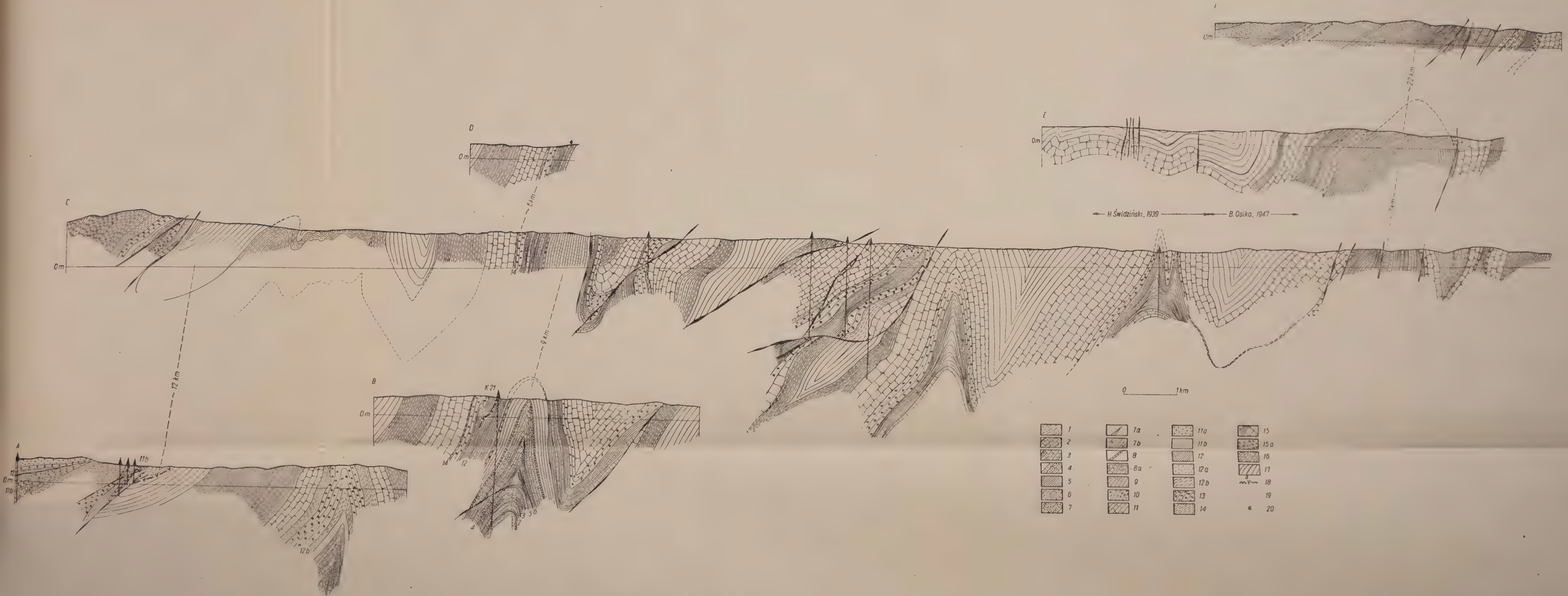
Wreszcie pierwszy piaskowiec ciężkowicki podścielający pierwsze łupki pstre o 70 m poniżej wkładek tufitowych ciągnie się wzdłuż fałdu Bóbrki swoimi wychodniami ku zachodowi, gdzie w odległości 10 km w Łężynach w skartowanym przeze mnie przekroju D (tabl. I) znalazłem w łupkach faunę nummulitów, którą następnie zebrał i oznaczył F. Bieda (1946). Zawiera ona według tego autora następujące formy: *Nummulites planulatus* Lamk., *N. ataticus* Leym., *N. parvulus* Douv., *N. mamillinus* Douv., *N. irregularis* Desh., *N. munchisoni* Brunn., *N. partschi* de la Harpe, *N. praetuberculatus* Rozl. Na podstawie tej fauny F. Bieda wiek zawierających ją warstw oznaczył na *iprez*. Wynika z tego, że opisywane tufity mogły osadzać się w *iprezie* lub w *dolnym lutezie*.

POWIĄZANIE ZNALEZISK

Południowa synklina struktury Bóbrki wypełniona jest łupkowymi warstwami krośnieńskimi górnymi z widocznym w odsłonięciach przebiegiem synklinalnym. Mimo widocznej z przekroju C (tabl. I) jej asymetrii i mimo związanej z tym konieczności przyjęcia wycisnąć jej w skrzyżdle północnym tłumaczonych jako wynik wstecznego przechylenia całej struktury (por. wyżej str. 189), forma ta robi wrażenie elementu ciągłego. Również facjalno-stratygraficzne przejście od łupkowych warstw krośnieńskich górnych do łupkowo-piaskowcowych warstw krośnieńskich

Przekroje Karpat Jasielskich — Geological sections of the Jasło Carpathians

Przekrój C częściowo wg H. Świdzińskiego i R. Osiki, przekrój F wg K. Ciszewskiej — Section C after H. Świdziński and R. Osika partly, section F after K. Ciszewska



1-6 kreda dolna: 1 łupki cieszyńskie, 2 warstwy DK₅, 3 warstwy DK₄, 4 warstwy DK₃, 5 warstwy DK₂, 6 warstwy DK₁; 7-10 kreda górna: 7 warstwy godulskie dolne i środkowe, 7a warstwy godulskie dolne — łupki pstre, 7b warstwy godulskie środkowe — łupkowo-piaskowcowe, 8 warstwy godulskie górne — łupki pstre, 8a warstwy godulskie górne — piaskowcowo-łupkowe, 9 piaskowce istebniańskie, 10 łupki istebniańskie; 11-18 trzeciorzęd: 11 piaskowce ciężkowickie, 11a piaskowce cergowskie,

11b łupki cergowskie, 12 łupki pstre eocenu z piaskowcami, 12a warstwy podrogówcowe piaskowcowe, 12b warstwy podrogówcowe łupkowe, 13 łupki menilitowe, 14 warstwy przejściowe, 15 warstwy krośnieńskie dolne, 15a warstwy krośnieńskie dolne i środkowe, 16 warstwy krośnieńskie środkowe, 17 warstwy krośnieńskie górne (a łupki jasielskie w profilu E), 18 tufity; 19 grube linie z przewężeniami — dyslokacje; 20 fauna numulitowa

1-6 Lower Cretaceous: 1 Cieszyn shales, 2 DK₅ beds, 3 DK₄ beds, 4 DK₃ beds, 5 DK₂ beds, 6 DK₁ beds; 7-10 Upper Cretaceous: 7 lower and middle Godula beds, 7a lower Godula beds — variegated shales, 7b middle Godula beds — shaly arenaceous, 8 upper Godula beds — variegated shales, 8a upper Godula beds — sandstones with shales, 9 Istebna sandstones, 10 Istebna shales; 11-18 Tertiary: 11 Ciężkowice sandstones, 11a Cergowa sandstones, 11b Cergowa shales, 12 Eocene variegated shales

with sandstones, 12a submenilitic beds — sandstones, 12b submenilitic beds — shales, 13 menilitic shales, 14 passage beds, 15 lower Krosno beds, 15a lower and middle Krosno beds, 16 middle Krosno beds, 17 upper Krosno beds (a Jasło shales in section E), 18 tuffites; 19 thick lines with narrowings — dislocations; 20 nummulitic fauna

odkowych jest w obu skrzydłach tej synkliny dość ostre. Dlatego uważam warstwy krośnieńskie środkowe następnego ku południowi elementu antyklinalnego fałdu Iwonicza-Zdroju za bezpośredni, dalszy ciąg kompleksu warstw krośnieńskich środkowych południowego skrzydła antykliny Bóbrki. Sam element Iwonicza-Zdroju jest w przekroju C formą gularną, z kilkakrotnie wtórnie przełamowaną stropową częścią warstw krośnieńskich środkowych. Stropowa granica tych serii daje się łatwo zejść na powierzchnię i ekstrapolować „w powietrzu“. W ten sposób stropowa granica warstw krośnieńskich środkowych w południowym skrzydle fałdu Iwonicza-Zdroju w przekroju C jest wciąż związana dość ściśle z profilem litostratygraficznym struktury Bóbrki i to samo wiązanie może być przerzucone na przekrój A, wzdłuż tego fałdu skartowanego przeze mnie pomiędzy przekrojami C i A. Niemniej widać, że zachodzi podniesienie omawianej granicy w stosunku do struktury Bóbrki na 425 m, gdyż o tyle większa jest odległość „stratygraficzna“ stropu środkowych warstw krośnieńskich od stropu łupków menilitowych w fałdzie Iwonicza-Zdroju w przekroju A w porównaniu z tą samą odległością w południowym skrzydle fałdu Bóbrki w przekroju C, a o 675 m większa niż w przekroju B. Wreszcie w przekroju A mamy już od stropu warstw krośnieńskich środkowych tylko 400 m „stratygraficznej“ odległości ciągłego profilu warstw krośnieńskich górnych do warstewki tufitowej ujętej w zdyslokowane jądro synkliny dukielskiej (A. Tokarski i J. Tokarski 1954).

Ku północy powiązanie tufitów struktury Bóbrki z tufitami fałdu Czanki znalezionymi przez K. Ciszewską (tabl. I przekroje B, C, E, F) nie jest już strukturalnie bezpośrednie ani facjalnie proste. Naprzód przedłuższy wzdłuż struktury Bóbrki z przekroju B na C i idąc tym ostatnim ku NE mijamy w terenie skartowanym i sprofilowanym przeze mnie trzy podłużne przesunięcia dyslokacyjne rozrywające ciągłość strukturalną. Trzecie z nich, czołowe nasunięcie fałdu Targowisk, daje nieciągłość około dwukilometrową. Niemniej jednak wszystkie te przesunięcia przegają w obrębie jednolitego facjalnie typu profilu, przynajmniej od łupków menilitowych w górę, z charakterystycznym trójpodziałem warstw krośnieńskich. Trójpodział ten dopiero poza strefą dyslokacyjną, w północnym skrzydle fałdu Chlebnej zmienia się na dwupodział przez facjalny zanik warstw krośnieńskich środkowych. Jako jedyny horyzont wiążący można tu dalej brać tylko spagową granicę łupków menilitowych, co zresztą również dlatego jest wskazane, że szukamy tu wiązania z dołowi. Owa przewodnia granica odsłania się w skartowanym przez Obtulowicza (1932a) i zanalizowanym przez H. Świdzińskiego (1939) przekroju fałdu Potoka, aby potem, po zakręceniu w przegubie regularnej synkliny Gorajowic opracowanej przez R. Osikę (1947), wyjść znowu

na powierzchnię w południowym skrzydle skartowanego przeze mnie (1947) przekroju fałdu Podzamecza-Liwocza-Brzanki. Stąd ku zachodowi wzdłuż wychodni rogowców południowego skrzydła tego fałdu prześlędzonych przeze mnie i częściowo przez St. Krajewskiego dochodzimy po siedmiu kilometrach do skartowanego przeze mnie przekroju E tam gdzie tnie on fałd Podzamecza-Liwocza-Brzanki. Tu mamy pod łupkami menilitowymi kolejno: 125 m pierwszych łupków pstrych, 20 m pierwszego piaskowca ciężkowickiego, 50 m drugich łupków pstrych, 30 m drugiego piaskowca ciężkowickiego, 60 m „szarych“ łupków istebniańskich, 75 m piaskowca typu istebniańskiego, 65 m „czarnych“ łupków istebniańskich i nie mniej niż 700 m piaskowców istebniańskich. Natomiast w odległym o 22 km ku zachodowi wzdłuż tego samego fałdu, w jego części bardziej wynurzonej, w przekroju F skartowanym przez K. Ciszewską (1956) mamy, według otrzymanych od niej uprzejmych informacji, u dołu kilkanaście metrów warstw godulskich dolnych w formie łupków zielonych i czerwonych bez spągowej granicy. Potem idzie kolejno ku górze 600 m warstw godulskich środkowych złożonych z kilkudziesięciocentymetrowych ławic piaskowców glaukonitowych, przedzielonych kilkumetrowymi pakietami piaskowców cieńszych przekładanych szaro-zielonymi łupkami, 470 m warstw godulskich górnych składających się z piaskowców gruboławicowych typu „istebniańskiego“, tylko bardziej zbitych. Nad nimi podaje K. Ciszewska 600 m typowych piaskowców istebniańskich, 200 m ciemnoszarych łupków istebniańskich z dwiema kilkumetrowymi wkładkami piaskowców typu „istebniańskich“ i z rzadkimi wtrąceniami łupków czerwonych, 150 m eoceńskich niższych łupków pstrych, 300 m piaskowca ciężkowickiego (jedynego w profilu stratygraficznym) i 100 m wyższych eoceńskich łupków pstrych, których górna granica od strony łupków menilitowych nie została uchwycona w przekroju.

W skrzydle północnym, obalonym i pociętym dyslokacjami, widzą K. Ciszewska u dołu zredukowane tektonicznie przez ścięcia warstwy godulskie i piaskowce istebniańskie. Nad nimi znajdują się łupki istebniańskie o grubości 300 m z jednym 40-metrowym wkładem piaskowcowym w środku. Grubość eoceńskich pstrych łupków, zapewne wyciśniętych tektonicznie i nie zawierających piaskowca ciężkowickiego wynosi tu 190 m. Potem idzie 110 m łupków menilitowych z rogowcami w środku i nad nimi 325 m warstw krośnieńskich dolnych bez ograniczenia stronnopowego. Facja warstw godulskich tego przekroju jest odmienna od fałdu Bóbrki — „północna“, według określenia K. Ciszewskiej. Również nie mam możliwości skorelowania grubego piaskowca ciężkowickiego z tego przekroju z jednym z dwu piaskowców ciężkowickich przekroju E, gdy nie rozporządzam materiałem mikropaleontologicznym z żadnego z nich.

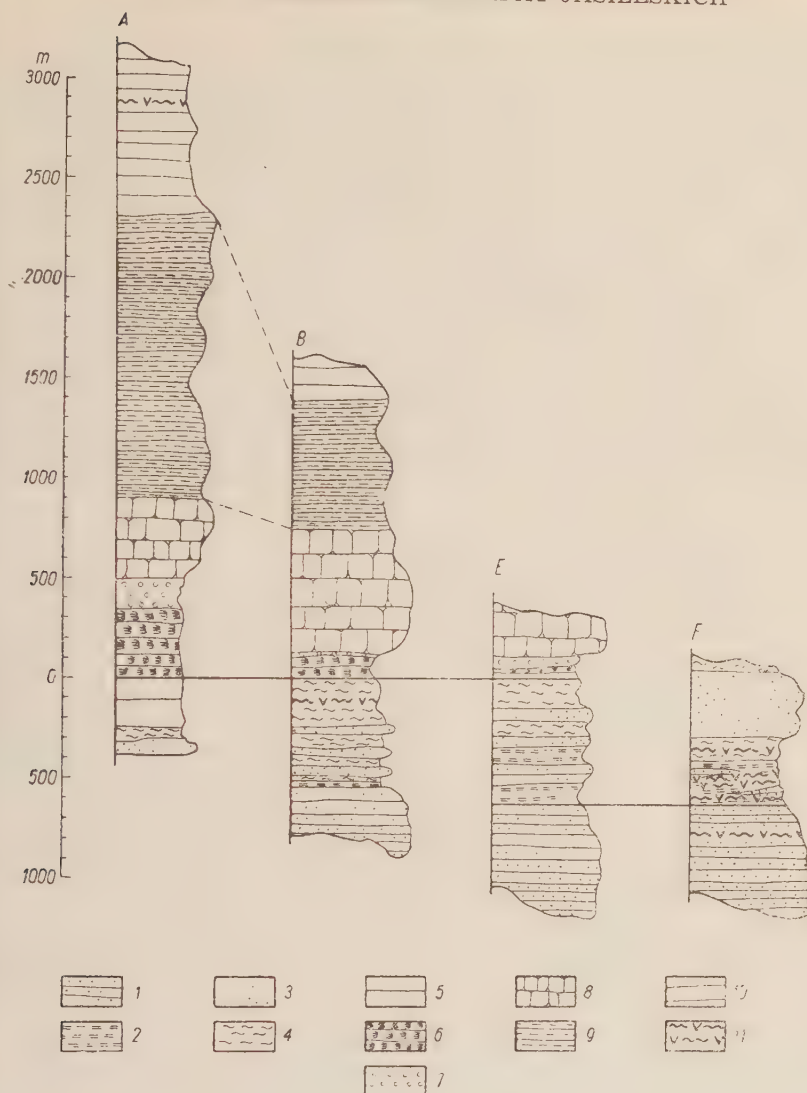


Fig. 3

Litostratigraficzna korelacja poziomów tufitowych w Karpatach Jasielskich

Przekrój F — według K. Ciszewskiej

1 piaskowce istebniańskie, 2 łupki istebniańskie, 3 piaskowiec ciężkowicki, 4 łupki eocenu, 5 warstwy nad- i podrogowcowe z rogowcami w środku, 6 łupki menilitowe, 7 warstwy przejściowe, 8-10 warstwy krosnieńskie (8 dolne, 9 środkowe, 10 górne), 11 tufity

Lithostratigraphic correlation of the tuffite horizons

Section F after K. Ciszewska

1 Istebna sandstones, 2 Istebna shales, 3 Ciężkowice sandstone, 4 Eocene variegated shales, 5 submenilitic beds with silex in the middle part, 6 menilitic shales, 7 passage beds, 8-10 Krosno beds (8 lower, 9 middle, 10 upper), 11 tuffites

Dlatego jedyne możliwe wiązanie tego przekroju zawierającego tufity z przekrojem struktury Bóbrki widzę przez porównanie stropowej granicy kompleksu piaskowców istebniańskich i nadległych łupków istebniańskich południowego skrzydła fałdu z taką granicą stropową piaskowców istebniańskich tego samego skrzydła fałdu w przekroju E. Leżący ponad tą granicą w przekroju E kompleks składa się z dwu pakietów łupków istebniańskich, czarnych w dole i szarych w stropie, rozdzielonych wkładem piaskowcowym. Wkład ten można porównywać z wtarceniami piaskowcowymi w łupkach istebniańskich przekroju F.

Tufity w przekroju F występują stosunkowo obficie w obu skrzydłach fałdu Podzamcze-Brzanka-Liwocz. W najniższym położeniu stratygraficznym znalazła je K. Ciszewska w piaskowcach istebniańskich w odległości około 50 m niżej ich stropu. Wyższy zespół tufitowy złożony z czterech warstewek został odkryty przez nią w skrzydle północnym w łupkach istebniańskich w wysokości około 60 m nad stropem piaskowców istebniańskich pod 40-metrowym wkładem piaskowcowym, który w tym skrzydle znajduje się w łupkach istebniańskich o około 200 m powyżej stropu piaskowców istebniańskich. Wyżej leżące tufity w łupkach istebniańskich znalazła wymieniona badaczka w skrzydle południowym w odległości około 150 m ponad stropem piaskowców istebniańskich, powyżej niższego z dwu występujących w tym skrzydle wkładów piaskowcowych w łupkach istebniańskich, który ma 30 m grubości i znajduje się tu na 90 m ponad stropem piaskowców istebniańskich. Wreszcie w najwyższym położeniu stratygraficznym wykryła K. Ciszewska w tym przekroju tufity w niższych łupkach pstrych południowego skrzydła o około 50 m powyżej stropowej granicy łupków istebniańskich.

Zestawiając wszystkie znaleziska tufitów z Karpat Jasielskich na kombinowanym profilu litostratygraficznym Karpat Jasielskich (fig. 3), wydzielić możemy sześć różnych poziomów. Rozmieszczone są one od najwyższej części piaskowców istebniańskich, której wiek określony jest w granicach górny mastrycht-dan (Książkiewicz 1951), do warstw krośnińskich górnych mogących należeć już do bardzo wysokiego oligocenu, sądząc ze znalezionej przez F. Hussównę (1952) w nierozdzielonych litostratygraficznie warstwach krośnińskich Węglówki mikrofauny o charakterze zbliżonym do miocenińskiego. W tak zakreślonych granicach stratygraficznych pozycje poszczególnych poziomów tufitowych Karpat Jasielskich są już dość dobrze określone w litostratygrafii tego obszaru. Poziom najniższy, znajdujących się w górnej części piaskowców istebniańskich, ma pozycję wyraźną z powodu roli stropowej granicy piaskowców istebniańskich jako regionalnego poziomu odniesienia stratygraficznego. Dwa poziomy tufitów występują w paleoceni (Książkiewicz 1951) w łupkach istebniańskich, również dających się prześledzić na całym oma-

wianym obszarze. Tufity znalezione przez K. Ciszewską w niższych eoceńskich łupkach pstrych znajdują się pod grubym piaskowcem ciężkowickim, na razie trudnym do skorelowania z jednym z kompleksów piaskowcowych rozpoznanych i prześlędzonych w bardziej południowych ładach. Niemniej występują one niżej niż ipreskie lub dolno-luteckie tufity ze struktury Bóbrki znajdujące się wyraźnie nad najwyższym możliwym w Karpatach Jasielskich piaskowcem ciężkowickim. Wreszcie warstewka najwyższych tufitów z przekroju synkliny dukielskiej przebiega w obrębie łupkowych warstw krośnieńskich górnych. Te zaś są zespołem litostratygraficznym bardzo typowym i bardzo stałym w Karpatach jasielskich. Tu bowiem zmiany facjalne w obrębie warstw krośnieńskich warstw przejściowych zasadniczo zachodzą tylko w niższej części profilu warstw krośnieńskich po warstwy krośnieńskie środkowe włącznie.

ŚLADY CYKLU MAGMOWEGO W SERII FLISZOWEJ

Tufity górno-kredowe z najniższej części pstrej serii eocenu z przekroju F, według opracowania K. Ciszewskiej i M. Kamińskiego (1956), nie pozwalają na odtworzenie ich przynależności magmowej. Są one miaowicie wtórnie przekształcone przez halmyrolizę i przez adsorbcję tlenu fosforowego. Z ich stratygraficznego położenia wynika jednak, iż mogą one być związane z poaustrydzkimi wylewami kwaśnej magmy, które miały miejsce na południowym zapleczu Karpat. Należałyby więc one, zgodnie z ostatnio ogłoszoną koncepcją Stillego (1953), do nieco opóźnionych wylewów orogenezy austrydzkiej. Orogeneza ta dała fliszowej jednostce śląskiej, do której należy flisz Karpat Jasielskich, wielkie masy utworów detrytycznych. Z mas tych powstały piaskowce godulskie oraz stębniańskie, a piaskowce ciężkowickie przedstawiają wygasanie tej sedymentacji detrytycznej.

Tufity iprezu lub dolnego lutetu ze struktury Bóbrki należą według W. Parachoniaka (1957) do magmy kwaśnej — granodiorytowej. Z takiej samej magmy powstały również tufity, prawdopodobnie górno-oligocieńskie, przekroju dukielskiego, uznane przez J. Tokarskiego za dazytowe (Tokarscy 1954). Mielibyśmy tu więc ciągle aż do górnego oligocenu wpływy wylewów magmy kwaśnej będących, być może, dalszym ciągiem zapoczątkowanych w górnej kredzie kwaśnych wylewów poaustrydzkich, według ujęcia H. Stillego. Trwałyby one więc dłużej niż sedymentacyjne skutki orogenezy austrydzkiej znikające zasadniczo wraz ze stropową granicą pierwszego piaskowca ciężkowickiego. Może z tą właśnie ciągłością zjawisk wulkanicznych w okresie osadzania się eoceńskiej fliszowej pstrej serii związany jest, zgodnie z przypuszczeniem W. Narębskiego (1956), dopływ manganu do rud eoceńskich?

Nie zmieniający się charakter petrograficzny tufitów przechodzi i poza fliszowy cykl osadowy na molasowe utwory miocenu, gdzie mamy w wielu miejscach odmiany piroklastycznych pochodnych kwaśnej magmy — tufity dacytowe lub andezytowe (Parachoniak 1954). W dyskusjach

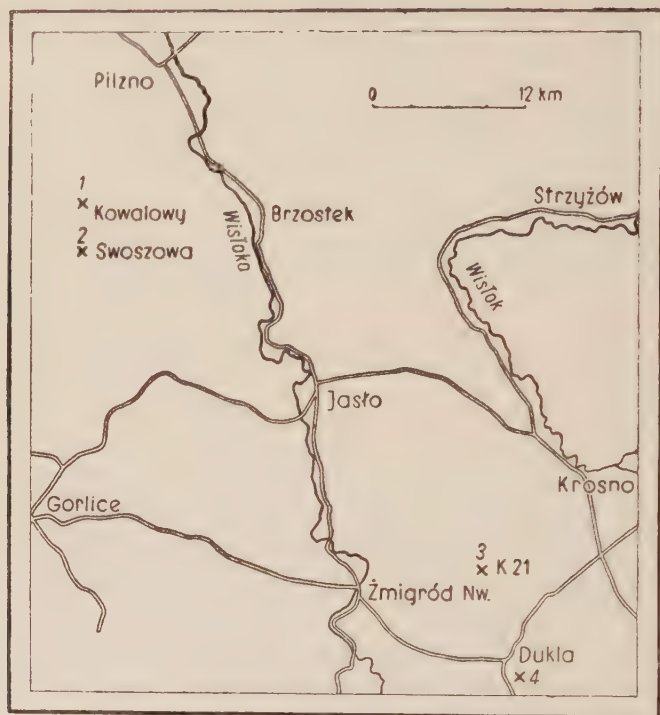


Fig. 4
Punkty znajdowania tufitów w Karpatach Jasielskich
Localities with tuffites in Jasło Carpathians

przeprowadzonych z petrografami J. Tokarskim i Wł. Parachoniakiem zostałem przez nich przekonany, iż — inaczej niż to ujęliśmy w naszej poprzedniej pracy (1954) — charakter petrograficzny tufitów dukielskich z warstw krośnieńskich górnych nie różni je na tyle od tufitów występujących w utworach miocennych przedgórz, aby wskazywać na zasadnicze różnice w magmatyzmie. Widać z tego, że cały okres tworzenia się naszego fliszu między fazą austrydzką i alpejską był okresem synorogenicznych wylewów kwaśnych magm na węgiersko-słowackim zapleczu Karpat. Widać nadto, że wulkanizm fazy alpejskiej, mimo odrębnej ilościowo jej roli w tektogenezie, nałożył się na wulkanizm poaustrydzki jako dalszy ciąg jednego cyklu.

Znaleziska piroklastyków cyklu magmowego występują we fliszu Karpat Jasielskich w czterech punktach na rozpiętości 48 km, od prze-

roju dukielskiego do przekroju Brzanki (fig. 4). Jest to, jak zwróciła mi uwagę w dyskusji doc. K. Ciszewska, stosunkowo znaczne ich nagromadzenie, biorąc pod uwagę przypadkowość trafienia na stanowisko tufitów w fliszu. Zdaniem jej, również występowanie tufitów w przekroju fałdu Brzanki w obu jego skrzydłach wskazuje na możliwość, że tamtejsza strefa ich występowania jest zorientowana południkowo. Wynikałoby z tego przywilejowanie pewnych regionów i pewnych kierunków dla przyniesienia przez wiatry tufów cyklu poaustrijskiego. Sądząc z dotychczas publikowanych materiałów (Birkenmajer i Wieser 1956), oprócz Karpat Jasielskich inne takie regiony znajdowały się w zachodniej części polskich Karpat.

*Instytut Geologii Złóż Ropy i Gazu
Akademii Górniczo-Hutniczej
Kraków, listopad 1956*

LITERATURA CYTOWANA

- LEDA F. 1946. Stratygrafia fliszu Karpat polskich na podstawie dużych otwornic (La stratigraphie du Flysch des Carpates centrales polonaises basée sur les grands Foraminifères). — Roczn. P. T. Geol. (Ann. Soc. Géol., Pol.), t. XVI. Kraków.
- BIRKENMAJER K. & WIESER T. 1956. Tufity w warstwach pstrych osłony pieninowskiego pasa skałkowego (Tuffites from variegated beds of the Pieniny Klippenbelt mantle — Central Carpathians). — Acta Geol. Pol., vol. VI/1. Warszawa.
- LEZNIKOWSKI J. 1950. Otwornice pstrygo eocenu i jego paleogeografia na obszarze między Sanokiem a Gorlicami. — Nafta VI, nr 5. Kraków.
- RUSS F. 1952. Mikrofauna warstw krośnieńskich. Rękopis w archiwum Służby Geol. Przem. Naft. w Krakowie.
- URKIEWICZ H. 1955. Fauna pstrygo trzeciorzędu wschodniej części jednostki śląskiej. Rękopis w archiwum Służby Geol. Przem. Naft. w Krakowie.
- SIAMIENSKI M. & SKOCZYŁAS-CISZEWSKA K. 1956. O skale wzbogaconej w P_2O_5 w Karpatach Fliszowych (Notes on a rock enriched in P_2O_5 , occurring in the Flysch Carpathians). — Arch. Miner., t. XIX/2. Warszawa.
- RUCZEK J. 1957. Najmłodsza tektonika fałdu Bóbrki. Rękopis w archiwum Służby Geol. Przem. Naft. w Krakowie.
- SIAŁKIEWICZ M. 1951. Kreda Karpat zewnętrznych. — Reg. Geologia Polski, t. I: Karpaty, z. 1: Stratygrafia. Rozdz. V. P. T. Geol. Kraków.
- WARĘBSKI W. 1956. Mineralogia i geochemiczne warunki genezy syderytów fliszu karpacciego. Kraków (rękopis pracy kandydackiej).
- WĘTUŁOWICZ J. 1932a. Antyklina potocka. — Geologia i statystyka naftowa 1932, II/III.
- 1932b. Kopalnia Bóbrka. — Ibidem, 1932/XII, 1933/I/II.
- WYSIKA R. 1947. Niektóre wyniki nowszych prac geologiczno-wiertniczych na polu gazowym Roztoki-Sobniów koło Jasła (Some new geological prospecting on the gas field Roztoki-Sobniów near Jasło — Central Carpathians). Biul. P. I. G. (Bull. Serv. Géol. Pol.) 29. Warszawa.
- WYRACHONIAK W. 1954. Tortońska facja tufitowa między Bochnią a Tarnowem (Tortonian facies of tuffites between Tarnów and Bochnia). — Acta Geol. Pol., vol. IV/1. Warszawa.

- 1957. Petrografia tufitów z antykliny Bóbrki w Karpatach Jasielskich (Tuffites from the Bóbrka anticline in the Carpathians). — Ibidem, vol. VII/2. Warszawa.
- STILLE H. 1953. Der geotektonische Werdegang der Karpaten. — Beitr. z. Geol. Jhrb. d. Geol. L.-A. der Bundesrep. Deutschland. Nr 8. Hannover.
- SWIDZIŃSKI H. 1939. Pole gazowe Sądkowa-Roztoki-Sobniów (Champs de gaz de Sądkowa-Roztoki-Sobniów). — Biul. P. I. G. (Bull. Serv. Géol. Pol.) 20. Warszawa.
- TOKARSKI A. 1947. „Ramowa“ tektonika fałdów jasielskich („Frame“ tectonics of the Jasło folds). Pol. Ak. Um. Docum. Physiogr. Pol., Nr 7. Kraków.
- TOKARSKI A. & TOKARSKI J. 1954. On the Tuffite Layer of the Upper Krosno Beds in the Dukla Region of the Carpathians. — Bull. Int. Acad. Pol. Sci. Cl. III, v. II, no. 8. Warszawa.
- WDOWIARZ ST. 1953. Geologia fałdu Grabownicy (Geologia Grabownickoj antyklinali). — Biul. I. G. (Bull. Inst. Géol. Pol.). Warszawa.

A. TOKARSKI

ТУФФИТЫ В РАЗРЕЗАХ ЯСЕЛЬСКИХ КАРПАТ

(Резюме)

Автор вместе с Ю. Кручком нашли в эоценовых пестроцветных сланцах туффиты в бурении проходящем через южное крыло складки Бубрка во флише Ясельских Карпат. Бурение было обработано при помощи электростратиграфического метода, проверенного керном. На основании доступных данных геологической съемки и бурений эти туффиты, подобно как и туффиты, найденные в этом районе К. Цишевской, Ю. Кручком и автором, позволяют поместить их в комбинированном литостратиграфическом профиле. Из этих туффитов породы найденные в кросненских слоях олигоцена, а также в верхних пестроцветных сланцах эоцена указывают на кислую магму, вероятно послеавстридского и альпийского циклов. Пирокластитики, сравнительно часто выступающие в обсуждаемом районе, свидетельствуют о привилегированном палеогеографическом положении этого района, способствующем подобной аккумуляции. По Нарембскому, эоценовые туффиты могут разъяснить происхождение марганца связанного в конкрециях, встречаемых в эоценовых пестроцветных сланцах флиша Карпат.

A. TOKARSKI

TUFFITES IN JASŁO CARPATHIANS

(Summary)

The presence of two tuffite intercalations was in 1954 ascertained by the writer, J. Kruczek co-operating, within the Flysch formation of the Jasło Carpathians. They were discovered in deep boring K 21 which

pierced the southern limb of the great Bóbrka anticline occupying a special structural position within the Jasło Carpathians (Kruczek 1957, Obtutowicz 1932b, Tokarski A. & Tokarski J. 1954).

This bore-hole reached to a final depth of 2483.7 m, piercing a fairly complete Flysch profile, beginning with the first variegated shales of Eocene age at top down to upper Cieszyn shales of Valanginian age at bottom (fig. 1 and 2). Within Lower Cretaceous DK Barremian-Lutetian beds (Wdowiarz 1953) the DK₂ series was absent, probably owing to tectonic complications. The here mentioned stratigraphic column has been described on electrostratigraphic data supplemented by cores taken at rather broad intervals. As to the variegated Eocene shales the stratigraphic inferences were also based on microfauna (pl. XL, figs. 1, 2; pl. XLI, fig. 1).

The tuffites here have been found within green shales, dipping from 0 to 80°, in a core taken between 188.8 to 192 m, as two thin layers, 1 and 3 cm in thickness respectively, separated by shales, 48 cm thick. They were studied by W. Parachoniak and determined as generated by granodioritic magma. Their stratigraphic position within the central part of the first variegated shales (Czernikowski 1950) has been determined on a microfauna with *Cyclammina amplexans*, found by H. Jurkiewicz (1955) and on a fauna, described by F. Bieda (1946), containing Eocene nummulites yielded within the adjacent section (table I section B) by the first Ciężkowice sandstone, occurring 70 m lower than the tuffites.

The tuffites ascertained in deep boring K 21 may be placed in the common profile of the Jasło Carpathians together with other tuffites found discovered by other authors and by the present writer (table I and fig. 3). The profile was done on field evidence and structure correlation.

Dacite tuffite, younger than those here considered, are recorded from upper Krosno beds of the Upper Oligocene in the Dukla syncline (table I section A). Of an older age, on the other hand, are tuffites from the top part of Istebna Maestrichtian-Danian sandstone, also those from the overlying Palaeocene Istebna shales and from the lowermost part of Palaeocene-Eocene variegated shales from the Podzamcze-Liwocz-Brzanka fold. They have been discovered there by K. Ciszewska (tabl. I, Sect. F).

Tuffites within the Podzamcze-Liwocz-Brzanka fold, mostly affected by secondary alteration, show no traces of the primary magma type (Kamieński & Ciszewska 1956), while tuffites from deep boring K 21 (Parachoniak 1957) and from the Dukla syncline derived from acid magma. They pass, therefore, from the post-Austrian to the Alpine cycle, without altering their petrographic character.

The presence of tuffites may, perhaps, explain the introduction of Mn into concretions of the variegated Eocene series (Narębski 1956). The relative frequency of tuffite finds within the Jasło Carpathians (fig. 4), as well as the wide range of their stratigraphic distribution here suggests that this terrain may fairly abound in accumulations of pyroclastic deposits. Another belt of this type is known in Polish Western Carpathians (Książkiewicz 1951, Birkenmajer & Wjeser 1956).

Department of Geology
of the Oil and Natural Gas Resources
at the College of Mining & Metallurgy Engineering
Kraków, November 1956

OBJAŚNIENIA DO PLANSZ LX—XLI DESCRIPTION OF PLATES XL—XLI

Pl. XL

Fig. 1

Zespół mikrofauny górnej części 1-szych pstrych łupków z *Ammodiscus umbonatus*.
Według H. Jurkiewicza

Microfaunistic assemblage in the upper part of the first variegated shales with
Ammodiscus umbonatus. After H. Jurkiewicz

1 *Ammodiscus umbonatus*, 2 *Trochamminoides coronatus*, 3 *Reophax duplex*,
4 *Reophax* sp. (?) × 22

Fig. 2

Zespół mikrofauny dolnej części 1-szych pstrych łupków z *Cyclammina* i *Spiroplectammina*. Według H. Jurkiewicza

Microfaunistic assemblage in the lower part of the first variegated shales with
Cyclammina and *Spiroplectammina*. After H. Jurkiewicz

1 *Spiroplectammina grzybowskii*, 2 *Glomospira charoides*, 3 *Hyperammina* sp., 4 *Haplophragmoides walteri*, 5 *Recurvoides walteri*, 6 *Cyclammina amplexans*, 7 *Trochamminoides coronatus* × 22

Fot. T. Czachowski

Pl. XLI

Fig. 1

Zespół mikrofauny trzecich pstrych łupków z *Trochamminoides* i *Glomospira*.
Według H. Jurkiewicza

Microfaunistic assemblage of the third variegated shales with *Trochamminoides*
and *Glomospira*. After H. Jurkiewicz

1 *Ammodiscus incertus*, 2 *Haplophragmoides walteri*, 3 *Lituotuba lituiformis* (?),
4 *Glomospira charoides*, 5 *Trochamminoides* sp. × 22

Fot. T. Czachowski

Fig. 2

Okruhcz szkliwa wulkanicznego (typu pumekowego)

× 450

Fot. B. Ostrowski

Fragment of pumice vitreous glass



Fig. 1



Fig. 2



Fig. 1

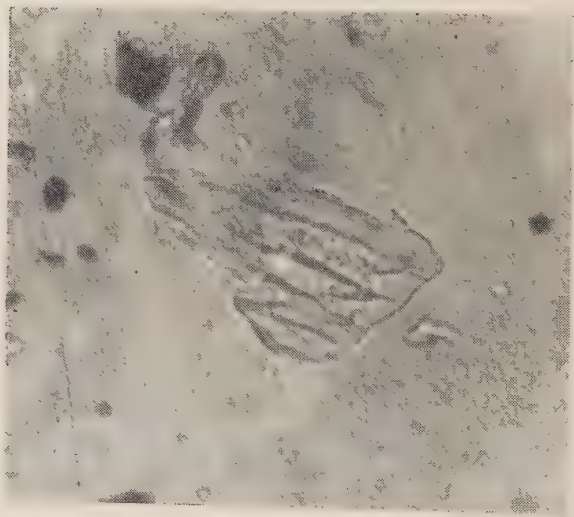


Fig. 2

WŁODZIMIERZ PARACHONIAK

Petrografia tufitów z antykliny Bóbrki w Karpatach Jasielskich

TREŚĆ: Wstęp — Obraz mikroskopowy skały — Analiza chemiczna — Wnioski —
Literatura cytowana

WSTĘP

Z początkiem 1956 r. na propozycję A. Tokarskiego podjąłem się petrograficznego opracowania skały tufitowej występującej w postaci warstewek w pierwszych eoceńskich pstrych łupkach południowego skrzydła antykliny Bóbrki, a odkrytej przez A. Tokarskiego i J. Kruczka w czasie profilowania głębokiego odwiertu K 21. Znajdźisko to zostało następnie przez A. Tokarskiego (1956) wkomponowane wraz z całością profilu wymienionego wiercenia w nowo opracowany przez niego przekrój tej antykliny i całej struktury oraz poprzez przekroje Karpat Jasielskich ujęte we wspólnym, syntetycznym profilu stratygraficznym z innymi znaleziskami tufitów, równie dobrze określonymi stratygraficznie. Na południu nawiązano do górnio-oligocenkich tufitów z warstw krośnieńskich (górných) przekroju dukielskiego, opisanych przez A. i J. Tokarskich (1954), a na północy do tufitów występujących w stropowej części górnokredowych piaskowców istebniańskich, oraz do tufitów pochodzących z dolnej części dolno-eoceńskich pstrych łupków, wykrytych tam przez K. Ciszewską (1956).

Według danych lito- i elektrostratygrafii oraz mikro- i makropaleontologii, tufity z otworu K 21 są wieku ipreskiego lub dolno-luteckiego. Szczegółowa pozycja stratygraficzna wymienionych wkładek tufitowych przedstawiona została w pracy A. Tokarskiego (1957) na tablicy I.

Diagnoza A. Tokarskiego i J. Kruczka dotycząca genezy skały została po raz pierwszy potwierdzona analizą mikroskopową wykonaną przez J. Tokarskiego.

Opisanie nowego punktu występowania utworów tufogenicznych we fliszu karpackim nabiera szczególnego znaczenia w związku z coraz częściej pojawiającymi się pracami dotyczącymi przejawów działalności wulkanicznej w Karpatach (ob. spis literatury).

OBRAZ MIKROSKOPOWY SKAŁY

W szlifie mikroskopowym na tle silnie zbentonityzowanej masy skalnej wyróżnić można dość rzadko rozsiane ziarna skaleni, kwarcu, biotytu oraz drobne ziarenka minerałów nieprzejrzystych. Zbentonityzowana masa skalna, w świetle przechodzącym barwy słomkowo-żółtej, przy skrzyżowanych polaroidach daje zjawisko zbiorowego rozjaśniania, charakterystyczne dla minerałów ilastych. Fragmentów szkliwa wyróżnić się nie udało.

Dość często spotykane ziarna skaleni występują w postaci osobników wykształconych mniej lub bardziej idiomorficznie. Nie rzadko tworzą one osobniki zbliżnione według prawa albitowego, karlsbadzkiego lub albitowo-karlsbadzkiego. Stan zachowania skaleni jest zmienny; obok stosunkowo rzadko spotykanych ziarn zupełnie świeżych, przejrzystych, najczęściej spotyka się osobniki zwietrzałe, w których zazwyczaj jedynie partie zewnętrzne są niezmienione. Partie rdzeniowe zmienione są w drobnołuseczkowy agregat (substancja ilasta). Pomiarów kątów ściemniania światła wykonane na kilku osobnikach zbliżnionych według prawa albitowego (w pasie symetrii) wykazały, że reprezentują one andezyn (kąt ściemniania około 28°). Maksymalne wymiary ziarna skaleni wynoszą 240 mikronów, przeciętne około 100 mikronów.

Radziej spotykane od skaleni ziarna kwarcu są z reguły ostrokrawędziste, a sporadycznie mają pokrój zbliżony do idiomorficznego. Obtoczonych ziarn brak jest w zupełności. Przeciętna wielkość ziaren kwarcu — podobnie jak skaleni — wynosi około 100 mikronów.

Licznie reprezentowany w szlifie biotyt występuje w postaci blaszek nieregularnych, wyjątkowo o pokroju heksagonalnym (spostrzeżenie z preparatów proszkowych). W przekrojach prostopadłych do płaszczyzn łupliwości wykazuje on wyraźny pleochroizm w odcieniach od barwy słomkowo-żółtej do żółto-zielonej. Podczas gdy skalenie, ziarna kwarcu oraz ziarenka minerałów nieprzejrzystych rozmieszczone są zupełnie bezładnie, blaszki biotytu ułożone są przeważnie w sposób zorientowany, jednokierunkowy, podkreślając w ten sposób megaskopowo zaznaczającą się teksturę warstwową skały. Przeciętna wielkość blaszek biotytu około 280 mikronów. W wielu przypadkach blaszki biotytu są w znacznym stopniu schlorytyzowane.

Poza tym w zbentonizowanej masie skalnej wyróżnić można czne drobne idiomorficzne ziarenka minerałów ciężkich (cyrkon, patyt).

W celu ewentualnego stwierdzenia obecności w skale okruchów niedszkłego szkliwa próbkę rozlasowano w gorącym słabym roztworze wasu solnego (aby usunąć bentonit). Po odszlamowaniu frakcji pelitycznej, z części pozostałości sporządzono trwały preparat w balsamie kana-
yjskim, z drugiej zaś części wydzielono ciężkie minerały. W uzyska-
kanym w pierwszym przypadku preparacie proszkowym udało się
naleźć kilka okruchów szkliwa o wykształceniu pumekсовym,
współczynnikiem załamania niższym od balsamu kanadyjskiego
l. XLI, fig. 2).

W preparacie ciężkich minerałów, które wydzielono przy użyciu
omoformu o ciężarze właściwym 2,865, dominującym składnikiem były
arna minerałów nieprzejrzystych (opaki). W wielu przypadkach dookoła
iomorficznie wykształconych ziarenek magnetytu oraz cirkonu dały się
uważyć cienkie obwódki szkliwa o współczynnikiem niższym od balsa-
u kanadyjskiego. W preparacie ciężkich minerałów nie stwierdzono
obecności biotytu i apatytu (zaobserwowanych w szlifach mikroskopo-
ych), gdyż uległy one rozkładowi w kwasie solnym w czasie dygerowa-
a próbki. Błazki biotytu uległy odbarwieniu, pozostawiając bezbarw-
e szkieleciki krzemowo-glinowe. Po raz drugi wydzielono ciężkie mine-
ły z próbki nie poddanej działaniu HCl. Z 1,5 g próbki uzyskano 0,0020 g
ciężkich minerałów. Wyniki analizy planimetrycznej preparatu ciężkich
inerałów (wyliczono 100 ziarn) przedstawiono poniżej:

	% obj.
minerały nieprzejrzyste (opaki)	63
biotyt	14
apatyt	13
cyrkon	10

ANALIZA CHEMICZNA

Racjonalna analiza chemiczna, której wyniki ujęto w zamieszczonej
oniżej tabeli, wykonana została przez D. Kęską pod kierunkiem J. To-
arskiego.

Znaczna rozpuszczalność próbki w HCl wskazuje na dominującą
lę w skale minerałów ilastych grupy montmorillonitu. W interpretacji

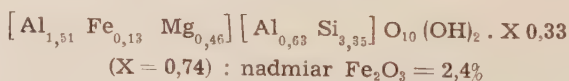
T a b e l a 1

1	2	3	4	5	6	7
% wag.	Rozp. w HCl	Nierozp. w HCl	Anal. brutto % wag.	% mol rozp. w HCl	% mol nierozp. w HCl	% jon rozp. w HCl
SiO ₂	23,66	23,23	47,21	60,80	73,12	47,62
TiO ₂	0,30	—	0,30	—	—	—
P ₂ O ₅	śląd	—	śląd	—	—	—
Al ₂ O ₃	12,85	9,06	22,15	19,45	16,80	30,47
Fe ₂ O ₃	3,58	2,37	5,95	3,46	2,80	5,42
MnO	brak	—	brak	—	—	—
CaO	1,12	1,21	2,74	3,09	4,08	2,42
MgO	2,21	0,68	2,89	8,45	3,20	6,63
K ₂ O	2,36	—	2,36	3,86	—	6,04
Na ₂ O	0,36	—	0,36	0,89	—	1,40
+H ₂ O	11,00	—	11,00	—	—	—
-H ₂ O	5,55	—	5,55	—	—	—
	62,99	36,55	100,51	100,00	100,00	100,00

Chart 1

1 weight per cent, 2 dissoluble in HCl, 3 indissoluble in HCl, 4 gross analysis in weight per cent, 5 mol. per cent dissoluble in HCl, 6 mol. per cent indissoluble in HCl, 7 ion per cent dissoluble in HCl

J. Tokarskiego wzór minerału ilastego (obliczony według Hendricksa 1945) przedstawia się następująco:



Powyższy wzór zbliżony jest do wzoru bedeilitu.

WNIOSKI

Fakt występowania w skale minerałów piroklastycznych, tj. idiomorficznie wykształconych ziarn skaleni, biotyty, zidentyfikowanych w preparacie proszkowym okruchów szkliva o budowie pumeksowej, obwódek szkliva otaczających ziarna niektórych minerałów ciężkich rozstrzygają o tufogenicznej naturze skały.

Dane uzyskane z obserwacji mikroskopowych oraz z analizy chemicznej wskazują na prawie zupełne zbentonitizowanie okruchów szkliva, pierwotnie występujących w znacznej ilości. Osadowy charakter skały szczególnie wyraźnie podkreśla jednokierunkowe ułożenie blaszek biotyty.

Brak w skale odpowiedniej ilości świeżego szkliwa uniemożliwia jego zanalizowanie chemiczne, a w ślad zatem utrudnione jest wyciągnięcie dalej idących wniosków odnośnie do chemizmu magmy wyjściowej. Sądząc jednak po występowaniu w skale idiomorficznych ziarn kwarcu, prakryształów skaleni rzędu andezynu, obecności biotytu oraz po uzyskanych wynikach analizy racjonalnej, można przypuszczać, że macierzystą magmą dla omawianej skały była magma zbliżona do diorytowej.

Na tle przytoczonych danych wysuwa się problem genetycznego powiązania opisanych w nowej pozycji stratygraficznej tufitów z ich źródłem.

Wobec generalnego zjawiska wygasania centrów eruptywnych Karpat zewnętrznych w trzeciorzędzie (Birkenmajer i Wieser 1956, Sobolew 1955) źródła tych utworów należy szukać w Karpatach wewnętrznych, gdzie na okres ten przypada właśnie ożywiona działalność wulkaniczna. Kuthan (1948) wyróżnia tam trzy główne fazy działalności wulkanicznej. Przejawem działalności pierwszej z nich mają być — między innymi — paleogeńskie (barton-rupel) wylewy andezytowe znane z rejonu Matry i Gór Bukowych (tzw. rejonu środkowego według Kuthana). Do rejonu tego można więc odnieść genetycznie tufity wieku ipreskiego lub dolnoluteckiego nawiercone w otworze K 21.

Zakład Petrografii AGH
oraz Główne Laboratorium
Przemysłu Naftowego w Krakowie
Kraków, grudzień 1956

LITERATURA CYTOWANA

- BIRKENMAJER K. & WIESER T. 1956. Tufity w warstwach pstrych osłony pieńńskiego pasa skałkowego (Tuffites from variegated beds of the Pieniny Klippen-belt mantle — Central Carpathians). — *Acta Geol. Pol.*, vol, VI/1. Warszawa.
- KAMIENSKI M. & CISZEWSKA K. 1956. O skale wzbogaconej w P_2O_5 w Karpatach Fliszowych (Notes on a rock enriched in P_2O_5 , occurring in the Flysch Carpathians). — *Arch. Miner.*, t. XIX/2. Warszawa.
- KSIĄŻKIEWICZ M. & WIESER T. 1954a. Occurrence of tuffites in the Krosno beds of the Carpathian Flysch. — *Bull. Int. Acad. Pol. Sci., Cl. III*, v. II, no. 6. Warszawa
- 1954b. Upper Cretaceous volcanism in the Carpathian Flysch geosyncline. — *Ibidem*, v. II. no. 4. Warszawa.
- KUTHAN M. 1948. Undačný vulkanizmus Karpatskeho orogenu a vulkanologické štúdia v sev. časti Prešovských Hor. *Práce statn. Geol. Úst. ČSR*, vol. 17 Bratislava.
- ROSS O. S. 1945. Minerals of the Montmirillonite Group. Washington.

- SOBOLEW B. S., KOSTIUK W. P., BOBIJEWICZ A. P., GORIACZEWSKAJA O. N., SPITKOWSKAJA S. M. & FISZKIN M. J. 1955. Petrografia neogenowych wulkanicznych i hypabisalnych porod sowieckich Karpat. Izd. Akad. Nauk USSR. Kijów.
- TOKARSKI A. 1957. Tufity w przekrojach Karpat Jasielskich (Tuffites in Jasło Carpathians). — *Acta Geol. Pol.*, vol. VII/2. Warszawa.
- TOKARSKI J. & TOKARSKI A. 1954. On the tuffite Layer of the Upper Krosno beds in the Dukla Region of the Carpathians. — *Bull. Int. Acad. Pol. Sci.*, Cl. III, v. II, no. 8. Warszawa.
- WIESER T. 1954. Skaly magmowe Bachowic (The igneous rocks of Bachowice). — *Rocz. P. T. Geol. (Ann. Soc. Géol. Pol.)*, t. XXII. Kraków.

B. ПАРАХОНЯК

ТУФФИТЫ ИЗ АНТИКЛИНАЛИ БУБРКА В ЯСЕЛЬСКИХ КАРПАТАХ

(Резюме)

В одном из глубоких бурений в южном крыле антиклинали Бубрка был найден туффит и виде прослоек в пестрых эоценовых сланцах (ипрес — нижний лютет). В туффите были найдены обломки вулканического стекла (пл. XLI, фиг. 2). В результате микроскопического и химического анализа автор определяет горную породу как сильно бентонитизированный туффит. Исходной магмой была диоритовая магма, приближённая по типу к магме вулканических центров Внутренних Карпат в районе Матры и Буковых Гор.

W. PARACHONIAK

TUFFITES FROM THE BÓBRKA ANTICLINE IN THE CARPATHIANS

(Summary)

This paper is concerned with tuffites from one of the deep drilling bores (K-21) in the southern limb of the Bóbrka anticline. They were discovered by A. Tokarski and J. Kruczek in the form of two intercalations within a series of the first variegated Eocene shales whose age has been established as Ypresian or Lower Lutetian. A petrographic description is here given by the author, together with rational analytical data (table I). Fragments of vitreous glass (pl. XLI, fig. 2) detected in powder preparations of this rock are diagnostic in genesis determination.

On results of petrographic research studies the writer refers the here considered rock to strongly bentonitised tuffite derived from magma similar to diorite magma. Genetically the writer associates these tuffites with Palaeogene volcanic centres in the Inner Carpathians within the Matra (Slovakia) and Bükk Mts. (Hungary) regions.

*Laboratory of Petrography
at the
College of Mining & Metallurgy
Engineering
and
Chief Laboratory for Oil Industry
Kraków, December 1956*

RAFAŁ UNRUG

Współczesny transport i sedymentacja żwirów w dolinie Dunajca

WSTĘP: Wstęp — Teren — Materiał — Charakter transportu — Procesy działające w czasie transportu żwirów: niszczenie transportowanych fragmentów skalnych i selektywny transport; wielkość transportowanych fragmentów skalnych; stopień obtoczenia i kulistość otoczków; orientacja otoczków — Metodyka pobierania prób i pomiarów: jednostka sedymentacyjna; wielkość otoczków; skład petrograficzny żwiru; kulistość i stopień obtoczenia; orientacja otoczków — Wyniki i ich interpretacja: zmienność wielkości transportowanych fragmentów skalnych; zmienność składu petrograficznego żwiru; zmienność kulistości i stopnia obtoczenia; związek kulistości ze stopniem obtoczenia; orientacja otoczków; mechanizm transportu i depozycji żwirów — Wnioski — Literatura cytowana

WSTĘP

Opracowanie zagadnienia współczesnego transportu i sedymentacji żwirów w dolinie Dunajca rozpocząłem w 1954 roku, zachęcony do podjęcia tego tematu przez Prof. M. Książkiewicza i Doc. St. Dzułyńskiego. Prace terenowe, finansowane przez Pracownię Geologiczno-Stratygraficzną PAN, przeprowadziłem w miesiącach letnich 1954 i 1955 r. Opracowanie kameralne wykonałem w Zakładzie Geologii Fizycznej Akademii Górniczo-Hutniczej. Celem pracy było poznanie zmienności cech żwiru będącej wynikiem procesów działających w czasie transportu przez prąd trąkający, oraz orientacji otoczków i jej związku z mechanizmem depozycji. Jest moim miłym obowiązkiem złożyć podziękowanie Prof. M. Książkiewiczowi i Doc. St. Dzułyńskiemu za umożliwienie mi wykonania tej pracy i cenne wskazówki, jakich zechcieli mi udzielić w czasie badań terenowych i prac kameralnych.

TEREN

Dunajec powstaje z połączenia się trzech rzek Podhala: Czarnego Dunajca, Białego Dunajca i Białki, spływających z północnych stoków Tat. Rzeki te łączą się ze sobą na obszarze Kotliny Nowotarskiej. Po jej

przepłynięciu Dunajec przebiega się przez Pieniński Pas Skałkowy, wkracza na obszar Karpat fliszowych, przepływa przez Kotlinę Krościenka i po przebiegu się wąską doliną przez Beskid Sądecki wpływa do Kotliny Sądeckiej. Tu łączy się z Dunajcem największy jego dopływ — Poprad, nie-

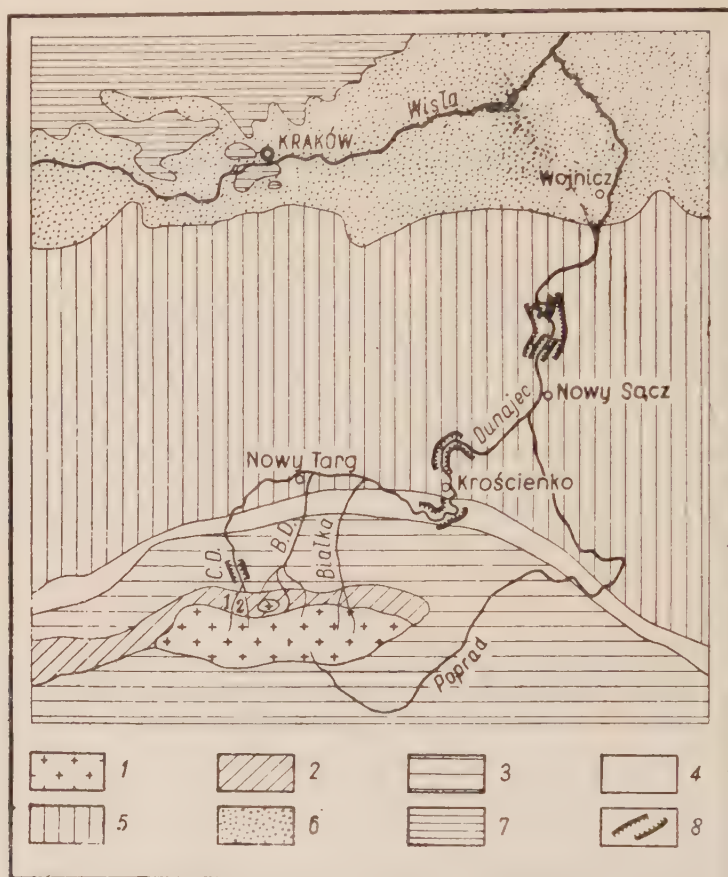


Fig. 1

Mapka geologiczna doliny Dunajca

1 granity i skały metamorficzne, 2 mezozoik tatrzański, 3 flisz podhalański, 4 pieniński pas skałkowy, 5 Karpaty fliszowe, 6 miocen Niziny Podkarpackiej, 7 mezozoik Wyżyny Krakowskiej, 8 odcinki doliny Dunajca o charakterze przełomowym. C. D. Czarny Dunajec. B. D. Biały Dunajec, 1 Potok Chochołowski, 2 Potok Kościeliski

Geological sketch map of the Dunajec Valley

1 granites and metamorphic rocks, 2 Tatra Mesozoic, 3 Podhale Flysch, 4 Pieniny Klippen belt, 5 Flysch Carpathians, 6 Sub-Carpathian Miocene, 7 Mesozoic of the Cracow Upland, 8 gap sectors of the Dunajec Valley, C. D. Czarny Dunajec River,

B. D. Biały Dunajec River, 1 Chochołowski Stream, 2 Kościeliski Stream

sący wody spływające z południowych stoków Tatr. Kotlina Sądecka zamknięta jest od północy przez Pogórze Rożnowskie. W przełomie przez to pasmo dolina Dunajca przegrodzona jest zaporami w Rożnowie i Czchowie. Łączna długość obu jezior zaporowych wynosi około 40 km. Poniżej Czchowa Dunajec płynie szeroką doliną przez Pogórze Wiśnickie i koło Wojniczka opuszcza Karpaty fliszowe wpływając na miocen Niziny Podkarpackiej. W Ujściu Jezuickim Dunajec łączy się z Wisłą (fig. 1).

Dolina Dunajca jest terenem szczególnie dogodnym dla prowadzenia badań nad wpływem transportu na zmienność cech osadu. Wśród żwirów niesionych przez Dunajec można łatwo wyróżnić otoczaki skał tatrzańskich, dla których długość transportu może być dokładnie określona. Ponadto na przestrzeni swej 247-kilometrowej doliny Dunajec płynie przez teren o bardzo urozmaiconej morfologii i zmienia silnie swój gradient. Źródłowe potoki Dunajca wypływające z dolin tatrzańskich są typowymi strumieniami górskimi, w swym środkowym biegu Dunajec jest rzeką górską, przebijającą się szeregiem przełomów przez grzbiety oddzielające od siebie śródgórskie kotliny, odcinek zaś pomiędzy brzegiem Karpat a ujściem Dunajca do Wisły ma charakter bystrej wprawdzie, lecz już nizinnej rzeki. Umożliwia to prześledzenie zmienności cech żwirów w ramach zamkniętego, lecz zróżnicowanego wewnętrznie naturalnego środowiska.

Badania nad zmiennością cech otoczków skał tatrzańskich zostały przeprowadzone na całej długości doliny Dunajca. Na obszarze Podhala została opracowana dolina Czarnego Dunajca, gdyż rzeka ta, płynąca z Tatr Zachodnich, których budowa jest pod względem petrograficznym bardziej urozmaicona niż budowa Tatr Wysokich, niesie żwiry bardziej różnorodne, co umożliwiło przeprowadzenie szerszych studiów nad wpływem długości transportu na skład petrograficzny żwiru.

MATERIAŁ

Materiał tatrzański znoszony jest do doliny Dunajca z północnych stoków Tatr przez Czarny Dunajec, Biały Dunajec i Białkę, których długości i gradienty są podobne. Otoczaki skał tatrzańskich pochodzące z południowych stoków Tatr donoszone są przez Poprad, uchodzący do doliny Dunajca pod Starym Sączem. Otoczaki skał tatrzańskich niesione przez Poprad przebywają dłuższą drogę, niż otoczaki niesione przez Dunajec. Żwiry Popradu zawierają jednak zaledwie około 10% otoczków skał tatrzańskich i ta niewielka domieszka nie wpływa zupełnie na przebieg rozpatrywanej zmienności cech otoczków niesionych przez Dunajec.

Potoki uchodzące do Dunajca donoszą do jego łóżyska otoczaki skał tatrzańskich pochodzące z wysokich tarasów plejstocenijskich, które powstały w zupełnie innych warunkach klimatycznych i w innych niż dzisiaj

warunkach transportu. Po przejrzaniu stanu zachowania materiału tatrzańskiego w tarasach okazało się jednak, że z tarasów donoszone są wyłącznie otoczaki kwarcytowe. Znajdujące się w wysokich tarasach otoczaki granitu są tak silnie zwietrzałe, że nie wytrzymują nawet krótkiego transportu i ulegają zniszczeniu już w łóżyskach potoków, nie docierając do Dunajca. Otoczaki granitu znajdujące się we współczesnych kamieńcach Dunajca są więc transportowane współcześnie w łóżysku rzeki, bądź też pochodzą z najniższego tarasu, który, jak stwierdza Klimaszewski (1937), jest bieżąco akumulowany.

Otoczaki granitu tatrzańskiego są więc materiałem, którego pochodzenie i długość transportu mogą być dokładnie i jednoznacznie określone. Dlatego też zmienność wielkości, stopnia obtoczenia i kulistości oraz kształtu, zostały zbadane na przykładzie otoczków granitowych.

Na terenie Podhala żwiru Dunajca są bardzo intensywnie eksploatowane. Niezależnie od istniejących zwirowni ludność miejscowa po każdym przyborze wody wybiera wszystkie większe bloki z kamieńców i łóżyska rzeki. Dlatego kamieńce Dunajca obserwować można w ich naturalnej postaci tylko bezpośrednio po opadnięciu wody.

CHARAKTER TRANSPORTU

Stan wód w Dunajcu jest bardzo zmienny (fig. 2). Maksymalne stany wody przypadające na wiosnę związane są z topnieniem śniegów, przybory letnie i jesienne są wynikiem dużych opadów w Karpatach. Charakterystyczny jest bardzo gwałtowny przebieg wezbrań i nieco powolniejsze opadanie wód.



Fig. 2

Zmienność stanów wód w Dunajcu w Żabnie (229 kilometr doliny); na osi odciętych — czas w miesiącach, na osi rzędnych — stan wody w m. Wg Roczn. Hydrogr. 1945

Water level variation in the Dunajec river at Zabno (229th km of valley); time in months (abscissa), water level in metres (ordinate). (Rocznik Hydrograficzny, 1945)

Transport żwiru w łóżysku Dunajca nie jest ciągły, lecz ogranicza się do wysokich stanów wody. Przy niskim stanie wody nie obserwuje się żadnego przemieszczania materiału w łóżysku rzeki. Koryto Dunajca wysłane jest warstwą przemytego żwiru składającego się z dużych otoczków, która opancerza dno chroniąc przed erozją przy niskich stanach wody niżej leżące warstwy niewysortowanego żwiru i piasku.

Swobodny transport żwiru w dolinie Dunajca przerwany został przed dwudziestu laty, z chwilą przegrodzenia doliny zaporą w Rożnowie, a później i w Czchowie. Poniżej zapory w Czchowie ma dziś miejsce intensywna erozja wgłębna i boczna. Dunajec wcina się tutaj w swoje aluwia. Materiał tatrzański niesiony przez Dunajec poniżej zapory w Czchowie pochodzi — z wyjątkiem części otoczków kwarcytowych — z najniższego tarasu. Transport jego podzielić można na dwa etapy: etap pierwszy zakończył się depozycją w holocenijskim tarasie poniżej Czchowa, etap drugi trwa dzisiaj.

Wpływ zapór na warunki transportu w dolnym biegu Dunajca nie jest zbyt duży. Z reguły w czasie silnych przyborów w górnym biegu oba zbiorniki nie wystarczają do zmagazynowania wody i po wypełnieniu ich nadmiar wód jest wypuszczany przez zapory. Panująca w górnym biegu periodiczność i gwałtowność transportu zostaje więc zachowana i poniżej zapór. Współczesny transport żwirów w dolinie Dunajca odbywa się więc na całej długości rzeki w warunkach porównywalnych.

PROCESY DZIAŁAJĄCE W CZASIE TRANSPORTU ŻWIRÓW

Skład petrograficzny żwirów pochodzenia rzecznoego zmienia się w kierunku dolnego biegu rzeki; zmienia się też wielkość otoczków i ich cechy geometryczne: kształt, kulistość i stopień obtoczenia. Zmienność cech żwirów spowodowana jest działającymi w czasie transportu procesami niszczenia otoczków oraz sortowaniem materiału. Zależności istniejące pomiędzy długością transportu a zmiennością cech żwirów poznane są jeszcze słabo. Świadczą o tym duże rozbieżności panujące w poglądach autorów zajmujących się tymi problemami.

Niszczenie transportowanych fragmentów skalnych i selektywny transport

Niszczenie transportowanych fragmentów skalnych polegać może na ścieraniu, rozbijaniu lub rozgniataciu (Marshall 1927/28, fide Pettijohn 1949). Procesy te regulują wielkość, stopień obtoczenia i kulistość otoczków. Ścieranie powoduje powolne zmniejszanie się średnic oraz wzrost stopnia obtoczenia i kulistości otoczków. Rozbijanie prowadzi do szybkiego zmniejszania się średnic oraz spadku stopnia obtoczenia i kulistości.

Ma ono miejsce w materiale niewysortowanym i podlegają mu drobne frakcje żwirowe, które są rozbijane przez większe otoczaki. Ziarna piasku ulegają rozginiataniu przez większe otoczaki. Produktem ścierania i rozginiatania jest materiał pelityczny.

W przypadku żwirów polimiktycznych niszczenie ziarn przebiega selektywnie prowadząc do eliminacji otoczek skał mniej odpornych. Dlatego zmienność wielkości, stopnia obtoczenia i kulistości powinna być badana w odniesieniu do otoczek jednego typu skały, dla uniknięcia wpływu selektywnego niszczenia na zmienność poszczególnych cech.

Selektywny transport różnicuje materiał pod względem wielkości i kształtu otoczek. Tak więc poszczególne cechy otoczek mają różne znaczenie przy analizie przebiegu transportu i sedymentacji żwirów. Stopień obtoczenia związany jest tylko ze ścieraniem w czasie transportu i „odzwierciedla on całą długość transportu niezależnie od warunków sedymentacji panujących w miejscu depozycji“ (Krumbein 1940). Natomiast wielkość, kształt, i związana z nim kulistość otoczek zależą zarówno od procesów niszczenia, jak i od selektywnego transportu. Dlatego, zdaniem Krumbeina, wielkość i kształt otoczek odzwierciedlają warunki sedymentacyjne panujące w miejscu depozycji.

Charakter zmienności składu petrograficznego żwiru o określonym składzie wyjściowym zależy od selektywnego niszczenia otoczek w czasie transportu. Selektywny transport różnicujący materiał o podobnej frakcji ze względu na ciężar właściwy jest możliwy, wydaje się jednak, że w przypadku żwirów Dunajca, złożonych ze skał o zbliżonych ciężarach właściwych, wpływ takiej selekcji można pominąć.

Wielkość transportowanych fragmentów skalnych

Zmniejszanie się wielkości średnic otoczek wskutek ścierania następującego w czasie transportu podlega prawu Sternberga, które wyraża się wzorem:

$$S = S_0 e^{-kx}$$

We wzorze tym S oznacza średnicę otoczaka, S_0 — średnicę początkową otoczaka, e — podstawę logarytmu naturalnego, x — długość drogi transportu, k — współczynnik stały dla danego rodzaju skały, zależny od szybkości transportu i średniej średnicy materiału towarzyszącego (Matakie-wicz 1936, Pettijohn 1949).

Na podstawie doświadczeń nad ścieraniem otoczek w młynach kulowych Krumbein (1941) stwierdził, że wielkość otoczek zmniejsza się podczas transportu z malejącą szybkością, lecz stale. W swej wcześniej-

szej pracy autor ten stwierdza (1940), że przy braku selektywnego transportu średnia wielkość materiału transportowanego i kształt krzywej rozkładu wielkości pozostaje bez zmiany nawet przy silnym ścieraniu. Średnia wielkość nie wykazuje w tym przypadku systematycznych zmian ze zwiększającą się długością drogi transportu. Zmiany średniej wielkości są zatem raczej wynikiem selektywnego transportu niż ścierania ziarn. Plumley (1948) stwierdza, że zmniejszanie się średniej średnicy materiału transportowanego spowodowane jest w 80% selektywnym transportem, a w 20% ścieraniem ziarn.

Stopień obtoczenia i kulistość otoczków

Stopień obtoczenia i kulistość otoczków mogą być wyrażone i mierzone różnymi sposobami. Wyczerpujący przegląd definicji i metod pomiaru stopnia obtoczenia i kulistości podany jest w podręczniku Krumbeina i Pettijohna (1938). W praktyce sedymentologicznej przyjęły się powszechnie definicje tych cech podane przez Wadella, przede wszystkim ze względu na łatwy sposób dokonywania pomiarów wielkości tych cech. Według definicji Wadella (1934, fide Krumbein & Pettijohn 1938), kulistość otoczaka jest stosunkiem objętości otoczaka do objętości kuli opisanej na otoczaku. Po przekształceniu wzoru kulistość można wyrazić jako stosunek średnicy kuli o objętości równej objętości otoczaka do średnicy kuli opisanej na otoczaku — to jest do najdłuższej osi otoczaka. Stopień obtoczenia określony jest jako średni stosunek promieni krzywizn mierzonych na krawędziach otoczaka w dowolnym przekroju do promienia koła wpisanego w ten przekrój (Wadell 1932). Tak określone kulistość i stopień obtoczenia są liczbami niemianowanymi i pozornie niezależnymi od siebie. Najwyższa ich wartość wynosić może 1, najniższa 0.

Doświadczenia nad zmiennością kulistości i stopnia obtoczenia wywołaną ścieraniem w czasie transportu wykazały, że wielkości liczbowe tych cech nie rosną nieograniczenie, lecz zbliżają się w sposób asymptotyczny do pewnych wartości granicznych, niższych od absolutnej granicy wynikającej z definicji, to jest jedności. Wartości graniczne dla tych cech są wprost proporcjonalne do wielkości otoczków.

Poglądy na wpływ selektywnego transportu na zmienność kulistości ziarn są bardzo rozbieżne. W literaturze podręcznikowej rozpowszechnione jest zdanie, że transport przez wleczenie prowadzi do koncentracji ziarn o wysokiej kulistości, które są łatwiej toczzone niż ziarna o kształcie odbiegającym od kulistego. Transport w zawieszinie prowadzić ma natomiast do koncentracji ziarn o niskiej kulistości, które mają stosunkowo mniejsze szybkości opadania. Pogląd ten został potwierdzony doświadczalnie przez Krumbeina (1942a, fide Pettijohn 1949). Znamienna jest przy

tym stwierdzona różnica w zachowaniu się w czasie transportu otoczków o tej samej kulistości a różnym kształcie.

Z drugiej strony częste są opisy faktów przeczących tym poglądom. Russel i Taylor (1937) stwierdzili w Mississippie spadek kulistości ziarn piasku w kierunku dolnego biegu i przypisywali to zjawisko rozbijaniu ziarn w czasie transportu. Udowodniono jednak (Plumley 1948), że interpretacja ta jest błędna, gdyż w górskich rzekach o dużej szybkości prądu kulistość i stopień obtoczenia ziarn piasku wzrastały z biegiem rzeki, chociaż wobec gwałtowności transportu intensywność rozbijania ziarn powinna być tu większa niż np. w dolnym biegu Mississippiego.

Spadek kulistości w kierunku dolnego biegu rzeki we frakcjach żwirowych opisany został przez Petránka (1952). Wyniki Petránka nie mogą być jednak miarodajne, gdyż jak podkreśla Horniš (1953), pomiary zostały dokonane na próbach różniących się składem petrograficznym.

Orientacja otoczków

Otoczaki żwirów złożonych w łóżysku rzeki posiadają bardzo charakterystyczną orientację. Poszczególne otoczaki opierają się o siebie, przy czym płaszczyzny ich największego przekroju pochylone są w kierunku przeciwnym do kierunku prądu. Takie ułożenie otoczków spowodowane jest rozkładem sił działających na nie w czasie transportu w łóżysku rzeki. Zagadnienie to było szerzej omówione przez Beckera (1893). Dachówkowate ułożenie otoczków z płaszczyznami największego przekroju skierowanymi pod prąd stanowi charakterystyczną cechę żwirów. Otoczaki leżące pojedynczo na piasku ułożone są prawie zupełnie poziomo.

Zależność orientacji otoczków od ich kształtu i wielkości poznana jest jeszcze słabo, chociaż jej istnienie nie budzi wątpliwości. Cailleux (1945) stwierdza, że orientacja otoczków jest funkcją kształtu, oraz podaje, że otoczaki duże mają najsilniej uwydatniające się dachówkowate ułożenie. Krumbein (1940) stwierdził, że orientacja najdłuższych osi jest wyraźniejsza u otoczków o niskiej kulistości.

Interesujące dane o stosowaniu pomiarów orientacji otoczków dla celów rekonstrukcji paleogeograficznych podaje Sarkisjan i Klimowa (1955). Sarkisjan i Szapowałowa (1949) stwierdzili zależność orientacji otoczków od ich kształtu, a doświadczenia Kinda i Kucharenki (1948) wykazały, że orientacja otoczków zależy też od ich położenia w stosunku do brzegu. Otoczaki znajdujące się w środku doświadczalnego koryta miały dłuższe osie ustawione prostopadle do kierunku prądu, a przy obydwóch brzegach uprzywilejowany kierunek dłuższych osi odchylony był od kierunku prądu o około 45°.

METODYKA POBIERANIA PRÓB I POMIARÓW

Jednostka sedymentacyjna

Procesy zachodzące w środowisku sedymentacyjnym odzwierciedlane są przez cechy osadów. Ponieważ zbadanie całości żwirów Dunajca nie jest możliwe, jest rzeczą ogromnie ważną, by stosunkowo rzadko rozrzucone próby były porównywalne. Warunkiem porównywalności prób jest pobranie ich z jednej jednostki sedymentacyjnej, która została określona przez Otto (1938) jako warstwa osadu o pewnej miąższości złożona w zasadniczo stałych warunkach fizycznych. Zastrzeżenie to nie wyłącza istnienia określonej kierunkowej zmienności tych warunków.

Wszystkie próby użyte dla określenia zmienności cech żwirów Dunajca oraz ustalenia związku orientacji otoczków z ich kształtem i wielkością pobrane zostały z warstwy przemytego żwiru pokrywającego powierzchnię kamieńców. Warstwę tę uważać można za przynależną do jednej jednostki sedymentacyjnej. Miejsca pobrania prób starano się usytuować przy brzegu rzeki, jak najbliżej głównego nurtu. Średnia odległość między punktami pobrania prób wynosi około 15 km.

Wielkość otoczków

Zmienność wielkości transportowanych fragmentów skalnych w żwirach Dunajca została zbadana na przykładzie największych bloków i otoczków granitowych znajdujących na powierzchni kamieńców. W miejscu pomiaru przeszukiwano kilkaset metrów kwadratowych kamieńca i na obszarze tym mierzono najdłuższe osie największych bloków lub otoczków granitowych. Do skonstruowania wykresu zmienności maksymalnych średnic otoczków granitowych użyto tylko największych spośród pomierzonych w poszczególnych punktach wartości.

Skład petrograficzny żwiru

Analizę składu petrograficznego żwiru przeprowadzono dla klasy wielkości 64-128 mm, która dominuje ilościowo w żwirach Dunajca i posiada największe rozprzestrzenienie w dolinie rzeki, gdyż można było ją prześledzić w kamieńcach na długości około 230 km. W najwyższym biegu Czarnego Dunajca przeprowadzono analizę dla klasy wielkości 128-256 mm. W dolnym biegu rzeki analizowano również frakcje 32-64 mm i 16-32 mm. Wszystkie próby składały się ze 100 otoczków. Według Krumbeina (1942b) błąd prawdopodobny przy zbiorach tej wielkości wynosi 10,2%. Próby do analizy składu petrograficznego żwiru pobierano w ten sposób, że zbierano wszystkie otoczki mieszczące się w danej klasie wielkości z pewnej powierzchni kamieńca. Następnie liczone ilości otoczków różnych skał.

Kulistość i stopień obtoczenia

Kulistość otoczków mierzona była metodą Wadella (1934). Jak wspomniano wyżej, kulistość zdefiniowana jest jako stosunek objętości otoczaka do objętości opisanej na nim kuli. Objętość otoczaka mierzono zanurzając go w wypełnionym wodą naczyniu zaopatrzonym w umieszczony z boku otwór przelewowy i mierząc objętość uzyskanego nadmiaru wody przy pomocy menzurki. Największą średnicę otoczaka mierzono z dokładnością do 1 mm za pomocą linijki. Wartość liczbową kulistości odczytywano następnie z nomogramu.

Stopień obtoczenia oznaczany był wizualnie na podstawie pięciostopniowego schematu porównawczego połączonego z opisową klasyfikacją Pettijohna (1949).

Stopień obtoczenia i kulistość mierzone były na próbach złożonych z 50 otoczków. Wyniki pomiarów analizowano statystycznie metodą momentów. Dla każdej próby obliczano średnią arytmetyczną, średnią odchyłkę oraz moment trzeciego stopnia, będący współczynnikiem skośności (asymetrii, *skewness* w terminologii anglosaskiej) krzywej rozkładu wielkości mierzonej cechy w próbie.

Średnia arytmetyczna reprezentuje średnią wartość mierzonej cechy w próbie. Średnia odchyłka jest miarą wysortowania żwiru ze względu na daną cechę. Współczynnik skośności informuje o charakterze asymetrii krzywej rozkładu wielkości mierzonej cechy w próbie. Dodatni współczynnik wskazuje, że w próbie przeważają ilościowo otoczaki o wartości mierzonej cechy wyższej od średniej, ujemny — oznacza przewagę materiału o wartościach mierzonej cechy niższych od średniej. Szczegółowe omówienie metody momentów i wzory obliczeniowe znaleźć można w podręcznikach statystyki.

Orientacja otoczków

Orientacja otoczaka wyrażona jest przez wielkość i kierunek nachylenia najdłuższej osi oraz położenie płaszczyzny największego przekroju (Krumbein 1939). Płaszczyzna największego przekroju wyznaczona jest przez najdłuższą i średnią oś otoczaka. Pomiar orientacji sprowadza się więc do pomiaru azymutów i kątów nachyleń dłuższych osi otoczaka.

Bezpośredni pomiar azymutów i kątów nachylenia osi otoczaka tkwiącego w żwirowisku nie jest możliwy. Dla przeprowadzenia takich pomiarów opracowano różne metody oznaczania otoczaka w taki sposób, by położenie jego mogło być odtworzone po wyjęciu z osadu. Najpraktyczniejsza z tych metod została opisana przez Karlstroma (1952).

Postępując według tej metody, oznacza się otoczaki za pomocą płytki zaopatrzonej w dwie szczeliny tworzące krzyż o ramionach wzajemnie prostopadłych. Na płytce umieszczona jest libella górująca przy poziomym położeniu dwóch ramion krzyża. Trzymając płytkę ze spoziomowanym krzyżem równolegle do pionowej ściany odsłonięcia o pomierzonym poprzednio kierunku, rysuje się na otoczaku krzyż prowadząc ołówek w wyciętych w płytce szczelinach. Ponieważ, ogólnie biorąc, otoczek ograniczony jest powierzchniami krzywymi, narysowany na nim krzyż ulega deformacji i ma ramiona proste tylko wtedy, gdy posiada takie położenie w stosunku do obserwatora, jakie posiadał w stosunku do płytki w czasie rysowania krzyża. Ponieważ kierunek ściany odsłonięcia, równolegle do której ustawiana była płytka, jest znany, można odtworzyć położenie płytki i położenie otoczaka wyjętego z odsłonięcia. Pomiar azymutów i kątów nachylenia osi wykonać można za pomocą specjalnego goniometru lub w warunkach polowych — kompasem geologicznym.

Aparatura Karlstroma dostosowana jest do pomiaru orientacji otoczaków tkwiących w pionowych odsłonięciach. Do pomiaru orientacji otoczaków na poziomych powierzchniach kamieńców konieczna więc była pewna modyfikacja aparatury. Płytkę z wyciętym krzyżem służącą do orientowania otoczaków została zaopatrzona w listwę umieszczoną równolegle do dwóch ramion krzyża. Przystępując do rysowania krzyża na otoczaku na płytce umieszczano kompas geologiczny przysuwając go dłuższym bokiem do listwy. Płytkę z kompasem obracano następnie tak, by głowa kompasu wskazywała kierunek północny i przy górującej libelli kompasu rysowano krzyż na otoczaku. Dla zorientowania tak narysowanego krzyża względem stron świata oznaczano kropką pn.-wschodnią ćwiartkę krzyża (pl. XLII, fig. 1).

Po wyjęciu otoczaka ze zwirowiska umieszczano go na kawałku płaszczyzny i trzymając nad nim płytkę zorientowaną identycznie jak przy rysowaniu krzyża ustawiano otoczek w ten sposób, by narysowany na nim krzyż ukazał się w szczelinach wyciętych w płytce. Następnie mierzono przy pomocy kompasu azymut, kierunek i wielkość upadu najdłuższej osi oraz kierunek i wielkość upadu osi średniej (pl. XLII, fig. 2). Azymutu średniej osi nie mierzono, gdyż różni się on o 90^0 od azymutu osi najdłuższej.

WYNIKI I ICH INTERPRETACJA

Zmienność wielkości transportowanych fragmentów skalnych

Zmienność maksymalnych obserwowanych średnic fragmentów skalnych transportowanych w łóżysku Dunajca została prześledzona na przykładzie bloków i otoczaków granitowych (fig. 3). W najwyższym biegu

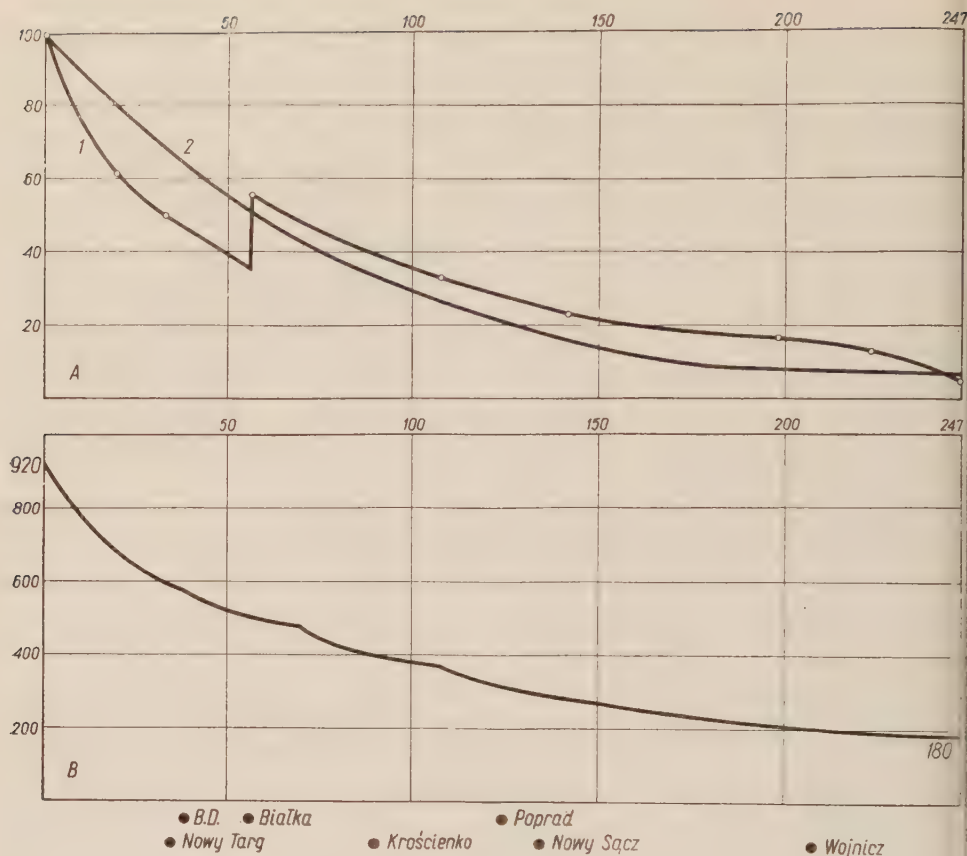


Fig. 3

A zmienność maksymalnych średnic głazów granitowych obserwowanych w dolinie Dunajca. 1 zmienność obserwowana, 2 zmienność obliczona według prawa Sternberga. Na osi rzędnych — średnica głazów w cm, na osi odciętych — długość drogi transportu w km. B gradient Dunajca. Na osi rzędnych — wysokość bezwzględna w m, na osi odciętych — długość doliny w km. Pod rysunkiem: miejsca połączenia się z Dunajcem dopływów niosących materiał tatrzański (B. D. Biały Dunajec) oraz położenie ważniejszych miejscowości

A Maximal diameter variation in granite boulders observed within the Dunajec Valley, 1 as measured, 2 as calculated according to Sternberg's law; diameter of boulders in cm (ordinate) — length of transport in km (abscissa).
 B Dunajec river gradient. Absolute altitude in m indicated by ordinate; length of valley in km by abscissa. Below the drawing: mouths of Dunajec tributaries carrying Tatra material (B. D. Biały Dunajec River) and position of some more important localities

Czarnego Dunajca, około 2 km poniżej wylotów dolin tatrzańskich, spotyka się bloki granitowe o metrowych średnicach. Po 35 kilometrach transportu, koło Nowego Targu, największe bloki spotykane w kamieńcach mają już tylko 0,5 m średnicy. Koło Nowego Sącza (135 km) największe obserwowane średnice wynoszą 25 cm, koło Wojnicza (208 km) 20 cm, przy ujściu Dunajca do Wisły (247 km) 5 cm. Nagły skok krzywej na 55 kilometrze doliny spowodowany jest donoszeniem grubszego materiału przez Białkę.

Wykres maksymalnych obserwowanych średnic bloków i otoczków granitowych porównany został z wykresem zmniejszania się średnic według prawa Sternberga. Jako średnicę początkową przyjęto największą średnicę bloków granitu obserwowaną u początku Czarnego Dunajca, to jest 1 metr, a za współczynnik k — wartość 0.000004, będącą średnią wartością podanych przez Matakiewicza (1936).

Jak wynika z wykresów, maksymalne średnice obserwowane i obliczone ujawniają dobrą zgodność w środkowym biegu Dunajca, natomiast w górnym i najniższym biegu rzeki średnice obserwowane są niższe od obliczonych. Krzywa obliczona według prawa Sternberga przedstawia zmniejszanie się średnic spowodowane działaniem abrazji. Przyspieszenie zmniejszania się obserwowanych średnic spowodowane jest sumowaniem się z działaniem abrazji dodatkowego czynnika, to jest selektywnego transportu związanego ze zmianami gradientu Dunajca. W górnym biegu istnieje duża różnica spadku pomiędzy potokami tatrzańskimi a doliną Czarnego Dunajca. W obrębie Kotliny Nowotarskiej ma więc miejsce bardzo intensywna akumulacja żwirów. W najniższym biegu Dunajca duże nasilenie selektywnego transportu i akumulacji związane jest z różnicą spadku doliny w obrębie Karpat i niziny Podkarpackiej.

Otoczaki, których średnice mierzono dla skonstruowania wykresu, nie wykazują śladów rozbijania. Jest to zgodne z przytoczonym wyżej (str. 221) opisem procesów działających w czasie transportu.

Zmienność składu petrograficznego żwiru

Skład petrograficzny żwirów pochodzenia tatrzańskiego w dolinie Dunajca zmienia się silnie z długością transportu (fig. 4). We frakcji 64-128 mm u wylotu Doliny Kościeliskiej w Tatrach Zachodnich dominują otoczaki skał węglanowych — wapieni i dolomitów — występujące w ilości 47%. Na drugim miejscu znajdują się granity występujące w ilości 20%, dalej kwarcyty 17%, łupki mikowe 6%, gnejsy 5% i amfibolity 5%. Inne skały tatrzańskie — margle, piaskowce i łupki — występują w ilościach kilkunastu pro mille.

W miarę oddalania się od Tatr skład petrograficzny żwiru staje się coraz bardziej monotony. Najszybciej, po 3 kilometrach, znikają z osadu łupki mikowe, po 35 kilometrach — amfibolity, po 50 kilometrach — wapienie, po 90 kilometrach — gnejsy. Proces eliminacji ze żwiru otoczków skał mało odpornych dokonuje się w zasadzie na przestrzeni pierwszych 35 kilometrów transportu. Koło Nowego Targu z materiału tatrzańskiego pozostają niemal wyłącznie otoczki kwarcytów i granitów. Biały Dunajec i Białka donoszą do doliny Dunajca materiał tatrzański składający się również wyłącznie z granitów i kwarcytów. Otoczki tych dwóch skał występują na całej długości doliny Dunajca a ich wzajemny stosunek ulega poważnym zmianom.

U wylotu Doliny Kościeliskiej granity przeważają nieznacznie nad kwarcytami. Na pierwszych 10 kilometrach następuje gwałtowny wzrost ilości granitów przy jednoczesnej eliminacji otoczków skał mało odpor-

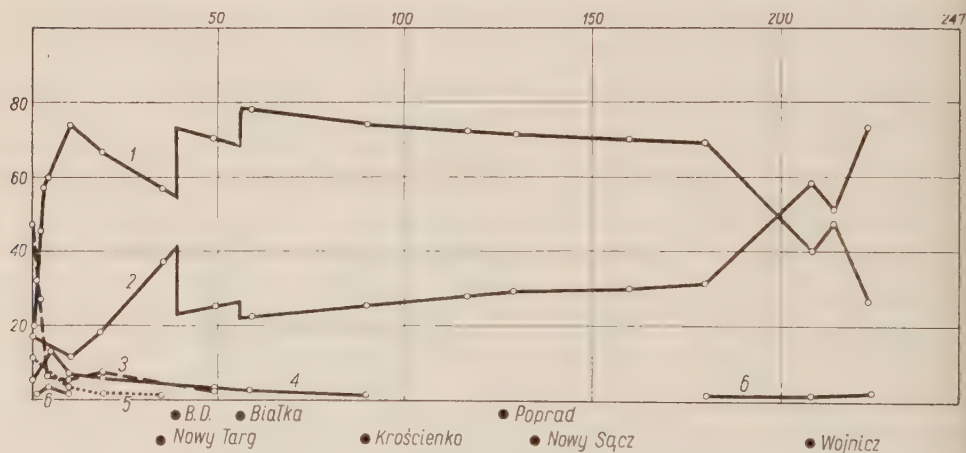


Fig. 4

Zmienność składu petrograficznego żwirów Dunajca w klasie wielkości 64-128 mm (tylko otoczki skał tatrzańskich). Na osi odciętych — długość drogi transportu w km, na osi rzędnych — zawartość otoczków w żwirze w %. 1 otoczki granitu, 2 otoczki kwarcytu, 3 otoczki skał węglanowych (wapieni i dolomitów), 4 otoczki gnejsu, 5 otoczki amfibolitu i łupków mikowych, 6 otoczki kwarcu żyłowego. Pod rysunkiem: miejsca połączenia się z Dunajcem dopływów niosących materiał tatrzański (B. D. Biały Dunajec) oraz położenie ważniejszych miejscowości

Variation of petrographic composition within the 64-128 mm grade of Dunajec gravels (pebbles of Tatra rocks only). Length of transport in km shown by abscissa; per cent pebble content in gravels by ordinate. 1 granite pebbles, 2 quartzite pebbles, 3 carbonate rock pebbles (of limestones and dolomites), 4 gneiss pebbles, 5 amphibolite and mica schists pebbles, 6 vein quartz pebbles. Below the drawing: mouths of Dunajec tributaries carrying Tatra material (B. D. Biały Dunajec River) and position of some more important localities

nych. Na odcinku pomiędzy Chochołowem a Nowym Targiem zwiększa się znacznie ilość otoczków kwarcytowych przy jednoczesnym spadku ilości granitów. Przy ujściach Białego Dunajca i Białki na odcinku doliny pomiędzy Nowym Targiem a Czorsztynem stosunki ilościowe pomiędzy granitami a kwarcytami zmieniają się skokowo wskutek donoszenia przez rzekę materiału bogatego w granity. W środkowym biegu rzeki, pomiędzy Czorsztynem a Czchowem, zmniejszanie się ilości granitów i wzrost liczby otoczków kwarcytowych następuje bardzo powoli, natomiast w dolnym biegu Dunajca, poniżej Czchowa, ma miejsce bardzo szybka eliminacja otoczków granitowych ze żwiru.

Wzbogacanie się żwirów Dunajca w otoczaki kwarcytowe spowodowane jest kilkoma procesami, których nasilenie jest różne na różnych odcinkach rzeki. Otoczaki kwarcytowe mają większą odporność na niszczenie mechaniczne niż otoczaki granitowe, ta różnica odporności jest jednak zbyt mała, by mogła wytłumaczyć tak odmienne zachowanie się otoczków granitowych i kwarcytowych, jakie obserwuje się w żwirach Dunajca.

Główną przyczyną szybkiego wzbogacania się żwirów w otoczaki kwarcytowe w górnym biegu rzeki jest donoszenie przez dopływy Dunajca otoczków kwarcytowych ze starszych tarasów, które — jak wykazał Halicki (1930, 1947) — są silnie zubożałe w granity. Plejstocenijskie tarasy Dunajca są szczególnie dobrze rozwinięte na obszarze Kotliny Nowotarńskiej. W środkowym biegu Dunajca, gdzie dolina jego jest przeważnie wąska, tarasy mają znacznie mniejsze rozprzestrzenienie, dlatego donoszenie starych otoczków kwarcytowych do łóżyska rzeki zachodzi tu na znacznie mniejszą skalę. Na zjawisko wzbogacania się żwirów Dunajca w otoczaki kwarcytowe pochodzące ze starszych tarasów zwrócił uwagę w odniesieniu do żwirów plejstocenijskich Klimaszewski (1937).

W dolnym biegu Dunajca przyczyną szybkiego eliminowania ze żwiru otoczków granitowych jest wietrzenie, które powoduje znaczne obniżenie ich wytrzymałości mechanicznej. Otoczaki granitowe na tym odcinku doliny ujawniają, po rozbiciu ich młotkiem, istnienie kory wietrzeniowej sięgającej na głębokość około 2 cm. Grubość kory wietrzeniowej można łatwo rozpoznać, gdyż skała zwiertzała jest zabarwiona na kolor brązowy przez wodorotlenki żelaza pochodzące z rozkładu biotyty. Gwałtowne zmniejszanie się ilości otoczków granitowych ma miejsce na tym odcinku rzeki we wszystkich klasach wielkości, lecz prędkość tego procesu jest różna dla różnych klas wielkości.

Na podstawie wykresu składu petrograficznego żwiru dla różnych klas wielkości (fig. 5) proces ten można odtworzyć następująco: otoczaki frakcji 64-128 mm rozpadają się najpierw na fragmenty o średnicach mieszczących się w klasie wielkości 16-32 mm, gdyż dla tej frakcji krzy-

wa procentowej zawartości otoczków granitowych w żwirze podnosi się. Z kolei fragmenty te ulegają szybkiemu rozpadowi na okruchy drobniejsze, przechodząc do frakcji piaszczystej.

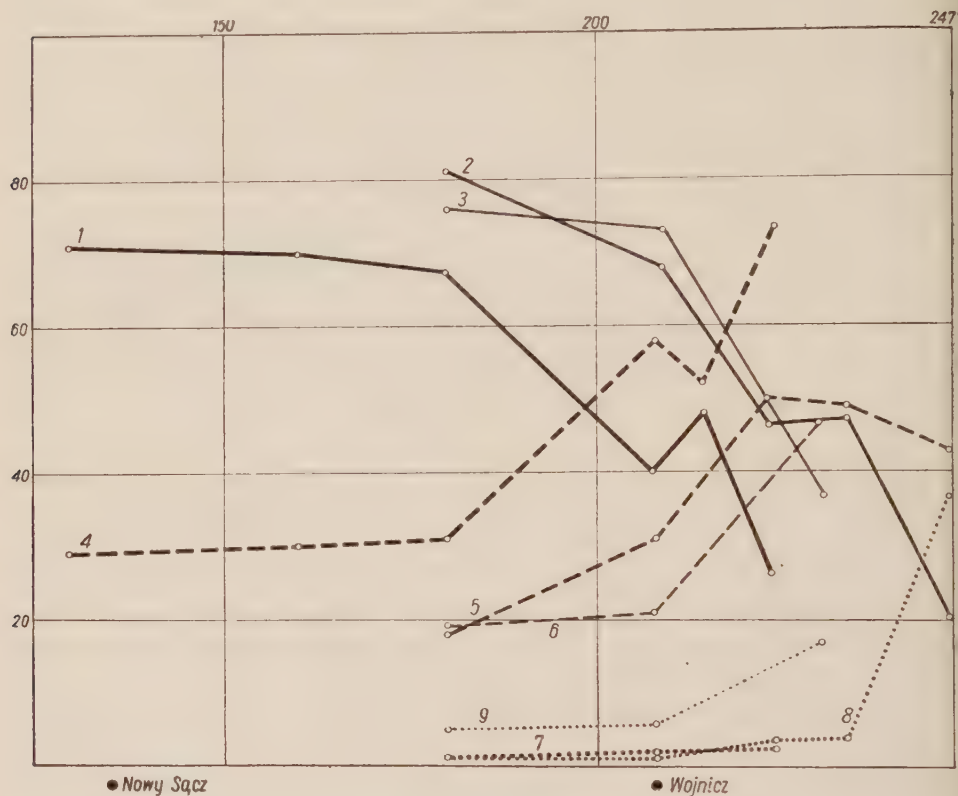


Fig. 5

Zmienność składu petrograficznego żwiru (tylko otoczki skał tatrzańskich) w dolnym biegu Dunajca. Linia ciągła: otoczki granitu, 1 o średnicach 64-128 mm, 2 o średnicach 32-64 mm, 3 o średnicach 16-32 mm. Linia przerywana: otoczki kwarcytu, 4 o średnicach 64-128 mm, 5 o średnicach 32-64 mm, 6 o średnicach 16-32 mm. Linia kropkowana: otoczki kwarcu, 7 o średnicach 64-128 mm, 8 o średnicach 32-64 mm, 9 o średnicach 16-32 mm. Na osi rzędnych — zawartość otoczków w żwirze w %, na osi odciętych — długość drogi transportu w km. Pod rysunkiem: położenie ważniejszych miejscowości

Variation of petrographic composition of gravel along the lower course of the Dunajec (Tatra rock pebbles only). Continuous line: granite pebbles, 1 64-128 mm grade, 2 32-64 mm grade, 3 16-32 mm grade. Broken line: quartzite pebbles, 4 64-128 mm grade, 5 32-64 mm grade, 6 16-32 mm grade. Dotted line: quartz pebbles, 7 64-128 mm grade, 8 32-64 mm grade, 9 16-32 mm grade. Per cent pebble content in gravel shown by ordinate, length of transport in km by abscissa.

Position of some more important localities shown below the drawing

Charakterystyczne jest występowanie w klasie wielkości 64-128 mm otoczek żyłowego kwarcu: pojawiają się one w niewielkiej ilości powyżej połączenia potoków Kościeliskiego (Kirowa Woda) i Chochołowskiego (Siwa Woda), przynieszone przez ten ostatni, a następnie nikną w miejsce innego materiału. Jako najtwardsze ze wszystkich skał tatrzańskich, ulegają mechanicznemu wzbogacaniu w czasie transportu i po 180 kilometrach znów pojawiają się w żwirze w ilości ponad 1%, przy czym ilość ta stale wzrasta.

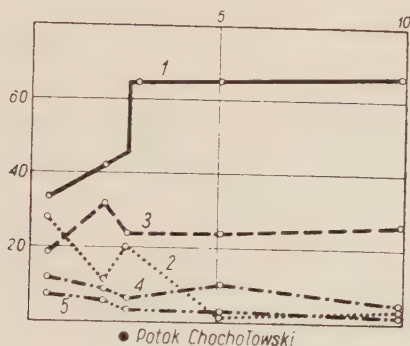


Fig. 6

Zmienność składu petrograficznego żwiru w najwyższym biegu Czarnej Dunajca. Klasa wielkości 128-256 mm. 1 otoczki granitu, 2 otoczki skał węglanowych (wapieni i dolomitów), 3 otoczki kwarcytu, 4 otoczki gnejsu, 5 otoczki amfibolitu i łupków mikowych. Na osi rzędnych — zawartość otoczek w żwirze w %, na osi odciętych — długość drogi transportu w km

Variation of petrographic composition of the 128-256 mm grade of gravel in the uppermost course of the Czarny Dunajec River. 1 granite pebbles, 2 carbonate rock pebbles (of limestones and dolomites), 3 quartzite pebbles, 4 gneiss pebbles, 5 amphibolite and mica schists pebbles. Per cent pebble content in gravel indicated by ordinate; length of transport in km by abscissa

W klasie wielkości 128-256 mm analizę składu petrograficznego przeprowadzono tylko dla najwyższych 10 kilometrów biegu Czarnej Dunajca. Niżej ilość otoczek skał tatrzańskich jest w tej klasie wielkości zbyt mała, by można było z dostateczną dokładnością stwierdzić stosunki ilościowe pomiędzy różnymi rodzajami skał (fig. 6). U wylotu Doliny Kościeliskiej skład petrograficzny żwiru jest w tej klasie wielkości nieco inny niż we frakcji 64-128 mm. Najliczniejsze są otoczki granitowe — 20%, drugie miejsce zajmują wapienie — 31%, dalej kwarcyty 17%, gnejsy 12%, amfibolity 5%, łupki mikowe 3%. W czasie transportu wzrasta ilość otoczek granitowych i kwarcytowych. Pozostałe typy skał są eliminowane, przy czym kolejność szybkości eliminacji jest taka sama, jak w klasie wielkości 64-128 mm.

Dolomity stanowią około 10% otoczków skał węglanowych (fig. 7). Ilość ich wzrasta poniżej połączenia się potoków Kościeliskiego i Chochołowskiego, co jest związane z występowaniem w dolnej części Doliny Chochołowskiej dużego kompleksu dolomitów środkowego triasu płaszczowiny regłowej chochańskiej. Wzrost ilości dolomitów zaznacza się tylko na bardzo krótkim odcinku rzeki. Niewielka ilość otoczków dolomitowych w żwirach Czarnego Dunajca nie jest proporcjonalna do udziału dolomi-

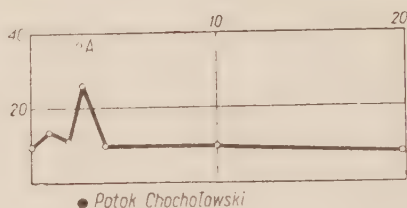


Fig. 7

Zawartość dolomitów w otoczkach skał węglanowych w najwyższym biegu Czarnego Dunajca. Klasa wielkości 16-256 mm. Na osi rzędnych — zawartość dolomitów w otoczkach skał węglanowych w %, na osi odciętych — długość drogi transportu w km. A zawartość dolomitów w otoczkach skał węglanowych w Potoku Chochołowskim

Dolomite content in the 16-256 mm grade of carbonate rock pebbles, along the uppermost course of the Czarny Dunajec River. Per cent dolomite content in carbonate rock pebbles shown by ordinate, length of transport in km by abscissa.

A dolomite content in carbonate rock pebbles from the Chochołowski Stream

tów w budowie osadowych serii tatrzańskich. Spowodowane to jest bardzo silnym zbrekcjowaniem dolomitów, które dostawszy się do łóżyska rzeki rozbijane są na drobny żwirek i szybko rozgniatane.

W górnym biegu Czarnego Dunajca obserwować można wietrzenie chemiczne otoczków skał węglanowych. Na powierzchniach większych bloków wystających nieco ponad poziom wody (przy niskim jej stanie) widoczne są żłobki typowe dla korozji chemicznej. Tworzenie się żłobków zachodzi prawdopodobnie przy wyższych stanach wody, gdy powierzchnie bloków są zalane. Proces ten przebiega zapewne dość szybko, gdyż w czasie dużych przyborów wody, które wprawiają w ruch żwirowisko, powierzchnie bloków są na nowo wygładzane. Proces eliminowania z osadu skał mało odpornych zachodzi przy udziale zarówno niszczenia mechanicznego, jak i chemicznego. W żwirach Dunajca uszeregowanie otoczków według wzrastającej odporności jest takie same dla obu tych procesów, skutki ich sumują się zatem.

Zmienność kulistości i stopnia obtoczenia

Zmienność kulistości otoczków granitowych we współczesnych żwi-
rach Dunajca przedstawiona jest na fig. 8. Średnia kulistość wzrasta
w górnym i środkowym biegu rzeki, natomiast w dolnym biegu wartość

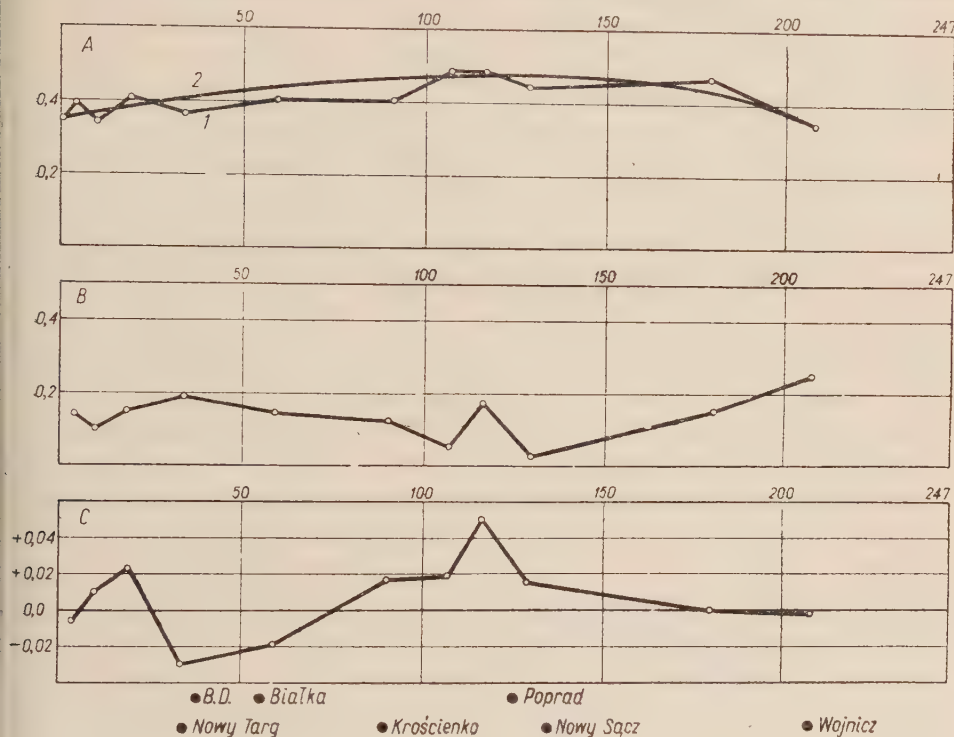


Fig. 8

Zmienność kulistości otoczków granitu w klasie i wielkości 64-128 mm. A średnia kulistość. 1 zmienność pomierzona, 2 wyinterpolowana krzywa zmienności. Na osi rzędnych — średnia kulistość, na osi odciętych — długość drogi transportu w km. B średnia odchyłka kulistości. Na osi rzędnych — wartości średniej odchyłki, na osi odciętych — długość transportu w km. C współczynnik skośności kulistości. Na osi rzędnych — wartości współczynnika skośności, na osi odciętych — długość drogi transportu w km. Pod rysunkiem: miejsca połączenia się z Dunajcem dopływów niosących materiał tatrzański (B. D. Biały Dunajec) oraz położenie ważniejszych miejscowości

Sphericity variation in the 64-128 mm grade of granite pebbles. A mean sphericity. 1 plotted variation curve, 2 interpolated variation curve; mean sphericity shown by ordinate, length of transport in km by abscissa. B mean sphericity deviation. Value of mean sphericity deviation shown by ordinate, length of transport in km by abscissa. C sphericity skewness coefficient. Skewness coefficient values shown by ordinate, length of transport in km by abscissa. Below the drawing: mouths of Dunajec tributaries carrying Tatra material (B. D. Biały Dunajec River) and the position of some more important localities

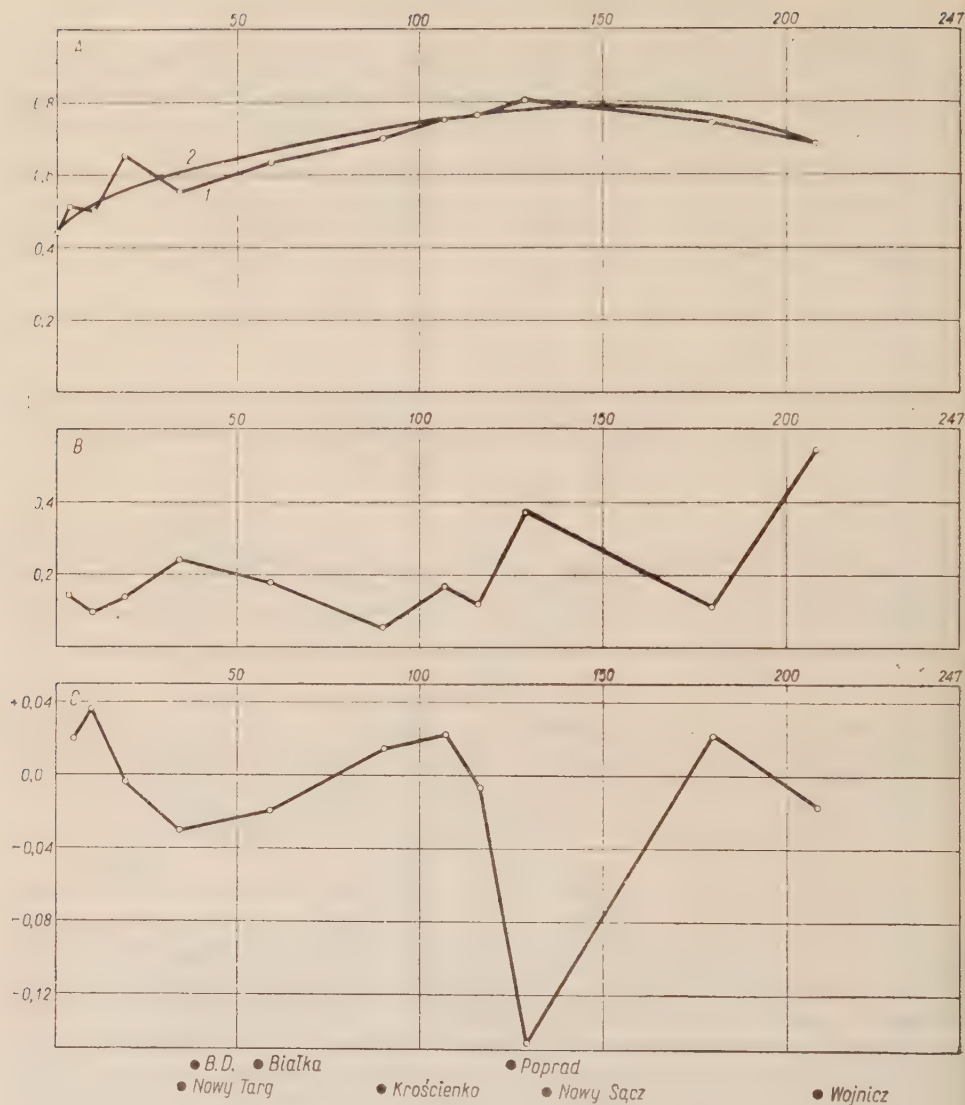


Fig. 9

Zmienność stopnia obtoczenia otoczków granitu w klasie wielkości 64-128 mm. A średni stopień obtoczenia. 1 zmienność pomierzona, 2 wyinterpolowana krzywa zmienności. Na osi rzędnych — wartości stopnia obtoczenia, na osi odciętych — długość drogi transportu w km. B średnia odchyłka stopnia obtoczenia. Na osi rzędnych — wartości średniej odchyłki, na osi odciętych — długość drogi transportu w km. C współczynnik skośności stopnia obtoczenia. Na osi rzędnych — wartości współczynnika skośności, na osi odciętych — długość drogi transportu w km. Pod rysunkiem: miejsce połączenia się z Dunajcem dopływów niosących materiał tatrzański (B. D. Biały Dunajec) oraz położenie ważniejszych miejscowości

jej zmniejsza się znacznie. U wylotu Doliny Kościeliskiej wartość średniej kulistości wynosi 0,34. Wartość najwyższa — 0,48 osiągnięta jest po 107 kilometrach transportu (Łącko). Na 208 kilometrze doliny Dunajca (Wojnicz) wartość średniej kulistości wynosi już tylko 0,34. Średnia odchyłka i współczynnik skośności kulistości nie wykazują systematycznych zmian w czasie transportu.

Fig. 9 przedstawia zmienność stopnia obtoczenia, która przebiega podobnie jak zmienność kulistości. Średni stopień obtoczenia rośnie w górnym i środkowym biegu rzeki, zmniejsza się natomiast w dolnym biegu. U wylotu Doliny Kościeliskiej średni stopień obtoczenia wynosi 0,44. Po 130 kilometrach transportu średni stopień obtoczenia osiąga wartość najwyższą — 0,80, po czym spada do wartości 0,68 na 208 kilometrze doliny. Średnie odchylenie i współczynnik skośności stopnia obtoczenia nie wykazują systematycznych zmian w czasie transportu.

Wartości stopnia obtoczenia i kulistości pomierzone u wylotu Doliny Kościeliskiej nie mogą być uważane za wartości początkowe charakteryzujące świeży rumosz granitowy, gdyż są one wynikiem transportu otoczek granitu w dolinach tatrzańskich na przestrzeni około 8 kilometrów. Dlatego w najwyższym biegu Czarne Dunajca nie obserwuje się gwałtownego wzrostu stopnia obtoczenia i kulistości. Szczególnie interesujący jest natomiast spadek średniej kulistości i średniego stopnia obtoczenia w dolnym biegu rzeki.

Spadek ten nie może być wynikiem rozbijania otoczek, gdyż w górnym biegu rzeki przy znacznie gwałtowniejszym transporcie kulistość i stopień obtoczenia gwałtownie wzrastają. Podkreślić należy, że przy pomiarach kulistości i stopnia obtoczenia nie brano pod uwagę otoczek zwięzrałych.

Fig. 10 przedstawia osiowe współczynniki kształtu otoczek granitowych w różnych klasach wielkości. Diagramy osiowych współczynników kształtu, wprowadzone do praktyki sedymentologicznej przez Zinniga (1935), pozwalają na odwzorowanie kształtu otoczka w postaci jednego punktu, którego rzędna jest miarą stosunku osi średniej do najdłuższej, a odcięta — miarą stosunku osi najkrótszej do średniej. Jak wynika z fig. 10, kulistość otoczek jest odwrotnie proporcjonalna do ich wiel-

Roundness variation within the 64-128 mm grade of granite pebbles. A mean roundness. 1 plotted variation curve, 2 interpolated variation curve. Roundness values shown by ordinate, length of transport in km by abscissa. B mean roundness deviation. Mean deviation values shown by ordinate, length of transport in km by abscissa. C skewness coefficient of roundness. Skewness coefficient values shown by ordinate, length of transport in km by abscissa. Below the drawing: mouths of Dunajec tributaries carrying Tatra material (B. D. Biały Dunajec River) and the position of some more important localities

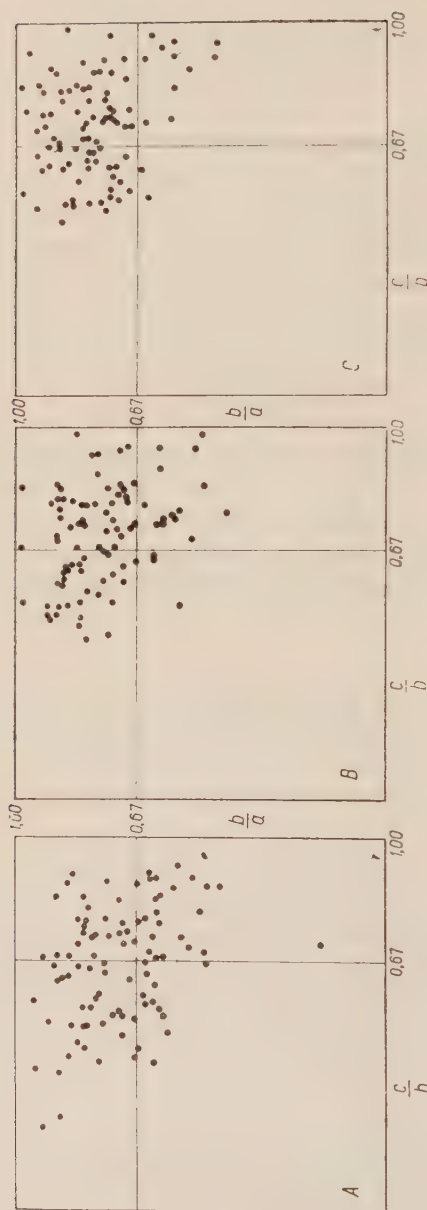


Fig. 10

Osiowe współczynniki kształtu otoczków granitu w trzech klasach wielkości. Pomiar wykonany w Czorsztynie, na 59 kilometrze doliny Dunajca. A klasa wielkości 64-128 mm, B klasa wielkości 32-64 mm, C klasa wielkości 16-32 mm; a oś najdłuższa, b oś średnia, c oś najkrótsza

Axial shape coefficients in the three grades of granite pebbles. Measurements taken at Czorsztyn at the 59th km of the Dunajec Valley, A 64-128 mm grade, B 32-64 mm grade, C 16-32 mm grade; a longest axis, b intermediate axis, c shortest axis

kości. Nie można więc wiązać spadku kulistości w dolnym biegu Dunajca z zanikaniem frakcji 64-128 mm i występowaniem w żwirze otoczków o rozmiarach zbliżonych do dolnej granicy frakcji to jest 64 mm, w przeciwieństwie do środkowego i górnego biegu, gdzie rozkład wielkości otoczków jest w granicach frakcji równomierny lub skupiony przy górnej granicy frakcji to jest 128 mm. Stosunki we frakcjach żwirowych są więc odmienne niż we frakcjach piaszczystych, z których wielokrotnie opisano wprost proporcjonalną zależność kulistości ziarn od ich wielkości.

Brak systematycznej zmienności średniej odchyłki kulistości dowodzi, że w czasie transportu nie następuje sortowanie otoczków pod względem kulistości. Jako wytłumaczenie zmniejszania się kulistości w dolnym biegu rzeki pozostaje więc transport selektywny pod względem kształtu otoczków.

Jak wspomniano wyżej (str. 223), podręczniki sedymentologiczne (na przykład Pettijohn 1949) reprezentują pogląd, że koncentracja ziarn o niskiej kulistości następuje przy transporcie w zawieszynie. Oczywiście transport w zawieszynie otoczków o kilkucentymetrowej średnicy nie jest możliwy. Można natomiast uzasadnić logicznie selekcję ziarn prowadzącą do koncentrowania się w osadzie otoczków o niskiej kulistości w czasie transportu przez wleczenie.

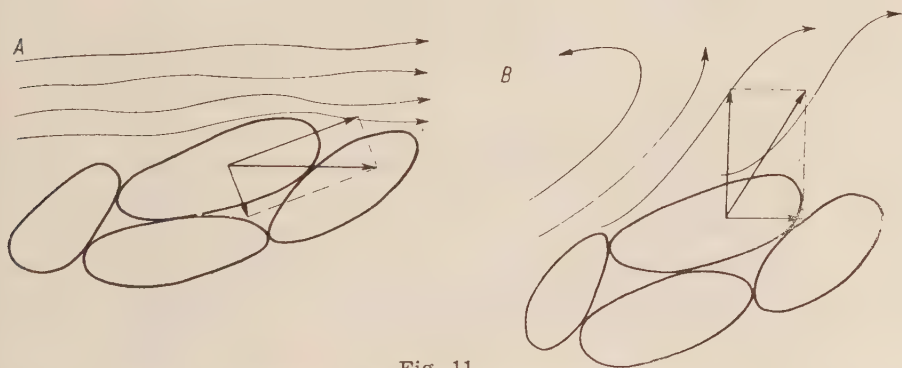


Fig. 11

Rozkład sił działających na otoczek. A przy małej turbulencji, B przy dużej turbulencji

Pattern of forces acting on a pebble. A at weak turbulence, B at strong turbulence

W danej klasie wielkości otoczki o małej kulistości mają mniejszą objętość a co za tym idzie i wagę, niż otoczki o kształcie zbliżonym do kuli. Wynika stąd, że otoczki o małej kulistości powinny być łatwiej transportowane przez prąd. W ten sposób kształt wpływa niejako pośrednio na łatwość transportowania otoczków przez wodę. Istnieje jednak również wpływ bezpośredni.

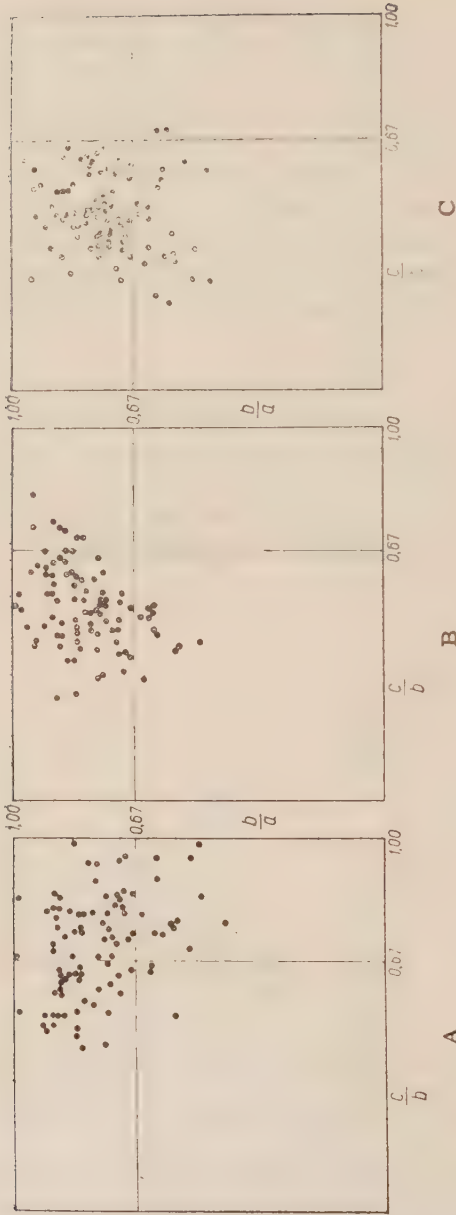


Fig. 12

Osiowe współczynniki kształtu otoczków granitu w klasie wielkości 64-128 mm. A po 59 km transportu, B po 112 km transportu, C po 214 km transportu; a oś najdłuższa, b oś średnia, c oś najkrótsza

Axial shape coefficients in the 64-128 mm grade of granite pebbles. A after 59 km of transport, B after 112 km of transport, C after 214 km of transport; a longest axis, b intermediate axis, c shortest axis

Nevin (1946) zwrócił uwagę na fakt bardzo ważny dla zrozumienia procesów zachodzących w czasie transportu. Stwierdził on, że przy małej turbulencji siła prądu jest przeważnie styczna do dna rzeki, natomiast przy silnej turbulencji jest przeważnie do niego prostopadła. Przy dominującym w żwirach rzecznych dachówkowatym ułożeniu otoczków z płaszczyznami największego przekroju skierowanymi pod prąd, siła działająca stycznie do dna rozkłada się w ten sposób, że jedna ze składowych przyciska otoczek do dna (fig. 11). Dla rozpoczęcia ruchu żwiru konieczne jest działanie siły skierowanej do góry, prostopadle do dna rzeki. Ponieważ otoczki o wysokiej kulistości mają większe szybkości opadania, niż otoczki odbiegające kształtem od kuli, te ostatnie będą łatwiej wprawiane w ruch. Nevin w cytowanej wyżej pracy stwierdza, że kształt odbiegający od kulistego ułatwia transport, przy czym wpływ kształtu na łatwość transportowania przez wodę wzrasta z rosnącą średnicą ziarn. U mułów i drobnoziarnistych piasków można go pominąć, u żwirów dochodzi on do 40%.

W celu stwierdzenia kształtu najłatwiej transportowanych otoczków wykonano pomiary osiowych współczynników kształtu. Porównanie wyników pomiarów wykonanych w trzech różnych punktach doliny Dunajca (fig. 12) pozwala stwierdzić, że w dolnym biegu koncentrują się otoczki płaskie. Spadek kulistości obserwowany w dolnym biegu rzeki jest więc związany z sortowaniem otoczków według kształtu. Należy przy tym podkreślić, że sortowanie według kształtu następuje wcześniej niż selekcja otoczków według ich wielkości wyrażonych największą średnicą.

Kulistość uważana jest często za jednoznaczny wskaźnik kształtu otoczków. Pogląd ten jest jednak niesłuszny, gdyż izolinie kulistości przebiegają ukośnie na diagramie współczynników osiowych przecinając pola różnych klas kształtu. Otoczki o tej samej kulistości mogą więc należeć do różnych klas kształtu i zachowywać się odmiennie w czasie transportu. Różnice w zachowaniu się otoczków o tej samej kulistości lecz różnych kształtach zostały stwierdzone laboratoryjnie przez Krumbeina (1942a). Kulistość nie może więc wyrażać w sposób jednoznaczny kształtu otoczków.

Związek kulistości ze stopniem obtoczenia

Kulistość i stopień obtoczenia są wzajemnie swoimi funkcjami. Stopień obtoczenia jest wprost proporcjonalny do kulistości, przy czym zależność ta ma charakter liniowy (fig. 13). Jak wynika z rysunku, w górnym biegu Dunajca stopień obtoczenia wzrasta znacznie szybciej niż kulistość. Równanie prostej 1 jest: $y = 4,33x + N$. Zaznaczający się w dolnym biegu rzeki spadek stopnia obtoczenia, związany ze spadkiem kulistości, jest znacznie powolniejszy. Równanie prostej 2 odpowiadającej dolnemu biegowi rzeki jest: $y = 0,59x + M$.

Zmiany stopnia obtoczenia w górnym biegu rzeki polegają na ścięciu nierówności otoczków i zaokrągłaniu ich naroży. Zmniejszanie się stopnia obtoczenia w dolnym biegu Dunajca nie oznacza pojawiania się

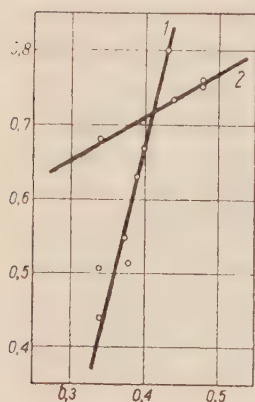


Fig. 13

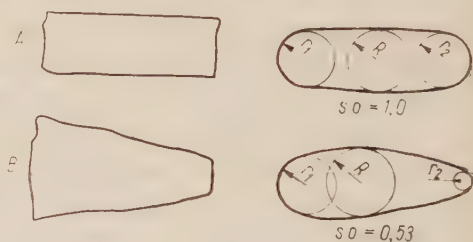
Współzależność stopnia obtoczenia i kulistości otoczków granitu w klasie wielkości 64-128 mm. 1 dla rosnącej kulistości i stopnia obtoczenia, 2 dla malejącej kulistości i stopnia obtoczenia. Na osi rzędnych — średni stopień obtoczenia, na osi odciętych — średnia kulistość

Roundness and sphericity interdependence within the 64-128 mm grade pebbles. 1 for increasing sphericity and roundness, 2 for decreasing sphericity and roundness. Mean roundness shown by ordinate; mean sphericity by abscissa

znów nierówności na powierzchniach otoczków lub ostrych krawędzi i naroży. Spadek stopnia obtoczenia jest w tym przypadku związany z kształtem otoczków. Według przytoczonej wyżej definicji Wadella stopień obtoczenia jest niezależny od kształtu otoczków. Tak jest w istocie,

Fig. 14

A otoczek wymodelowany z bryły równoległościennej. B otoczek wymodelowany z bryły o przekroju pryzmatycznym, o niższym stopniu obtoczenia
A pebble shaped out of a parallelepiped body. B pebble shaped out of a body with prismatic section, showing lower roundness



jeżeli otoczek został wymodelowany z bryły prostopadłościennej. Jeżeli jednak pierwotny kształt otoczka odbiegał od prostopadłościannu, stopień obtoczenia jest uzależniony od kształtu. Zależność tę ilustruje fig. 14.

Orientacja otoczków

W celu ustalenia zależności pomiędzy orientacją otoczków a ich kształtem i wielkością wykonano pomiary orientacji osi otoczków w różnych klasach wielkości i różnych klasach kształtu. Wyniki pomiarów zostały przedstawione na diagramach punktowych w układzie współrzędnych biegunowych. Dla zinterpretowania diagramów punktowych skonstruowano diagramy sektorowe orientacji otoczków: punkty przedstawiające położenie osi otoczków zostały zsumowane w sektorach po 30° .

przy czym za środek pierwszego sektora przyjmowano kierunek prądu w miejscu dokonania pomiaru. Na dwusiecznej sektora odmierzano następnie odcinek o długości proporcjonalnej do ilości punktów w sektorze.

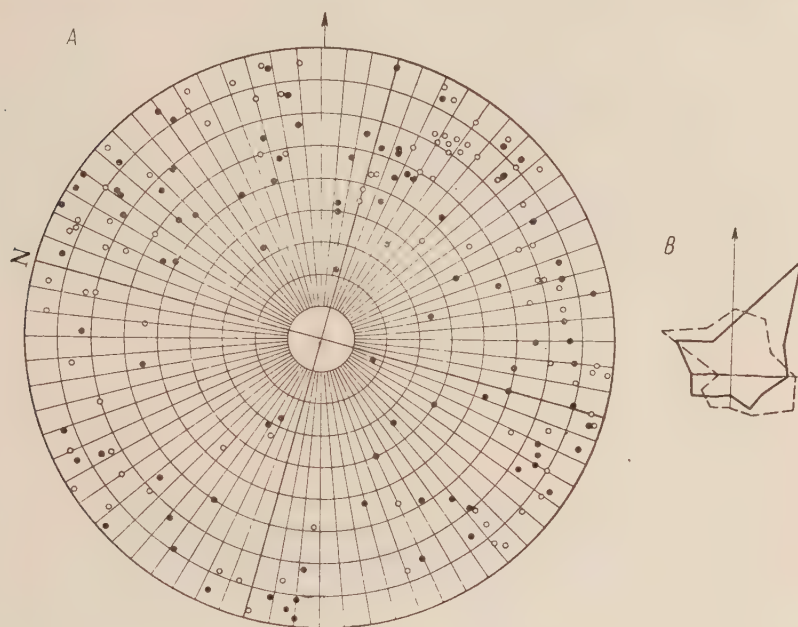


Fig. 15

Orientacja otoczków w klasie wielkości 128-256 mm

A diagramy punktowe, B sektorowe diagramy sumacyjne. Kółka i linie ciągłe — osie najdłuższe, kropki i linie przerywane — osie średnie. Strzałki wskazują kierunek prądu. N-kierunek północny

Orientation of pebbles of the 128-256 mm grade

A point diagrams, B sector summation diagrams. Empty circles and continuous lines indicate longest axes, dots and broken lines — intermediate axes. Direction of current marked by arrows. N northern direction

Z połączenia końców tych odcinków otrzymuje się figurę geometryczną obrazującą ilościowy rozkład kierunków osi otoczków. Diagramy te pozwalają odczytać dominujący kierunek nachylenia osi otoczków, na podstawie czego można odtworzyć uprzywilejowany kierunek nachylenia płaszczyzn największego przekroju otoczków. Wielkość kąta nachylenia osi otoczków została przedstawiona na osobnym rysunku.

Diagramy zestawione dla pomiarów otoczków różnej wielkości wykazują znamienne różnice (fig. 15, 16 i 17). Otoczki frakcji 128-256 mm posiadają uprzywilejowany kierunek najdłuższych osi zgodny z kierun-

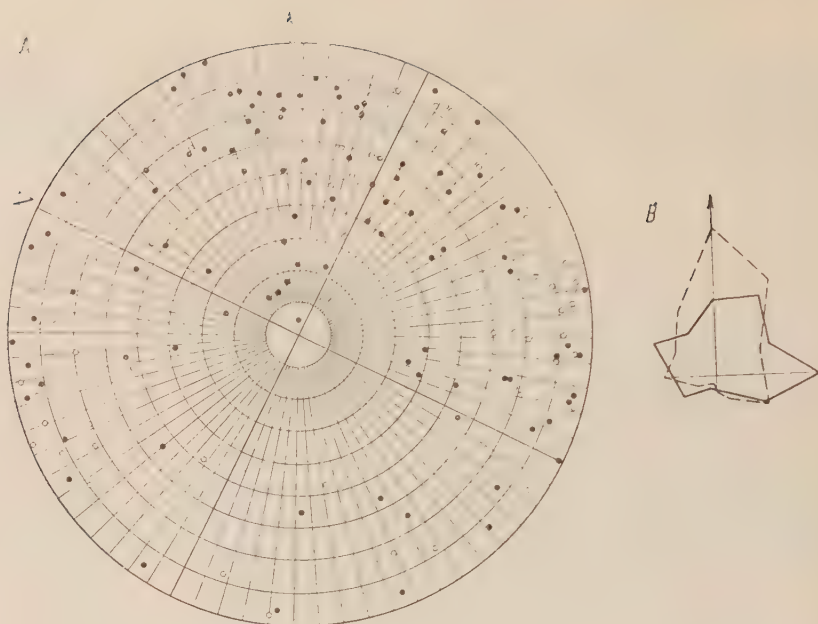


Fig. 16
Orientacja otoczków w klasie wielkości 64-128 mm
Orientation of pebbles in the 64-128 mm grade
Objaśnienia patrz fig. 15 For explanation see fig. 15

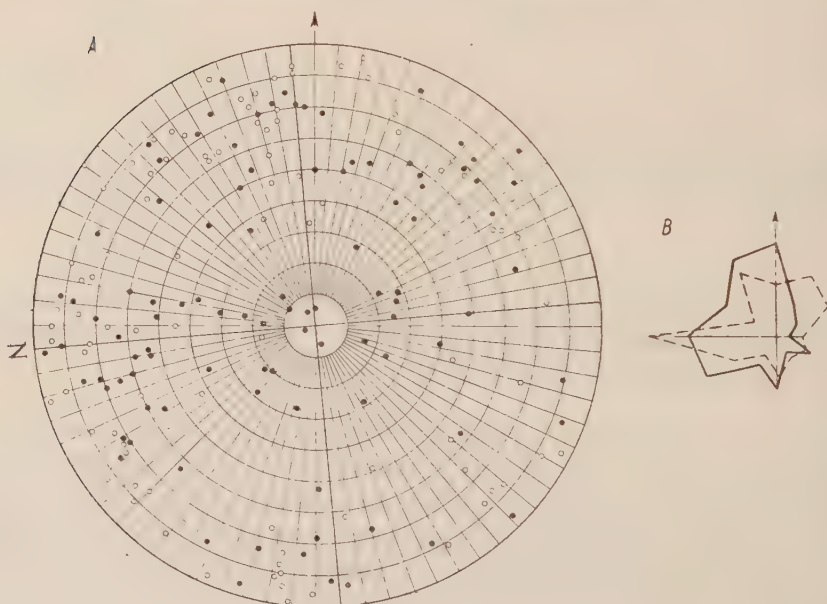


Fig. 17
Orientacja otoczków w klasie wielkości 32-64 mm
Orientation of pebbles in the 32-64 mm grade
Objaśnienia patrz fig. 15 For explanation see fig. 15

kiem prądu, uprzywilejowany zaś kierunek osi średnich — poprzeczny do kierunku prądu. Większość płaszczyzn największego przekroju otoczków pochylona jest pod prąd. Otoczaki frakcji 64-128 mm, która dominuje ilościowo w żwirach Dunajca, posiadają orientację odmienną. Uprzywilejowany kierunek najdłuższych osi jest prostopadły do kierunku prądu, natomiast osie średnie ustawione są w większości zgodnie z kierunkiem prądu. Dominują upady płaszczyzn największego przekroju otoczków skierowane pod prąd. Otoczaki frakcji 32-64 mm posiadają najmniej wyraźną orientację w stosunku do kierunku prądu. Kierunki osi wykazują po kilka maksimów, w związku z czym brak jest wyraźnej orientacji płaszczyzn największego przekroju otoczków. Zwraca natomiast uwagę częste występowanie bardzo stromych nachyleń osi.

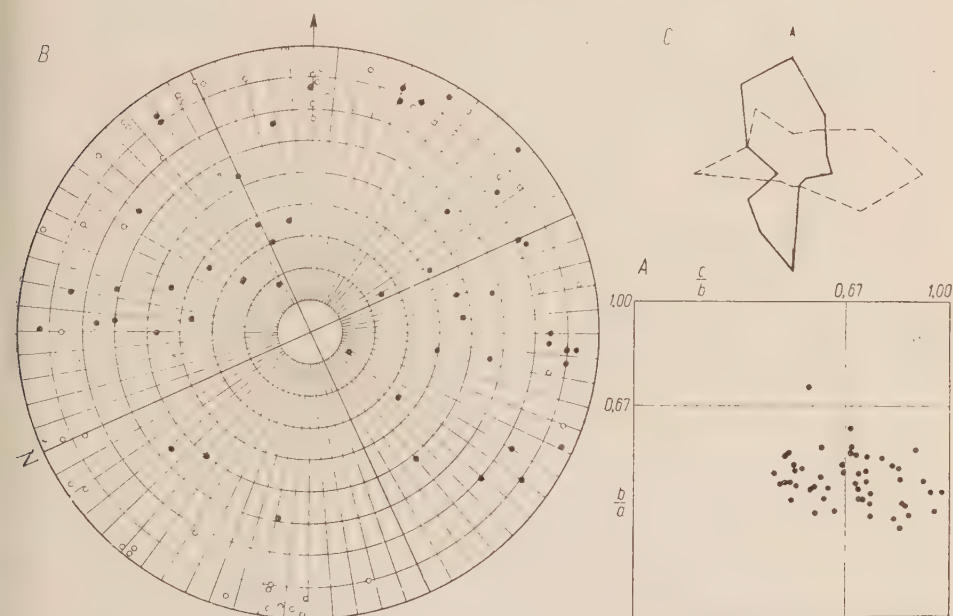


Fig. 18

Orientacja otoczków wrzecionowatych

A osiowe współczynniki kształtu, B diagramy punktowe, C sektorowe diagramy sumacyjne; a kółka, linie ciągłe — osie najdłuższe; b kropki, linie przerywane — osie średnie, c — osie najkrótsze. Strzałki wskazują kierunek prądu. N — kierunek północny

Orientation of prolate pebbles

A axial shape coefficients, B point diagrams, C sector summation diagrams; a empty circles and continuous lines show longest axes; b dots and broken lines — intermediate axes, c — shortest axes. Direction of current indicated by arrows. N — northern direction

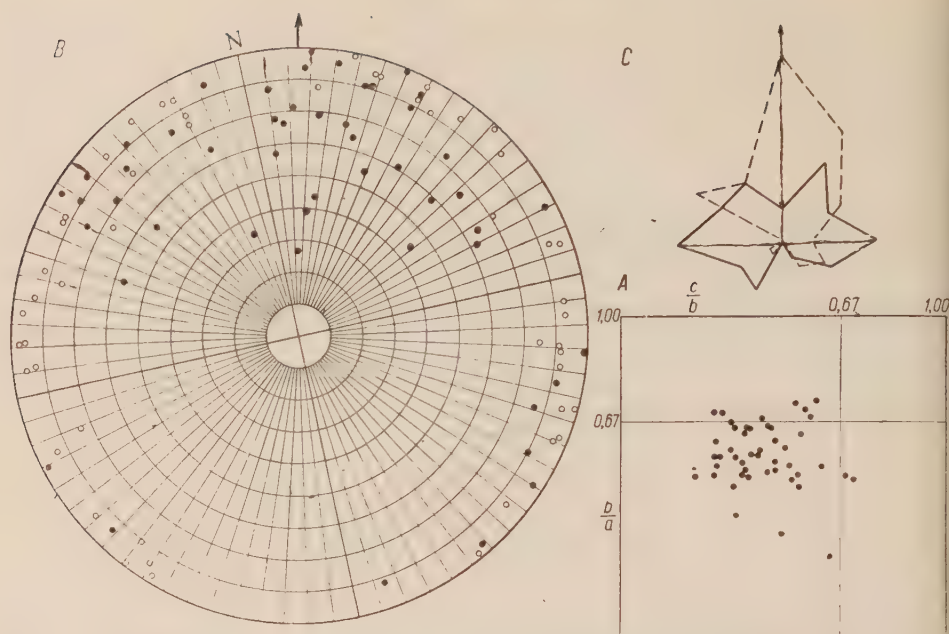


Fig. 19

Orientacja otoczków elipsoidalnych. Objasnienia patrz fig. 18
 Orientation of ellipsoid pebbles. For explanation see fig. 18



Fig. 20

Orientacja otoczków dyskoidalnych. Objasnienia patrz fig. 18
 Orientation of discoid pebbles. For explanation see fig. 18

Zależność orientacji otoczków od ich kształtu występuje również bardzo wyraźnie (fig. 18, 19 i 20). Otoczaki wrzecionowate posiadają uprzywilejowany kierunek najdłuższych osi, zgodny z kierunkiem prądu. Otoczaki eliptyczne posiadają uprzywilejowany kierunek średnich osi, poprzeczny do kierunku prądu. Najdłuższe osie mogą być nachylone zarówno pod prąd jak i z prądem, w związku z czym płaszczyzny największego przekroju otoczków też nachylone są pod prąd lub z prądem.

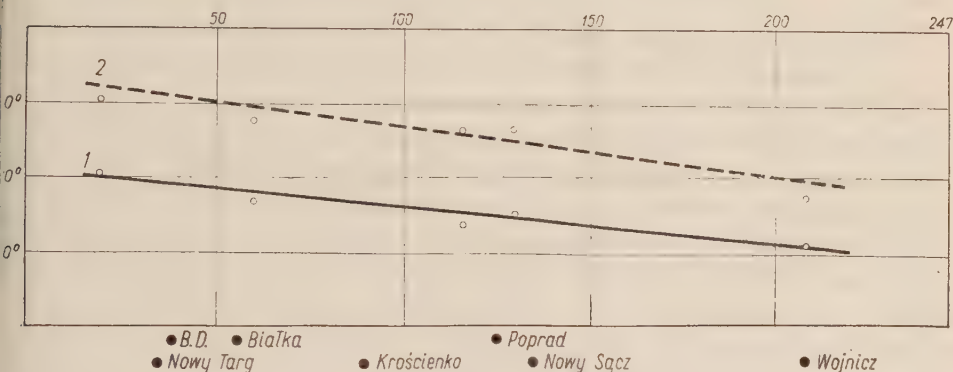


Fig. 21

Srednie nachylenie osi otoczków w klasie wielkości 64-128 mm. 1 osie najdłuższe, 2 osie średnie. Na osi rzędnych — nachylenie w stopniach, na osi odciętych — długość doliny w km. Pod rysunkiem: miejsca połączenia się z Dunajcem dopływów wnoszących materiał tatrzański (B. D. Biały Dunajec) oraz położenie ważniejszych miejscowości

Average axial inclination in the 64-128 mm grade of pebbles. 1 longest axes, 2 intermediate axes, inclination in degrees shown by ordinate, length of valley in km by abscissa. Below the drawing; mouths of Dunajec tributaries carrying Tatra material (B. D. Biały Dunajec River) and position of more important localities

Otoczaki elipsoidalne wykazują uprzywilejowany kierunek najdłuższych osi, prostopadły do kierunku prądu, oraz bardzo silne maksimum osi średnich, ułożonych zgodnie z kierunkiem prądu. Płaszczyzny największego przekroju otoczków niemal bez wyjątku nachylone są przeciwnie do kierunku prądu. Otoczaki dyskooidalne wykazują mniejsze różnice w orientacji najdłuższych i średnich osi, co wytłumaczyć można niewielkimi różnicami długości tych osi. Płaszczyzny największego przekroju otoczków ustawione są przeciwnie do kierunku prądu.

Srednie nachylenie osi otoczków w klasie wielkości 64-128 mm wynosi dla osi najdłuższych 10° - 20° , dla osi średnich 18° - 30° (fig. 21). Są to wartości zgodne z nachyleniami otoczków w żwirach rzecznych podanych przez Cailleux (1945). Wielkość średniego nachylenia osi otoczków

maleje w dolnym biegu rzeki. Prawdopodobnie jest to spowodowane coraz gorszym wysortowaniem osadu. Nachylenie otoczków wywołane jest przez to, że poszczególne otoczaki opierają się o siebie. Jeżeli otoczaki oparty jest o inny, równej wielkości otoczek, nachylenie jego będzie bardziej strome niż w przypadku, gdy będzie się on opierał o otoczek mniejszy od siebie.

Mechanizm transportu i depozycji żwirów

Przedstawione wyżej różnice w orientacji otoczków różnej wielkości i różnego kształtu pozwalają na odtworzenie mechanizmu transportu i sedymentacji żwirów. Poszczególne otoczaki zachowują się w czasie transportu w ten sposób, by ruch ich odbywał się kosztem najmniejszej straty energii przez ośrodek transportujący. Dominującym typem ruchu jest toczenie otoczków (z wyjątkiem otoczków sferoidalnych i dyskooidalnych) dookoła ich najdłuższych osi ustawionych poziomo i prostopadle do kierunku prądu (Twenhofel 1939). Z chwilą, gdy rozpoczyna się opadanie wody i spadek szybkości prądu, poszczególne frakcje żwiru, poczynając od najgrubszych, są deponowane. Największe otoczaki, których transport ustaje najwcześniej, zatrzymują się pośród masy toczącego się naprzód drobniejszego materiału, i ustawiają się tak, by stawiać mu jak najmniejszy opór, a więc swym najmniejszym przekrojem prostopadle do kierunku ruchu. Najdłuższe osie są przy tym ustawiane równolegle do kierunku prądu. W ten sposób następuje reorientacja otoczków, polegająca na tym, że otoczek, który transportowany jest z osią najdłuższą ustawioną poprzecznie do kierunku prądu, ma po depozycji oś najdłuższą ustawioną równolegle do kierunku prądu. Widoczne na diagramie orientacji otoczków w klasie wielkości 128-256 mm lekkie odchylenie uprzywilejowanego kierunku najdłuższych osi od kierunku prądu spowodowane jest zapewne wpływem bliskości brzegu. Wpływ ten został stwierdzony doświadczalnie przez Kinda i Kucharenkę (1948).

Przy dalszym spadku prędkości osadzana jest frakcja 64-128 mm stanowiąca główną masę osadu. Reorientacja otoczków w czasie depozycji następuje tu na znacznie mniejszą skalę i orientacja otoczków pozostaje taka sama jak w czasie transportu. Drobniejsze frakcje składane są pomiędzy większymi otoczkami i dostosowują się do wolnych przestrzeni pomiędzy nimi. Dlatego orientacja osi i płaszczyzn największego przekroju otoczków w stosunku do kierunku prądu jest u małych otoczków najmniej zdecydowana.

Wpływ kształtu otoczków na ich ułożenie zaznacza się w czasie reorientacji ich w momencie depozycji. Otoczaki wrzecionowate ulegają reorientacji w najsilniejszym stopniu, a nadto mają trwałe położenie na-

vet wtedy, gdy ich najdłuższa oś zapada zgodnie z kierunkiem prądu. Otoczaki o innym kształcie ulegają reorientacji w mniejszym stopniu zachowują ułożenie dachówkowate z upadami płaszczyzn największego przekroju skierowanymi pod prąd.

WNIOSKI

Znajomość przebiegu zmienności cech otoczek oraz zależności ich orientacji od wielkości i kształtu pozwala na wyciągnięcie wniosków, które mogą być użyteczne przy próbach odtworzenia kierunku transportu w warunkach sedymentacji kopalnych żwirów rzecznych.

Żwiry, które przeszły daleki transport, określa się zazwyczaj nazwą żwirów dojrzałych (*mature gravels* w terminologii anglosaskiej). Za najważniejsze wskaźniki dojrzałości żwirów uważane są: skład petrograficzny, kulistość i stopień obtoczenia. Żwiry dojrzałe charakteryzują się nieobecnością otoczek o małej wytrzymałości mechanicznej i odporności na wietrzenie chemiczne, oraz wysoką kulistością i stopniem obtoczenia.

Rozpatrzmy zmienność tych wskaźników w żwirach doliny Dunajca. Krzywe zmienności: składu petrograficznego (fig. 4), kulistości (fig. 8) stopnia obtoczenia (fig. 9) podzielić można na trzy strefy: początkową strefę szybkich zmian składu petrograficznego oraz wzrostu stopnia obtoczenia i kulistości, środkową strefę, w której zmienność tych cech jest bardzo niewielka, oraz końcową strefę szybkich zmian wskaźników dojrzałości.

W strefie początkowej zmiany wskaźników dojrzałości spowodowane są głównie mechanicznym niszczeniem otoczek w czasie transportu. W strefie końcowej zmiany składu petrograficznego spowodowane są przede wszystkim wietrzeniem chemicznym, a zmiany kulistości i stopnia obtoczenia mają charakter wsteczny w stosunku do kierunku zmian zachodzących w strefie początkowej.

W strefie początkowej z przebiegu zmian wskaźników dojrzałości można łatwo określić kierunek transportu i oceniać w przybliżeniu jego długość. Natomiast w strefie środkowej możliwość oceny długości transportu i określenia jego kierunku jest bardzo znikoma. W strefie tej zmienność wskaźników dojrzałości, spowodowana procesami zachodzącymi w czasie transportu, może mieścić się w granicach lokalnej zmienności tych wskaźników w miejscach pobrania prób. W strefie końcowej brak jakichkolwiek kryteriów do oceny długości transportu. Kierunek określić można na podstawie zmienności składu petrograficznego, lecz przy próbach określania kierunku transportu na podstawie zmienności stopnia obtoczenia i kulistości otoczek można dojść do zupełnie fałszywych wniosków.

Stopień obtoczenia i kulistości otoczków oraz skład petrograficzny żwiru rozpatrywanego czy to oddzielnie, czy też jako zespół cech mogą więc wystarczyć do oceny długości transportu i określenia jego kierunku. Jedynie w strefie początkowych szybkich zmian wskaźników dojrzalności w górnym biegu rzeki określenie kierunku transportu i ocena jego długości jest możliwa. Należy tutaj wspomnieć, że zdaniem Krynińskich (1942) zmienność cech otoczków nie może być odnoszona bezpośrednio do długości transportu lub czasu jego trwania. Zmiany cech otoczków następują najszybciej przy pewnej krytycznej szybkości prądu, różnej dla różnych cech i klas wielkości okruchów tej samej skały czy minerału. Obserwowana zmienność cech odzwierciedla długość trwania transportu przy zachowaniu prędkości krytycznej. Ponieważ szybkość prądu zmienia się w rzece w bardzo szerokich granicach, odnoszenie zmienności cech do bezwzględnej długości transportu obarczone jest zawsze bardzo dużym błędem.

Określenie kierunku transportu kopalnych żwirów rzecznych przeprowadzić można najłatwiej na podstawie pomiarów orientacji otoczków. Przy planowaniu takich pomiarów i interpretowaniu ich wyników należy brać pod uwagę różnice w zachowaniu się otoczków różnego kształtu i różnej wielkości.

*Zakład Geologii Fizycznej
Akademii Górniczo-Hutniczej
Kraków, w październiku 1956*

LITERATURA CYTOWANA

- BECKER G. F. 1893. Finite homogeneous strain, flow and rupture of rocks. — *Bull. Geol. Soc. Amer.*, 4.
- CAILLEUX A. 1945. Distinction des galets marins et fluviatiles. — *Bull. Soc. Géol. France*, 15.
- HALICKI B. 1930. Dyluwialne zlodowacenie północnych stoków Tatr (La glaciation quaternaire du versant nord de la Tatra). — *Spraw. P. I. G. (Bull. Serv. Géol. Pol.)*, t. V. Warszawa.
- 1947. O właściwej roli kwarcytów w żwirowiskach przedpola Tatr (Sur le rôle des quartzites dans les graviers de l'avant-pays de la Tatra). *Rocz. P. T. Geol. (Ann. Soc. Géol. Pol.)*, t. XVII. Kraków.
- HORNIŠ E. 1953. Príspevok k výskumu závislosti složenia štrkov rieky Hornadu a stupňa ich abrazie na dĺžke vodného transportu. — *Geol. Sbor.*, 4.
- KARLSTROM T. N. V., 1952. Improved equipment and techniques for orientation studies of large particles in sediments. — *Journ. Geol.*, 60.
- KIND N. W. & KUCHARENKO A. A. 1948. K voprosu ob orientirovke galek v rečnom potoke. — *Zap. Vses. Min. Obšč.*, 77.

- KLIMASZEWSKI M. 1937. Morfologia i dyluwium doliny Dunajca (Morphologie und Diluvium des Dunajctales von der Pieninen bis zur Mündung). — *Wiad. Służby Geogr.* nr 2. Kraków.
- KRUMBEIN W. C. 1939. Preferred orientation of pebbles in sedimentary deposits. — *Journ. Geol.*, 47.
- 1940. Flood gravels of San Gabriel Canyon. — *Bull. Geol. Soc. Amer.*, 51.
- 1941. The effects of abrasion on the size, shape and roundness of rock fragments. — *Journ. Geol.*, 49.
- 1942a. Settling velocities and flume behavior of nonspherical particles. — *Amer. Geophys. Union Trans.*
- 1942b. Flood deposits of Arroyo Seco. — *Bull. Geol. Soc. Amer.*, 53.
- KRUMBEIN W. C. & PETTIJOHN F. J. 1938. *Manual of sedimentary petrography.* New York.
- KRYNINE P. D. 1942. Critical velocity as a controlling factor in sedimentation. — *Bull. Geol. Soc. Amer.*, 53.
- MARSHALL P. 1927/28. The wearing of gravels. — *New Zealand Inst. Treat.*, 58.
- MATAKIEWICZ M. 1936. Materiał ruchomy w potokach i rzekach i badanie jego ruchu. — *Czasopismo Techniczne.* Lwów.
- MEVIN CH. 1946. Competence of moving water to transport debris. — *Bull. Geol. Soc. Amer.*, 57.
- MOTTO G. H. 1938. The sedimentation unit and its use in field sampling. — *Journ. Geol.*, 46.
- PETRANEK J. 1952. Vyskum zavislosti slozeni šterku Hornadu a stupni jejich abrase na delce vodního transportu. — *Vestn. Ustř. Ust. Geol.*, 27.
- PETTIJOHN F. J. 1949. *Sedimentary Rocks.* New York.
- PLUMLEY W. 1948. Black Hills terrace gravels. — *Journ. Geol.*, 56.
- RUSSEL R. D. & TAYLOR R. E. 1937. The roundness and shape of Mississippi River sands. — *Ibidem*, 45.
- SARKISJAN S. G. & KLIMOWA L. T. 1955. Orientirovka galek i metody ich izučenia dla paleogeografičeskich postrojenii. — *Izd. Akad. Nauk SSSR.* Moskva.
- SARKISJAN S. G. & ŠAPOVAŁOVA G. A. 1949. Orientirovka galek dušetsoj svity tretičnych otłożenii Gruzji kak kriterii putej terigennogo snosa materiala. — *Dokl. Akad. Nauk SSSR*, 47.
- TWENHOFEL W. H. 1939. *Principles of sedimentation.* New York.
- WADELL H. 1932. Volume, shape and roundness of rock particles. — *Journ. Geol.*, 40.
- 1934. Shape determination of large sedimental rocks fragments. — *Pan-American Geologist*, 61.
- WINNIG T. 1935. Beitrag zur Schotteranalyse. — *Schweiz. Min. Petr. Mitt.*, Bd. 15.

P. УНРУГ

СОВРЕМЕННЫЙ ТРАНСПОРТ И СЕДИМЕНТАЦИЯ ГРАВИЯ В ДОЛИНЕ ДУНАЙЦА (ЗАПАДНЫЕ КАРПАТЫ)

(Резюме)

Статья обсуждает изменчивость петрографического состава гравия в долине Дунайца, а также изменчивость величины, степени окатания и шаровидности гальки гранита. Представлена зависимость ориентировки гальки от их величины и формы, а также механизм транспорта и отложения гравия. Автор обсуждает тоже возможность отображения направления транспорта ископаемых речных гравиев и оценки его длины.

R. UNRUG

RECENT TRANSPORT AND SEDIMENTATION OF GRAVELS IN THE DUNAJEC VALLEY (WESTERN CARPATHIANS)

(Summary)

ABSTRACT: Variation in petrographic composition of gravel in the Dunajec River, as well as size, roundness and sphericity variation of granite pebbles are the subject of the present paper. The size and shape control of pebble orientation is described with a discussion on the mechanism of transport and deposition. The possibility of determining transport direction and estimating its length is also presented

The Dunajec has been chosen as a suitable river for studies of transport of clastic material, since its gravels contain pebbles deriving from the Tatra Mts. and therefore the length of their transport may readily be determined (fig. 1). Variation of pebble characteristics has been examined on the example of granite pebbles.

The water level in the Dunajec River is subject to marked variations (fig. 2). It is characterised by rapid rise and somewhat slower fall. The gravel is transported at high water stages only.

Samples for the determination of petrographic composition of gravel, and of the characteristics of pebbles, were collected from a lag gravel layer resting on the surface of the lowermost flood terrace. This layer of lag gravel has been recognised as a sedimentary unit.

Size variation of transported rock fragments

Size variation has been investigated on granite boulders and pebbles and is shown in fig. 3. The abrupt growth of diameters on the 55 km of

the valley is due to coarser material being brought there by the Białka River. The maximal diameters of granite boulders and pebbles have been plotted and compared with the curve presenting diameter reduction according to Sternberg's law which establishes the reduction pattern caused by abrasion of pebbles during transport. Measured diameters agree well with calculated ones in the middle course of the river, but they differ markedly in the upper and lower courses. The increased rate of size reduction results from the combined action of abrasion and selective transport. The action of the latter factor is strongest in sectors where the river gradient decreases.

Variation in petrographic composition of gravel

Measurements have been made in the 64-128 mm grade of pebbles (fig. 4). This grade is quantitatively predominant within the Dunajec gravels and most widely distributed in the river valley. Samples consisted of one hundred pebbles. The rapid elimination of carbonate and metamorphic rocks is due to their small abrasive resistance. The enrichment of gravel in quartzite pebbles is caused by various factors within the different river sectors. In the upper course of the river quartzite pebbles are brought down by Dunajec tributaries from high Pleistocene terraces where quartzites have become enriched owing to the resistance against weathering. In the lower river course the rapid decrease of granite pebbles content is to be explained by weathering. Fig. 5 illustrates the desintegration of granite pebbles in the lower course of the Dunajec.

The behaviour of vein-quartz pebbles is very characteristic. They are, namely, transported in small quantities by the Czarny Dunajec River and, being the most resistant to weathering of all rocks, they concentrate in gravel of the lower river course. Fig. 6 shows the variation in petrographic composition within the 128-256 mm grade of gravel from the uppermost course of the Dunajec. The sequence of elimination of various rock pebbles agrees with that displayed in the 64-128 mm grade. Dolomites constitute approximatively 10 per cent of carbonate rock pebbles (fig. 7). This percentage is out of proportion to the part played by dolomites in the composition of sedimentary Tatra series. This disproportion is possibly caused by strong tectonic brecciation of dolomites, which during transport are easily broken up and ground in the river bed, and soon pass into finer grades.

Variation of sphericity and roundness

Wadell's (1932, 1934) definitions of roundness and sphericity have been here adopted. Samples for determination of these features consisted of 50 pebbles. The sphericity variation is shown in fig. 8. The mean sphericity

ricity increases in the upper and middle river courses showing a marked decrease in the lower river course. The initial sphericity is 0.34. The maximum value of 0.48 is attained after 108 km of transport. At the 208th km of valley length the sphericity is 0.34. Standard deviation and the skewness coefficient of sphericity do not show any systematic changes.

Fig. 9 illustrates roundness variation. Mean roundness grows in the upper and middle river course and decreases in the lower course. The initial roundness is 0.44. The maximum roundness — that of 0.80 — is attained after 130 km of transport. At the 208th km of the valley length the roundness is 0.68. Standard deviation and skewness coefficient of roundness do not show systematic changes. The initial sphericity and roundness are the result of the transport of pebbles within the Tatras stream valleys over a distance of ca. 8 km. This explains their relatively high initial values and the absence of rapid growth of sphericity and roundness during the first few kilometres of transport by the Dunajec.

The decrease of mean sphericity and roundness along the lower river course is not due to breaking of pebbles or to the reduction of their mean diameter within the same grade along the river course. As shown in fig. 10, sphericity of pebbles is indirectly proportionate to their size. The absence of a variation pattern in the standard deviation of sphericity indicates that during transport sorting of pebbles is not controlled by sphericity.

The decrease of sphericity of pebbles along the lower course of the Dunajec may be attributed to the action of sorting controlled by shape. Within each particular grade the volume and weight of pebbles showing low sphericity is smaller than of those with higher sphericity. Hence pebbles with low sphericity ought to be more readily transported by the current. After Nevin (1946) the force of the current is mostly tangential to the river bottom in the case of weak turbulence, while in the case of strong turbulence it is dominantly normal to the river bottom. With imbrication as the predominant pebble arrangement in river gravels, a force acting vertically upwards is needed (fig. 11) in order to set the pebble in motion. Spherical pebbles having a great settling velocity are in this case less readily put into motion than non-spherical pebbles. In the paper mentioned above Nevin asserts that the particle-shape control of current competency is in direct proportion to particle size, and in the case of gravels it attains a 40 per cent value. As is shown in fig. 12, flat, discoidal and ellipsoidal pebbles are concentrated along the lower river course.

Sphericity and roundness are mutual functions of each other. Their interdependence shows a linear character (fig. 13). In the upper river

course roundness increases more rapidly than sphericity. Reduction of roundness occurring in the lower river course, controlled by sphericity reduction, is markedly slower. Roundness is controlled by shape and sphericity only if the pebble has been modelled from a rock fragment, the original form of which was not that of a parallelepipedon. If the pebble had been shaped from a parallel-side rock fragment roundness is not controlled by shape and sphericity (fig. 14).

Orientation of pebbles

With a view of determining the interdependence of the orientation of pebbles and their shape and size, pebble orientation measurements have been made in different grades and shape classes. The samples consisted of 100 pebbles in various grades and 50 pebbles in different shape classes. Measurement data are plotted in polar coordinates diagrams which served as a basis for plotting star diagrams required for interpreting measurement data.

Diagrams plotted for measuring orientation of pebbles of different grades show marked differences (figs 15-17). The 128-256 mm grade pebbles show a preferred orientation of longest axes parallel to the direction of current, while the preferred orientation of intermediate axes is perpendicular to it. The majority of the greatest cross section planes dips up the current. Pebbles of the 64-128 mm grade, which constitute the main bulk of gravel, have the preferred orientation of longest axes perpendicular to the direction of current, while the intermediate axes are parallel to the direction of current. Practically all greatest cross section planes of pebbles dip up the current. The 32-64 mm grade pebbles show least distinct orientation in relation to the direction of current.

The shape-control of pebble orientation is also very obvious (figs. 18-20). Prolate pebbles have the preferred orientation of longest axes parallel to the direction of the current, while the preferred orientation of intermediate axes is perpendicular to the current. The longest axes incline either up- or downstream, whence the greatest cross section planes also dip up- or downstream. Ellipsoidal pebbles have the preferred orientation of longest axes perpendicular to direction of current and a very strong maximum of intermediate axes arranged parallel to the direction of current. Practically all greatest cross section planes of pebbles dip upstream. Discoidal pebbles show less distinct differences in the orientation of the longest and intermediate axes. This is probably caused by similar axial dimensions here. Greatest cross section planes of pebbles dip upstream.

Mean axial inclination of pebbles within the 64-128 mm grade is shown in fig. 21. The measurement data agree with those of Cailleux

(1945). The axial inclination is reduced along the river lower course, this being a result of the poorer sorting of gravel.

The described differences in the orientation of pebbles belonging to various grades and shape classes suggest a mechanism responsible for the transport and deposition of gravel. During transport pebbles behave so as to warrant least loss of energy by the transporting agent. The dominant type of movement here is that pebbles — the spheroidal and discoidal excepted—roll round their longest axes which are horizontal and perpendicular to the direction of current (Twenhofel 1939). As soon as the water level has lowered and the velocity of current is reduced, the various gravel grades are deposited, beginning with the coarsest. The largest pebbles, the first to be deposited out of the great bulk of the still rolling finer material, assume such a position as to warrant minimum resistance viz. with their smallest cross sections perpendicular to the direction of movement. The longest axes are in this case arranged parallel to the direction of current and in this way a re-orientation of pebbles takes place. The slight deviation of the preferred orientation of longest axes from the direction of current, shown in the orientation diagram for the 128-256 mm grade pebbles is probably due to the proximity of the river bank. An experimental confirmation of this influence has been obtained by Kind and Kucharenko (1948).

Upon further velocity reduction the next grade to be deposited is that of 64-128 mm which constitutes the main bulk of gravel. The re-orientation of pebbles during deposition takes place here on a markedly smaller scale, and their orientation remains the same as during transport. The finer grades are deposited among larger pebbles adjusting their position to the vacant free spaces. Hence the orientation of axes and greatest cross section planes is least distinct in the case of small pebbles. The control exercised by the shape of pebbles with respect to their orientation is observable during re-orientation at the moment of deposition. Prolate pebbles are subjected to strongest re-orientation and retain a stable position even when the longest axis inclines downstream. Pebbles with other shapes are less subject to re-orientation.

Conclusions

Petrographic composition, sphericity and roundness are the most diagnostic indices of gravel maturity. Variation curves of these indices relating to the Dunajec gravels may be differentiated into three zones: the initial zone of rapid changes in petrographic composition and increasing roundness and sphericity; the central zone where the variation rate of these indices is very low; and the terminal zone showing rapid changes

of maturity indices. In the latter zone sphericity and roundness of pebbles display retrogressive changes. It is only within the initial zone that direction of transport may be determined and its length estimated on ground of the maturity indices variation. In the central zone the maturity indices variation, due to abrasion during transport, may be less marked than their local variation noted at sites of sampling. The determination of direction of transport and an estimate of its length are not possible either in the central or in the terminal zone.

The roundness and sphericity of pebbles and the petrographic composition of gravel studied either collectively or individually may not supply adequate evidence to estimate the length of transport and determine its direction. Even when this is possible Kryniński's (1942) statement should be remembered that characteristics variation in pebbles cannot be directly referred to the length of transport or to the time of its duration. The direction of transport in fossil river gravels is best determined on pebble orientation. In interpreting such measurements, differences in pebble behaviour, controlled by size and shape must be taken into account.

*Laboratory of Physical Geology
Academy of Mining and Metallurgy Engineering
in Cracow
Cracow, October 1956*

OBJAŚNIENIA DO PLANSZY XLII
DESCRIPTION OF PLATES XLII

Fig. 1

Rysowanie krzyża na otoczaku
Drawing the cross on a pebble

Fig. 2

Odtwarzanie położenia otoczaka. Wzrok wykonawcy skierowany pionowo w dół.
Krzyż narysowany na otoczaku powinien być widoczny w szczelinach płytki
Restoration of the position of a pebble. The cross drawn on the pebble should be
visible in the slits looking vertically downwards



Fig. 1



Fig. 2



O egzotykach wapieni jurajskich brzeżnej części Karpat i Przedgórza między Sanem i Wiarem

WSTĘP: Wstęp — Egzotyki wapieni w warstwach inoceramowych — Egzotyki wapieni w utworach miocénskich Przedgórza — Typy egzotyków wapiennych i ich pochodzenie — Uwagi o paleogeografii strefy Przemyśla-Kruhela — Literatura cytowana

WSTĘP

W czasie wykonywania zdjęcia geologicznego w latach 1954 do 1956 na obszarze Przedgórza i brzeżnej części Karpat między Sanem i Wiarem zwróciły moją uwagę otoczaki i bloki wapieni występujące zarówno w utworach kredowych jak i w osadach miocénskich (fig. 1).

Z rejonu Kruhela Wielkiego, położonego na południowy zachód od Przemyśla, znane jest duże nagromadzenie wapieni jurajskich, które występują w formie wielkich skałek tkwiących w piaskowcach i łupkach eocénskich oraz częściowo w warstwach inoceramowych (J. Niedźwiedzki 1876, K. Wójcik 1908, 1913). Oprócz tego dużego skupiska wapieni w Kruheli Wielkiej, mniejsze bloki i otoczaki wapieni typu wapieni skałki kruhelskiej występują na całej przestrzeni Karpat brzeżnych oraz ich Przedgórza między Sanem i Wiarem.

EGZOTYKI WAPIENI W WARSTWACH INOCERAMOWYCH

Szczególnie bogate w egzotyki wapienne są warstwy inoceramowe. Wapienie występują w nich zarówno jako skałki dochodzące do 20 m średnicy, jak również w postaci mniejszych lub większych obtoczonych bloków tkwiących w łupkach pomiędzy warstwami piaskowców.

Większe nagromadzenie bloków wapienia występuje na wzgórzu Helicha na zachód od Grochowic. Wapienie mają tu formę nieobtoczonych brył o średnicy dochodzącej do 5 m oraz bloków bardzo dobrze obtoczonych o średnicy od kilku centymetrów do jednego metra. Wapie-

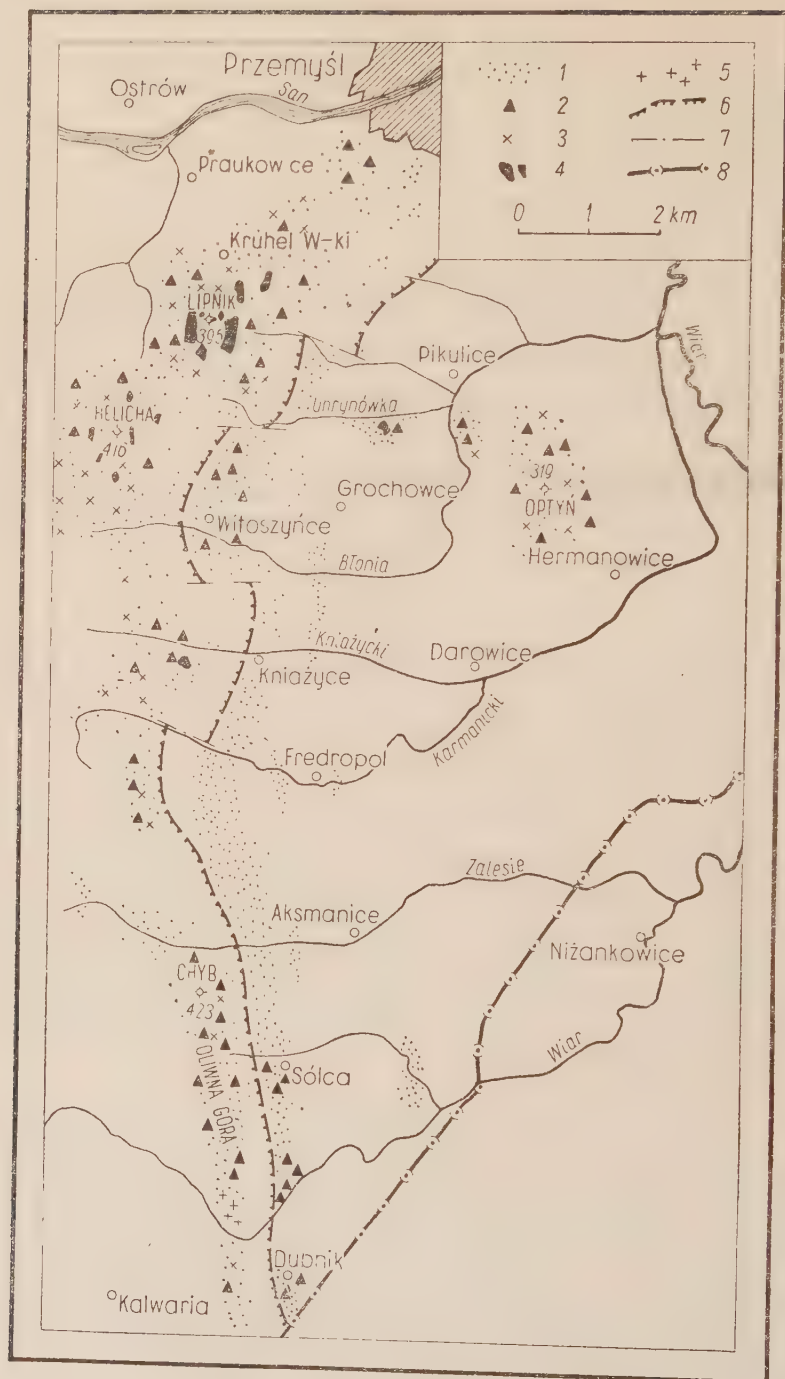


Fig. 1

A

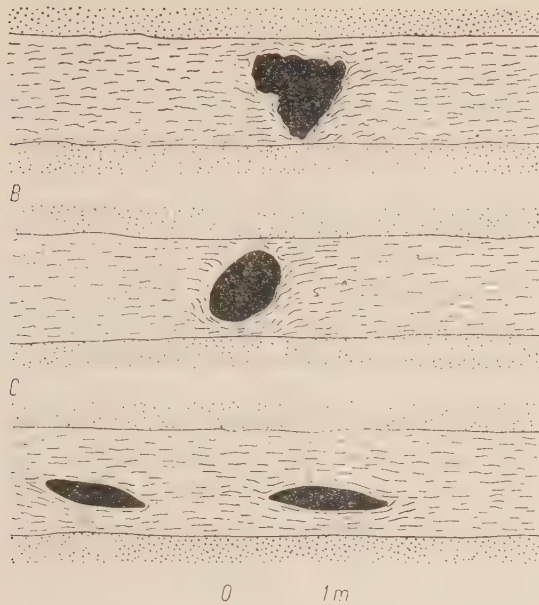


Fig. 2

A niecbtoczony blok wapienia w łupkach między piaskowcami warstw inoceramowych. Góra Chyb pod Aksmanicami. B otoczek w łupkach między piaskowcami warstw inoceramowych. Góra Chyb pod Aksmanicami. C otoczaki wapienia o kształcie soczewek. Warstwy inoceramowe. Oliwna Góra pod Dubnikiem

A Unabraded limestone block in shales of Inoceramus beds. Mt. Chyb near Aksmanice. B limestone pebble in shales of Inoceramus beds. Mt. Chyb near Aksmanice. C lenticular limestone pebbles. Inoceramus beds. Mt. Oliwna near Dubnik

Fig. 1

Szkic rozmieszczenia egzotyków wapieni jurajskich między Sanem i Wiarem na południe od Przemyśla

1 otoczaki wapieni o średnicy do 0,1 m; 2 otoczaki wapieni o średnicy od 0,1 do 0,5 m; 3 otoczaki i bloki wapieni o średnicy od 0,5 do 1,5 m; 4 bloki i skałki wapieni o średnicy powyżej 1,5 m; 5 otoczaki egzotyków skał magmowych; 6 brzeg nasunięcia Karpat; 7 uskoki; 8 granica Państwa

Schematic map of the distribution of Jurassic limestone exotics between the San and the Wiar rivers, to the south of Przemyśl

1 limestone pebbles with diameter up to 0.1 m; 2 limestone pebbles with diameter ranging from 0.1 to 0.5 m; 3 limestone boulders and blocks with diameter from 0.5 to 1.5 m; 4 limestone blocks with diameter exceeding 1.5 m; 5 exotics of magmatic rocks; 6 margin of Carpathian overthrust; 8 State boundaries

nie zazwyczaj tkwią w serii łupkowo-marglistej warstw inoceramowych. Na zachód od Książyc w łupkowej części warstw inoceramowych znajduje się skałka wapienia dziś już prawie całkowicie wyeksploatowana do wypalania wapna przez miejscową ludność. Z zachowanych resztek można wnioskować, że średnica skałki dochodziła do 20 m.

W licznych odkrywkach znajdujących się na zachód od Fredropolasa przeważają bloki wapieni dobrze obtoczone występujące w wkładkach łupkowych warstw inoceramowych.

Na zachód od Aksmanic i Sólcy znajduje się wzgórze Chyb-Oliwna. Góra zbudowane z przebiegających południkowo w kolejnych strefach od zachodu ku wschodowi warstw inoceramowych, pstrych łupków, warstw hieroglifowych oraz łupków menilitowych z rogowcami. Na samym grzbiecie wzgórza, który jest zbudowany z warstw inoceramowych górnych znajdują się niedawno uruchomione łomiki, w których eksploatuje się piaskowce tych warstw do wykładania miejscowych dróg. Biorąc pod uwagę rozmiary i kształt egzotyków wapiennych, można wyróżnić wśród nich trzy typy:

1) Pierwszy typ tworzą bloki bardzo mało obtoczone lub wcale nie obtoczone (fig. 2, A). Ten typ egzotyków wapienia jest stosunkowo najmniej pospolity, jednak rozmiary ich są większe od pozostałych. Ich obtoczenie sprowadza się jedynie do zaokrąglenia najbardziej ostrych krawędzi. Śledząc stosunek tych bloków do łupków warstw inoceramowych można zauważyć, że łupki są wgniecione we wklęsłe części bloku. Prawdopodobnie skałki wapienne w Książcach i Grochowcach są tego samego typu, tylko o znacznie większych rozmiarach.

2) Drugi typ przedstawiają bloki obtoczone kuliste albo jajowate (fig. 2, B). Ten typ egzotyków wapienia jest najpospolitszy. Średnica ich waha się od kilku centymetrów do jednego metra. Z reguły są one silnie wgniecione w otaczające je łupki.

3) Trzeci typ egzotyków wapiennych jest bardzo rzadki, jednak nie trudny do zaobserwowania (fig. 2, C). Blok obtoczony ma tu kształt soczewki o stosunku osi krótszej do dłuższej jak 1 : 2 albo jak 1 : 1,5, o grubości zaś od kilku do kilkunastu centymetrów. Długość tych soczewkowatych bloków rzadko kiedy przekracza 1 m. Podobnie jak w poprzednich przypadkach, bloki te są wgniecione w otaczające łupki.

Rzecz charakterystyczna, że bloki wapieni przeważnie występują w łupkach między ławicami piaskowców. Można przypuszczać, że dostały się one do nich niesione prądami zawiesinowymi, choć nie jest wyłączone, że odegrała tu pewną rolę konfiguracja dna morskiego (M. Książkiewicz 1954). Natomiast wgniecenie bloków w łupki nastąpiło zapewne wskutek kompaktacji warstw nadległych w czasie diagenety osadów.

Otoczaki wapieni do 8 cm średnicy występują również w zlepieńcach z otoczkami czerwonych i zielonych fyllitów oraz mlecznych kwarców. Zlepieniec tego typu tworzy soczewkowate wkładki w piaskowcach i warstwach inoceramowych górnych na zachód od Fredropola oraz w Dubniku nad Wiarem.

EGZOTYKI WAPIENI W UTWORACH MIOCEŃSKICH PRZEDGÓRZA

Podobnie jak w warstwach inoceramowych bloki wapieni znajdują się również w miocenie Przedgórza. Największe ich nagromadzenie mamy w helweckich zlepieńcach z Dubnika. Są to gruboławicowe zlepieńce występujące w formie wielkich soczew w spągu warstw stebnickich (helwet?-dolny torton). Klasyczne odsłonięcie zlepieńców znajduje się w Dubniku nad Wiarem (pl. XLIII, fig. 1). Występują one również w Sólcy i Witoszyńcach. Jednym z głównych składników zlepieńców z Dubnika są otoczaki wapieni (pl. XLIII, fig. 2), średnica ich dochodzi niejednokrotnie do 15 cm. Oprócz otoczek wapieni w zlepieńcach tych występują również otoczaki silnie zdiagenezowanych łupków zielonych i czerwonych, mlecznych kwarców, ciemnych skał krystalicznych oraz nieliczne otoczaki skał karpackich.

W leżących powyżej piaskowcach warstw stebnickich znajdują się drobne otoczaki wapieni dochodzące do około 3 cm średnicy.

Otoczaki wapieni znane są również z leżących nad warstwami stebnickimi dolno-tortonńskich warstw balickich, gdzie wchodzi one w skład zlepieńców, które w formie soczewek leżą przeważnie w spągowej części tych warstw.

Znaczne nagromadzenie otoczek i bloków wapieni znajduje się w leżących nad warstwami balickimi środkowo-tortonńskich zlepieńcach radyckich na wzgórzu Optyń w Pikulicach. Według obliczeń przeprowadzonych w terenie otoczaki wapieni stanowią tu około 70% składników tych zlepieńców. Średnica ich nierzadko dochodzi do 50 cm. Prócz nich widzimy tu również bloki wapieni o średnicy około 1 m.

W osadach miocennych Przedgórza tu i ówdzie znane są również większe skałki. Na północ od Grochowic nad potokiem Uhrynówka znajduje się w warstwach stebnickich skałka wapienia dziś już prawie zupełnie wyeksploatowana. Na powierzchni zdradza ją jedynie rumosz wapienny. Ślady te wskazują, iż średnica skałki wynosiła około 50 m.

W utworach młodszych od zlepieńców radyckich, to jest w górnotortonńskich iłach pokuckich górnych oraz dolno-sarmackich warstwach z Chraplic, występujących w rejonie Jaksmanic (miejscowość położona na wschód od Pikulic poza obrębem mapki), nie obserwowałem egzotyków wapieni (Ney 1954, 1957).

TYPY EGZOTYKÓW WAPIENNYCH I ICH POCHODZENIE

Większość egzotyków wapieni, które występują w warstwach ino-
ceramowych oraz w utworach mioceńskich, przedstawia jednakowy typ
skały. Są to wapienie jasne, czasem kremowe oraz nieco różowawe. Po-
szczególne otoczaki i bloki wapienia są bardzo silnie spękane. Miejscami
są w nich liczne kryształki kalcytu oraz skupienia krzemionki ułożone
w skale w formie małych konkrecji i sekrecji. Makroskopowo widoczne
są w nich szczątki koralu i ramienionogów. Przy pomocy badań mikrosko-
powych można wyróżnić trzy typy litologiczne:

1. Wapień otwornicowy średnio i grubokrystaliczny o strukturze
organogenicznej. Liczne otwornice ułożone są nieregularnie. Poza tym
widoczne są konkrecje krzemionkowe.

2. Wapień otwornicowy drobnokrystaliczny. Widoczne w szlifie
otwornice ułożone są grupkami. Rzadko obserwuje się krynoidy.

3. Wapień krynoidowy od drobno do grubokrystalicznego. Obok
krynoidów w szlifie widoczne są bardzo rzadko otwornice. Liczne są tu
konkrecje i sekrecje krzemionkowe oraz szczątki koralu.

Ponadto w utworach mioceńskich Przedgórza pospolite są również
otoczaki i bloki wapienia białego, czasem nieco zielonkawego, drobnziar-
nistego, zbitego. Niekiedy widoczne są w nim źle zachowane koralu i inne
skamieniałości.

Dla porównania egzotyków wapiennych występujących w war-
stwach ino- i ceramowych oraz w utworach mioceńskich Przedgórza z wa-
pieniami skałki kruhelskiej, zostały z niej wykonane szlify mikroskopowe.
Dla porównania pobrałem materiał z wapieni znajdujących się w łomie
położonym na wzgórzu Lipnik (kota 395 m) na południe od Kruhela Wiel-
kiego. W łomie tym znajdują się wapienie jasne, czasem nieco kremowe,
miejscami margliste ze szczątkami amonitów oraz ramienionogów. Wa-
pienie te wykazują bardzo silne strzaskanie, tak że niejednokrotnie two-
rzą one pewnego rodzaju brekcję tektoniczną. Partie zwietrzałe tej skały
posiadają charakterystyczne gruzelkowate powierzchnie. Wapienie te
głównie na podstawie amonitów zostały zaliczone przez K. Wójcika (1913)
do oksfordu. Na podstawie badań tych wapieni w szlifach mikroskopo-
wych można wyróżnić:

1. Wapień krynoidowy grubokrystaliczny. W szlifie widoczne są
w nim oprócz krynoidów szczątki gąbek i koralu. W kilku szlifach obok
krynoidów stwierdziłem otwornice. Nie rzadko znajdują się w nim kon-
krecje krzemionkowe.

2. Wapień otwornicowy o strukturze organogenicznej od drobno do
grubokrystalicznego. Widoczne w szlifie otwornice ułożone są tu grupka-
mi bądź też nieregularnie. W niektórych szlifach obok otwornic znajdu-

ą się krynoidy. Wtedy wapienie te stanowią typ pośredni pomiędzy wapieniem otwornicowym i krynoidowym.

Otoczaki i bloki wapieni znajdujące w warstwach inoceramowych Karpat oraz w utworach mioceńskich Przedgórze rejonu Przemyśla znane są pod nazwą wapieni sztramberskich (B. Böhm 1939, H. Teisseyre 1936, L. Watyha 1946). Nie znaczy to jednak, aby wszystkie egzotyki wapienne znajdujące się na omawianym terenie były typowym wapieniem sztramberskim. Ostatnio M. Książkiewicz (1956) zwraca uwagę na to, że w Karpatach terminem „wapień sztramberski“ bywają określane nie tylko typowe wapienie rafowe tytonu, ale również i inne wapienie jurajskie.

Opisane powyżej egzotyki wapieni z warstw inoceramowych oraz z utworów mioceńskich posiadają prawdopodobnie wspólne źródło z wapieniami skałki kruhelskiej. Wapienie otwornicowe, krynoidowe oraz otwornicowe-krynoidowe, z których składa się większość egzotyków występujących w warstwach inoceramowych oraz w utworach mioceńskich Przedgórze, należą prawdopodobnie do oksfordu, wapienie zaś białe z koralami odpowiadają zapewne wapieniom tytonu skałki kruhelskiej.

W zlepieńcach z Dubnika oraz w warstwach stebnickich prócz otoczków wapiennych znajduje się również nieliczny materiał z warstw inoceramowych. Wynika z tego, że pewna ilość otoczków wapieni znajdujących się w miocenie pochodzi z rozmycia warstw inoceramowych. Jeżeli jednak porównamy ilość otoczków wapieni, jakie widzimy w zlepieńcach z Dubnika oraz w warstwach stebnickich z ilością otoczków i bloków wapieni, jakie mamy w warstwach inoceramowych, to wydaje się, że warstwy inoceramowe nie były głównym źródłem wapieni dla morza mioceńskiego. Prawdopodobnie w bezpośrednim kontakcie z morzem mioceńskim, w naszym przypadku helweckim i dolno-tortońskim, musiały występować odsłonięcia wapieni jurajskich i one to obok warstw inoceramowych dostarczyły otoczków i brył wapieni do osadów mioceńskich.

UWAGI O PALEOGEOGRAFII STREFY PRZEMYŚLA-KRUHELA

W oparciu o prace głównie K. Wójcika (1908, 1913) i M. Książkiewicza (1956) zarysowuje się dziś już nieco wyraźniej obraz stosunków paleogeograficznych w strefie Przemyśla-Kruhela w okresie sedymentacji warstw inoceramowych oraz utworów mioceńskich.

Północny brzeg morza górnokredowego, w którym osadzały się warstwy inoceramowe, był zbudowany z utworów jurajskich od batonu tytonu włącznie. Utwory batonu rozwinięte w facji piaszczystej transgreduwały bezpośrednio na triasie, pod którym znajdowały się osady karbonu i dewonu. Zarówno skały paleozoiczne jak i triasowe wapienie i do-

lomity występujące w strefie Kruhela jako egzotyki K. Wójcik (1908) wiąże z odpowiadającymi im ogniwami stratygraficznymi obszaru śląsko-krakowskiego. Charakter osadów jurajskich oraz ich fauna przemawia za tym, że transgresja jurajska do strefy Przemyśla-Kruhela przysłała z północnego zachodu. Wskazują na to również materiały geologiczne wierceń, które w ostatnich latach były wykonane przez Przemysł Naftowy na Przedgórzu, w widłach Wisły i Sanu. W tytonie po ustąpieniu morza północnego, na północ od geosynkliny karpackiej zarysował się łańcuch u brzegów którego nastąpił rozwój raf sztramberskich. Jurajskie morze strefy Przemyśla-Kruhela nie było zamknięte. W keloweju morze strefy kruhelskiej dotarło do Dobrudży przynosząc z sobą tam faunę jury epikontynentalnej Europy Środkowej. W oksfordzie zaś, jak wskazuje na to fauna, miało ono połączenie z jurajskim morzem strefy Bachowice (M. Książkiewicz 1956).

W czasie sedymentacji warstw inoceramowych morze górno-kredowe strefy Przemyśla-Kruhela zetknęło się na północy nie tylko z utworami jurajskimi, ale również z ich podłożem mezozoiczno-paleozoicznym oraz krystalicznym, zapewne przedkambryjskim (fig. 3, A). Za tym ostatnim wnioskiem przemawiają otoczaki zielonych i czerwonych fylitów i mlecznych kwarców dość często spotykane w warstwach inoceramowych.

W trzeciorzędzie do osadów fliszowych w dalszym ciągu dostaje się materiał egzotyczny w postaci wapieni, fylitów, gnejsów, kwarców oraz innych skał krystalicznych.

W dolnym miocenie wskutek ruchu dźwigającego Karpaty następuje przemieszczenie się morza w kierunku północnym, do zarysowującego się w tym czasie zapadliska przedkarpackiego. W tym okresie osadzają się utwory przykarpackiej formacji solonośnej.

Ruch dźwigający Karpaty trwa dalej przy równoczesnym zapadaniu się Przedgórza. Dlatego w helwecie i dolnym tortonie morze, w którym osadzały się zlepieńce z Dubnika, warstwy stebnickie i balickie, w stosunku do morza górno-kredowego a nawet dolno-miocenckiego było położone bardziej na północ (zob. fig. 3, B). Podłoże jury w tym okresie było stopniowo przykrywane osadami, tak że ilość materiału starszego od jury w zlepieńcach z Dubnika oraz w warstwach stebnickich maleje ku górze. Same zaś skały jurajskie w morzu helweckim i dolno-tortonńskim zapewne występowały w formie wysp, które zostały zniszczone przed środkowym tortonem (zob. fig. 3, C), bowiem od środkowego tortonu w osadach miocenu strefy Przemyśla przeważa wybitnie materiał karpacki, który w niewielkiej ilości zaznacza się już w zlepieńcach z Dubnika i warstwach stebnickich.

Ponieważ w zlepieńcach radyckich materiał karpacki wybitnie przeważa (udział jego w zlepieńcach wynosi około 93%), można przypuszczać,

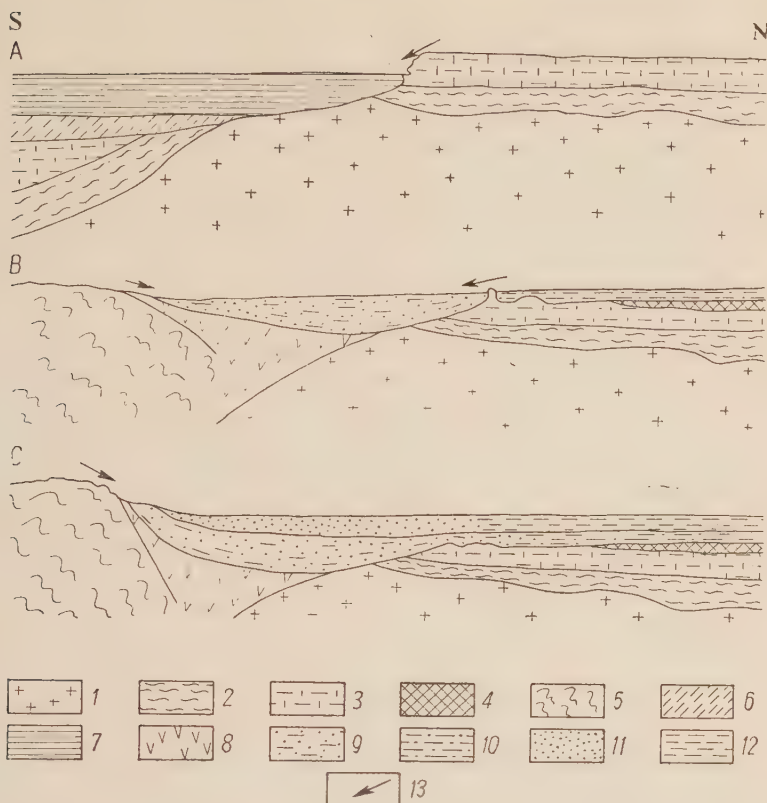


Fig. 3

Niektóre etapy z rozwoju paleogeografii strefy Przemyśla-Kruhela

A kreda górna. Okres sedimentacji warstw inoceramowych. B helwet-torton dolny. Okres sedimentacji zlepieńców z Dubnika, warstw stebnickich i balickich. C torton środkowy. Okres sedimentacji zlepieńców radyckich

1 krystalinik, 2 paleozoik, 3 mezozoik (jura i trias), 4 kreda przedmurza, 5 utwory fliszowe Karpat, 6 kreda dolna Karpat, 7 kreda górna Karpat (warstwy inoceramowe), 8 miocen dolny (formacja solonośna), 9 helwet-dolny torton (zlepienie z Dubnika, warstwy stebnickie i balickie), 10 torton dolny (warstwy baranowskie), 11 torton środkowy (zlepienie radyckie), 12 torton środkowy (iły pokuckie), 13 kierunek transportu materiału

Some stages of the palaeogeographic evolution of the Przemyśl-Kruhela belt
A Upper Cretaceous. Sedimentation of Inoceramus beds. B Helvetian-Lower Tortonian. Sedimentation of Dubnik conglomerates and the Stebnik and Balice beds.
C Middle Tortonian. Sedimentation of Radycz conglomerates

1 Crystallinicum, 2 Palaeozoic, 3 Mesozoic (Jurassic and Triassic), 4 Foreland Cretaceous, 5 Carpathian Flysch deposits, 6 Carpathian Lower Cretaceous, 7 Carpathian Upper Cretaceous (Inoceramus beds), 8 Lower Miocene (saltbearing formation), 9 Helvetian-Lower Tortonian (Baranów beds), 11 Middle Tortonian (Radycz conglomerates), 12 Middle Tortonian (Pokucie clays), 13 transport direction of material

że w czasie środkowego tortonu w strefie Przemyśla morze nie kontaktowało z utworami jurajskimi. Wapienie jurajskie, które znajdują się w zlepieńcach radyckich, dostały się do niego wskutek intensywnej w tym czasie denudacji zawierających je utworów fliszowych Karpat.

W dzisiejszym swym położeniu, utwory trzeciorzędowe brzegu Karpat Przemyskich oraz starsze utwory miocenijskie są przesunięte w kierunku północnym w stosunku do swego obszaru sedymentacji (Tokarski 1956). Resztki struktury, z której pochodzą poprzednio opisane egzotyki, jeżeli zostały zachowane, mogą się dziś znajdować pod nasuniętymi od południa utworami płaszczowiny skolskiej.

Egzotyki wapieni jurajskich są charakterystyczne nie tylko dla opisanego obszaru między Sanem a Wiarem. Występują one również na południu, w okolicach Dobromila i Chyrowa. Mam tu na myśli zlepieńce radyckie na wzgórzu Radycz koło Dobromila, serię piaszczystą warstw stebnickich, zlepieniec dobromilski eocenu fliszowego, niektóre partie pstrej serii eocenijskiej oraz warstwy inoceramowe. Niekiedy pojawiają się większe skałki wapieni, jak ma to miejsce w Jamie Dolnej.

*Katedra Złóż Ropy i Gazu AGH
Kraków, październik 1956*

LITERATURA CYTOWANA

- BÖHM B. 1939. O tortonie przedgórza Karpat w okolicy Felsztyna (Sur le Tortonien de l'avant pays des Karpates dans la région de Felsztyn, feuille de Sambor). — *Biul. P. I. G. (Bull. Serv. Géol. Pol.)* 17. Warszawa.
- FRIEDBERG W. 1901. Atlas Geologiczny Galicji, z. XIX. Kom. Fizj. Ak. Um. Kraków.
- KSIAŹKIEWICZ M. 1954. Warstwowanie frakcyjne i laminowane we fliszu karpackim (Graded and laminated bedding in the Carpathian Flysch). — *Rocz. P. T. Geol. (Ann. Soc. Géol. Pol.)*, t. XXII, z. 4. Kraków.
- 1956. Jura i kreda Bachowic (The Jurassic and Cretaceous of Bachowice). — *Ibidem*, t. XXIV, z. 2-3. Kraków.
- NEY R. 1954. Geologia okolic Fredropolu z uwzględnieniem możliwości występowania złóż gazu ziemnego (niepubl.) Kraków.
- 1957. O miocenie na przedgórzu Karpat między Przemyślem a Chyrowem (The Miocene in the Carpathian foreland between Przemyśl and Chyrów). — *Przegląd Geol.* z. 1. Warszawa.
- NIEDŹWIEDZKI J. 1876. Spostrzeżenia geologiczne w okolicy Przemyśla. — *Kosmos* 1. Lwów.
- 1901. Przyczynek do geologii pobrzeża Karpat przemyskich. — *Ibidem*, 26. Lwów.
- SZAJNOCHA W. 1901. Atlas Geologiczny Galicji, z. XIII, Kom. Fizj. Ak. Um. Kraków.
- TEISSEYRE H. 1936. Sprawozdanie z badań geologicznych wykonanych na przedgórzu ark. Sambor i Dobromil w 1935 r. (niepubl.) Lwów.

- TOKARSKI A. 1956. Problem płytkiego rozpoznania sigmoidy przemyskiej (niepubl.) Kraków.
- WATYCHA L. 1946. Geologia północnej części ark. Dobromił (niepubl.) Kraków.
- WIŚNIEWSKI T. 1908. Atlas Geologiczny Galicji, z. XXI. Kom. Fizj. Ak. Um. Kraków.
- WÓJCIK K. 1908. Exotica fliszowe Kruhela Wielkiego koło Przemyśla. — Spraw. Kom. Fizj. Ak. Um., seria B, t. 42. Kraków.
- 1913. Jura Kruhela Wielkiego pod Przemyślem. — Rozpr. Ak. Um., seria B. Kraków.

P. НЕИ

О ЭКЗОТИКАХ ЮРСКИХ ИЗВЕСТНЯКОВ КРАЕВОЙ ЧАСТИ КАРПАТ И ИХ ПРЕДГОРЬЯ МЕЖДУ САНОМ И ВЯРОМ

(Резюме)

В иноцерамовых слоях флиша Карпат и в миоценовых образованиях Предгорья (конгломераты из Дубника, стебницкие слои, ба-лицкие слои и радыцкие конгломераты) были констатированы многочисленные известняковые экзотики, похожие на известняки из известного утёса в Кругеле близ Пшемысля.

Источником этих экзотиков в миоценовых отложениях были размываемые иноцерамовые слои. Другим источником материала был размываемый в это время построенный известняками берег, находящийся далее на севере.

R. NEY

ON EXOTICS OF JURASSIC LIMESTONES FROM THE MARGINAL CARPATHIAN AREA AND THE FORELAND BETWEEN THE SAN AND THE WIAR RIVERS

(Summary)

Limestone exotics are encountered within the Upper Cretaceous Inoceramus beds in the marginal area of the Flysch Carpathians, south of Przemyśl, between the river San and the river Wiara (fig. 1). They occur as major klippen rocks some tens of metres in diameter, or as more or less rounded blocks (fig. 2). As a rule they are embedded within the shale-marly series of Flysch Inoceramus beds. Furthermore they are similarly found within Miocene Foreland formations. Their rather im-

portant concentration has been noted in Helvetian Dubnik conglomerates (pl. XLIII), where they occur as pebbles with size up to 15 cm. Limestone pebbles are also found in the overlying Stebnik beds (Helvetian-Lower Tortonian), and in Lower Tortonian Balice beds. The occurrence of limestone blocks and pebbles within Middle Tortonian Radycz conglomerates on the Optyń Hill in Pikulice is not frequent.

By means of petrographic research studies the presence has been ascertained there of the following varieties of limestones: crinoidal and foraminiferal limestones corresponding to Oxfordian Kruhel Klippen limestones; white coral limestones corresponding to Stramberg Tithonian limestones, recorded from Kruhel by Wójcik (1908).

Material from Inoceramus beds is also to be found within Dubnik conglomerates and Stebnik beds. Hence the suggestion that some limestone pebbles occurring within Miocene deposits are derived from outwashed Inoceramus beds. The amount of limestone pebbles found within Miocene deposits indicates that these limestones are not mainly referable to Inoceramus beds. Papers by K. Wójcik (1908, 1913) and M. Książkiewicz (1956) suggest the following palaeogeographical pattern prevailing within the Przemyśl-Kruhel belt: Inoceramus beds sediment in the Upper Cretaceous marginal area of the Carpathian geosyncline; Jurassic and Palaeozoic formations and even the crystalline substratum of the northern marginal area of the Carpathian geosyncline (fig. 3a) are responsible for the presence of exotics in Inoceramus beds, northern terrigenous material continued being deposited within Tertiary rocks.

During the Lower Miocene in the foreland of the uplifting Carpathians a depression is observable where the saltbearing deposits were sedimented. During Helvetian and Lower Tortonian time a northward sea transgression took place. Crystalline material from the substratum was first introduced into sedimentary deposits. These subsequently overlaid the substratum. Jurassic islands, however, continued being the source supplying limestone exotics (fig. 3, B). In the Middle Tortonian, Jurassic outcrops had been already overlaid (fig. 3, C). Flysch Carpathian deposits, which were then undergoing strong denudation, supplied the material (limestone exotics among others) for Radycz conglomerates.

*Institute of Oil and Gas Beds
Academy of Mining and Metallurgy
in Cracow
Kraków, October 1956*

OBJAŚNIENIA DO PLANSZY XLIII

DESCRIPTION OF PLATES XLIII

Fig. 1

Skałka zlepieńców z Dubnika nad Wiarem

Widoczne strome zapadanie ławic ku zachodowi. Strzałka wskazuje miejsce, gdzie wykonano zdjęcie fig. 2

Steep westward dip of layers. Arrow indicates site where phot. No. 2 was taken

Fig. 2

Dubnik nad Wiarem. Fragment wietrzejącej ławicy zlepieńców. Widoczne białe otoczaki wapieni

Fot. autor

Dubnik on the Wiar. Fragment of weathering conglomerate layer and white limestone pebbles



Fig. 1



Fig. 2

